

1981120980



U.O.V.S. - BIBLIOTEEK  
\*198112098001220000018\*



HIERDIE EKSEMPLAAR MAG ONDER  
GEEN OMSTANDIGHEDDE UIT DIE  
BIBLIOTEEK VERWYDER WORD NIE

ISOLASIE, ABSOLUTE KONFIGURASIE EN SINTESE VAN  
OLIGOMEERTANNIENE: DIE EERSTE TRIFLAVONOÏED  
MET TERMINALE DIOLFUNKSIE

Verhandeling voorgelê ter vervulling van die  
vereistes vir die graad

MAGISTER SCIENTIAE

in die  
Departement Chemie  
Fakulteit Natuurwetenskappe  
van die  
Universiteit van die Oranje-Vrystaat

deur

DESMOND AUSTIN YOUNG  
Studieleier: PROF. D.G. ROUX  
Medestudieleier: PROF. D. FERREIRA

JUNIE 1981

Universiteit van die Oranje-Vrystaat  
BLOEMFONTEIN

25-11-1981

No. T 547.7 YOU  
BIBLIOTEEK

DANKBETUIGINGS

=====

Hiermee wens ek my opregte dank en waardering te betuig aan :

Proff. D.G. Roux en D. Ferreira as promotor en hulppromotor onderskeidelik vir hul bekwame en waardevolle leiding, opbouende kritiek, belangstelling en bereidwillige hulp tydens hierdie ondersoek;

Dr. J.M. Steyn en Mn. J. Malherbe, Departement Farmakologie, U.O.V.S. vir afname van massaspektra;

Dr. W.E. Hull, Bruker-Physik AG, "Rheinstetten, Wes-Duitsland vir afname van 500 MHZ KMR spektra;

Personnel en mede-nagraadse studente vir die aangename gees van samewerking;

Mevrou C. Greeff vir haar bekwame tikwerk;

My vrou, Engela, vir haar opoffering, belangstelling en aanmoediging;

My familie en veral my Moeder en broer, Peter John, aan wie hierdie werk opgedra word as 'n geringe blyk van waardering vir hul belangstelling, aanmoediging en bystand wat my studies moontlik gemaak het.

D.A.Y.

## INHOUDSOPGawe

---

### SAMEVATTING

(i)

### LITERATUROORSIG

1 . Inleiding .....	1
1.1 Flavanoïede uit <i>A. mearnsii</i>	
1.1.1 Monomeriese komponente .....	1
1.1.2 Dimeriese komponente .....	4
1.1.3 Oligomeriese komponente .....	7
1.2 Metodes vir die bepaling van relatiewe konfigurasie van interflavanoïed bindings ..	7
1.3 Faktore van belang by interflavanoïed koppellings .....	16
1.3.1 Inleiding .....	16
1.3.2 Stabiliteit van karboniumione ....	16
1.3.2.1 Die snelheid van karboniumioonvorming .....	16
1.3.2.2 Solvolise van karboniumione	18
1.3.2.3 Energie van solvering ....	19
1.3.2.4 Effek van die karboniumioonstrukturur .....	20
1.3.2.5 Effek van die oplosmiddel	21
1.3.3 Stereochemie .....	23
1.3.3.1 Buurgroep deelname .....	24
1.3.4 Stereochemiese verloop van interflavanoïed koppelingsreaksies	
1.3.4.1 Kondensasie reaksies van flavan-3,4-diole met 'n resorsinol A-ring .....	25
1.4 Rotasie isomerie .....	30

### BESPREKING

Inleiding .....	37
1 Suurgekataliseerde kondensasie van (+)-mollisacidin en (+)-leukosianidin met floroglusinol ..	39
2 Suurgekataliseerde kondensasie van (+)-3',4',7-tri-O-metielmollisacacidin met (+)-katesjien ..	45

3	Isolasie van bi- en triflavanoïede met terminale diolfunksies uit <i>A. mearnsii</i>	48
3.1	Biflavanoïede .....	48
3.2	[4,6:4,6]-Bifisetinidol-(+)-mollisacacidin triflavanoïed .....	53
4	Direkte sintese van bi- en triflavanoïede met terminale diolfunksies .....	61
5	Isolasie van angulêre tri- en tetraflavanoïede uit <i>A. mearnsii</i> .....	67
5.1	[4,6:4,8]-Bifisetinidol-katesjientriflavanoïede .....	67
5.2	Tetraflavanoïede .....	72

### EKSPERIMENTEEL

1	Standaard eksperimentele metodes .....	77
2	Suurgekataliseerde (0,1M HCl) kondensasie van (2R:3S:4R)-2,3-trans-3,4-trans-3,3',4,4',7-pentahidroksiflavaan[(+)-mollisacacidin] met floroglusinol .....	80
3	Suurgekataliseerde kondensasie van (2R:3S)-2,3-trans-3,3',4,4',5,7-heksahidroksiflavaan[(+)-leukosianidin] en floroglusinol .....	83
4	Suurgekataliseerde kondensasie van (2R:3S:4R)-2,3-trans-3,4-trans-3,4-dihidroksi-3',4',7-trimetoksi-flavaan en (2R:3S)-2,3-trans-3,3',4',5,7-pentahidroksiflavaan[(+)-katesjien] .....	86
5	Isolasie van natuurlike bi-, tri- en tetraflavanoïede uit <i>A. mearnsii</i> .....	87
6	Sintese van bi- en triflavanoïede uit <i>A. mearnsii</i>	98

### SPEKTROMETRIESE GEGEWENS

### BIBLIOGRAFIE

### ERRATA

## SAMEVATTING

Suurgekataliseerde carbokatioonvorming op C<sub>4</sub> van 'n reeks flavan-3,4-diole gevolg deur reaksie met 'n verskeidenheid fenoliese nukleoefiele spesies het geleid tot ontwikkeling van die eerste doeltreffende metode vir sintese van vryfenoliese 4-ariel/flavaniel/biflavaniel-flavan-3-ole. Bogenoemde tema is in hierdie ondersoek uitgebou met spesiale klem op reaksiewyse en die daarstelling van oligomere met C<sub>4</sub>-hidroksilering in die terminale flavanielenheid.

'n Noukeurige herondersoek van die koppelingsreaksie van floroglusinol met (+)-mollisacacidin en (+)-leukosianidin onderskeidelik het getoon dat die reaksie stereoselektief verloop om beide die 3,4-*trans* en 3,4-*cis* produkte te lewer. Hierdie waarneming kontrasteer met vorige bewerings van 'n stereospesifieke reaksieverloop met vorming van slegs die 3,4-*trans* isomeer.

Aangesien biflavanoïede met terminale diolfunksionaliteit uit *Acacia mearnsii* (wattel) as metieleters geskei kan word en hierdie klas verbindinge as sleutelboustene tydens sintese van oligomere vanaf die tetraflavanoïedvlak beskou kan word, is die invloed van gemetileerde fenoliese hidroksigroepe van die elektrofiel op die verloop van koppeling ondersoek. Dit is gevind dat die reaksie tussen (+)-tri-O-metielmollisacacidin met (+)-katesjien baie stadiig verloop om slegs [4-8] gekoppelde produkte te lewer. Hierdie stadige reaksieverloop kan slegs aan die verlaagde resonans stabiliserende effek van die C<sub>7</sub>-O-metielgroep in vergelyking

met die C<sub>7</sub>-hidroksigroep toegeskryf word.

Isolasie van 'n vierde biflavanoïed met terminale diolfunksie uit die kernhout van wattel voltooi vir die eerste keer die aantal moontlike stereoisoomere van hierdie tipe met 'n 2R,3S (2,3-trans) konfigurasie. Isolasie van 'n lineêre triflavanoïed met 'n terminale diolfunksie is uniek en dien as verdere uitbreiding van die aantal dioleenhede beskikbaar vir die sintese van hoër oligomere. Direkte sintese van terminale diol bi- en triflavanoïede, hoewel in uiters lae opbrengs, is vir die eerste keer suksesvol uitgevoer deur selfkondensasie van vryfenoliese (+)-mollisacacidin.

Angulêre tri- en tetraflavanoïede met (+)-katesjien as gemeenskaplike nukleofiel is vir die eerste keer uit die kernhout van *A. mearnsii* geïsoleer ondanks die feit dat (+)-katesjien as waarskynlike biogenetiese voorloper in die kernhout van wattel afwesig is. Hierdie oënskynlike anomalie kan waarskynlik toegeskryf word aan die hoë konsentrasie in die kernhout van (+)-mollisacacidin as elektrofiele spesie met gevolglike volledige konsumpsie van bogenoemde nukleofiele entiteit.

Toepassing van die SD-metode, ter bepaling van die absolute konfigurasie by die punt van interflavaankoppeling (C<sub>4</sub>), op die bi- (met C<sub>4</sub>-OH) en triflavanoïed vlak blyk nie so eenvoudig te wees soos voorheen suksesvol op minder komplekse di- en trimere toegepas nie. 'n Groter reeks modelverbindings word benodig alvorens 'n algemene reël daargestel kan word, aangesien dit duidelik is dat die aromatiese kwadrantreeël

(iii)

nie afsonderlik op elke C<sub>4</sub> chirale sentra in die komplekse molekule toegepas kan word nie.

-----oo0oo-----

## LITERATUUROORSIG

---

### 1 Inleiding

Die eerste flavanoïede is reeds meer as 'n eeu gelede geïsoleer en die eerste biflavanoïede in die sestigerjare.

Vordering met gekondenseerde tanniennavorsing was egter onderhewig aan tekortkomings van fisiese metodes vir strukturbepaling en stereochemiese opklaring. Met die verskyning van ultra-hoë magneetveld KMR apparaat, SD, massa-spektrometrie en verbeterde skeidingsstegnieke, is dit nou moontlik om die veld van oligomeriese flavanoïede beter te bestudeer.

Die onderstaande oorsig behels 'n samenvatting van vordering wat gemaak is met oligomeriese flavanoïednavorsing sowel as sommige faktore van belang vir sintese en strukturopklärings.

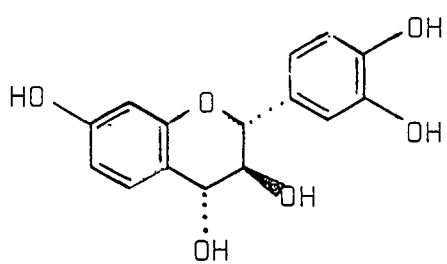
#### 1.1 Flavanoïede uit *Acacia mearnsii*

##### 1.1.1 Monomeriese komponente

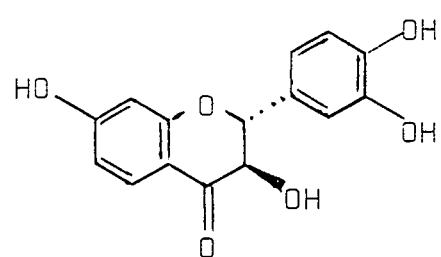
Die eerste komponent, (+)-mollisacacidin[(+)-(2R:3S:4R)-2,3-*trans*-3,4-*trans*-3',4',7-trihidroksiflavan-3,4-diol] (1), is reeds in 1957 deur Keppler geïsoleer<sup>1</sup> terwyl Roux & Paulus kort daarna (+)-fustin (2), fisetin (3) en (-)-fisetinidol (4) geïsoleer het.<sup>2,3</sup> 'n Intensiewe ondersoek het getoon dat die konsentrasie van (+)-mollisacacidin vanaf die kernrand na die sentrale kern afneem. Hier teenoor neem die konsen-

trasie van (+)-fustin, fisetin en (-)-fisetinidol (wat feitlik afwesig is) toe na die sentrale gedeelte. Hierdie distribusie, tesame met die stereochemie en chemiese verwantskappe is 'n aanduiding dat (+)-mollisacacidin die hoof biosintetiese produk is wat deur dehidrogenering (2) en (3) vorm en deur hidrogenolise van C<sub>4</sub>-OH (4) vorm.

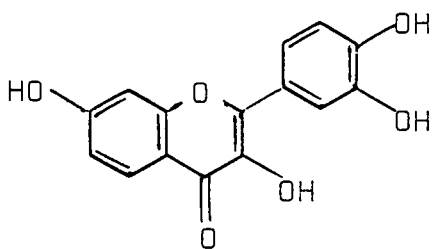
(-)-Butin (5) en die analoë chalkoon, buteien (6), is in uiterst lae konsentrasie uit *A. mearnsii* geïsoleer en hul strukture bevestig deur direkte vergelyking met sintetiese verbindings<sup>4</sup>.



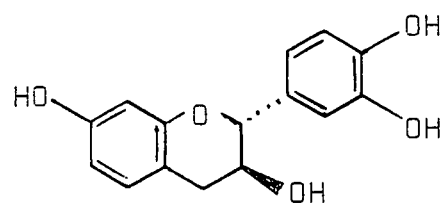
(1)



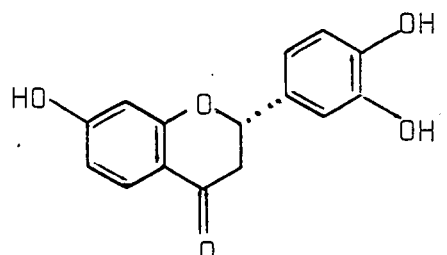
(2)



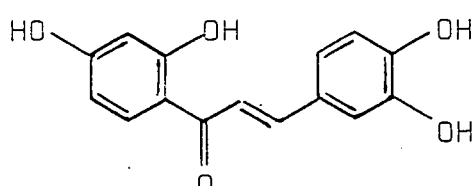
(3)



(4)

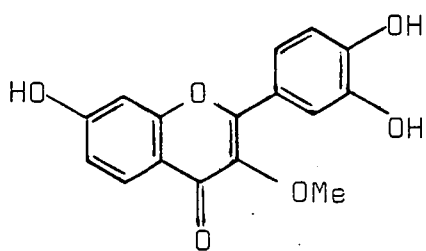


(5)

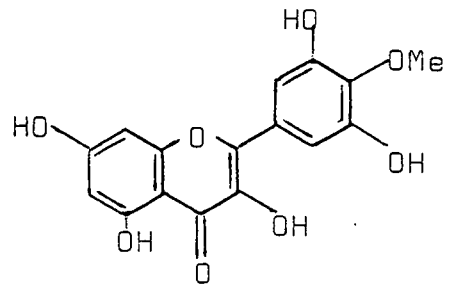


(6)

Na 'n herondersoek van die water onoplosbare fraksie van kernhout ekstrak, is die eerste  $\beta$ -metielderivaat, naamlik 3- $\beta$ -metielfisetin (7) geïsoleer.<sup>5</sup> Die enigste ander metokside derivaat is uit die blare van ongeveer 8% bome geïsoleer.<sup>6</sup>  $R_f$  waardes en reaksie met verskillende sproeireagense het gedui op 'n flavonolglikosied met 'n floroglusinol A ring en geen vry *ortho*-hidroksigroepe nie. Hidrolise in verdunde suur het 'n flavonol, mearnsitrin (8) en 'n suiker, rhamnose, gelewer. Verdere ondersoek het getoon dat die suiker aan die 3- posisie gekoppel was. Aangesien mearnsitrin slegs in 8% van die populasie bome wat ondersoek was, voorgekom het, is 'n uitgebreide genetiese ondersoek gedoen. Dit is gevind dat die oorervlikheid van mearnsitrin deur 'n enkele dominante geen bepaal word,<sup>7</sup> wat 'n aanduiding is dat wattelbome vir hul tannieninhoud geselecteer kan word.

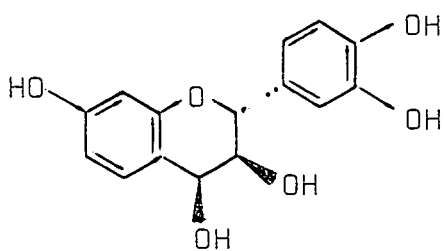


(7)

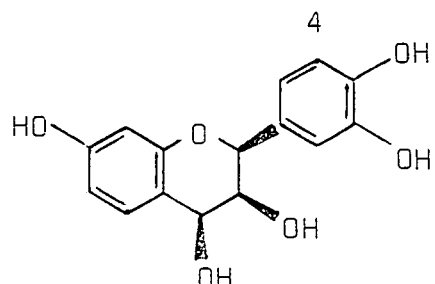


(8)

In 'n latere ondersoek deur Drewes en Ilsley<sup>8</sup> is die *trans-cis* (9) en *cis-cis* (10) isomere in 'n lae konsentrasie verky. Die verkryging van *trans-cis* isomere kan moontlik daaraan verklaar word dat die suurinhoud (organiese sure) sodanig kan wees dat rasemerisering wel kan plaasvind.



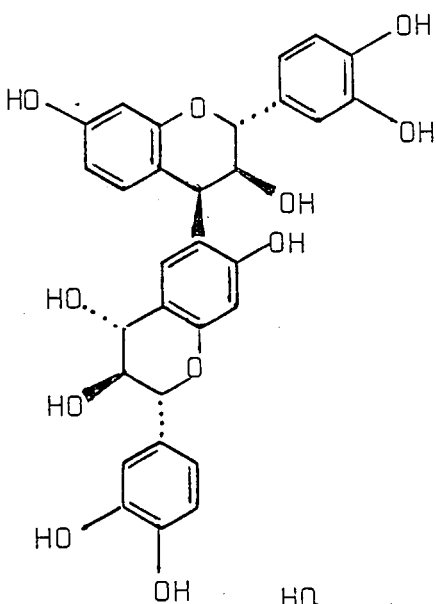
(9)



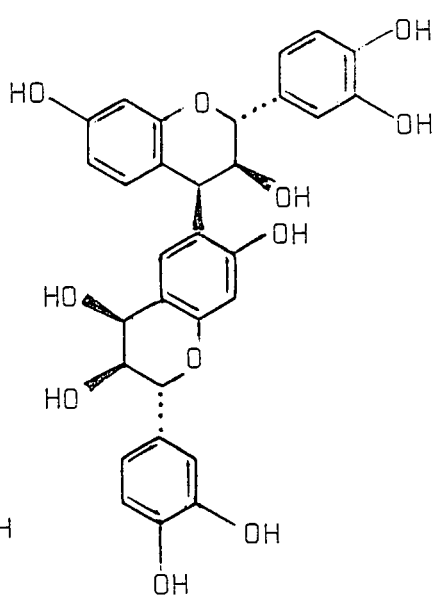
(10)

### 1.1.2 Dimeriese komponente

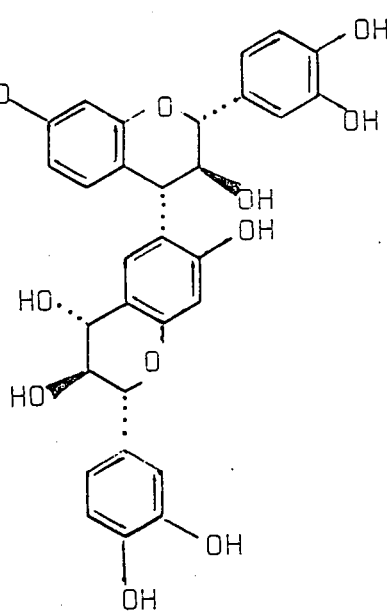
Drie diastereoisomeriese 4,6- gekoppelde biflavanoïede (11-13) is deur Roux en medewerkers<sup>9</sup> geïsoleer terwyl (11) en (12) deur F.R. van Heerden<sup>10</sup> uit *A. fasciculifera* geïsoleer is, wat tot dusver die enigste bekende biflavanoïede met terminale flavan-3,4-diol eenhede is.



(11)



(12)



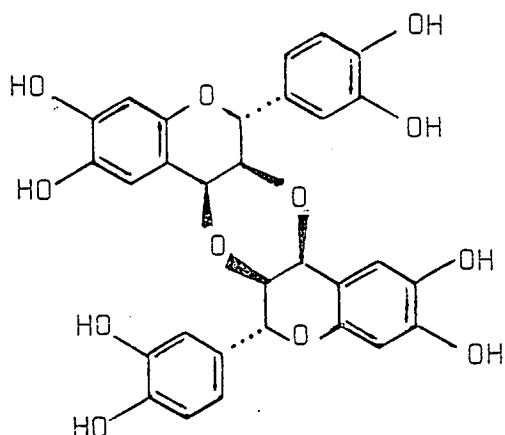
(13)

Die groot koppelingskonstantes van die C- en F-ring protone van (11-13) dui op *trans*-diaksiale protone met 'n 2(*ekw*):3(*ekw*):4(*ekw*) rangskikking van substituente vir elk van die komponente.

Met behulp van Dreidingmodelle is aangetoon dat komponente (11) en (12) 'n gestremde bootkonformasie vir die C-ring en 'n halfstoelkonformasie vir die F-ring besit en dat komponent (13) 'n halfstoelkonformasie en 'n halfstoel of vyfpuntkopolanêre konformasie vir die F-ring besit.

Die koppelingskonstantes van die C-ring protone is groter as dié van die F-ring omdat die groot flavanoïed eenheid op die 4-posisie as 'n konformasionele anker dien en die effek van die 2-fenielgroep vergroot.

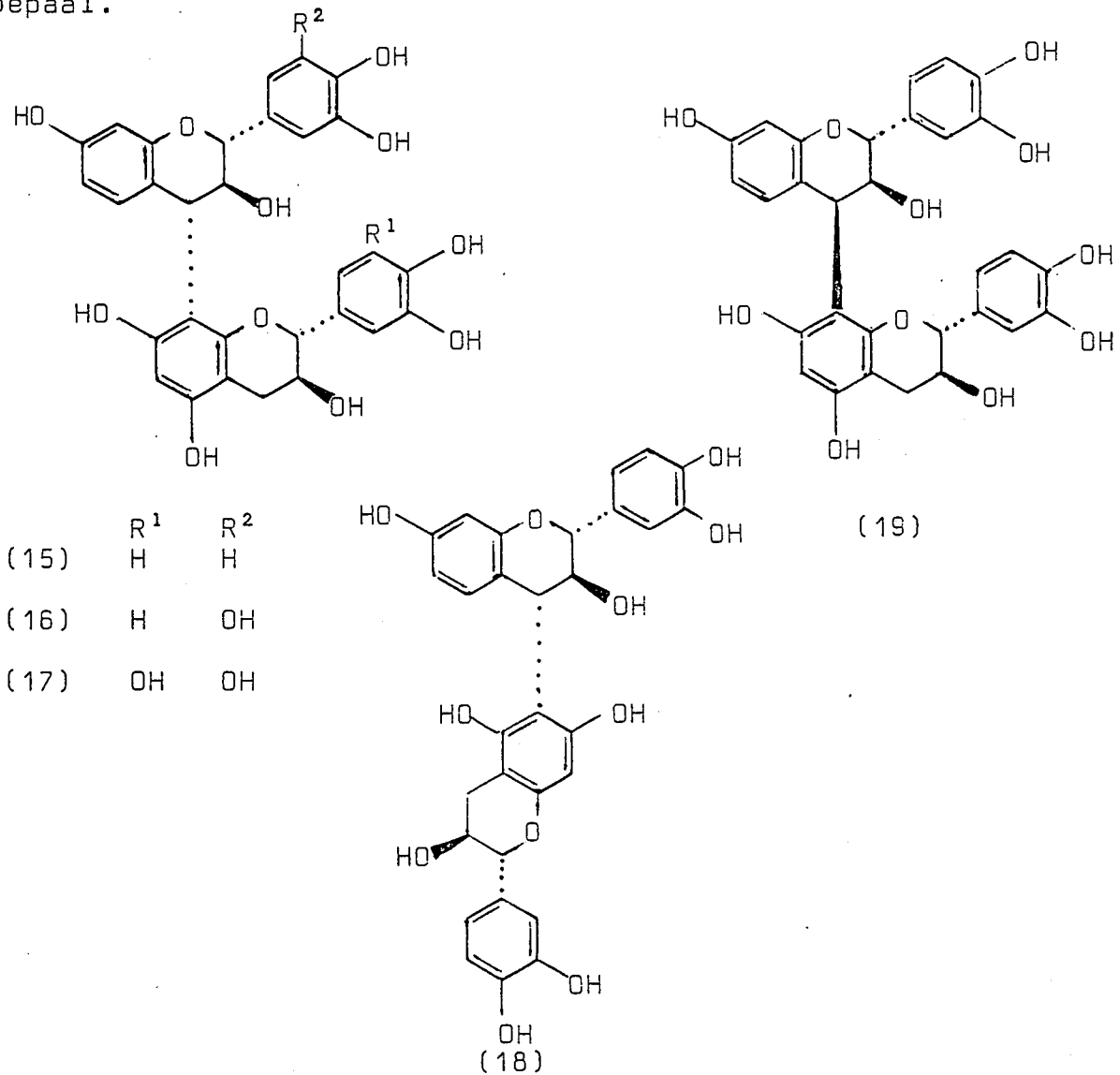
'n Dioksaantipe biflavanoïed (14) ( $M^+ 628$ ) is deur Drewes en <sup>11</sup> Ilsley uit die kernhout geïsoleer. Aangesien die KMR spektrum feitlik identies aan dié van die ooreenstemmende 2,3-*trans*-3,4-*cis*-monomeer was, is die relatiewe konfigurasie as 2,3-*trans*-3,4-*cis*:2,3-*trans*-3,4-*cis*- voorgestel.



(14)

<sup>12</sup> Drewes *et al.* het komponente (15)-(17) uit die bas geïsoleer, maar kon die koppelingspunt op die A-ring en die relatiewe stereochemie egter nie met sekerheid vasstel nie.

<sup>13</sup> Met 'n herondersoek het Botha *et al.* 'n vierde biflavanoid (18) geïsoleer, wat voorheen oor die hoof gesien is. Om die stereochemie vas te stel is die biflavanoïede (15), (18) en (19) sinteties berei deur (+)-mollisacacidin en (+)-katesjien onder milde suurkondisies te kondenseer.<sup>13</sup> Die 4-8 gekoppelde diastereoisomere (15) en (18) kon van die 4-6 gekoppelde geometriese isomeer (19) onderskei word deur die verskille in chemiese verskuiwing van die 6 en 8 protone op die A-ring, soos voorheen deur Hundt *et al.*<sup>14</sup> bepaal.



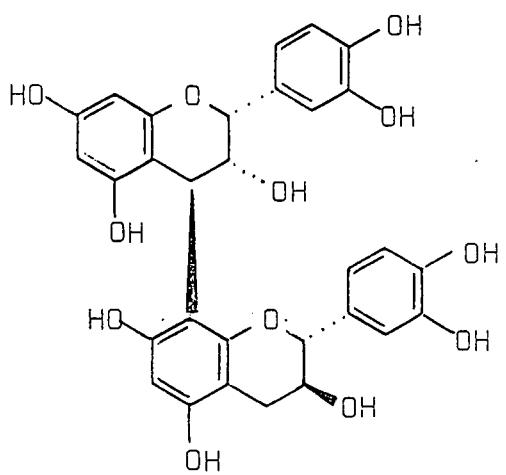
### 1.1.3 Oligomeriese komponente

Roux en Paulus het 'n opties aktiewe triflavanoïed (gebaseer hoofsaaklik op massaspekrometriese getuienis<sup>17</sup>) uit die kernhout geïsoleer. Hoewel hierdie verbinding se chemiese en fisiese eienskappe nou ooreenstemming met dié van (+)-mollisacacidin toon<sup>15</sup>, kon die struktuur as gevolg van gebrekkige fisiese metodes nie opgeklaar word nie.

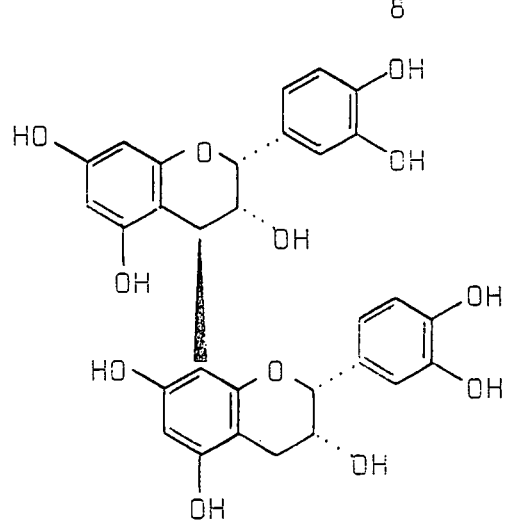
Tesame met die genoemde trimeer is twee komponente waarvan die molekulêre massas in die gebied 1000-3000 lê, geïsoleer<sup>16</sup>. Chromatografiese getuienis dui daarop dat die tanniene gedeeltelik na die flavan-3,4-diol gehidroliseer word. Geen verdere studie is egter gedoen om die konfigurasie van die verskillende eenhede te bepaal nie.

### 1.2 Metodes vir die bepaling van relatiewe konfigurasie van interflavanoïed bindings

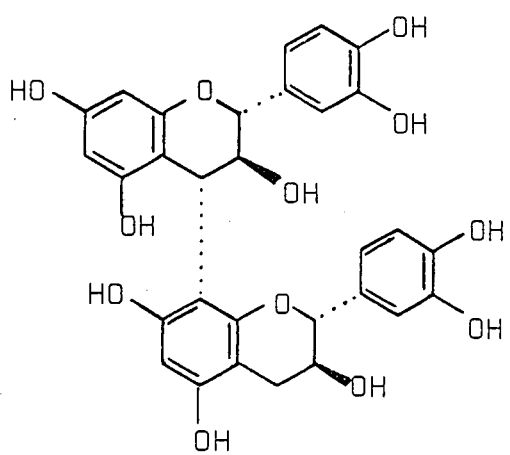
Dimere B-1-B-4 [(20)-(23)] is reeds uit verskeie bronne geïsoleer en deur KMR, papierchromatografie en SD gekarakteriseer<sup>18</sup>. Geen struktuur afleidings kon egter vanaf SD gemaak word nie, maar opvallend was dat B-3 en B-4 negatiewe Cotton-effekte getoon het met dié van B-1 en B-2 positief en feitlik spiegelbeeld van dié van B-3 en B-4. Benewens die gemelde reeks dimere B-1-4, het Haslam *et al.*<sup>19</sup> ook vier oligomeriese bindings genoem B-5-8 [(24)-(27)] uit dieselfde bronne geïsoleer.



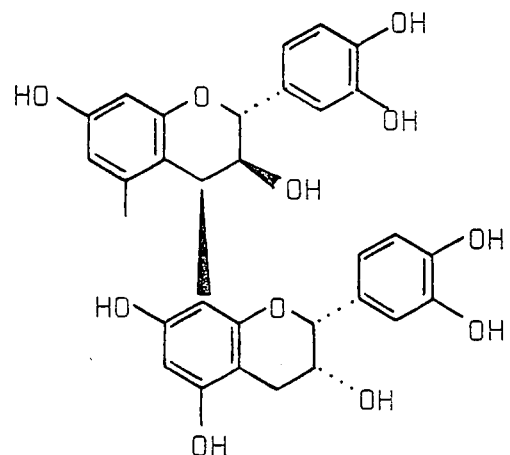
B-1 (20) 4R



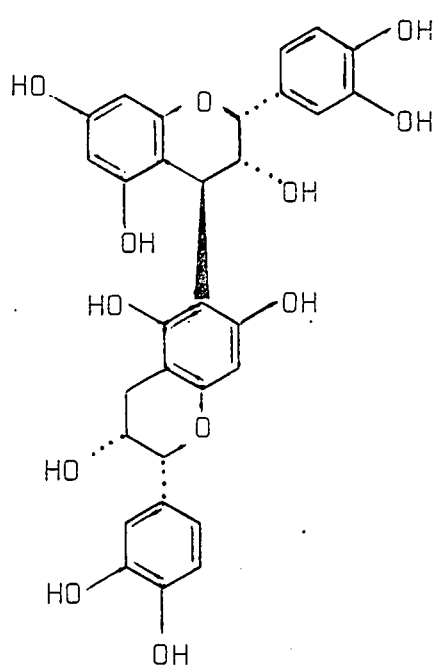
B-2 (21) 4R



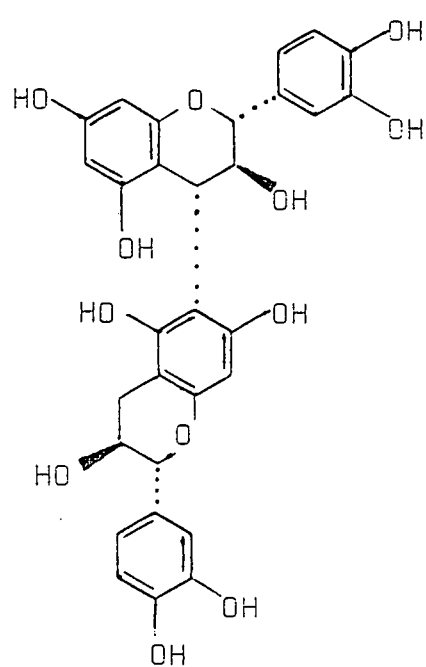
B-3 (33) 4S



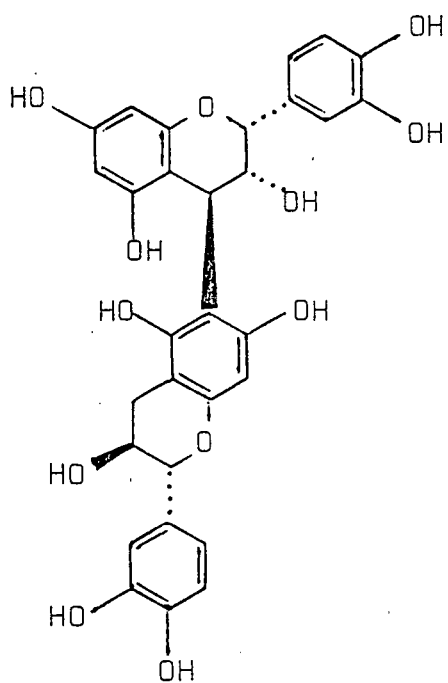
B-4 (23) 4S



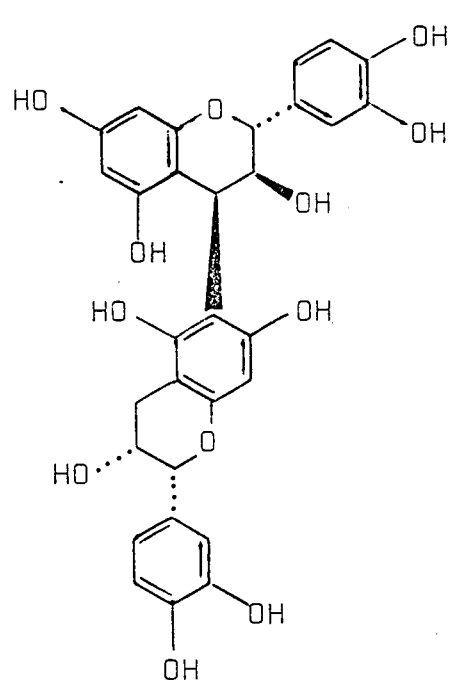
B-5 (24) 4R



B-6 (25) 4S



B-7 (26)



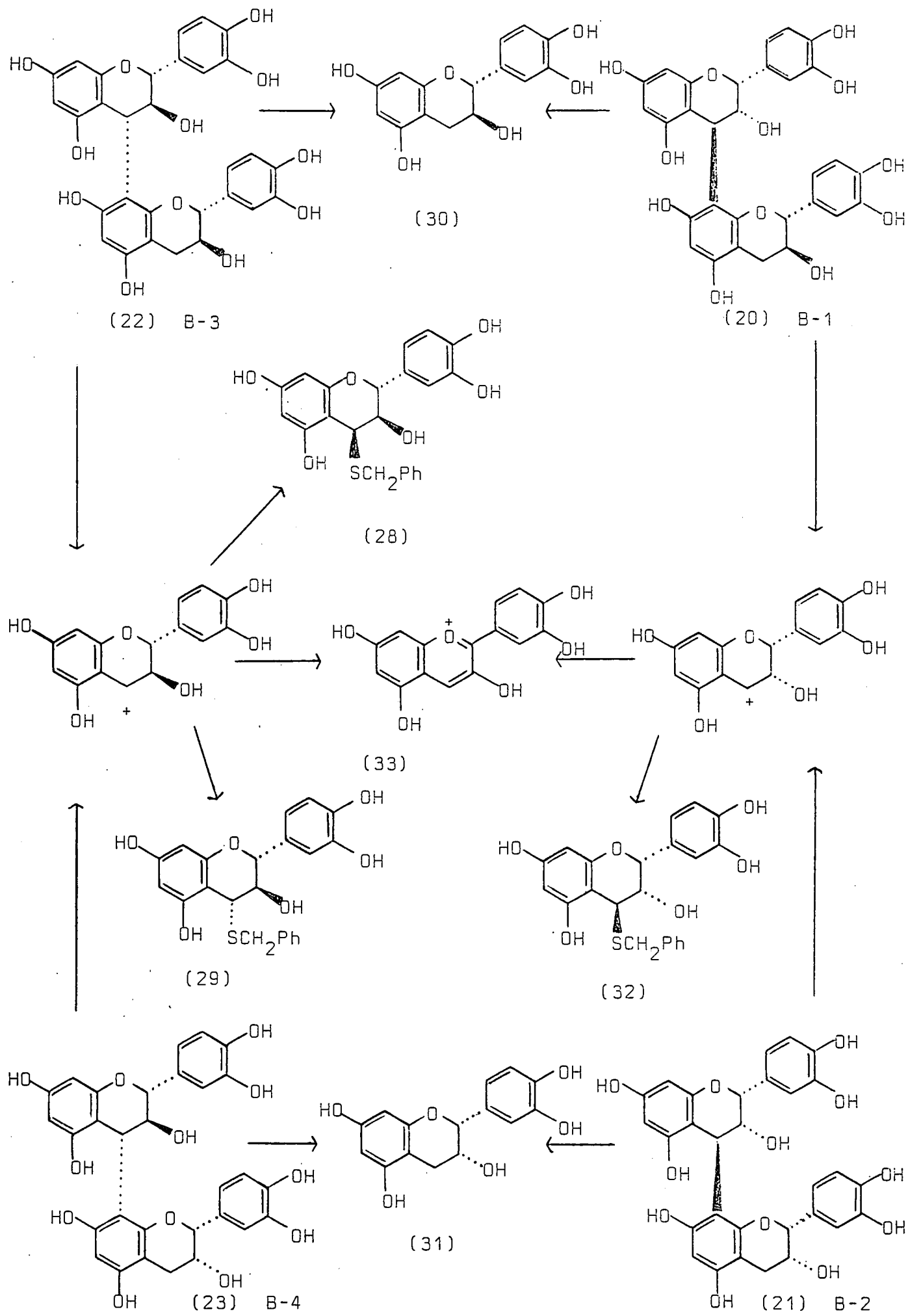
B-8 (27)

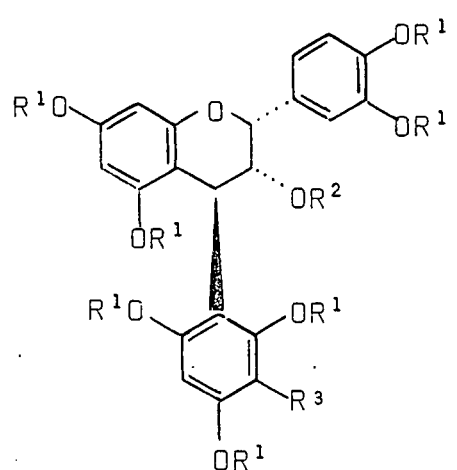
Die interflavanoiedbinding is op elegante wyse deur Haslam <sup>19</sup> et al. met behulp van tolueen- $\alpha$ -tiol en asynsuur gesplyt om (28) of (29) te gee. Hierbenewens lewer dimere B-1 en B-2 [(20) en (21)] (+)-katesjien (30) en (-)-epikatesjien (31) onderskeidelik en een swawelbevattende produk (32) wat as (2R:3S:4S)-4-bensieltioflavan-3,3',4',5-pentaol geïdentifiseer is. Die flavan-3-ol ontstaan vanaf die onderste eenheid, terwyl die gevormde karboniumioon stereospesifiek met die tiol reageer om die tioeter (32) te vorm. As bewys vir die toesegging van die stereochemie (3,4-*trans*) is (32) met suur en Raney nikkel behandel wat sianidienchloried (33) en epikatesjien (31) lewer. Vroeër is aangetoon dat 2,3-*cis*-flavan-3,4-diole deur solvolise 4-eters wat slegs 3,4-*trans* stereochemie bevat, vorm <sup>20,21,22</sup>.

Onder dieselfde kondisies gëe dimere B-3 (22) en B-4 (23), (+)-katesjien en (-)-epikatesjien onderskeidelik en twee tioeters [(28) en (29)] wat sianidien (33) met suur en (+)-katesjien (30) met Raney nikkel lewer <sup>19</sup>. Hierdie resultate is in ooreenstemming met dié wat tydens solvolise van 2,3-*trans*-flavan-3,4-diole verkry word <sup>21,22</sup>.

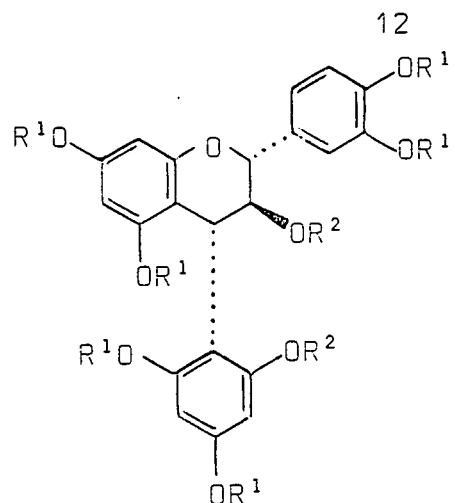
Vir die bepaling van die absolute konfigurasie by C<sub>4</sub> vir B-1 tot B-4 (koppelingspunt) het Haslam et al. <sup>23</sup> model verbindings (34 a-e) en (35 a-c) gesintetiseer en <sup>13</sup>C KMR analyses uitgevoer.

Etiel <sup>24-26</sup> et al. het aangetoon dat aksiale hidroksi-, metoksi- en asetoksigroepe die gebonde koolstof met ca 5 d.p.m. skerm, relatief tot die ekwatoriale rangskikking wat aldus

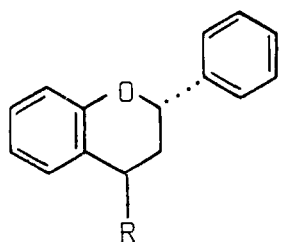




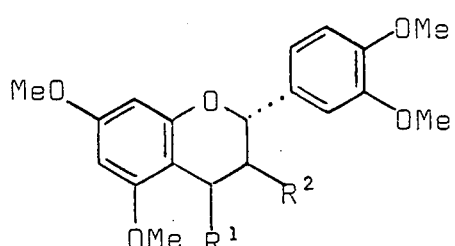
	R <sup>1</sup>	R <sup>2</sup>	R <sup>3</sup>
(34a)	H	H	H
(34b)	Ac	Ac	H
(34c)	Me	H	H
(34d)	Ac	Ac	Me
(34e)	Me	H	Me



	R <sup>1</sup>	R <sup>2</sup>
(35a)	H	H
(35b)	Ac	Ac
(35c)	Me	H



(36a)	R = H
(36b)	R = β - OH
(36c)	R = α - OH



	R <sup>1</sup>	R <sup>2</sup>	
(37a)	H	OH	(3S)
(37b)	OH	OH	(3S:4R)
(37c)	OH	OH	(3S:4S)
(37d)	H	OH	(3R)
(38e)	OH	OH	(3R:4R)
(38f)	H	H	

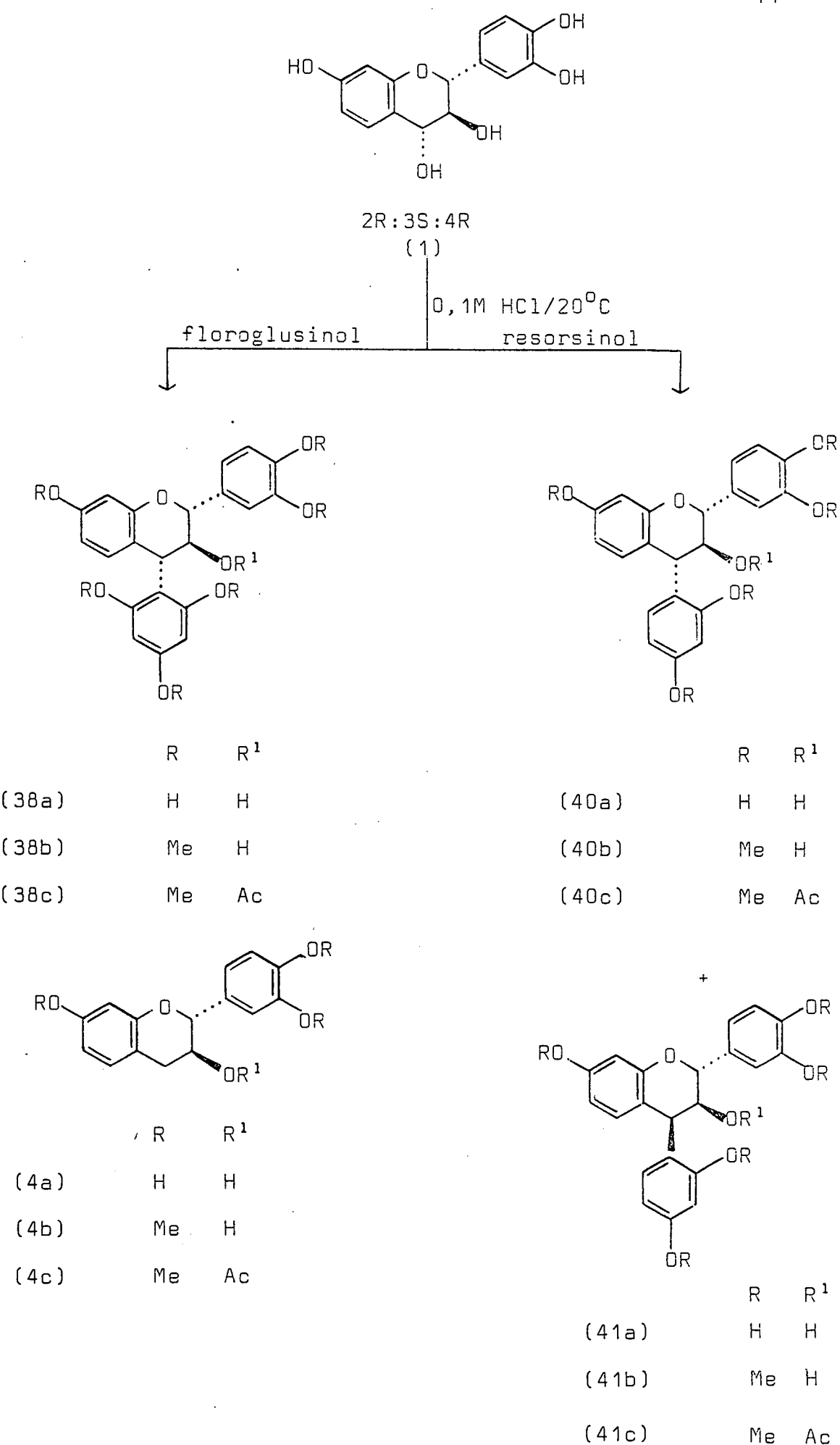
'n direkte stereochemiese toesegging moontlik maak. Die skermingseffek in 'n flavaan is egter baie kleiner<sup>23</sup>, naamlik 1,7 vir 'n hidroksigroep [(30) en (31); (36b) en (36c)]; 1,9 vir 'n asetoksigroep [asetate van (36b) en (36c); asetate van (37a) en (37d)]. Dit is ook gevind dat 'n relatiewe klein chemiese verskuiwing by C<sub>2</sub> in vergelyking met C<sub>4</sub> voorkom wanneer die groepe kwasi-ekwatoriaal (34d) of kwasi-aksiaal (37d) by C<sub>3</sub> gerangskik is.

Koppeling van 'n arielgroep by C<sub>4</sub> in die flavaan het 'n ontskerming van 4,0 tot 12,2 d.p.m. van C-4 tot gevolg gehad. Ontskeerming deur 'n kwasi-ekwatoriaale groep was groter as die van 'n kwasi-aksiale arielgroep. 'n Verdere invloed van die C<sub>4</sub> arielgroep is dat wanneer dit kwasi-ekwatoriaal georiënteer is, ontskerming [(36 a-c), 0,7-1,5 d.p.m.] van C<sub>2</sub> voorkom en wanneer dit kwasi-aksiaal georiënteer is, 'n skermingseffek van C<sub>2</sub> [(34 a-e)] waargeneem word.

Deur vergelyking van die data verkry vir die modelverbinding (34a) en (36a) met die dimere B 1-4 [(20) - (23)] kon die absolute stereochemie by C<sub>4</sub> in die dimere (22) en (23) as S en by die dimere B-1 en 2 [(20) en (21)] as R vasgestel word.

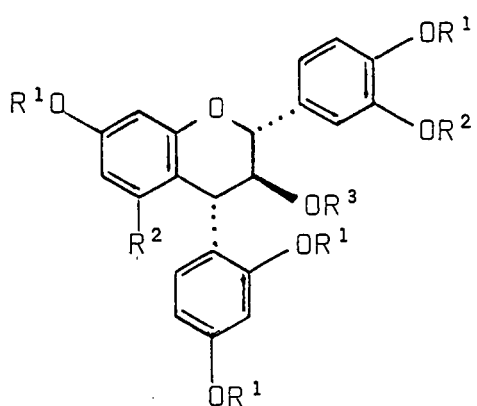
'n Eenvoudiger metode vir die bepaling van die absolute konfigurasie by C<sub>4</sub> is deur Botha *et al.* ontwikkel<sup>27, 28, 29</sup>. Sirkulêre dichroïsme is gebruik om die absolute konfigurasie by C<sub>4</sub> te bepaal.

Vergelyking van die SD kurwes van (38c), (40c) en (41c) met (4c) [(-)-fisetinidol] toon aan dat die Cotton-effekte van die chirale sentra by C<sub>2</sub> en C<sub>3</sub> totaal oorheers word deur dié van die twee feniel chromafore by C<sub>4</sub>.



Vanaf die SD kurwes kan dit afgelui word dat 'n kwasi-*aksiale* (bokant die vlak van die aromatiese A-ring) C<sub>4</sub>-arielgroep 'n positiewe Cotton-effek tot gevolg het, terwyl 'n kwasi-*ekuatoriale* (onderkant die vlak van die aromatiese A-ring) C<sub>4</sub>-arielgroep 'n negatiewe Cotton-effek tot gevolg het<sup>30</sup>.

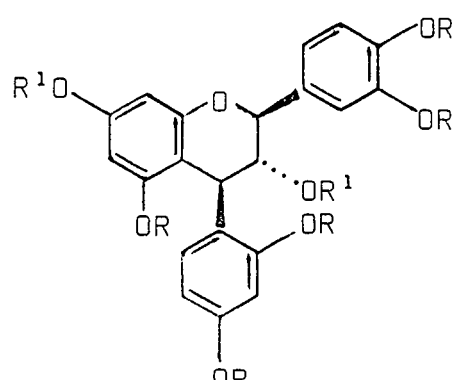
SD gegewens vir die metieleter-3-O-asetaat (42b) van 2,3-*trans*-3,4-*trans*-4-(2,4-dihidroksifeniel)-5-hidroksiflavan-3-ol (42a) waar nie-bindende steriese interaksies abnormale koppelingskonstantes tot gevolg het ( $J_{2,3} = 6,5$  en  $J_{3,4} = 5,5$  HZ) asook dié van 2,3-*cis*-3,4-*cis*-4-arielflavan-3-ole, (43c), gee nie dieselfde verskynsel as in die vorige genoemde gevalle nie. Hierdie verskille word, aan die hand van die aromatiese kwadrantreeël, toegeskryf aan die afwyking van die heterosikliese halfstoeelkonformasie vir die C-ring<sup>32</sup>. Die konformasie van die C-ring moet dus bekend wees voordat die absolute stereochemie by C<sub>4</sub> bepaal kan word.



R<sup>1</sup>      R<sup>2</sup>      R<sup>3</sup>

(41a)      H      OH      H

(41b)      Me      OMe      Ac



R<sup>1</sup>      R<sup>2</sup>

(43a)      H      H

(43b)      Me      H

(43c)      Me      Ac

### 1.3 Faktore van belang by interflavanoïed koppelings

#### 1.3.1 Inleiding

Interflavanoïed koppelings word gemaklik bewerkstellig deur middel van nukleoefiele aanval op 'n C<sub>4</sub>-karboniumioon afgelei vanaf flavan-3,4-diole<sup>27, 28, 29, 36</sup>. Stereoselektiewe substitusie word verkry met floroglusinol, resorsinol en flavan-3-ole om onderskeidelik 4-arielflavan-3-ole en biflavanoïede te vorm en met flavan-3-ol terminale biflavanoïede om triflavanoïede te vorm.

Die onderstaande oorsig behels 'n samevatting van navorsing wat oor die algemeen op karboniumione gedoen is, om die invloed daarvan op die reaksiewyse te bepaal.

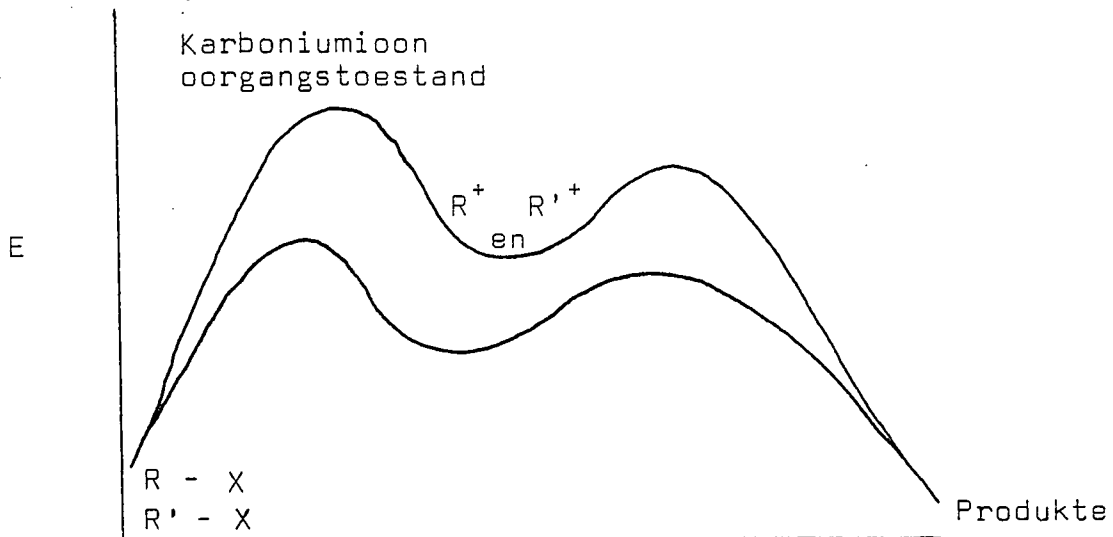
#### 1.3.2 Stabiliteit van karboniumione

##### 1.3.2.1 Die snelheid van karboniumioon vorming

Die volgende twee hipoteses is voorgestel om die reaktiwiteit van karboniumione te verklaar<sup>42</sup>:

i) 'n Minder stabiele karboniumioon sal vinniger as 'n meer stabiele karboniumioon reageer. Dit word aangeneem dat die oorgangstoestand, wat ook al die rede vir die onstabilitet daarvan relatief tot die karboniumioon is, die karakter eienskappe van die karboniumioon verloor en dat die energieinhoud daarvan minder deur strukturele veranderinge as vir die karboniumioon, beïnvloed word.

ii) 'n Meer stabiele karboniumioon sal vinniger as die minder stabiele karboniumioon vorm. As die karboniumioon  $R^+$  meer stabiel is as  $R'^+$ , dit wil sê as die ionisasie  $R-X \rightarrow R^+ + X^-$  vinniger as  $R'-X \rightarrow R'^+ + X^-$  plaasvind, sal, relatief ten opsigte van  $R-X$ , die oorgangstoestand  $R^+ - - - X^-$  meer stabiel as  $R'^+ - - - X^-$ , wees.



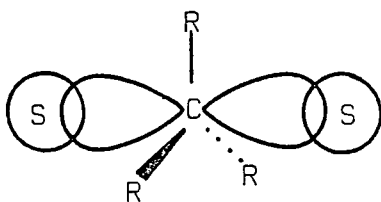
Indien die energieinhoud van die gevormde karboniumioon  $R^+$  na aan dié vir  $R^+ - - - X^-$  is, word die karboniumioon energie nie noemenswaardig deur die nukleofiel  $X^-$  beïnvloed nie. Verskillende nukleofiele sal dus slegs 'n geringe invloed op die stabiliteit van  $R^+ - - - X^-$  uitoefen. In die algemeen kan dus gesê word dat hoe minder stabiel die karboniumioon is, hoe minder is die reaksiesnelheid van die struktuur van die nukleofiel afhanklik en hoe minder selektief sal die karboniumioon vir 'n spesifieke nukleofiel in 'n mengsel wees .

### 1.3.2.2 Solvolise van karboniumione

Dit word algemeen aanvaar dat die snelheidsbepalende stap in die solvolise van *t*-butielchloried, heterolise van die koolstof-chloor binding is<sup>43</sup>. Die snelheid van solvolise toon egter 'n oplosmiddel afhanklikheid en geskied baie vinniger in water as in alkohol. Hierdie is 'n aanduiding dat die oplosmiddel op een of ander wyse by heterolise betrokke is.

Solvering kan deur 'n elektrostatiese interaksie tussen die oplosmiddelmolekule en die karboniumione plaasvind. Die oplosmiddelmolekule word nie permanent gebind nie, maar is in 'n ewigdurende uitruiling met die ander molekule betrokke.

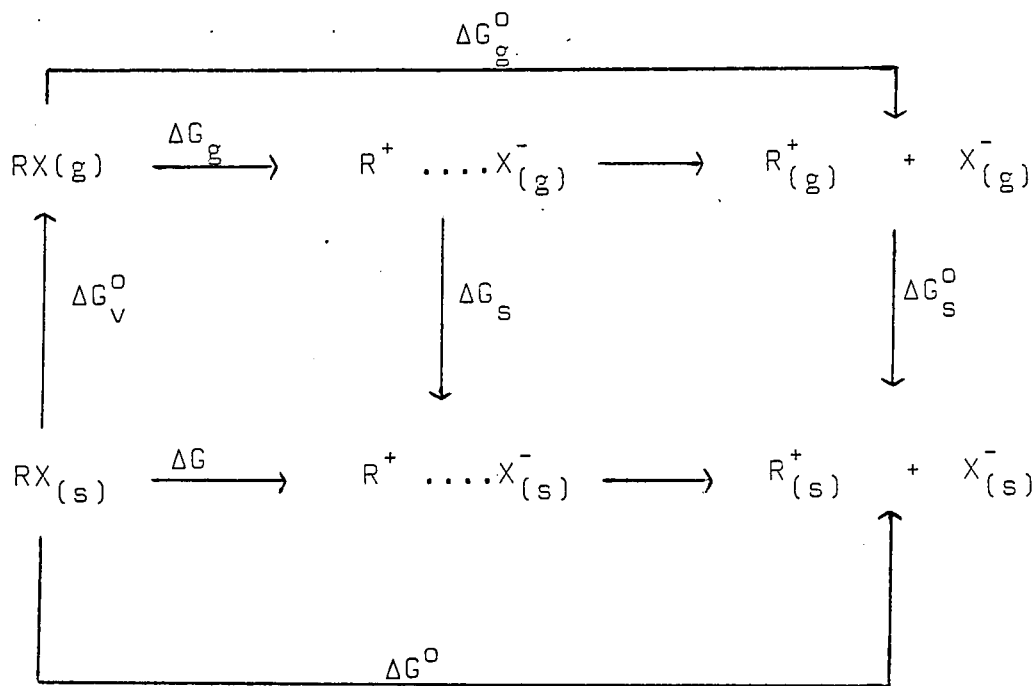
'n Ander benadering<sup>44</sup> is dat die oplosmiddelmolekule kovalent aan die ioon gekoppel word. Hierdie kovalente koppeling vind deur die oorvleueling van die geskikte orbitale van die oplosmiddelmolekule (S) met die vakante *p*-orbitaal van die karboniumioon, plaas.



Dit word beskou dat die C-S bindings baie swakker as die ander bindings is, wat uitruiling moontlik maak.

### 1.3.2.3 Energie van sоловering

Die ionisasie van 'n organiese molekuul RX in 'n gasfase (g) en in oplossing (S), word in die volgende figuur uitgebeeld.



waar  $R^+ \dots X^-$  die oorgangstoestand en  $R^+$  en  $X^-$  die gevormdeione is.

Die sоловeringsenergie van die karboniumioon  $R^+$  is daardie deel van  $\Delta G^{\circ}_s$  wat ontstaan met die oordrag van  $R^+$  vanaf die gas na die vloeibare fase.

$$\Delta G^{\circ} = \Delta G^{\circ}_g + \Delta G^{\circ}_s + \Delta G^{\circ}_v \dots \dots \dots (1)$$

Karboniumione vorm makliker in oplossing as in die gas fase omdat  $\Delta G^{\circ}_s$  sowel as die sоловeringsenergie van RX,  $\Delta G^{\circ}_v$ , 'n belangrike rol speel. Vanaf die figuur kan die volgende

vergelyking ook afgelei word

$$\Delta G = \Delta G_g^{\neq} + \Delta G_s^{\neq} + \Delta G_v^0 \dots \quad (2)$$

Verandering van die reaksiemedium beïnvloed ook die snelheid waarmee karboniumione gevorm word. Om hierdie effek waar te neem, word (2) na die volgende omgeskakel <sup>45</sup>,

$$\delta_m \Delta G^{\neq} = \delta_m \Delta G_s^{\neq} + \delta_m \Delta G_v^0 \dots \quad (3)$$

waar  $\delta_m$  die verandering in  $\Delta G^{\neq}$  is en  $\delta_m \Delta G_g^{\neq}$  gelyk aan nul is.

'n Toepassing van bostaande vergelyking kan in die volgende voorbeeld gesien word :

$$\Delta G_{(\text{metanol})}^{\neq} - \Delta G_{(\text{water})}^{\neq} = \Delta G_{s(\text{metanol})}^{\neq} - \Delta G_{s(\text{water})}^{\neq} + \Delta G_{v(\text{metanol})}^{\neq} - \Delta G_{v(\text{water})}^0$$

#### 1.3.2.4 Effek van die karboniumioon struktuur

Die grootste invloed wat die struktuur uitoefen, is die mate waartoe die positiewe lading gedelokaliseer kan word. Omdat die gedelokaliseerde lading nie eweredig oor al die atome van die molekuul versprei word nie, is die interaksie tussen die oplosmiddel en die "oppervlak" van die molekuul nie eenvormig nie. Die sоловingsenergie kan nou gedefinieer word as die som totaal van alle oplosmiddel-gedelokaliseerde lading interaksies <sup>46</sup>.

$$\Delta G_s = -\sum_r \frac{q_r^2 e^2}{2R} (1 - 1/D)$$

$q_r$  = positiewe lading op die  $r^{\text{e}}$  koolstof atoom

R = omtrek van die ion

D = dielektriesekonstante

Dit is eksperimenteel gevind dat  $\Delta G^\circ$  en  $\Delta S^\circ$  met veranderde substitusie van triarielmetielketone, verander<sup>47</sup>. Groter  $\alpha$ -substituente in organiese haliede verhoog ook die aktiveringse rings entropie van karboniumioon vorming, waarskynlik as gevolg van steriese faktore wat verhoed dat die oplosmiddel-molekule die gevormde ione stabiliseer.

#### 1.3.2.5 Effek van die oplosmiddel

Met die ionisasie van *t*-butielchloried is dit gevind dat verskillende reaksiesnelheidskonstantes en  $\Delta H$  (entalpie) waardes met verskillende oplosmiddels verkry word<sup>46</sup>.

Oplosmiddel	$10^7 k$ sek <sup>-1</sup>	$\Delta H^\ddagger$ k kal mol <sup>-1</sup>	$\Delta S^\ddagger$ kal mol <sup>-1</sup> grade <sup>-1</sup>
water	$2,7 \times 10^5$	23,2	+22,2
mieresuur	$1,1 \times 10^4$	21,0	- 1,9
formamied	$3,7 \times 10^2$	22,4	- 3,8
metanol	7,2	24,9	- 3,1
asynsuur	2,2	25,8	- 2,5
etanol	1,0	26,1	- 3,2

Tabel 1

As die resultate vir water verkry, uitgelaat word, neem  $\Delta H^\ddagger$  toe met 'n afname in oplosmiddel polariteit en  $\Delta S^\ddagger$  bly klein. Dit is duidelik dat die substraat-oplosmiddel

interaksie verander terwyl die geordende rangskikking van die oplosmiddelmolekule nie beïnvloed word nie. Water is egter 'n oplosmiddel waar die molekule in 'n besondere geordende wyse gerangskik is. Hierdie geordenheid word nou in die omgewing van die ioniese oorgangstoestand belemmer, sodat die entropieë baie toeneem.

Tabel 2 toon die effek wat verskillende oplosmiddels op die aktiveringsenergie van *t*-butielchloried het, aan<sup>48</sup>.

Oplosmiddel	$\delta_m \Delta G^\neq$	$\delta_m \Delta G_v^0$	$\delta_m \Delta G_s^\neq$	$\delta_m E_t$
metanol	0,0	0,0	0,0	0,0
etanol	1,28	0,53	0,75	4,3
asynsuur	0,75	0,15	0,60	4,4
water	-6,25	-4,09	-2,16	-11,6

Tabel 2

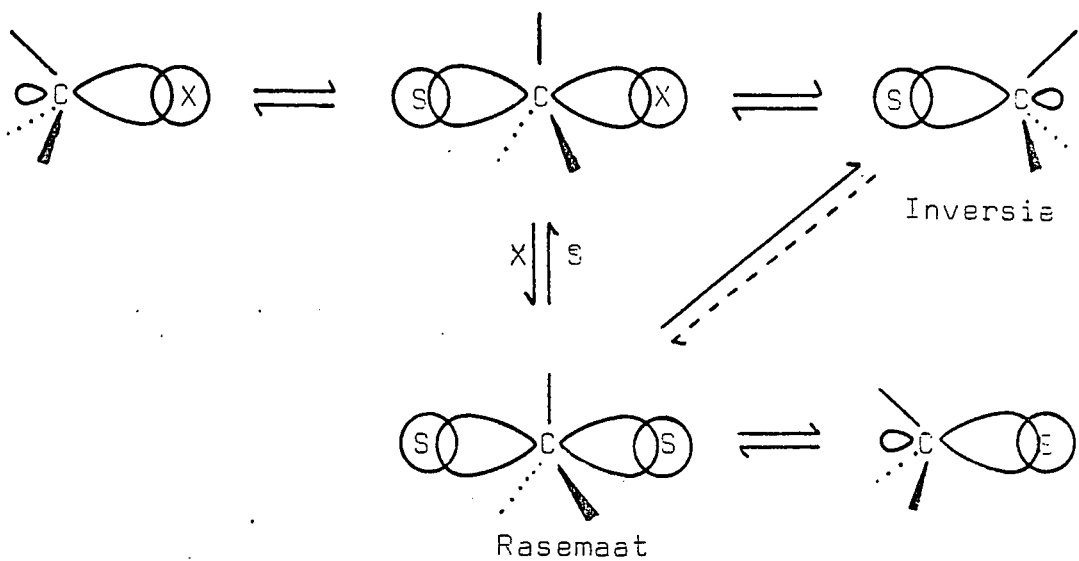
Die verandering van metanol na etanol na asynsuur is positief wat 'n verhoogde solvering van die grondtoestand en 'n verminderde solovering van die oorgangstoestand aandui. In waterige medium neem die reaksiesnelhede toe met 'n verhoogde waterinhoud wat aan 'n verhoogde solvering van die oorgangstoestand en 'n verminderde solovering van die grondtoestand, toegeskryf word.

### 1.3.3 Stereochemie

Vir substitusie reaksies by 'n asimmetriese koolstofatoom,  
<sup>49</sup> het Ingold die volgende S<sub>N</sub>1 reëel geformuleer. S<sub>N</sub>1 reaksies (dit wil sê *via* 'n karboniumioon) veroorsaak rasemerasie met hoofsaaklik inversie van konfigurasie tensy 'n konfigurasie stabiliserende groep teenwoordig is, wat verantwoordelik is vir die behoud van konfigurasie.

<sup>50</sup> Verandering van die tetrahedriese rangskikking van die sp<sup>3</sup> verbasterde koolstof na die planêre sp<sup>2</sup> verbasterde rangskikking<sup>43</sup>, veroorsaak dat daar 'n as van simmetrie is en dat substitusie rasemerasering tot gevolg kan hê. Solvolise van organiese haliede<sup>50</sup> toon 'n toename in inversie in die volgende reeks,  $\alpha$ -fenieletiel < 3,7-dimetiel-3-oktiel < 2-oktiel, aan. Dus dui sekondêre arielalkiel < *t*-alkiel < *s*-alkiel 'n afname in karboniumioon stabilitet aan.

Die rede hiervoor aangevoer was dat die oplosmiddelmolekule eers nadat die energieversperring vir die vorming van die karboniumioon plaasgevind het, daarmee bind. Alhoewel die heterolise voltooi is, is die verlatende groep na aan die karboniumioon met die oplosmiddelmolekule wat van die teenoorgestelde kant aanval wat inversie tot gevolg het. Hoe meer stabiel die karbonium dus is, hoe langer is die leeftyd en hoe meer tyd het die verlatende groep om weg te diffunder sodat aanval van beide kante kan geskied.

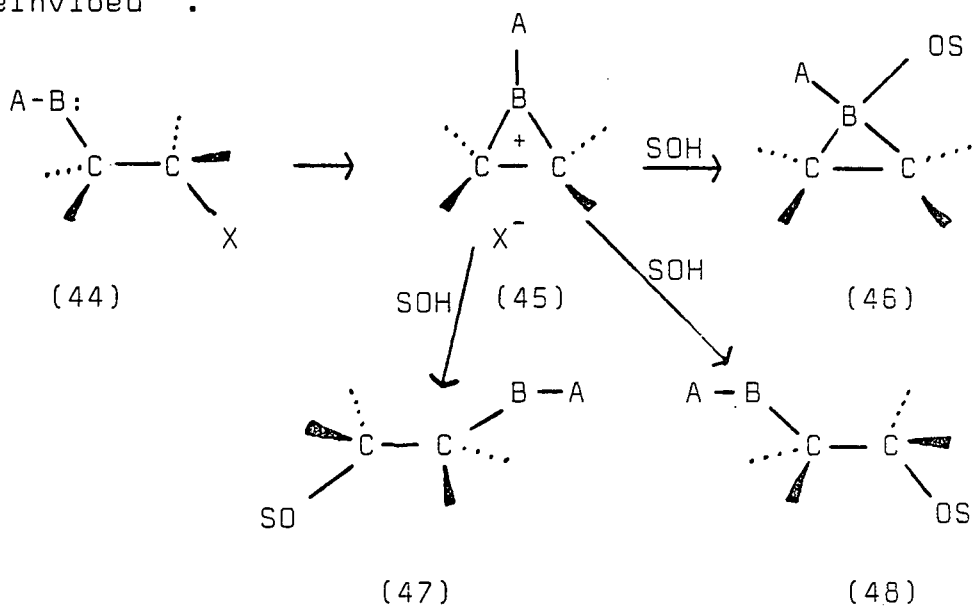


X = verlatende groep

S = oplosmiddel molekuul

### 1.3.3.1 Buurgroep deelname

Buurgroepes wat 'n alleenpaar elektrone besit, kan die stereochemiese verloop van substitusie reaksies tot 'n groot mate beïnvloed.<sup>44</sup>



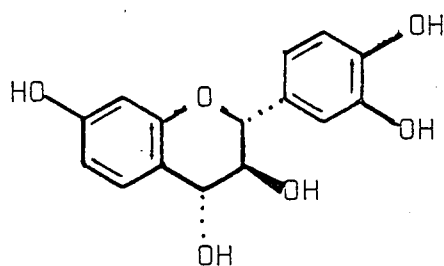
In 'n reaksiesnelheidsbepalende stap word die groep X deur die alleenpaar elektrone van B vervang om die sikliese struktuur (45) te gee. As die sikliese produk stabiel is, kan dit reaksie met SOH ondergaan om (46) te lewer. Die gewone reaksieverloop is egter 'n aanval deur SOH van die teenoorgestelde kante van die ring (as gevolg van steriese faktore) om produkte te lewer wat óf behoud van konfigurasie (48) óf herringeskikking (47) tot gevolg sal hê.

Dit is egter belangrik om daarop te let dat die groepe (verlatend en buurgroep) *trans-diaksiaal* ten opsigte van mekaar moet wees.

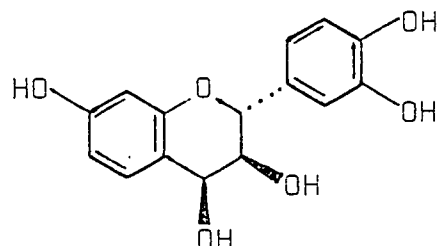
#### 1.3.4 Stereochemiese verloop van interflavancied koppelingsreaksies

##### 1.3.4.1 Kondensasie reaksies van flavan-3,4-diole met 'n resorsinol A-ring

In reaksies waar die 4-OH van (+)-2,3-*trans*-3,4-*trans* (1) en 2,3-*trans*-3,4-*cis* (19) flavan-3,4-diole selektief gemitileer is, is 'n mengsel van produkte 3,4-*trans* en 3,4-*cis*-diastereoisomere in die verhouding 1:2 (*trans:cis*) verkry<sup>22</sup>.



(1)



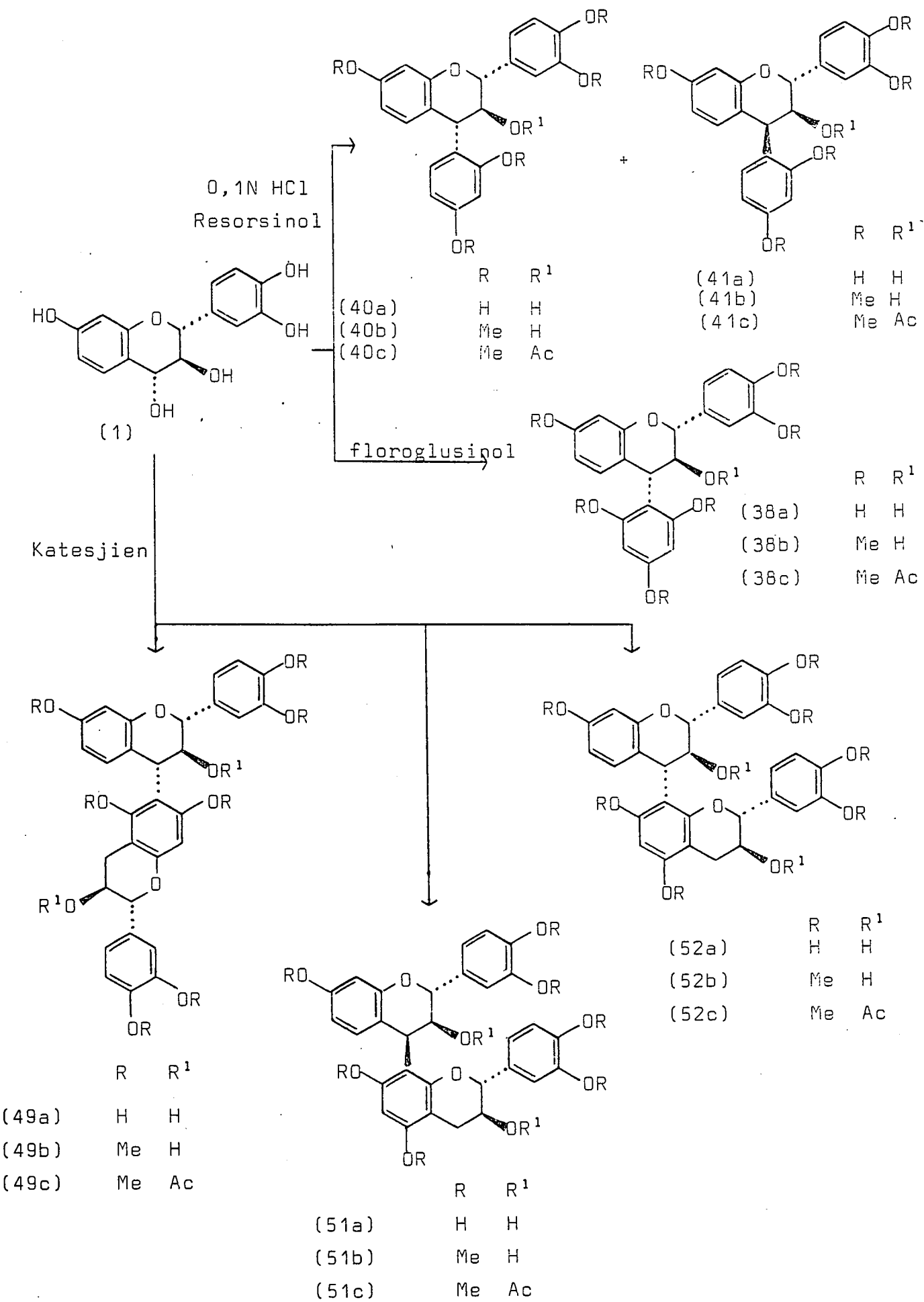
(9)

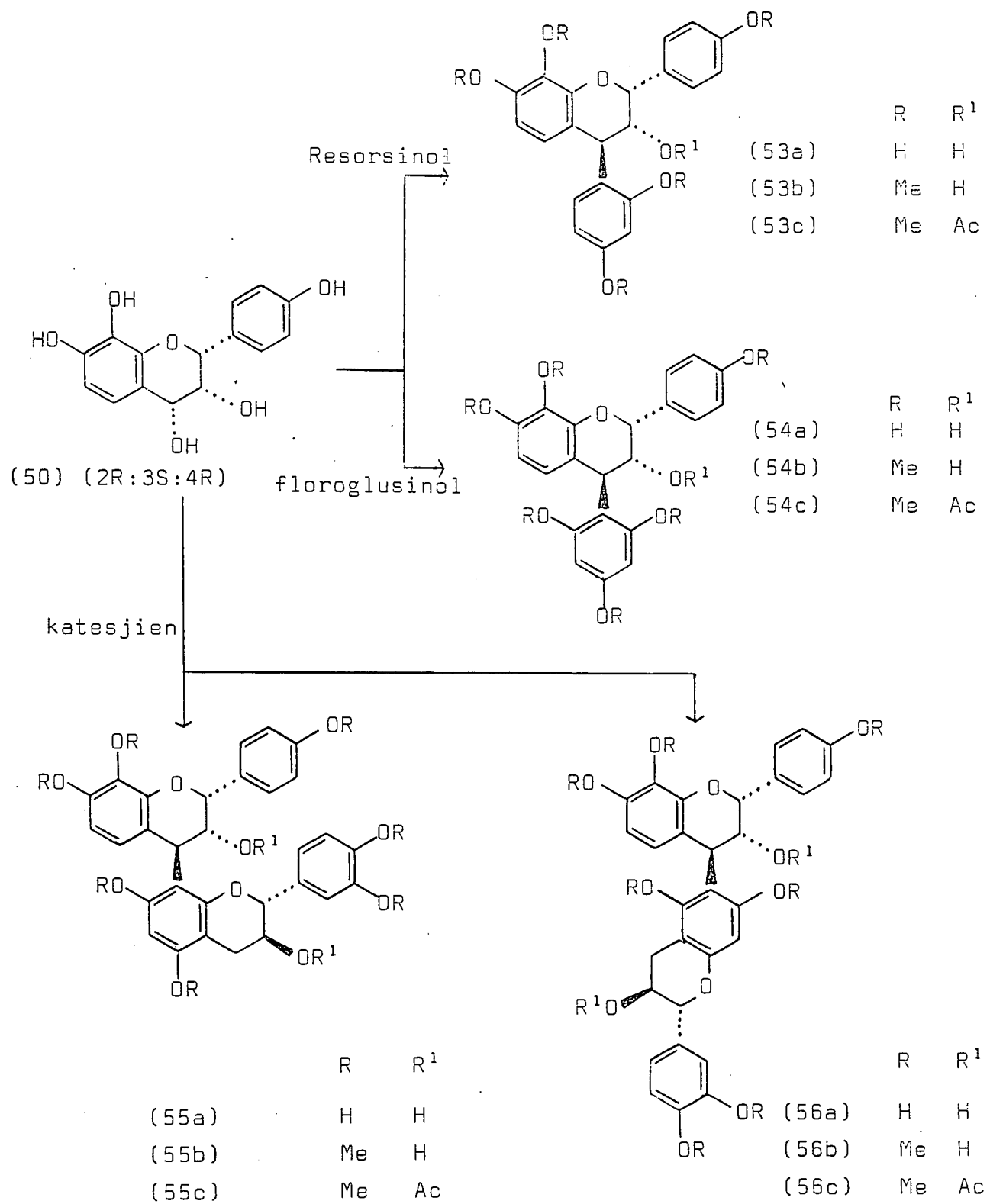
Hierdie verhouding dui 'n ewewig aan waarin die 4-aksiale oriëntasie (*3,4-cis*) as gevolg van beter resonansstabilisatie van die bensiliiese karboniumioon, begunstig word<sup>37</sup>.

Die 3-asetate van *2,3-trans-3,4-trans-4*-alkieleters toon koppelingskonstantes wat ooreenstem met die oorspronklike uitgangstowwe [ $J_{2,3} = 10,0$ ;  $J_{3,4} = 7,6\text{Hz}$ ]. 3-Asetate van *2,3-trans-3,4-cis-4*-alkieleters toon baie kleiner koppelingskonstantes [ $J_{2,3} < 1$ ;  $J_{3,4} \leq 1\text{Hz}$ ].

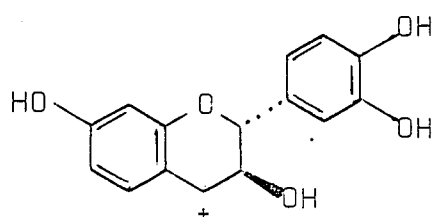
Hierdie waardes dui 'n verandering vanaf die normale halfstoel konformasie aan<sup>38</sup>. 'n Verdraaide bootkonformasie waarin die 3-asetoksi- en 4-alkoksigroep aksiaal en ekwatoriaal onderskeidelik is, het dihedriese hoeke tussen  $C_2\text{-H}$  en  $C_3\text{-H}$  en tussen  $C_3\text{-H}$  en  $C_4\text{-H}$  van  $80^\circ$  en  $70^\circ$  onderskeidelik<sup>39</sup> wat klein koppeling volgens die Karplusverhouding sal hê. Die distorsie van die halfstoelkonformasie word dus deur die teenwoordigheid van 'n *3,4-cis* konfigurasie en die 3-asetoksi substituent veroorsaak. Interaksie tussen die 3-asetoksi- en 3-fenielsubstituente tesame met die 4-alkoksigroep wat soos in die gevalle van 4-fenielsubstitusie 'n *ekwatoriaale rangskikkering* inneem, veroorsaak 'n gedraaide bootkonformasie.

Die volgende skema dui 'n vergelyking tussen die kondensasie reaksies van (+)-mollisacacidin en (-)-teracacidin (50) met fenoliiese eenhede aan :

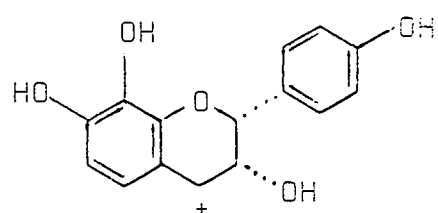




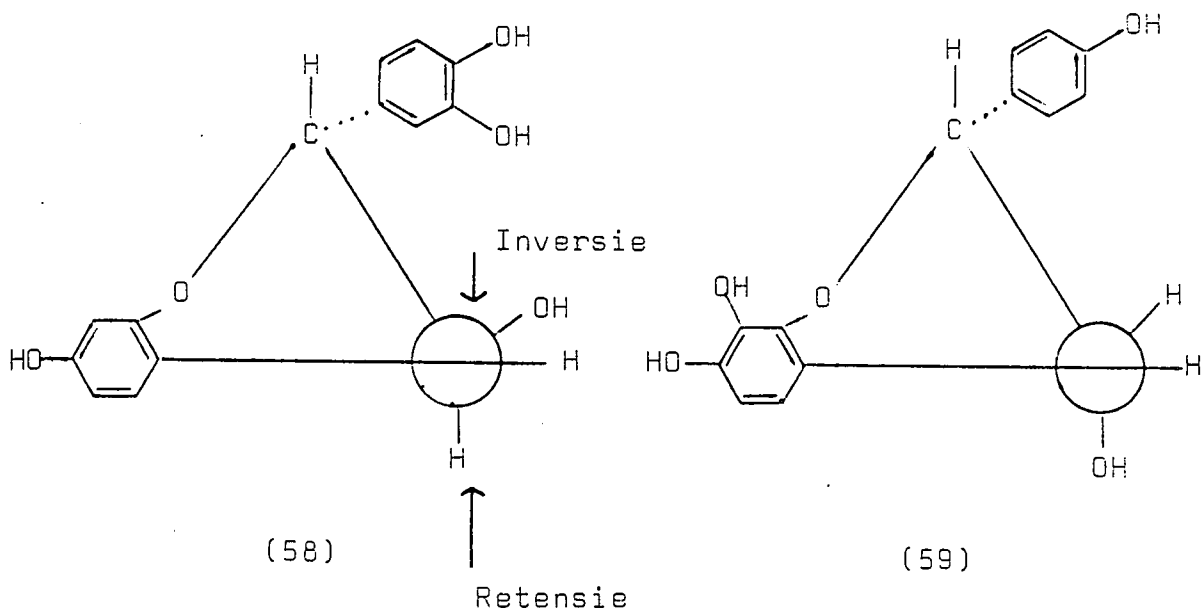
Kondensasie reaksies met (-)-teracacidin verloop slegs met inversie op C<sub>4</sub> terwyl met (+)-mollisacacidin beide inversie en retensie (1:2) voorkom. 'n Verklaring vir hierdie verskynsel kan aangelei word as die vyfpunt koplanêre konformasie van die intermediêre karboniumione (58) en (59) beskou word.



(56)



(57)



2H en 3H : *trans*

3-OH : *ekwatoriaal*

2 H en 3H : *cis*

3-OH : *aksiaal*

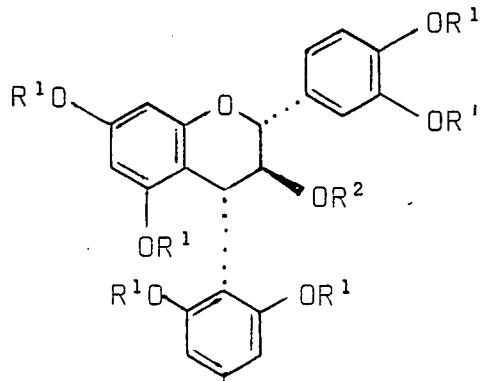
Nukleofiele aanval op die 2,3-*cis* karboniumioon vind dus selektief vanaf die mins verhinderde "boonste" kant plaas wat uitsluitlik inversie tot gevolg sal hê. Hier teenoor vind nukleofiele aanval op die 2,3-*trans* karboniumioon hoofsaaklik vanaf die mins verhinderde "onderste" kant plaas. As gevolg van 'n verlaagde steriese effek van die 3-OH, vind dus 'n geringe mate van inversie plaas. Hierdie verklaring stem dan ook ooreen met die eksperimentele resultate verkry.

Opvallend is dat flavan-3-ole met 'n floroglusinol A-ring hoofsaaklik produkte van 4-8 koppeling gee met 'n geringe mate van 4-6 koppeling<sup>13</sup> terwyl die ooreenstemmende flavan-3-ole met 'n resorsinol A-ring regiospesifiek 4-6 koppeling tot gevolg het.

'n Ondersoek van die KMR spektra van 'n reeks 6- en 8-gesubstitueerde katesjiene, toon dat H<sub>6</sub> deurgaans by hoërveld ( $\delta_{CDCl_3}$  6,1-6,22) as H<sub>8</sub> ( $\delta_{CDCl_3}$  6,32-6,47) resoneer<sup>14</sup>. Dit dui daarop dat H<sub>6</sub> 'n hoë elektrondigtheid en aldus nukleofiliteit besit sodat die rede vir die waargenome oorheersende 4-8 koppeling waarskynlik steries van aard is.

#### 1.4 Rotasie isomerie

Vanuit die vorige bespreking is dit duidelik dat daar in sekere gevalle 'n beperking van rotasie om die C(sp<sup>2</sup>)-C(sp<sup>3</sup>) bindingsas voorkom. Om hierdie verskynsel in die dimere B(1-4) te bestudeer, is modelverbindings (34 a-e), (35 a-c), (60) en (61 a-b) gesintetiseer<sup>23</sup>.



R<sup>1</sup> R<sup>2</sup>

(35a)

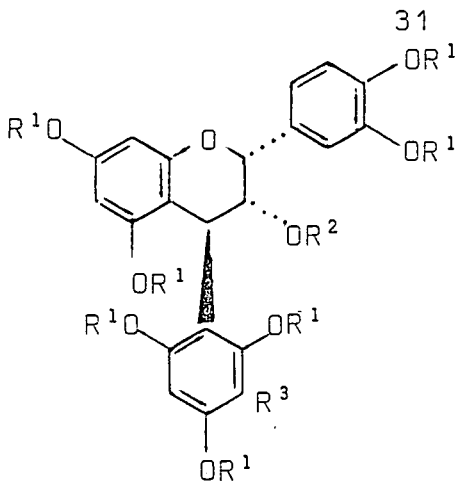
H H

(35b)

Ac Ac

(35c)

Me H



R<sup>1</sup> R<sup>2</sup> R<sup>3</sup>

(34a)

H H H

(34b)

Ac Ac H

(34c)

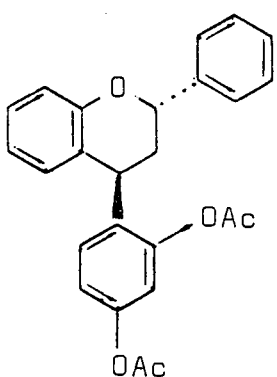
Me H H

(34d)

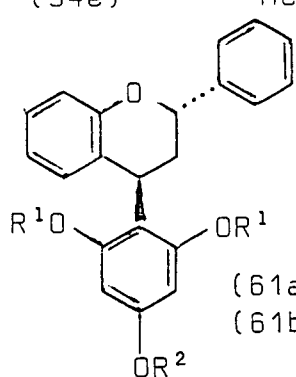
Ac Ac Me

(34e)

Me H Me



(60)



(61a) R<sub>1</sub>=R<sub>2</sub>=Ac  
(61b) R<sub>1</sub>=Ac R<sub>2</sub>=Et

By lae temperature kom daar drie asetoksi seine vir (61 a) in <sup>1</sup>H KMR voor. Hierdie 3 seine ( $\delta$  1,25; 1,64 en 1,86) wat 'n aanduiding is dat daar beperkte rotasie voorkom, verval om by 80°C twee skerp singulette te gee [ $\delta$  1,55 en 1,90]. Molekulêre modelle duï aan dat hierdie beperking van rotasie hoofsaaklik te wyte aan steriese interaksies tussen die C-2 proton en die  $\pi$  sisteem van die A-ring en die *ortho* substituente van die floroglusinolring, is (62).

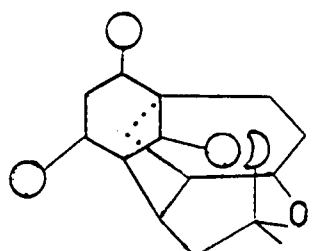
Dit is ook gevind dat die ander heterosikliese protone geen verandering in chemiese verskuiwing toon nie, wat aandui dat die konformasie sodanig is dat die 2 feniel en 4-ariel groep

altyd kwasi-ekwatoriaal en kwasi-aksiaal onderskeidelik voorkom.

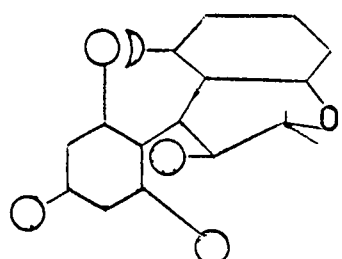
Soortgelyke resultate is vir (34 a-e) gevind. Interessant was die verskynsel dat die piek intensiteite van die twee rotameriese konformere van die trihidrooksitolueen derivate (34 d) en (34 e) soortgelyk maar nie dieselfde nie, was. Die konformeer waarin die metielgroep oor die A-ring lê, is nie die verkose konformeer nie as gevolg van interaksie met die hidroksigroep. [Modelle vir -4R-dimere].

Die vryfenoliese vorms van die dimere met 'n 4R konfigurasie [B-1 (20) en B-7 (26); B-2 (21) en B-5 (24)] het bo 0°C eerste orde  $^1\text{H}$  KMR spektra tot gevolg gehad. Die asetaat en metieleter derivate het egter eerste orde analise by 160-180°C in nitro [ $^2\text{H}_5$ ] benseen vereis.

Komponente (35 a-c) het as modelle vir 4S- dimere gedien. By lae temperature is rotasie isomerie waargeneem met die twee protone van die floroglusinol ring (C-4) as 'n AB kwartet ( $J_{2,5}$  Hz) wat by verhoogde temperatuur as 'n singuleet voorkom. Modelle het hier ook getoon dat die twee *ortho*-hidroksigroepe verantwoordelik was vir die beperking op rotasie (63).



(63)

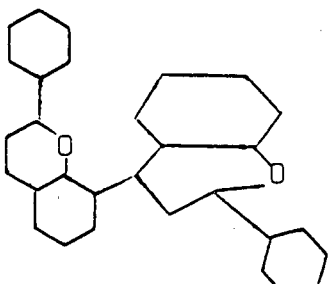


(62)

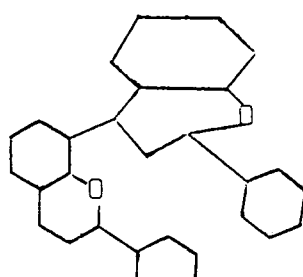
Die dimere met 4-S konfigurasie [B-3 (22) en B-6 (25), B-4 (23) en B-8 (27)] toon by 30°C die teenwoordigheid van twee rotameriese vorms, maar dat eerste orde  $^1\text{H}$  spektra by 100°C in [ $^2\text{H}_6$ ] dimetiel-sulfoksied en by 160-180°C in nitro [ $^2\text{H}_5$ ] benseen voorkom. Die oplosmiddel afhanklikheid van  $\Delta G_{\text{rot}}^{\neq}$  (vry energie vir aktivering vir vry rotasie) is aan waterstofbindings tussen die oplosmiddel en C-4 gebonde molekule toegeskryf.

Uit die resultate verkry [ $\Delta G_{\text{rot}}^{\neq}$  waardes] was dit duidelik dat die energiever skil tussen die dimere B(1) tot B(8), dat die dimere in twee energeties verkose konformere gedeel kan word. Die C(4)-C(6) gekoppelde dimere (4S of 4R) het soortgelyke energie en die C(4)-C(8) gekoppelde dimere soortgelyke energie.

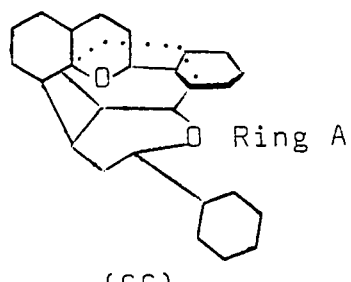
Die vry-fenoliese vorms bevat konformasies (64) en (65) vir 4S en 4R konfigurasies terwyl konformasie (66) vir metielester en asetaatderivate verkose is [vir C(4)-C(8) gekoppelde dimere].



(64)

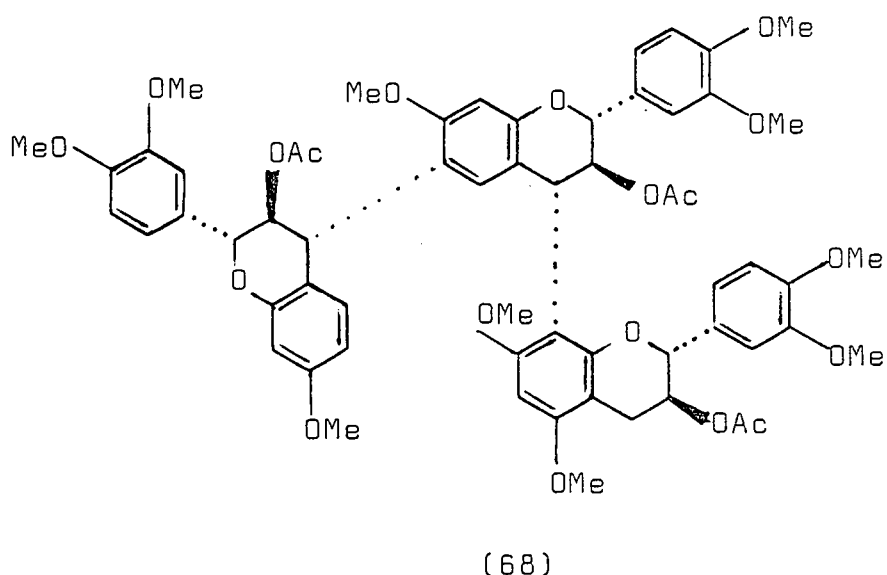
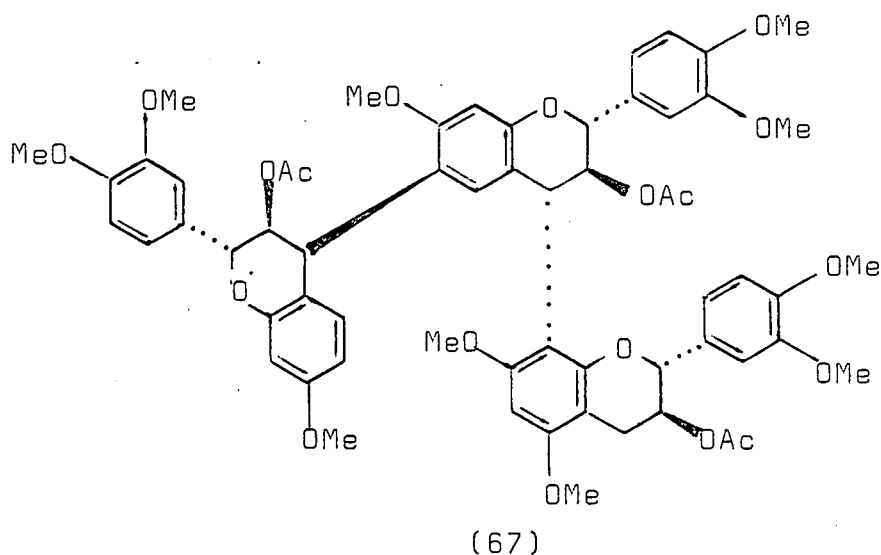


(65)



(66)

Om die strukture van twee sintetiese trimere<sup>40</sup> (67) en (68) te kon bepaal, moes die energie versperring vir vryrotasie deur temperatuur verhoging, toegepas word voordat eerste orde  $^1\text{H}$  KMR analise moontlik was.



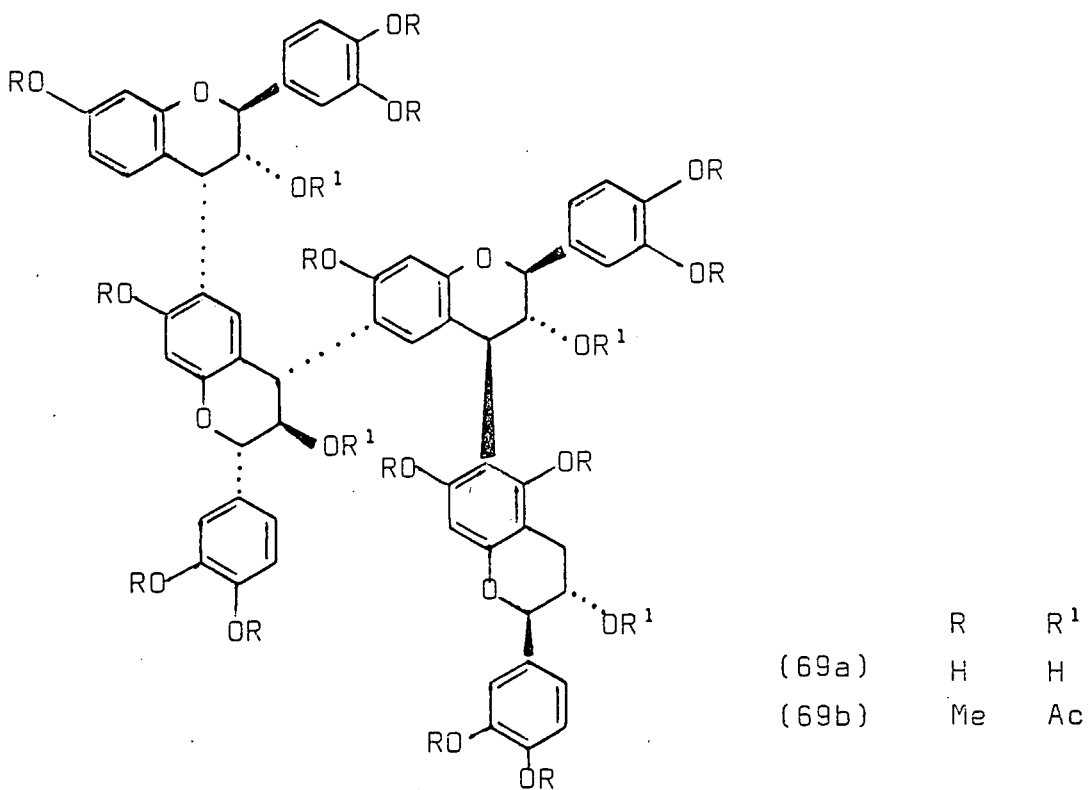
(Bostaande strukture is verkeerd voorgestel - sien besprakking)

Die KMR spektrum in DMSO by  $37^\circ\text{C}$  vir (68) (alles *trans*) toon verbrede seine oor die hele spektra terwyl die drie heterosikliese asetoksigroepe elk deur twee singulette verteenwoordig word ( $\delta$  1,84: 1,78; 1,69: 1,53 en 1,66: 1,44) (3:2). Aangesien hier nou beperking om twee asse is, is die tempe-

ratuur benodig om die energie versperring te oorbrug,  $160^{\circ}\text{C}$  teenoor die  $110^{\circ}\text{C}$  by die biflavanoïede. By hierdie verhoogde temperatuur verval die verdubbelde sein wat die laagste intensiteit gehad het om as 'n skerp singuleet met dié van hoogste intensiteit saam te smelt. 'n Interessante waarneming was dat die sein met hoogste intensiteit by laer temperatuur nie 'n chemiese verskuiwing met temperatuurverhoging ondergaan nie, maar dat die sein met laagste intensiteit (by lae temperatuur), hiermee saamsmelt. Hierdie verskynsel kom by die di- en trimere voor. By  $160^{\circ}\text{C}$  kom die drie asetoksiseine dus by  $\delta$  1,84; 1,69 en by 1,66 voor.

Die 3,4-cis-(C-ring)-triflavanoïed (67) onderraan soortgelyke verskerping en samesmelting van seine met temperatuurverhoging.

In teenstelling met die bi- en triflavanoïede tot dusver bespreek, toon die 200 MHZ KMR-spektrum ( $\text{CDCl}_3$ ) van die tetraflavanoïed (69) deur Ferreira <sup>41</sup> et al. uit die karee geïsoleer, geen tekens van rotasie-isomerie nie.



Vanaf konformasionele studies en koppelingskonstantes, is die 2 en 4 fenielkoppelings aan die heterosikliese ringe van elke flavanoïedeenheid in die tetrameer as *ekwatoriaal* aangedui. Die 3-asetoksi-groepe is ook *ekwatoriaal* gerangskik behalwe op die C-ring waar die oriëntasie *aksiaal* is. Aangesien aanvaar word dat alle 4,6-interflavanoïed-bindings *ekwatoriaal* is en met die aanname dat sterk intramolekulêre waterstofbindings tussen die funksionele groepe bestaan, behoort die tetraflavanoïed in die fenoliese vorm dus 'n planêre konformasie aan te neem.

In die KMR spektra van di-<sup>22</sup> en triflavanoïede<sup>40</sup> met 'n (+)-katesjien terminale groep word hoëveld metoksiseine waargeneem wat verbreed was as gevolg van beperking van vry rotasie. Opvallend in die tetraflavanoïed was 'n hoë veld skerp metoksi sein wat aan C<sub>5</sub> van die J-ring toegeken is. Hierdie kan moontlik 'n aanduiding wees dat die energievereistes vir rotasie om die 6-4 (J-F ringe) bindingsas, so hoog is dat by kamertemperatuur geen rotasie plaasvind nie en dat hier dus 'n spesifieke rotameer geïsoleer is.

-----ooOoo-----

## BESPREKING

=====

Inleiding

Suurgekataliseerde carbokaticoconvorming op C<sub>4</sub> van flavan-3,4-diole gevolg deur reaksie met fenoliese nukleoefiele spesies het geleid tot ontwikkeling van die eerste doeltreffende metode vir sintese van vryfenoliese 4-ariel/flavaniel/biflavaniel-flavan-3-ole<sup>40</sup>. Die probleem om die absolute konfigurasie by C<sub>4</sub>, dit wil sê die punt van interflavaan koppeling, te bepaal, is op elegante wyse tydens bogenoemde sintetiese benadering opgelos met die daarstelling van 'n eenvoudige SD metode<sup>13</sup>.

Tydens hierdie ondersoek is die stereochemiese verloop van sommige ariel-flavan-3,4-diol kondensasie reaksies herondersoek terwyl die invloed van metiel substituente op die elektrofiel ook bestudeer is.

Isolasie van 'n nuwe biflavanoïed met 'n terminale diol funksie is uniek in dié sin dat al die moontlike stereoisomere met 2,3-*trans* stereochemie nou bekend is. 'n Nuwe hoër oligomeriese trimeriee analoog met terminale diol funksie is 'n verdere uitbouing van diol eenhede wat beskikbaar is vir die sintese van hoër oligomere. Die SD metode is ook vir die eerste keer gebruik om die absolute stereochemie van die genoemde poliflavanoïede te bepaal.

Direkte sintese van bi- en triflavanoïede met terminale

3,4-diol funksies is vir die eerste keer deur selfkondensasie van flavan-3,4-diol eenhede suksesvol uitgevoer.

Isolasie van moontlike tetraflavanoïede is relatief uniek in dié sin dat daar tot dusver nog net een natuurlike tetraflavanoïed uit *Rhus lancia* geïsoleer is en dat hierdie klas verbindings 'n verdere uitbouing van die angulêre triflavanoïede met katesjien as gemeenskaplike nukleofiel is.

-----ooOoo-----

## HOOFSTUK 1

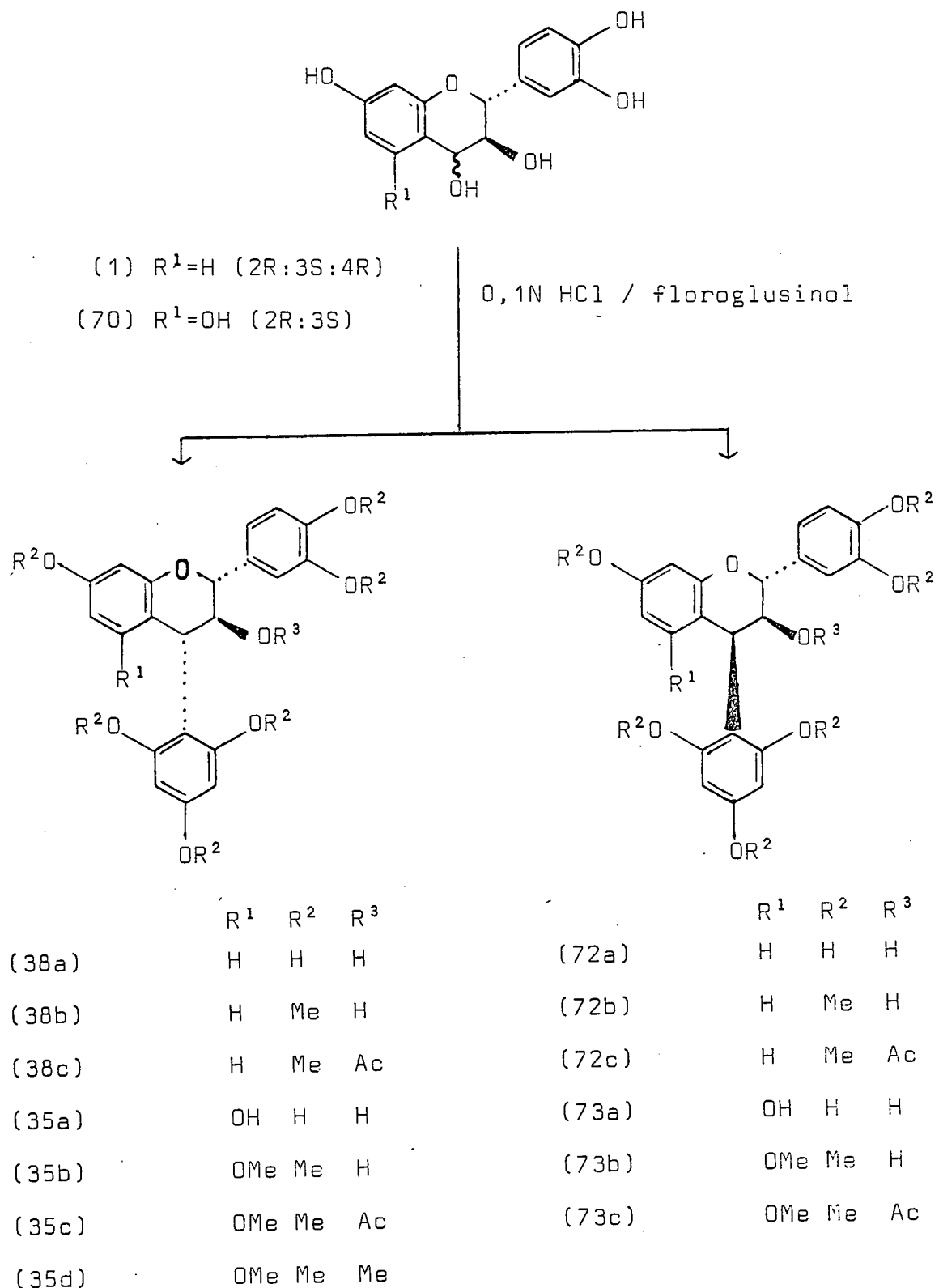
### 1 SUURGEKATALISEERDE KONDENSASIE VAN (+)-MOLLISACACIDIN (1) EN (+)-LEUKOSIANIDIN (70) MET FLOROGLUSINOL

In die oorspronklike werk deur Botha<sup>40</sup> gedoen, is resorsinol en floroglusinol aan 2,3-*trans*-flavan-3,4-diole gekoppel. Reaksie van (+)-mollisacacidin en (+)-leukosianidin met resorsinol verloop stereoselektief om die 3,4-*trans* en 3,4-*cis* 4-arielflavane in die verhouding 2:1 te lewer.

Reaksie met floroglusinol verloop egter, volgens Botha<sup>40</sup>, stereospesifiek om slegs die 3,4-*trans*-4-arielflavane te lewer.

Die vermoede dat die 3,4-*cis*-arielflavane in die laasgenoemde geval oor die hoof gesien is, is tydens die huidige ondersoek bevestig. In die geval van die reaksie van floroglusinol met (+)-mollisacacidin (1), migreer die 3,4-*cis* produk tydens DLC presies saam met ongereageerde flavan-3,4-diol en is blootgelê slegs na verlengde reaksietyd (48 uur) wanneer die diol volledig verbruik is. Aangesien die 3,4-*trans*-4-arielflavane (38c en 35c) onder dieselfde kondisies (48 uur in 0,1N HCl) volgens DLC geen tekens van isomerisasie na die 3,4-*cis* produk toon nie, kan die 3,4-*cis*-4-arielflavane as 'n artifik van epimerisasie by C-4 uitgesluit word.

Vanaf massa fragmentasie word die verwagte M<sup>+</sup> pieke van m/e 524 en 554 vir die 4-arielfisetinidol en 4-arielkatesien nuwe derivate onderskeidelik verkry. In ooreenstemming met vorige waarnemings<sup>59</sup>, vind asynsuurverlies makliker



vanaf die 3,4-*trans*-4-arielflavene as vanaf die 3,4-*cis*-4-arielflavane plaas (sien skema 1, tabel 8) wat ooreenstem met die relatiewe stereochemie.

Die relatiewe stereochemie van die 3,4-*trans* en 3,4-*cis*-isomere is op grond van koppelingskonstantes toegeken (plate 1-5). Waardes verkry is  $J_{3,4}$  3,5 Hz vir 38c;  $J_{3,4}$  6,25 Hz vir 72c;  $J_{3,4}$  8,5 Hz vir 35c en  $J_{3,4}$  6 Hz vir 73c respektiewelik.

'n Interessante verskynsel is dat die 2,3-*trans*-3,4-*trans* floroglusinol (+)-katesjien derivate nie abnormale koppelingskonstantes soos voorheen vir die 4-resorsinol<sup>59</sup> derivate verkry word nie. In tabel 1 word die verskillende koppelingskonstantes aangetoon.

Tabel 1 Koppelingskonstantes van 4-arielflavane

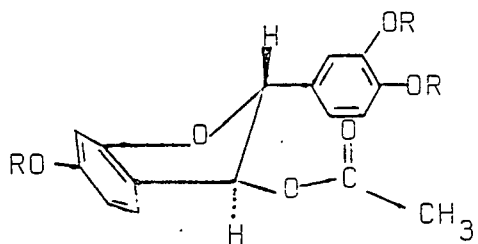
4-arielflavan	relatiewe stereochemie	koppelingskonstantes	
		$J_{2,3}$	$J_{3,4}$
38c	2,3- <i>trans</i> -3,4- <i>trans</i>	9,5	9,5
72c	2,3- <i>trans</i> -3,4- <i>cis</i>	8,65	6,25
35c	2,3- <i>trans</i> -3,4- <i>trans</i>	9,9	8,4
73c	2,3- <i>trans</i> -3,4- <i>cis</i>	9,5	6,0

Aangesien hierdie koppelingskonstantes normaal is, wat 'n aanduiding is dat die C-ring normale konformasies inneem, word die verwagte SD spektra verkry. Hoë amplitude posisie

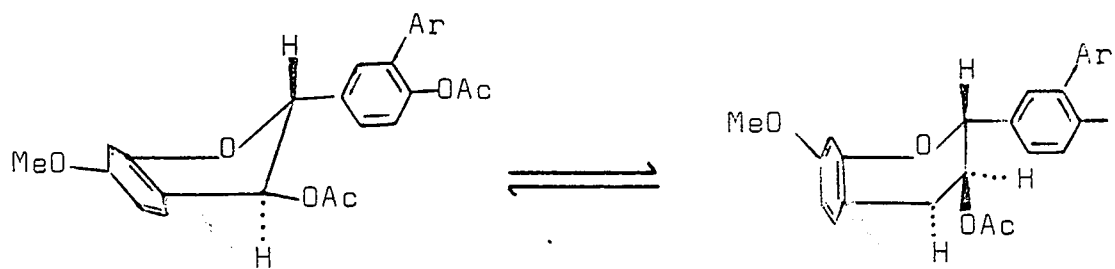
tiewe Cotton-effekte (200-240 nm) word vir die metieleterasetaat-3,4-*cis*-4-arielflavane 72c en 73c (plate 19 en 20 onderskeidelik) verkry, wat op 'n 4S absolute konfigurasie dui. Hoë amplitude negatiewe Cotton-effekte vir die 3,4-*trans*-4-arielflavane 38c en 35c (plate 19 en 20 onderskeidelik) impliseer 'n 4R absolute konfigurasie.

Die KMR (plate 1 a-c en 4 a-b) van die metieleterasetate van die 3,4-*cis*-4-arielflavan-3-ole 72c en 73c dui op die voorkoms van rotasie isomerie. Die 2- en 6-OMe groepe van die D-ring (floroglusinol) kom as twee skerp singulette voor terwyl die 3 en 5 protone van diesselfde ring as twee doblette resoneer. By 100°C is die toegevoede energie voldoende om hierdie beperking op vry rotasie te oorkom en resoneer die metoksi en 3 en 5 protone as singulette (plate 1c en 4b). Rotasie isomerie is minder opmerklik by die 3,4-*trans* isomere, waar slegs verbreding van die betrokke seine voorkom wat verskerp met temperatuur verhoging.

In vorige besprekings oor rotasie isomerie<sup>21, 38</sup>, is slegs na die beperking van rotasie om die C<sub>4</sub>-ariel bindingsas verwys. Vanaf die KMR spektra van die metieleterasetate 36c, 69c, 70c en 71c, is dit nie moontlik om 'n eerste orde analise vir die seine van die B-ring protone te doen nie wat dus vermoedelik dui op 'n beperking van rotasie van die B-ring. Verhoogde temperatuur KMR spektra (100°C in CDCl<sub>3</sub>) van (72c) en (73c) maak 'n eerste orde analise wel moontlik. Hierdie waarskynlike beperking op rotasie kan volgens modelle slegs aan die steriese interaksie tussen die lywige C<sub>3</sub>-asetoksigroep en die B-ring toegeskryf word.

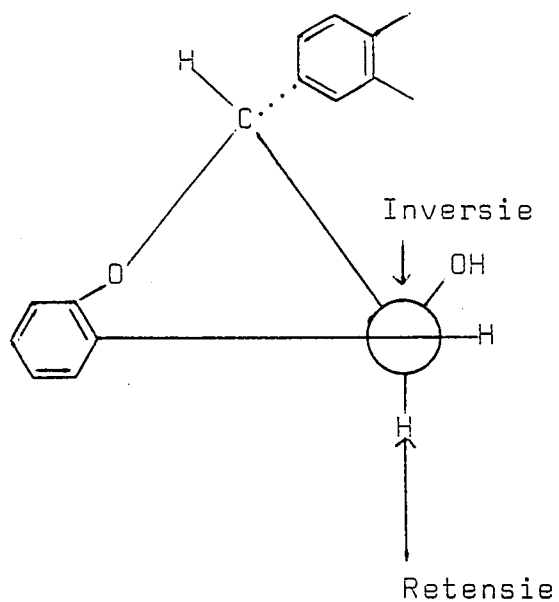
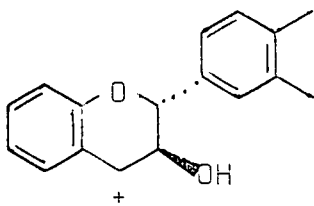


KMR ondersoeke van die 3,4-*cis*-4-arielflavane toon dat die konformasionele ewewig van die C-ring met temperatuurverhaling versteur word. By  $31^{\circ}\text{C}$  is die koppelingskonstantes vir die mollisacacidin-floroglusinol derivaat (72c)  $J_{2,3}$  9,5 Hz en  $J_{3,4}$  6,25 Hz (plaat 1a) terwyl by  $100^{\circ}\text{C}$  die konstantes onderskeidelik 8,65 en 6,25 Hz is. Vanaf modelle is dit duidelik dat met die verskuiwing van die ewewig vanaf die aanvaarde vyfpunt koplanêre konformasie na die minder gunstige bootkonformasie, slegs 'n verandering in die dihidriese hoek tussen C<sub>2</sub> en C<sub>3</sub> plaasvind terwyl dié hoek tussen C<sub>3</sub> en C<sub>4</sub> oënskynlik konstant bly.



Vanaf bogenoemde resultate kan die meganistiese voorstelling dat koppeling van floroglusinol aan flavan-3,4-diole stereo-

spesifiek verloop, verworp word. As na die volgende voorstelling gekyk word, kan gesien word dat die voorkoms van 3,4-trans tot 3,4-cis isomere in die verhouding 2:1 verwag kan word en dat die reaksie dus stereoselektief verloop.



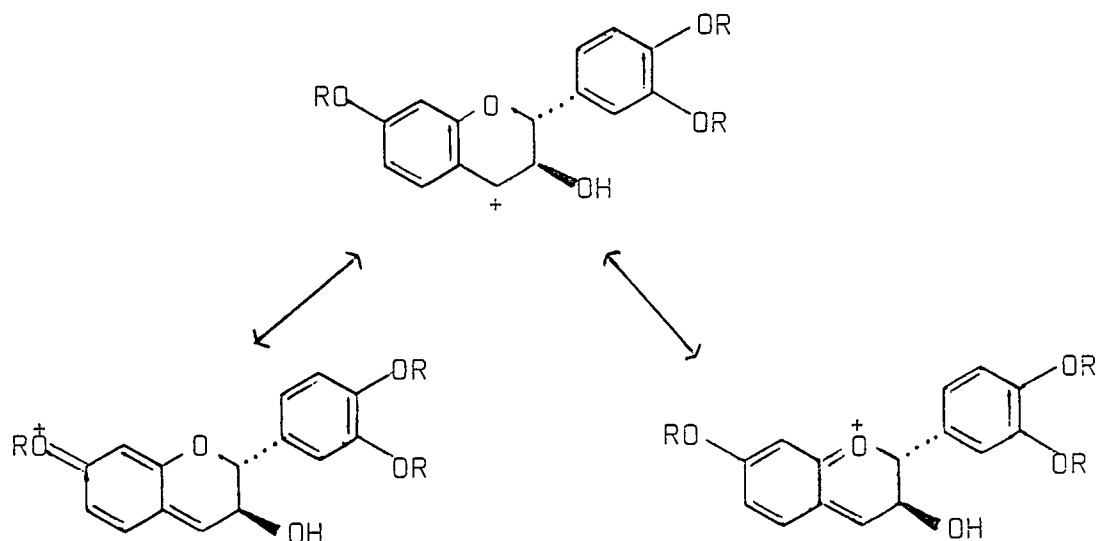
-----oo0oo-----

## HOOFSTUK 2

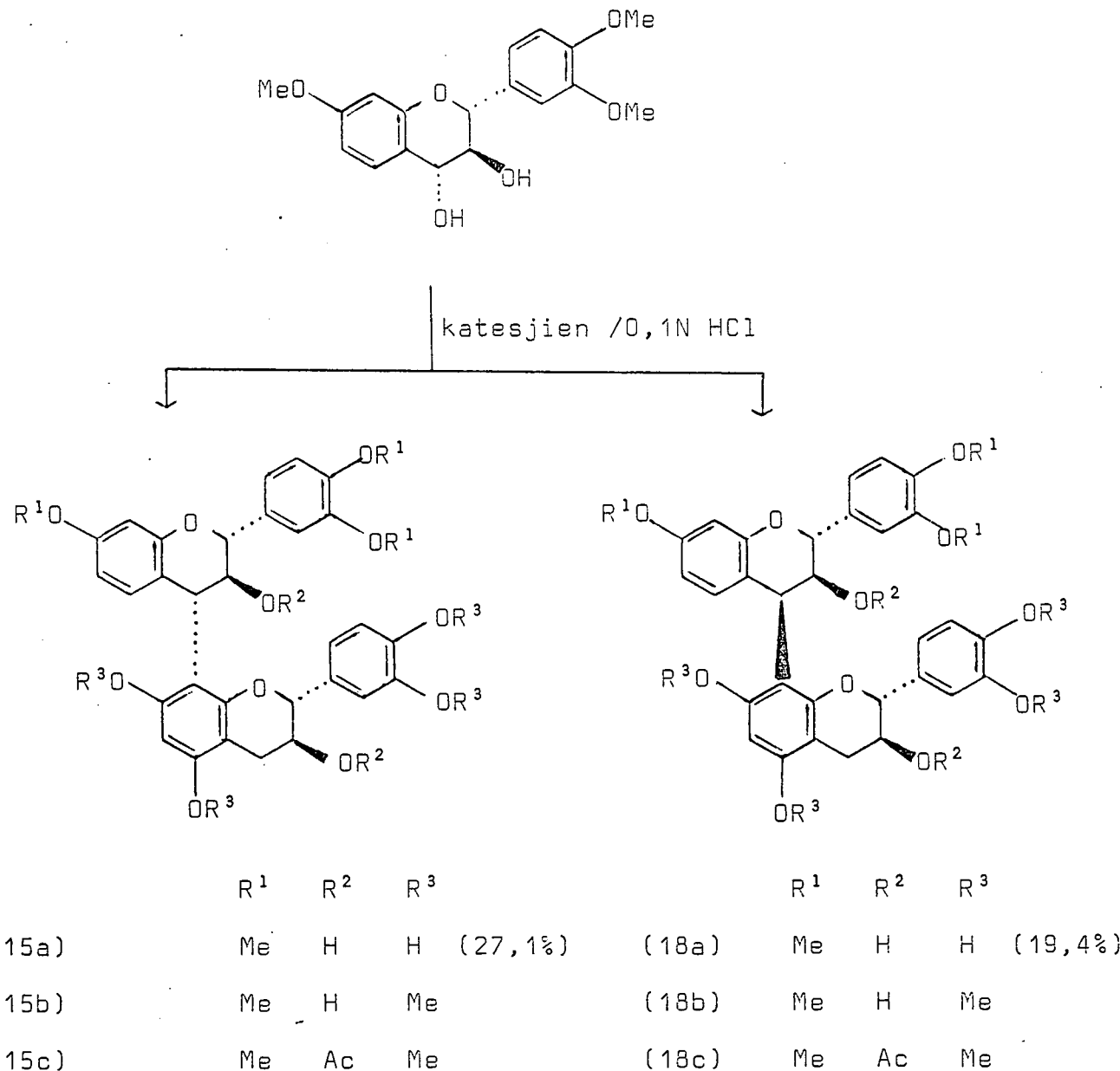
### 2 SUURGEKATALISEERDE KONDENSASIE VAN (+)-3',4',7-TRI-O-METIELMOLLISACACIDIN (1b) MET (+)-KATESJIEN

Aangesien die bekende biflavanoïede met terminale diol funksies as metielesters<sup>9</sup> met behulp van DLC geskei kan word, was dit nodig om die invloed wat die gemetileerde hidroksi-groepe van die elektrofiel te ondersoek indien die fenoliese gemetileerde biflavanoïede in toekomstige sinteses van hoër oligomeriese flavanoïede gebruik sou word.

Kondensasie van die tri-O-metielmollisacacidin (1b) met vryfenoliese (+)-katesjien vir 10 dae by kamertemperatuur, lewer twee [4,8-*cis* (18a) en 4,8-*trans*(15a)] van die verwagte drie biflavanoïede (plate 10 en 11). Die lang reaksietyd in vergelyking met dié van die vry fenole is moontlik aan die swakker resonans stabiliserende effek van die O-metielgroep in vergelyking met 'n hidroksifunksie<sup>51</sup> toe te skryf.



Aangesien die karbokatione minder stabiel en dus meer reaktief is, sal die steries meer toeganklike 8-posisie waarskynlik by voorkeur aanval om [4,8]-gekoppelde bifla-vanoiede te vorm.



Indien die reaksietyd verkort kan word, byvoorbeeld deur gebruik van sterker suurtoestande en/of hoër temperatuur, besit hierdie reaksie goeie sintetiese potensiaal. 'n Belangrike eienskap is dat die gevormde produkte maklik deur DLC geskei kan word en dat die opbrengste 27,1% en 19,4% vir 15a en 18a onderskeidelik goed vergelyk met dié van die vryfenoliese reaksie<sup>40</sup> naamlik 28% en 16,4% onderskeidelik.

-----ooOoo-----

### HOOFSTUK 3

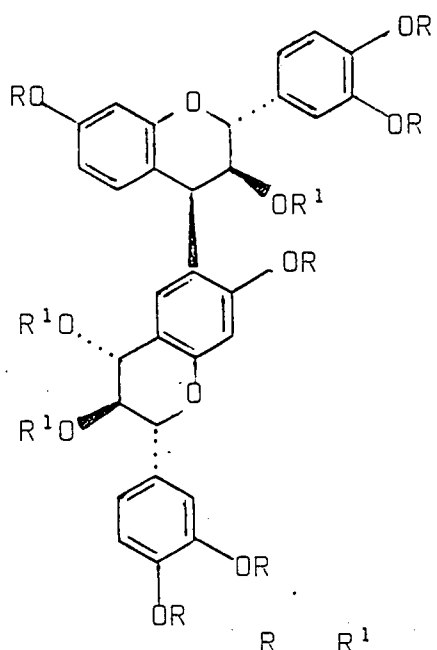
#### 3 ISOLASIE VAN BI- EN TRIFLAVANOIDE MET TERMINALE DIOLFUNKSIES UIT *Acacia mearnsii*

##### 3.1 Biflavanoide

Die eerste drie biflavanoide met 'terminale' diol funksies 11a, 12a en 13a is reeds in 1967 deur Drewes *et al.*<sup>9</sup> uit die kernhout van *A. mearnsii* geïsoleer terwyl 11a en 12a onlangs deur van Heerden<sup>10</sup> uit *A. fasciculefra* verkry is. Isolasie van 74a tydens hierdie ondersoek is uniek in die sin dat alle moontlike stereoïsomere met 2R:3S (2,3-*trans*) stereochemie nou bekend is.

Analise van 74a is in ooreenstemming met 'n empiriese formule van  $C_{42}O_{14}H_{44}$  met 'n  $M^+$  van 772 (34,7%). Massa fragmentasie spektra (skema 3, tabel 1Q) toon dat 'n asynsuurverlies [712 (60,6%)] gevvolg deur 'n asetoksi verlies [653 (35,5%)] en 'n verdere asynsuurverlies [593 (11,0%)] plaasvind. Horizontale splyting kom voor om fisetinidol [357 (4,8%)] en (+)-mollisacacidin [415 (3,8%)] fragmente te lewer wat 'n verdere bevestiging van die struktuur is. RDA gee die kenmerkende 222 fragment (32%) wat die B-ring substitusie ondersteun.

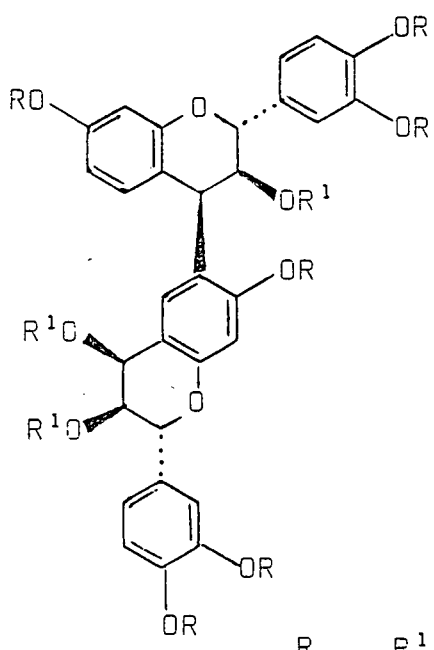
Die relatiewe stereochemie van 74a is op grond van die koppelingskonstantes, naamlik  $J_{2,3}$  9 Hz en  $J_{3,4}$  9 Hz vir die C-ring en  $J_{2,3}$  10,5 Hz en  $J_{3,4}$  3,4 Hz vir die F-ring, toegeken.



(11a) H H

(11b) Me H

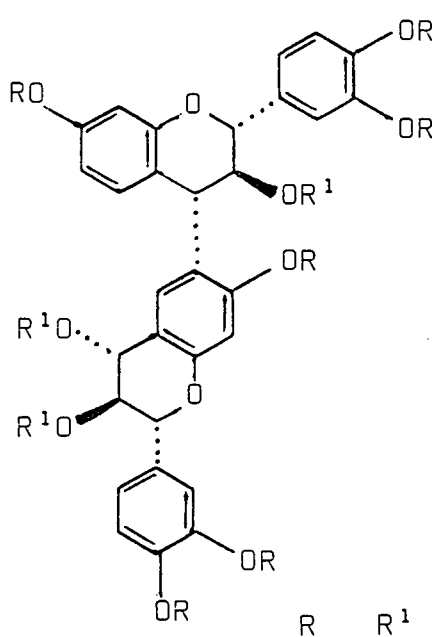
(11c) Me Ac



(12a) H H

(12b) Me H

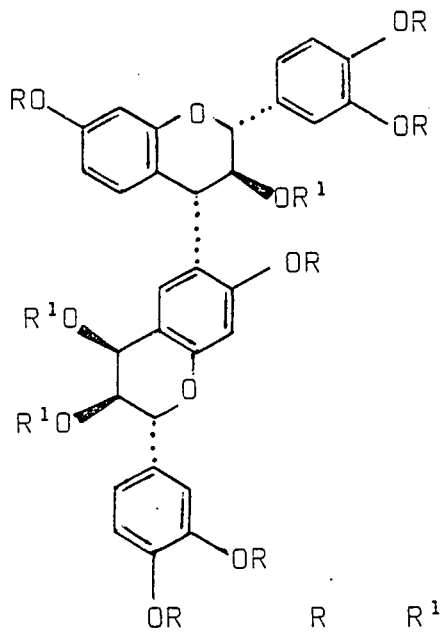
(12c) Me Ac



(13a) H H

(13b) Me H

(13c) Me Ac



(74a) H H

(74b) Me H

(74c) Me Ac

59

Voorheen is bewys dat 3,4-*trans*-4-arielflavan-3-ole makliker asynsuurverlies as die analoë 3,4-*cis* derivate ondergaan tydens massa fragmentasie. Alhoewel die metieleterasetate van die biflavanoïede drie asetoksifunksies teenoor een by 4-arielflavan-3-ole bevat, is dit opvallend dat die biflavanoïede met 'n 3,4-*trans* stereochemie vir die 'boonste' eenheid (74c en 13c) makliker asynsuurverlies (skema 3, tabel 10) as dié met 'n 3,4-*cis* stereochemie (11c en 12c) ondervaag. M-60 pieke van 70% vir 13c; 60,6% vir 74c; 41,7% vir 12c en 43,7% vir 11c word waargeneem, waarvan die verskille groot genoeg is om diagnosties te wees. Opmerklik is dat die daaropvolgende asynsuurverlies slegs by die twee biflavanoïede (11c en 13c) met 'n 3,4-*trans* stereochemie vir die 'onderste' eenheid voorkom.

Vergelyking van die KMR spektra van die metieletertriasetate dui 'n spesifieke patroon in die heterosikliese gebied aan. By lae veld resoneer die H(F)-4 protone as 'n doblet wat die 3,4-relatiewe stereochemie van die F-ring aandui. Opmerklik is dat die aksiale H(F)-4 proton vir 'n 3,4-*trans* stereochemie as 'n verbrede doblet by laer veld as vir 'n ekwatoriale 3,4-*cis* stereochemie ( $\Delta\delta$  0,11-0,19) resoneer. In teenstelling resoneer die H(C)-4 proton as 'n doblet by hoogste veld om die 3,4-stereochemie van die C-ring aan te dui (plate 6-9).

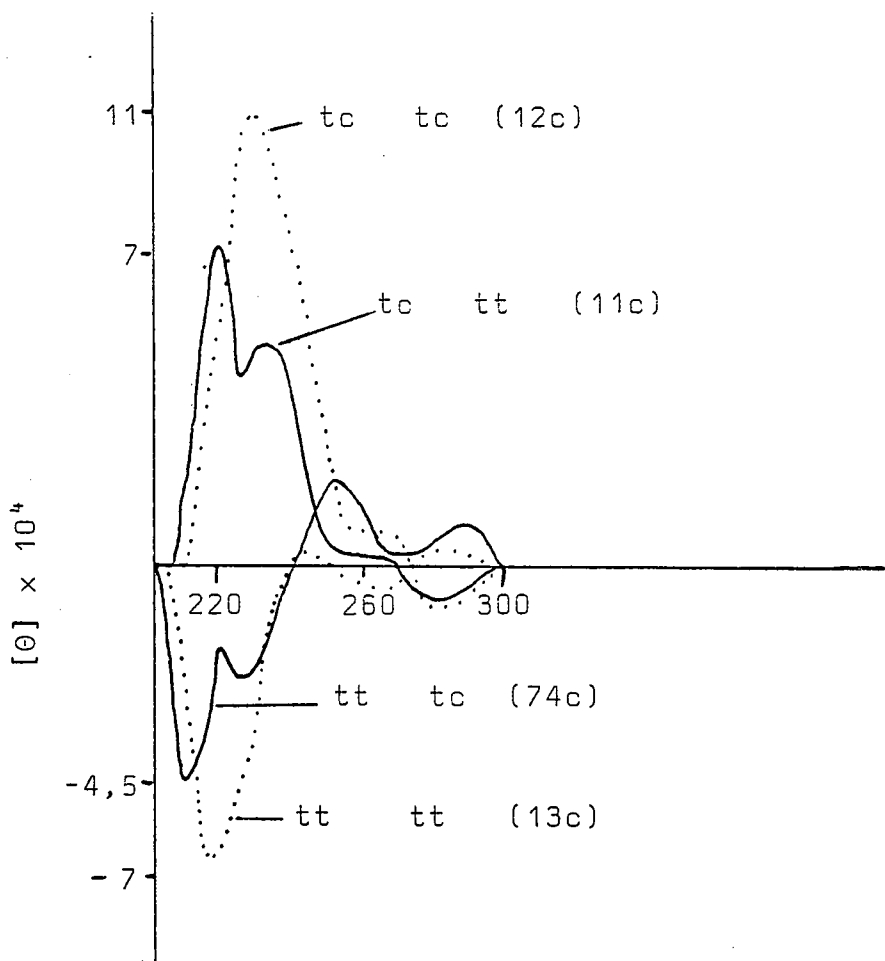
Aangesien die biflavanoïede twee  $C_4$  bensiliese chirale sentra bevat, word bydraes van beide hierdie posisies tot die SD spektra verwag. Hierdie aanname word op grond van

die SD spektra van 2,3-*trans* 3,4-*trans* en 2,3-*trans*-3,4-*cis*-flavaan-3,4-diasetate (plaat 28) sowel as dié van 4-flavaniel en 4-arielflavan-3-asetate gemaak (plate 19-20). Vir bo=genoemde gevalle is die aromatiese kwadrant reëel van toe=<sup>59</sup> passing behalwe waar abnormale konformasies voorkom. Uit die SD spektra van die metielesterasetate van biflavanoïede 11c, 12c, 74c en 13c oorheers die 4-flavaniel bindingspunt oënskynlik die SD spektra. Hierdie bied die enigste verklaring volgens die aromatiese kwadrant reëel vir die SD spektra verkry (figuur 1, plate 21 en 22).

Opmerklik is dat die intensiteite van die Cotton-effekte (210-240 nm) vir die 3,4-alles-*cis* (12c) isomeer groter is as vir die 3,4-*cis* (C-ring)-3,4-*trans* (F-ring) {[θ]=10,9 en 7,27 onderskeidelik} is. Die negatiewe effek wat deur die 4-OAc groep vereis word, kan hiervoor verantwoordelik wees. Dieselfde verskynsel word by die 3,4-alles-*trans* (13c) en 3,4-*trans* (C-ring)-3,4-*trans* (F-ring) {[θ]-7,2 en -4,72 onderskeidelik} isomere aangetref. Met die hoér oligomere is daar egter tekortkominge om die SD spektra te interpreteer (sien verdere bespreking onder 3.2 en 5.1).

Vanaf modelle kan gesien word dat vir 'n 2,3-*trans*-3,4-*cis*-stereochemie vir die C-ring (11c en 12c) die flavaniel eenheid bokant die vlak van die A-ring lê, wat ooreenstem met die verkrygde positiewe Cotton-effek wat dus 'n 4S absolute konfigurasie impliseer. Vir 'n 3,4-*trans*-stereochemie (74c en 13c) vir die C-ring, lê die flavaniel eenheid onderkant die vlak van die A-ring, wat 'n 4R konfigurasie impliseer.

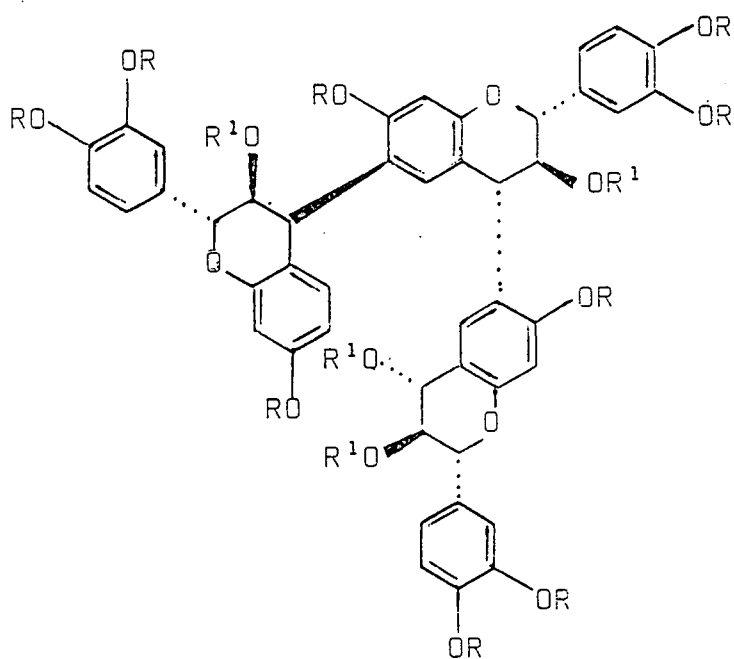
Figuur 1 SD spektra van fisetinidol-mollisacacidin biflavanoïede 11c, 12c, 13c en 74c



Aangesien bogenoemde biflavanoïede as potensiële biogene-tiese voorlopers vir hoër oligomere verteenwoordig, is dit belangrik om die opbrengste van die verskillende stereoisomere in aanmerking te neem. Drewes *et al.* het die metieleterasetate 11c, 12c en 13c in die verhouding 26:11:2 (21, 9 en 1,6 mg opbrengste onderskeidelik) verkry. Tydens hierdie ondersoek is die metieleterasetate 11c, 12c, 74c en 13c in die verhouding 20:16:5:4 (73,6; 59,4; 18,4 en 15 mg

opbrengste onderskeidelik) verkry. In die volgende hoofstukke sal weer na hierdie verhoudings verwys word.

3.2 [4,6:4,6]-Bifisetinidol-(+)-mollisacacidin triflavanoïed



	R	$R^1$
(79a)	H	H
(79b)	Me	H
(79c)	Me	Ac

Isolasie van bostaande triflavanoïed is uniek omdat dit beide die eerste 'lineêre' triflavanoïed sowel as die eerste triflavanoïed met terminale diolfunksie verteenwoordig.

Analise van 79c is in ooreenstemming met 'n empiriese formule van  $C_{62}O_{20}H_{64}$ . Massa fragmentasie spektra (skema 6)

korrelleer met die voorgestelde triflavanoïed struktuur met 'n  $M^+ - 60$  [1068 (12,1%)] fragment (a) wat verdere asetoksi [1009 (3,7%) b] en asynsuurverlies [946 (4%) c] ondergaan. 'Horizontale' splyting kom voor om fisetinidol [357 (3,7%) l] en fisetinidol-(+)-mollisacacidin [771 (5,8%) k] fragmente te lewer wat met die struktuur ooreenstem. Die moederioon ondergaan twee agtereenvolgende retro Diels-Alder (RDA) fragmentasies met 'n daaropvolgende kenmerkende metoksi verlies om die sikliese struktuur [431 (9,2%) r] te gee sowel as die m/e 222 (17,1%) fragment (g) wat die B-ring substitusie ondersteun.

Bepaling van die relatiewe stereochemie, sekwens en koppelingsposisie berus hoofsaaklik op 500 MHZ  $^1H$  KMR ondersoeke.

Vanaf  $^1H$  KMR spektra (500 MHZ) kan aangelei word dat daar rotasie isomerie voorkom soos uitgebeeld deur verbrede seine veral in die heterosikliese gebied (plaat 18b). Temperatuur verhoging ( $120^\circ C$ ) lei tot 'n verskerping van seine alhoewel die doblet by ca.  $\delta$  4,66 nog steeds verbreed voorkom. Met temperatuurverhoging skuif 'n aromatiese singulet (H(D)-5) by abnormale hoë veld ( $\delta$  5,82) na laer veld ( $\delta$  6,03 by  $80^\circ C$  en 6,08 by  $100^\circ C$ ).

Om die relatiewe stereochemie, sekwens en koppelingsposisie te bepaal, is 'n reeks ontkoppelings eksperimente soos in tabel 2 uiteengesit is, uitgevoer.

Tabel 2 Ontkoppelings eksperimente op 79c uitgevoer

Proton wat ontkoppel word	Uitwerking op ander seine
δ5,08                  H(C)-2, d	dd by δ5,39 verval na d (H(C)-3) dd by δ6,86 verskerp (H(B)-6) d by δ5,90 verskerp (H(B)-2)
δ5,40                  H(C)-3, dd	d by δ5,08 verval na s (H(C)-2) d by δ4,56 verval na s (H(C)-4)
δ4,6 en 4,57          H(F)-4 en H(C)-4	dd by δ5,40 verval na d (H(C)-3) tr by δ5,64 verval na d (H(F)-3) s by δ6,12 verskerp (H(D)-5) s by δ6,47 verskerp (H(A)-5)
δ5,15                  H(F)-2, d	tr by δ5,63 verval na d (H(F)-3) dd by δ6,995 verskerp (H(E)-6) d by δ7,05 verskerp (H(E)-2)
δ5,63                  H(F)-3, tr	d by δ5,15 verval na s (H(F)-2) d by δ4,6 verval na s (H(F)-4)
δ5,04                  H(I)-2, d	dd by δ5,34 verval na d (H(I)-3)
δ5,34                  H(I)-3, dd	d by δ5,04 verval na s (H(I)-2) d by δ6,05 verval na s (H(I)-4)
δ6,05                  H(I)-4, d	dd by δ5,34 verval na d (H(I)-3) s by δ6,74 verskerp (H(G)-5)
δ6,39                  H(A)-6, dd	d by δ6,44 verval na s (H(A)-8) d by δ6,47 verval na s (H(A)-5)
δ6,47                  H(A)-5, d	dd by δ6,39 verval na d (H(A)-6) d by δ4,56 verskerp (H(C)-4)
δ6,86                  H(B)-6, dd	d by δ6,90 verval na s (H(B)-2) d by δ6,95 verval na s (H(B)-5)
δ6,12                  H(D)-5, s	d by δ4,66 verskerp (H(F)-4) d by δ6,47 verskerp (H(A)-5)
δ7,05                  H(E)-2, d	dd by δ7,00 verval na d (H(E)-6)

Tabel 2 (vervolg)

$\delta$ 6,74	H(G)-5, s	d by $\delta$ 6,05 verskerp	H(I)-4
		d by $\delta$ 6,47 verskerp	H(A)-5

Bewys vir die voorgestelde lineêre struktuur berus daarop dat die A-ring deur 'n enkele ABX sisteem verteenwoordig word (plaat 18b) naamlik H(A)-5 (d) by  $\delta$  6,47; H(A)-6 (dd) by  $\delta$  6,39 en H(A)-8 (d) by  $\delta$  6,44. Vier aromatiese singulette kom voor wat op grond van bestaande ontkoppelingseksperimente (sien later), aan H(D)-5 ( $\delta$  6,12); H(G)-5 ( $\delta$  6,74) en H(D)-8 en H(G)-8 wat nie onderskeibaar is nie, ( $\delta$  6,42 en  $\delta$  6,53) toegeken is. Hierdie is 'n onteenseglike bewys dat alle flavaniëleenhede [4,6] gekoppel is.

Uit tabelle 2 en 3 kan die verwantskappe van die heterosikliese protone sowel as die relatiewe stereochemie en sekvensies afgelei word.

Tabel 3 Relatiewe stereochemie en koppelingskonstantes van die heterosikliese protone van 79c

Chemiese verskuiwing ( $\delta$ )	Tipe sein	Proton	J	Hz	Relatiewe stereochemie
5,08	d	H(C)-2	2,3	6,5	trans
5,40	dd	H(C)-3	2,3 3,4	6,5 4,75	trans cis
4,57	d	H(C)-4	3,4	4,75	cis
5,15	d	H(F)-2	2,3	9,5	trans
5,63	tr	H(F)-3	2,3; 3,4	9,5	trans
4,6	d	H(F)-4	3,4	9,5	trans
5,04	d	H(I)-2	2,3	9,6	trans
		H(I)-3	2,3	9,6	trans

Tabel 3 (vervolg)

5,34	dd	H(I)-4	3,4	7,3	<i>trans</i>
6,05	d		3,4	7,3	<i>trans</i>

Die resonering van H(I)-4 as 'n doblet by hoogste veld ( $\delta$  6,05) bewys dat hierdie proton aan die terminale flavanienheid gebonde is en dat die relatiewe stereochemie 2,3-*trans*-3,4-*cis* vir die I-ring is. Ontkoppeling van H(A)-5 by  $\delta$  6,47 het verskerping van H(C)-4 tot gevolg wat bewys dat die betrokke proton aan die ABX sisteem van die A-ring deur lang afstand bensiliess koppeling, verbond is wat die voorgestelde sekwens bevestig.

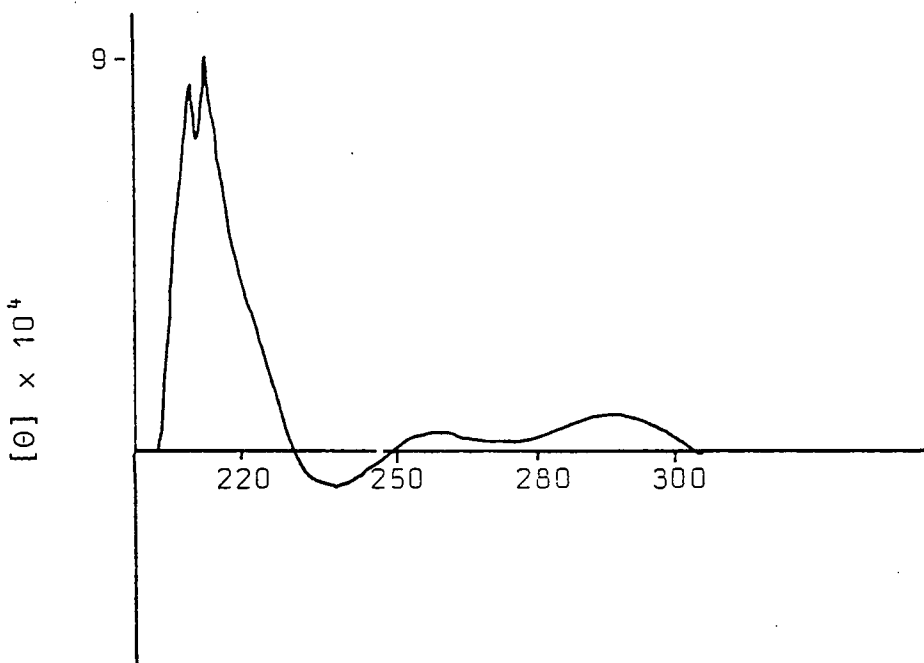
Uit tabel 3 kan gesien word dat abnormale klein *trans*-koppelingskonstantes tussen die H(C)-2 en H(C)-3 protone voorkom. Vanaf modelle is dit duidelik dat die C-ring konformasionele ewewig sodanig beïnvloed word dat 'n bootkonformasie begunstig word met die lywige biflavaniel gedeelte ekwatoriaal geleë. Vergelyking van die koppelingskonstantes van die C-ring van die triflavanoïed 79c met die biflavanoïede met 'n 2,3-*trans*-3,4-*cis* (11c en 12c) stereochemie (tabel 4) vir die C-ring, ondersteun die toesegging van 'n 2,3-*trans*-3,4-*cis* stereochemie aan die C-ring van 79c.

Tabel 4 Vergelyking van die koppelingskonstantes van die C-ringe van die biflavanoïede met 'n 2,3-*trans*-3,4-*cis* konfigurasie vir die C-ringe (11c en 12c) met 69c.

	11c	12c	69c
$J_{2,3}$	7	5,75	6,5
$J_{3,4}$	5	4,5	4,75

Direkte vergelyking van die 80 MHZ spektra met dié van die biflavanoïede ( $\delta\text{CDCl}_3$ ) toon dat ten opsigte van die chemiese verskuiwings vir 'n 2,3-trans-3,4 cis : 2,3-trans-3,4-trans konfigurasie, die H(C)-4 proton by  $\delta$  4,61 vir die triflavanoïed (69c) en by  $\delta$  4,62 vir die biflavanoïed (11c) resoneer (plate 6 en 15), wat ook bydra tot bevestiging van die voorgestelde struktuur.

Figuur 4 : SD spektra van die bifisetinidol-(+)-mollisacacin triflavanoïed (79c)

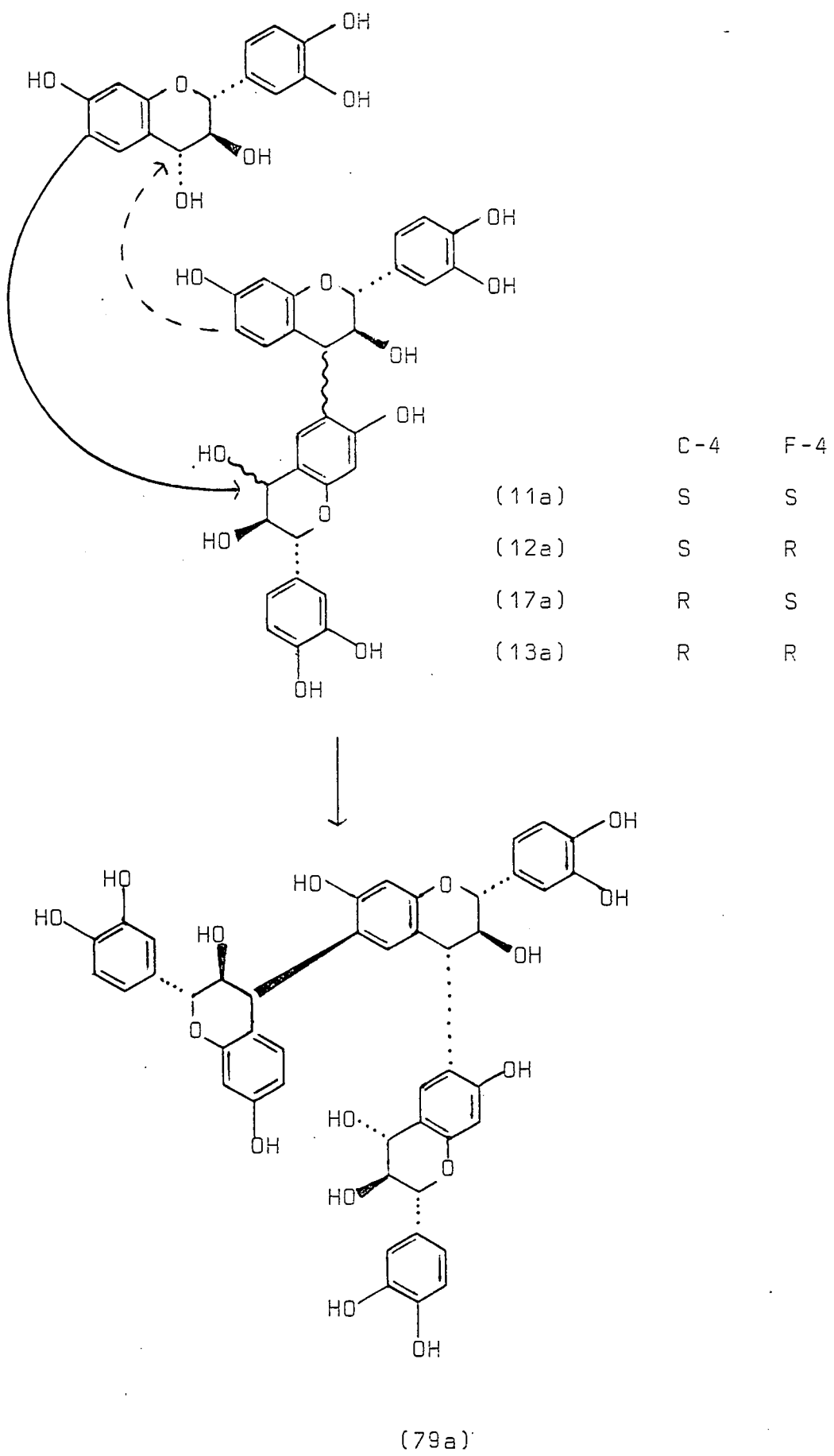


Interpretasie van die SD spektra (figuur 4, plaat 27) van die metieleterasetaat word verder gekompliseer omdat die molekuul nou twee  $C_4$  bensiliese flavaniel chirale sentra en een  $C_4$  bensiliese asetaat chirale sentra bevat. Die positiewe hoë amplitude Cotton-effek (205-230 nm) kan aan die H(C)-4 posisie toegeskryf word. As die aromatiese kwadrant reël toegepas word, lê die biflavaniel gedeelte bo die vlak van die A-ring wat 'n positiewe Cotton-effek

impliseer. As die chirale sentra by H(F)-4 en H(I)-4 beskou word, word negatiewe Cotton-effekte verwag, aangesien hierdie koppelingskonstantes normaal is en dus geen abnormale konformasies bestaan nie. Dit is dus duidelik dat met die interpretasie van die SD spektra, die C<sub>4</sub> bensiliese bindingsposisies nie afsonderlik beskou kan word nie. Verdere isomere sal eers verkry moet word voordat 'n reël bepaal en vasgelê sal kan word aangesien die kwadrant reël soos tot op hede toegepas is, tekortskiet (sien ook 5.1).

Die lineêre triflavanoïed kan biogeneties op twee maniere vorm, naamlik koppeling van die A-ring van die alles *trans*-biflavanoïed (13a) met (+)-mollisacacidin of koppeling van die A-ring van (+)-mollisacacidin met die 4-posisie (F-ring) van die biflavanoïede met 'n 3,4-*cis*-stereochemie (11a en 12a) vir die C-ring.

Koppeling van die alles *trans* biflavanoïed (13a) aan (+)-mollisacacidin behoort by voorkeur plaas te vind omdat die aromatiese ring by C-4 swak elektronskenkend is en dus nie die sterk aktiverende invloede van die hidroksi en eterfunksies van die A-ring beïnvloed nie. Hier teenoor is die deaktiverende effek van 'n C<sub>4</sub> hidroksigroep wat 'n noodsaaklike substraat vir interflavaan koppelings is. Die bestaande stelling word ondersteun deur die feit dat die alles *trans*-biflavanoïed (13a) in die kleinste konsentrasie van die terminale diol biflavanoïede voorkom.



## HOOFSTUK 4

### DIREKTE SINTESE VAN BI- EN TRIFLAVANOÏEDE MET TERMINALE DIOL FUNKSIES

Aangesien poliflavanoïedbionogenese oënskynlik via 'n flavan-3,4-diol afgeleide karbokatioon en nukleofiele fenoliiese flavan-3-ol plaasvind is heelwat *in vitro* sintetiese pogings op hierdie grondslag aangedurf. Die isolering van bi- en triflavanoïede met terminale diolfunksies uit *A. mearnsii* noodsak egter 'n sintetiese metode vir hoër oligomere met C<sub>4</sub>-oksigenering op die terminale eenheid.

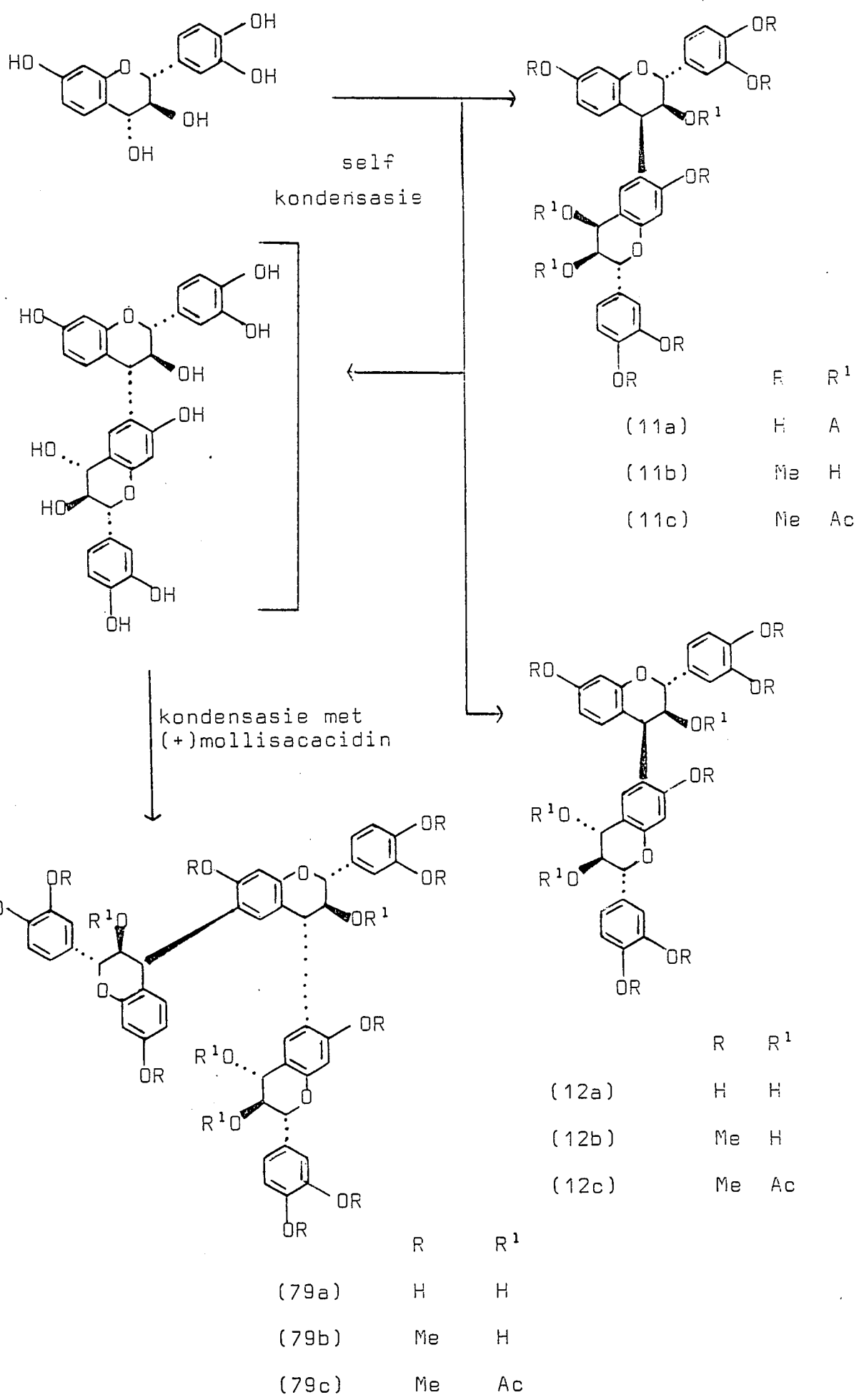
Verskeie pogings van Botha<sup>28</sup>, Pretorius<sup>53</sup> en van Heerden<sup>10</sup> om selfkondensasie van (+)-mollisacacidin te bewerkstellig het egter misluk. Hierdie mislukkings is toegeskryf aan verlaagde nukleofiele karakter van die A-ring van die flavan-3,4-diol deur deaktivering as gevolg van die 4-oksigenering (sien resonans stabilisasie in hoofstuk 2). Hierdie argument word ondersteun deur die feit dat (-)fisetinidol onder dieselfde kondisies maklike koppeling met (+)-mollisacacidin<sup>13</sup> ondergaan.

Met die huidige ondersoek is die invloed van temperatuur en suursterkte op selfkondensasie ondersoek. Onder drastiese toestande (0,5N HCl teen 80°C vir 5 minute) vind kondensasie wel plaas om biflavanoïede 11a (2,3-*trans*-3,4-*cis* : 2,3-*trans*-3,4-*trans*) en 12a (2,3-*trans*-3,4-*cis* : 2,3-*trans*-3,4-*cis*) in lae opbrengs te lewer. Omdat slegs die 3,4-*cis* iso-

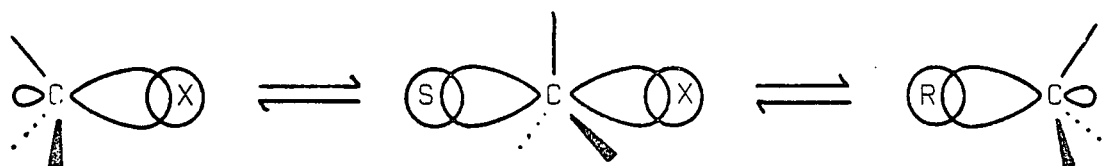
mere (C-ring) verkry is, is aangeneem dat onder hierdie drastiese kondisies die termodinamies meer stabiele produk te vorm. Herhaling onder minder drastiese toestande ( $0,1\text{N HCl}$  teen  $40^{\circ}\text{C}$  vir ca. 18 uur) het weereens biflavanoïede 11a en 12a gelewer, terwyl die lineêre triflavanoïed (79) ook verkry is. Hierdie triflavanoïed het waarskynlik ook onder die drastiese toestande ( $R_f$  getuienis) gevorm, maar in 'n te klein hoeveelheid om identifikasie moontlik te maak. Hierdie verbinding is geïdentifiseer deur vergelyking van die KMR, massa en SD spektra (plate 21 en 22) van hul metiel-eterasetate (11c, 12c en 79c) met die ooreenstemmende natuurlike derivate uit *A. mearnsii*.  $R_f$  getuienis dui aan dat tetraflavanoïede moontlik gelyktydig vorm.

Met hierdie selfkondensasie reaksies speel beide temperatuur en suursterkte 'n rol. So is dit gevind dat verhitting tot  $80^{\circ}\text{C}$  met  $0,1\text{N HCl}$  langer reaksietyd benodig vir die verskyning van die oligomere (reaksies op klein skaal gedoen en chromatografies gevolg) as vir  $0,5\text{N HCl}$  by  $80^{\circ}\text{C}$ . Reaksië by  $40^{\circ}\text{C}$  in  $0,5\text{N HCl}$  verloop ook vinniger as met  $0,1\text{N HCl}$ . Antosianidienvorming (rooi wording) vind opmerklik by hoër temperature ( $80^{\circ}\text{C}$ ) plaas terwyl dit by  $40^{\circ}\text{C}$  afwesig is.

Aangesien die *2,3-trans-3,4-trans* isomeer van die 4-resorsinol-(-)-fisetinidol produkte geen tekens van epimerisasie (volgens DLC) toon nie ( $0,1\text{N HCl}$  by  $80^{\circ}\text{C}$  vir 18 uur), is dit onwaarskynlik dat die *3,4-cis* (C-ring) isomere 11a en 12a deur epimerisasie van die *3,4-trans* isomere ontstaan.



'n Moontlike verklaring vir die vorming van slegs die 3,4-*cis* (C-ring) isomere is dat die carbokatioon stadig vorm (vergelyk lang reaksietye van (+)-mollisacacidin met die hoogs nukleofiele floroglusinol entiteit voordat die flavan-3,4-diol opgebruik is, naamlik 48 uur) en dat, alhoewel heterolise voltooi is, die verlatende geprotoneerde hidroksigroep steeds intiem met die carbokatioon geassosieerd is, sodat aanval deur die swak nukleofiele spesie vanaf die teenoorgestelde kant plaasvind om inversie tot gevolg te hê. Met die effens verhoogde temperatuur ( $40^{\circ}\text{C}$ ) is die beweging van die molekule vinniger sodat meer effektiewe botsings per eenheidstyd plaasvind wat veroorsaak dat nukleofiele aanval vinniger op die vormende carbokatioon plaasvind. Die carbokatioon bestaan dus nie lank genoeg vir die verlatende watereenheid om weg te diffundeer nie en dus vind inversie plaas wat ook 'n hoë mate van  $\text{S}_N^2$  karakter aandui.



Inversie

Waar  $\text{X}$  = verlatende groep

$\text{S}$  = oplosmiddel molekuul

$\text{R}$  = nukleofiel

Vorming van die 3,4-*trans* (F-ring) triflavanoïed (79) kan egter nie deur bostaande argument verklaar word nie.

Vanaf Dreiding modelle kan gesê word dat 'n steriese faktor ook nie hierdie verskynsel kan verklaar nie omdat dieselfde mate van steriese verhindering vir beide *trans* en *cis* isomere sou ontstaan.

Opmerklik is dat al die flavanoïed verbindings wat sinteties berei is, 'n 3,4-*cis* konfigurasie vir die C-ring bevat. Dit wil dus voorkom dat 'n *cis* konfigurasie op die C-ring verdere kondensasie inhibeer. Hierdie argument kan verder uitgebou word as aanvaar word dat die alles *trans* biflavanoïed wel vorm, maar 'opgebruik' word vir verdere kondensasies.

Dit moet beklemtoon word dat aangesien die opbrengste besonder laag is, daar geensins aanspraak gemaak word dat bostaande argumente juis is nie. Nogtans hou hierdie metode moontlikhede in wat tans ondersoek word.

Aangesien die kondensasie reaksie met (+)-mollisacacidin met bekende absolute konfigurasie (2R:3S:4R) uitgevoer is, is die 2 en 3 posisies van die bi- en triflavanoïede bekend en kan die absolute konfigurasie van die 4 posisie vanaf die relatiewe stereochemie afgelei word (tabel 5). Hiervolgens is dit moontlik om die absolute konfigurasie van al die terminale diol flavanoïede uit *A. mearnsii* te definieer.

Tabel 5 Relatiewe en absolute stereochemie van die lineêre terminale diol bi- en triflavanoïede

flavanoïed	Relatiewe stereochemie			absolute stereochemie		
	C	F	I	C	F	I
11c	tc	tt	-	2R:3S:4S	2R:3S:4R	-
12c	tc	tc	-	2R:3S:4S	2R:3S:4S	-
17c	tt	tc	-	2R:3S:4R	2R:3S:4S	-
13c	tt	tt	-	2R:3S:4R	2R:3S:4R	-
79c	tc	tt	tt	2R:3S:4S	2R:3S:4R	2R:3S:4R

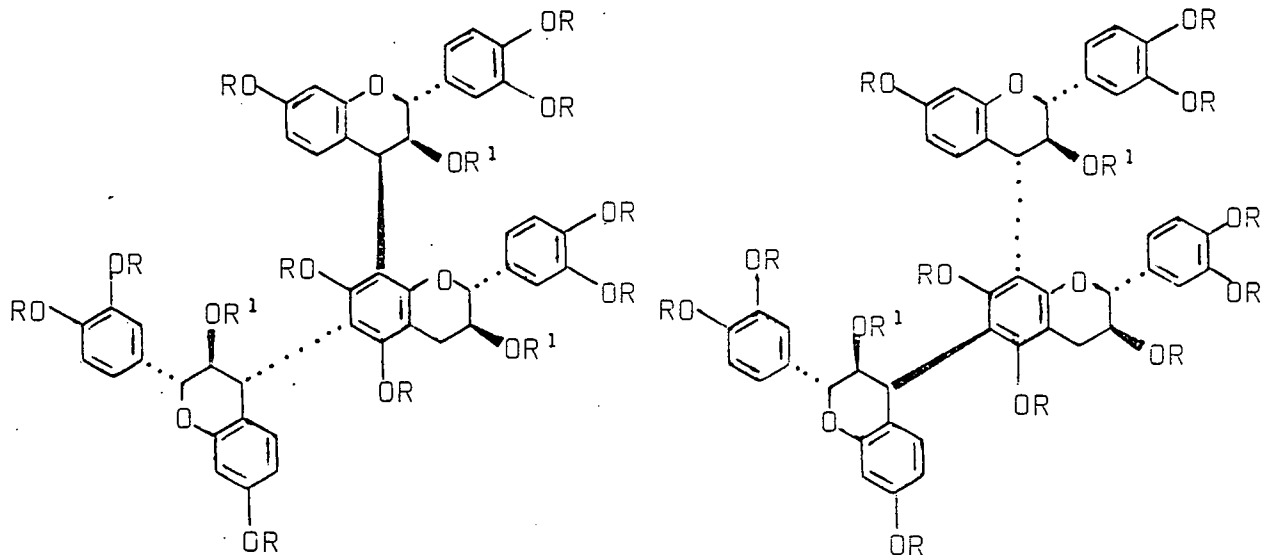
-----ooOoo-----

HOOFSTUK 5ISOLASIE VAN ANGULêRE TRI- EN TETRAFLAVANOÏEDE UIT A.*mearnsii*5.1 [4,6:4,8]-Bifisetinidol-katesjientriflavanoïede

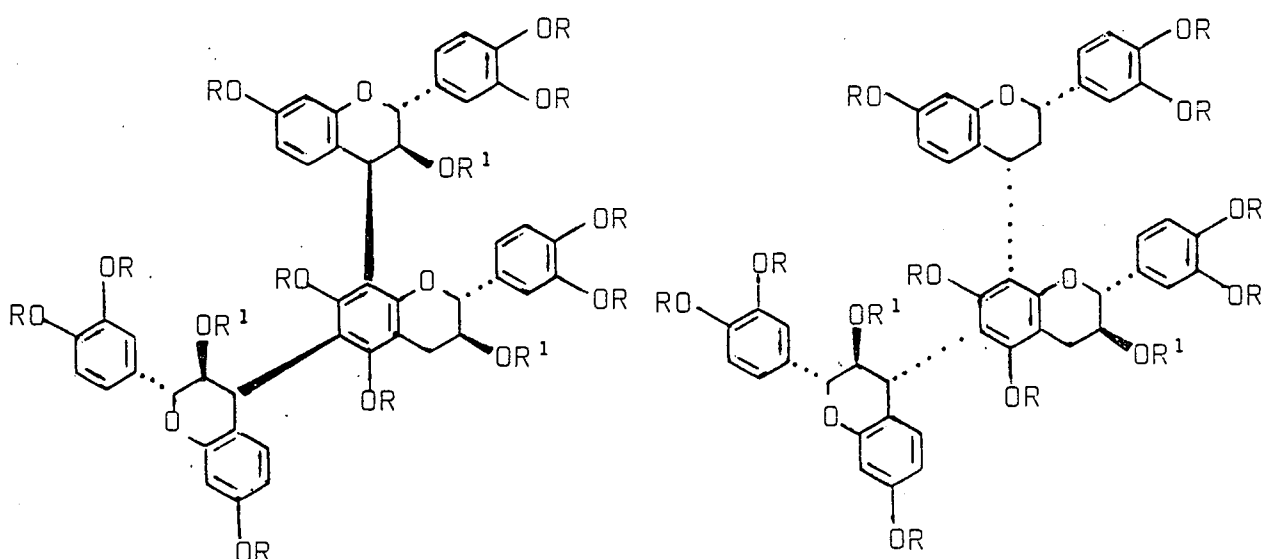
Biflavanoïede<sup>13</sup> 49 ([4,8]-2,3-*trans*-3,4-*trans*), 51 ([4,6]-2,3-*trans*-3,4-*trans*) en 52 ([4,8]-2,3-*trans*-3,4-*cis*) en triflavanoïede 76a en 77a is reeds voorheen uit wattlebas en *Colophospermum mopane*<sup>22</sup> onderskeidelik geïsoleer en later gesintetiseer<sup>40</sup>. Ondanks die feit dat (+)-katesjien as waarskynlike biogenetiese voorloper nog nie in die kernhout verkry is nie, is tydens hierdie ondersoek triflavanoïede 75a ([4,6]-2,3-*trans*-3,4-*trans*; [4,8]-2,3-*trans*-3,4-*cis*), 76a ([4,6]-2,3-*trans*-3,4-*cis*; [4,8]-2,3-*trans*-3,4-*trans*) en 77a ([4,6] en [4,8]-alles *trans*) uit *A. mearnsii* geïsoleer terwyl 78a ([4,6] en [4,8] alles *cis*) uit 'n hoë R<sub>f</sub> fraksie\* verkry is. Soos in die geval van die biflavanoïede, verteenwoordig hierdie reeks triflavanoïede alle moontlike stereoisomere met 'n 2R,3S (2,3-*trans*) stereochemie.

Analise van 75c, 76c en 77c is in ooreenstemming met 'n empiriese formule van C<sub>61</sub>H<sub>64</sub>O<sub>19</sub> met M<sup>+</sup> m/e 1100 waardes van 7,6%; 9,4% en 2% onderskeidelik. Massafragmentasie spektra (skema 5, tabel 11) toon drie agtereenvolgende asynsuurverliese om 'n fragment met 'n m/e waarde van 920 (4,3%; 13,5% en 7,2% onderskeidelik) te lewer. Horizontale splytings kom voor om fisetinidol (357) en katesjien (386) fragmente te lewer wat met die struktuursamestelling ooreenstem. RDA

\*P.M. Viviers - persoonlike mededeling



	R	R <sup>1</sup>		R	R <sup>1</sup>
(75a)	H	H	(76a)	H	H
(75b)	Me	H	(76b)	Me	H
(75c)	Me	Ac	(76c)	Me	Ac



	R	R <sup>1</sup>		R	R <sup>1</sup>
(77a)	H	H	(77b)	H	H
(77b)	Me	H	(77c)	Me	H
(77c)	Me	Ac			

gee die kenmerkende 222 fragment (19,7%; 14,9% en 78,7% vir 75c, 76c en 77c onderskeidelik) wat die B-ring substitusie aandui.

Die relatiewe stereochemie sowel as die koppelingspunt van triflavanoïede 76c en 77c is voorheen deur Botha *et al.*<sup>52</sup> vanaf 360  $^1\text{H}$  MHZ KMR spektra afgelei.

Toekenning van die relatiewe stereochemie aan die [4,6]-2,3-*trans*-3,4-*trans* : [4,8]-2,3-*trans*-3,4-*cis* (75c) isomeric geskied deur vergelyking van die  $^1\text{H}$  80 MHZ spektra met dié van die isomeriese triflavanoïede 76c en 77c {[4,6]-3,4-*cis* : [4,8]-3,4-*trans* en die alles *trans* isomeric onderskeidelik} (plate 12-14) sowel as met biflavanoïede 49 {[4,8]-2,3-*trans*-3,4-*trans*}, 51 {[4,6]-2,3-*trans*-3,4-*trans*} en 52 {[4,8]-2,3-*trans*-3,4-*cis*} voorheen deur Botha *et al.*<sup>13</sup> gesintetiseer.

Die triplet vir die H(I)-3 proton van 75c ( $J_{2,3}$  en  $J_{3,4}$  9,25 Hz) resoneer by  $\delta$  5,78 wat ooreenstem met dié van 'n 4,6-*trans* koppeling wat by hoër veld as die ooreenstemmende triplet vir 4,8-*trans* (76c) koppeling, naamlik  $\delta$  5,88 resoneer. Toekenning van 'n 4,8-*cis* stereochemie aan 75c, berus op die voorkoms van die H(C)-3 proton as 'n doeblet van doeblette ( $J_{2,3}$  6,95 Hz;  $J_{3,4}$  7,25 Hz) by  $\delta$  6,35 (plaat 12).

Vergelyking van die KMR spektra van die metieleterasetate 75c {[4,6]-3,4-*trans* : [4,8]-3,4-*cis*} en 76c {[4,6]-3,4-*cis* : [4,8]-3,4-*trans*} met mekaar, toon dat waar 3,4-*cis* stereochemie voorkom, die betrokke protone abnormale koppelingskonstantes bevat (tabel 6). Vanaf modelle is dit duidelik

dat die konformasionele ewewig van die heterosikliese ring vir 'n 3,4-*cis* stereochemie versteur word sodat 'n bootkonfôrmasie bevoordeel word met die flavaniëleenheid ekwatoriaal geleë. Dit veroorsaak dat die gemiddelde dihidriese hoek tussen C<sub>2</sub> en C<sub>3</sub> kleiner word, wat die klein 2,3-*trans* koppelingskonstantes ( $J_{2,3} 6,95$  Hz vir die C-ring van 75c en  $J_{2,3} 7,95$  Hz vir die I-ring van 76c) verklaar.

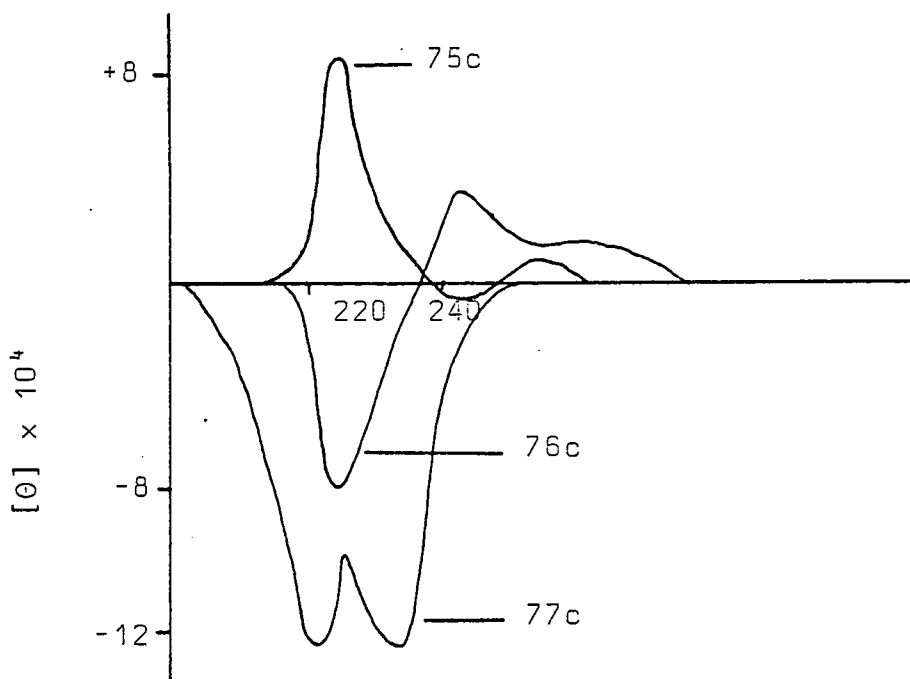
Tabel 6 Koppelingskonstantes van die heterosikliese protone van triflavanoïede 75c, 76c en 77c

Triflavanoïed	C-ring		I-ring	
	$J_{2,3}$	$J_{3,4}$	$J_{2,3}$	$J_{3,4}$
75c	6,95	7,25	9,25	9,25
76c	9,1	9,1	7,95	6,0
77c	9,5	9,5	9,5	9,5

Alhoewel die relatiewe stereochemie van 76c en 77c deur sintese bevestig is en 75c soos bo genoem bepaal is, kan verdere inligting van die absolute stereochemie by die punt van interflavaankoppeling vanaf SD spektra (figuur 2, plaat 23) verkry word.

Toepassing van die aromatiese kwadrant reël op beide die chirale C<sub>4</sub> posisies van die alles-*trans*-triflavanoïed (77c) toon dat die substituente onder die vlak van die A-

Figuur : SD spektra van bifisetinidolkatesjien triflava-noiede



en D-ringe lê wat negatiewe Cotton-effekte tot gevolg behoort te hê. Hierdie verskynsel word inderdaad in die SD spektrum verkry wat dus 'n 4S absolute konfigurasie vir beide die C en I-ringe impliseer. Uit die SD spektra van 75c {[4,6]-3,4-trans : [4,8]-3,4-cis} en 76c {[4,6]-3,4-cis : [4,8]-3,4-trans} oorheers die [4,8] koppelingspunt oënskynlik die SD spektra. As die aromatiese kwadrantreeël vir beide 75c en 76c op hierdie punt beskou word, lê die biflavanoied gedeelte bokant die vlak van die A-ring vir 75c en onder die vlak vir 76c wat 'n positiewe en negatiewe Cotton-effek onderskeidelik impliseer. As die [4,6] koppelingspunte egter beskou word, lê die betrokke biflava-noied gedeeltes in die teenoorgestelde kwadrante sodat dit verwag word dat die Cotton-effekte mekaar behoort te werk of die betrokke Cotton-effekte te toon wat nie die ge-

val is nie. Dit is duidelik dat ander reëls geformuleer sal moet word om definitiewe afleidings moontlik te maak.

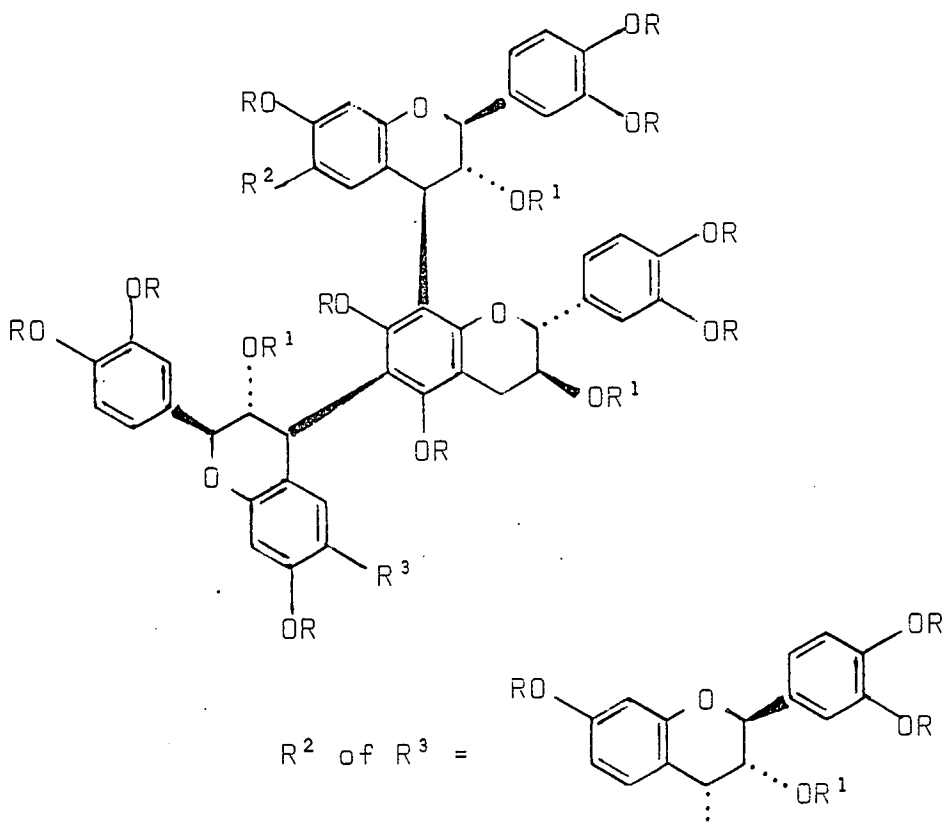
Die feit dat (+)-mollisacacidin by verre die hoogste flavanoïedkonsentrasie in die kernhout verteenwoordig en aangesien (+)-katesjien as gevolg van die floroglusinol A-ring so 'n kragtige nukleofiel is, kan moontlik as verklaring dien waarom katesjien nog nie voorheen uit die kernhout van *A. mearnsii* geïsoleer is nie. As dit die geval is, is die isolering van die tetraflavanoïede wat hierna bespreek word, 'n logiese uitbouing van die angulêre triflavanoïede, aangesien kondensasie van die resorsinol A-ring van fisetinidol met (+)-mollisacacidin kan plaasvind. Kondensasie van katesjien kan ook met die diolbiflavanoïede en (+)-mollisacacidin geskied wat sal lei tot tetra- en pentaflavanoïede. Hoër oligomeriese flavanoïede het dus 'n bestaansreg in die kernhout van *A. mearnsii*.

### 5.2 Tetraflavanoïede

Die eerste tetraflavanoïed (69a) is reeds in 1971 deur Ferreira *et al.*<sup>41</sup> uit die kernhout van *Rhus lancea* geïsoleer.

Vanaf 500 MHZ KMR spektra is twee ABX sisteme waarneembaar terwyl twee aromatiese singulette voorkom sodat die tetraflavanoïed 'n angulêre<sup>41</sup>\* struktuur en nie lineêr soos oorspronklik aangetoon, bevat.

\*Prof. D.G. Roux - persoonlike mededeling



	R	$R^1$
(69a)	H	H
(69b)	Me	H
(69c)	Me	Ac

Die voorlopige aanname dat tetraflavanoïede uit die kernhout van *A. mearnsii* geïsoleer is, volg slegs uit massa spektrometriese getuienis aangesien 500 MHZ  $^1\text{H}$  KMR spektra waarvoor aangevra is, nog nie beskikbaar is nie.

Tabel 7 Vergelyking van die massafragmentasie patronse van tetra A, B en C met die bekende 69c

Fragment	proses	fragment %			
		bekend(69c)	tetra A	tetra B	tetra C
1456( $M^+$ )		1,1	2,5	3,8(1457*)	3,4(1457*)
1397	$M^+ - 59$	6,3	2,5	5,3	2,9
1396	$M^+ - 60$	10,0	7,3	7,4	2,9
1365	$M^+ - 60 - 31$	5,8	5,4	6,7	
1338	$M^+ - 2 \times 59$	4,3	4,6	4,5	
1337	$M^+ - 59 - 60$	5,8	9,7	7,8	
1336	$M^+ - 2 \times 60$	4,2	6,0	4,7	
1305	$M^+ - 2 \times 60 - 31$	2,4	4,4	4,9	
1278	$M^+ - 2 \times 59 - 60$	2,2	2,4	3,3	
1277	$M^+ - 2 \times 60 - 59$	2,9	3,6	3,9	
1276	$M^+ - 3 \times 60$	1,4	2,4	-	
1216	$M^+ - 4 \times 60$	0,7	-	-	
1099	$M - 357$	1,4	2,9	2,5	
1069	splayting	0,6	-	2,5	
1040	1099-59	5,8	9,1	11,4	4,7
1039	1040-H	13,2	15,0	14,1	-
1009	1069-60	1,0	-	2,7	
979	1039-60	3,1	7,4	7,3	-
743	$M^+ - 713$	0,6	3,3	-	5,6
713	$M^+ - 743$	0,7	2,1	3,8	6,8
683	743-60	13,2	9,4	12,1	6,8
653	713-60	2,0	5,5	4,3	4,1
623	683-60	1,5	-	5,0	4,3
593	653-60	1,5	4,2	4,4	3,0

Tabel 7 (vervolg)

Fragment	proses	fragment %			
		bekend(69c)	tetra A	tetra B	tetra C
568	M <sup>+</sup> -4x222	0,8	-	2,4	3,4
433	1099-3x222	1,4	4,5	-	7,8
387	sptyting	1,0	3,2	5,6	6,3
386	sptyting		-	2,8	15,3
357	sptyting	1,9	4,0	7,8	13,0
327	387-60	1,5	6,9	4,3	2,5
222	RDA	7,9	52,4	41,6	3,1
180	222-42	53,7	100	100	100
151	180-29	100	8,1	96,3	18,0

\* Waarde van 1457 is binne eksperimentele en kalibrasie perke.

Massafragmentasie patronen toon dat M<sup>+</sup> (1456) pieke van 2,5%; 3,8 en 3,41% vir tetra A, B en C onderskeidelik (tabel 7) voorkom. 'n Belangrike verskynsel is dat tetra A en B agtereenvolgens 'n hele aantal asynsuur en asetoksi verliese ondergaan terwyl slegs 'n enkele verlies by tetra C waargeneem word. Tetra C ondergaan egter horisontale sptyting net soos die ander tetraflavanoïede. 4xRetro-Diels-Alder (RDA) sptytings van die moederioon kom vir beide tetra B en C voor terwyl tetra A en C 3xRDA fragmentasies van die sptytingsproduk m/e 1099, ondergaan. Horisontale sptytings gee fisetinidol (357) en katesjien (386 en 387) fragmente.

Die m/e 222 fragmente vanaf RDA verkry, is in ooreenstemming met die B-ring substitusie patronen.

80 MHZ KMR analise toon 'n temperatuur afhanklikheid (plaat 15) vir tetra A. By  $170^{\circ}\text{C}$  in DMSO word vier asetoksiseine waargeneem wat aanduiding gee van 'n tetraflavanoïed.

Tetra B en C gee vier asetoksiseine by  $31^{\circ}\text{C}$  in  $\text{CDCl}_3$  (plate 16a en 17) wat 'n aanduiding is dat die tetraflavanoïede as spesifieke rotamere isoleerbaar is, en dus ooreenstem met die vorige bevindings<sup>41</sup>. Temperatuur verhoging van tetra B tot by  $170^{\circ}\text{C}$  in DMSO (plaat 16e) het tot gevolg dat twee asetoksiseine saamsmelt en dat die triplet by ca.  $\delta$  6,0 en die doblet by ca.  $\delta$  4,0 verbreed terwyl die ander heterosikliese seine ook onduidelik vertoon. 'n Belangrike verskynsel is dat met die terugkeer na  $31^{\circ}\text{C}$  dieselfde spektra weer verkry word.

-----ooOoo-----

## EKSPERIMENTEEL

=====

HOOFSTUK 11 Standaard eksperimentele metodes1.1 Dunlaagchromatografie (DLC)

Kwalitatiewe dunlaagchromatografiese ondersoeke is op plas= tiekplaatjies ( $5 \times 4$  cm), bedek met 'n laag (0,25 mm) Kie= selgel PF<sub>254</sub> (Merck), uitgevoer. Bereidende-skaal dunlaag= chromatografiese skeiding van mengsels is op glasplate (20 x 20 cm), bedek met 'n laag (1,0 mm) Kieselgel PF<sub>254</sub> (100 g Kieselgel in 230 ml gedistilleerde water per vyf plate), uit= gevoer. In laasgenoemde geval is die plate by kamertempera= tuur gedroog en ongeaktiveerd gebruik. Na skeiding is die plate by kamertemperatuur in 'n vinnige lugstroom gedroog en bande onderskei deur middel van formaldehied-swaelsuur as sproeireagens en U.V. (254 nm).

1.2 Sproeireagensea Ammoniakaliese silwernitraat<sup>54</sup>

Ammoniakaliese silwernitraat is berei deur 'n gekonsentreerde ammoniakoplossing by 'n silwernitraatoplossing 4 g in 50 ml gedistilleerde water) te voeg tot die gevormde silweroksied net oplos. Nadat die twee-dimensionele papierchromatogramme liggies gesproei is, is dit met gedistilleerde water (3 x) gewas en die oormaat reagens met behulp van 1% (g/v) natrium= tiosulfaatoplossing vernietig. Oormaat chemikalieë is ver= wyder deur die chromatogram vir ca. 1 uur onder lopende kraan= water te spoel.

b Formaldehyd-swaelsuur<sup>55</sup>

Alle dunlaagchromatogramme is liggies met 'n 2% (v/v) oplossing van formaldehyd (40%) in gekonsentreerde swaelsuur gesproei en met behulp van 'n bunsenbrander liggies tot optimum kleurontwikkeling verhit.

1.3 Chemiese metodes

a Metilering van diasometaan<sup>56</sup>

Droë fenoliese materiaal (250 mg) is in metanol ( $\text{ca.}$  50 ml) opgelos en afgekoel tot  $-10^{\circ}\text{C}$ . Diasometaan, ontwikkeld deur die reaksie van kaliumhidroksied (5 g) in 95% (v/v) etanol=oplossing met N-metiel-N-nitroso-p-tolueensulfoonamied (15 g) in eter (100 ml), is in eterige oplossing stadig in die voorafbereide monsteroplossing gestook. Die reaksiemengsel is vir 48 uur by  $-15^{\circ}\text{C}$  gelaat en die oormaat diasometaan en oplosmiddel daarna in 'n vinnige lugstroom by kamertemperatuur verwijder.

b Asetilering<sup>57</sup>

Droë fenoliese materiaal is in 'n minimum hoeveelheid piridien opgelos en asynsuuranhidried (2 druppels per druppel piridien) bygevoeg en vir 8 uur by kamertemperatuur gelaat. Die reaksie is beëindig deur byvoeging van verkrummelde ys en die oormaat piridien verwijder deur herhaaldelik met gedistilleerde water te was.

1.4 Spektrometriese en spektroskopiese metodes

a Kernmagnetiese resonansspektrometrie (KMR)

Tensy anders vermeld, is KMR spektra afgeneem op 'n Bruker WP-80 spektrometer met tetrametielisilaan (TMS) as interne standaard. Deuteriochloroform ( $\text{CDCl}_3$ ) en deuteroedimentielsulfoksied (DMSO) is oorwegend as oplosmiddels gebruik.

Chemiese verskuiwings is op die  $\delta$ -skaal aangegee en koppelingskonstantes ( $J$ ) akkuraat tot ca. 0,2Hz is gemeet deur skaaluitbreiding. Afkortings word soos volg aangedui :

s	=	singulet	o	=	onsuiwerheid
d	=	doblet	ss	=	spinnende sybande
dd	=	doblet van doblette	m	=	multiplet
tr	=	triplet	verb	=	verbreed
kw	=	kwartet	arom.Prot	=	aromatiese protone

KMR-spektra is, tensy anders vermeld, deurgaans by  $304^{\circ}\text{K}$  ( $31^{\circ}\text{C}$ ) afgeneem.

b Massaspektrometrie (MS)

Massaspektra is met 'n Varian CH-5 massaspektrometer met dubbele fokus afgeneem.

c Sirkulêre dichroïsme (SD)

SD kurwes is bepaal met behulp van 'n Jasco J20 spektropolarimeter. Molekulêre elliptisiteit ( $\theta$ ) is volgens die volgende formule bereken.

$$\theta = \frac{(L)(\text{Skaalinstelling})(\text{molekulêre massa})(100)}{(\text{buislengte in sm})(\text{kondentrasie in g/l})}$$

L = verskil in lesing tussen dié van die verbinding in oplossing en dié van die oplosmiddel.

HOOFSTUK 2

2.1 *Suurgekataliseerde (0,1M HCl) kondensasie van (2R:3S:4R)-2,3-trans-3,4-trans-3,3',4,4',7-pentahidroksi-flavaan [(+)-mollisacacidin] met floroglusinol*

Die reaksie van (+)-mollisacacidin (100 mg) met floroglusinol (386 mg) vir 48 uur het twee produkte,  $R_f$  0,41 en 0,35, na TLC skeiding [benseen/asetoon/metanol (6:3:1)], gelewer.

2.1.1 *(2R:3S:4R)-2,3-trans-3,4-cis-3,3',4',7-tetrahidroksi-4-[2,4,6-trihidroksifeniyl]-flavaan (72a)*

Die vryfenoliese 4-arielflavaan,  $R_f$  0,41, is as 'n ligbruin vaste stof (30 mg) geïsoleer.

2.1.1.1 *(2R:3S:4R)-2,3-trans-3,4-cis-3-hidroksi-3',4',7-trimetoksi-4-[2,4,6-trimetoksfeniyl]-flavaan (72b)*

Diasometaanmetilering van die vryfenoliese arielflavaan (30 mg) gevvolg deur DLC-skeiding [benseen/asetoon (9:1)] het die 4-arielflavaan as 'n kleurlose vaste stof (18 mg) gelewer.

2.1.1.2 *(2R:3S:4R)-2,3-trans-3,4-cis-3-asetoksi-3',4',7-trimetoksi-4-[2,4,6-trimetoksfeniyl]-flavaan (72c)*

Asetilering van die 3-hidroksi-4-arielflavaan (18 mg) gevvolg deur DLC skeiding [benseen/asetoon (19:1)] het die monoasetaat ( $R_f$  0,31) as 'n kleurlose vaste stof (12 mg) gelewer.

KMR : Plate 1a ( $31^{\circ}\text{C}$ ) ; 1b ( $60^{\circ}\text{C}$ ) ; 1c ( $100^{\circ}\text{C}$ ) ,  $\delta\text{CDCl}_3$ .  
 6,74(d,  $J_{2,6}$  2,5, H(B)-2); 6,73(dd,  $J_{5,6}$  9,75 :  $J_{2,6}$   
 2,5, H(B)-6); 6,60(d,  $J_{5,6}$  9,75, H(B)-5); 6,53(d,  
 $J_{5,6}$  7,5, H(A)-5); 6,32(d,  $J_{6,8}$  2,5, H(A)-8); 6,17(dd,  
 $J_{5,6}$  7,5 :  $J_{6,8}$  2,5, H(A)-6); 5,95(s, H(A)-3&5);  
 5,34(dd,  $J_{2,3}$  8,65 :  $J_{3,4}$  6,25, H(C)-3); 5,07(d,  $J_{2,3}$   
 8,65, H(C)-2); 4,80(d,  $J_{3,4}$  6,25, H(C)-4); 3,59-3,67  
 (4 x OMe); 3,72(s, verbr. 2&6 OMe D); 1,58(s, OAc-3).

Massa : Skema 1, tabel 8

$\text{M}^+$  m/e 524(46%); 464(54,6); 327(28,7); 302(4,1);  
 303(26,6); 288(6,5); 297(36,2); 271(100); 256(34,2);  
 228(15,5); 222(12,4); 180(42,4); 167(34,1); 151(49,6);  
 137(36,1)

SD<sup>MeOH</sup> : - Plaat 19

Analise.  $\text{C}_{29}\text{O}_9\text{H}_{31}$  benodig C 66,53%; H 5,97%  
 gevind C 66,41% en H 6,14%

2.1.2 ( $2R:3S:4S$ )-2,3-trans-3,4-trans-3,3',4',7-tetrahidroksi-4-[2,4,6-trihidroksifieniel]-flavaan (38a)

Die vryfenoliese 4-arielflavaan,  $R_f$  0,35, is as 'n ligbruin vaste stof (61 mg) geïsoleer.

2.1.2.1 ( $2R:3S:4S$ )-2,3-trans-3,4-trans-3-hidroksi-3',4',7-trimetoksi-4-[2,4,6-trimetoksifieniel]-flavaan (38b)

Diasometaanmetilering van die vryfenoliese arielflavaan (61 mg) gevvolg deur DLC skeiding [benseen/asetoon (9:1)] het die

4-arielflavaan as 'n kleurlose vaste stof (26 mg) gelewer.

2.1.2.2 ( $2R:3S:4S$ )-2,3-trans-3, $\Delta$ -trans-3-  
asetoksi-3', $\Delta'$ ,7-trimetoksi-4-[2, $\Delta$ ,6-  
trimetoksifeniyl]-flavaan (38c)

Asetilering van die 3-hidroksi-4-arielflavaan (26 mg) gevvolg deur TLC skeiding [benseen/asetoon (19:1)] het die monoaseetaat  $R_f$  0,28, as 'n kleurlose vaste stof (23 mg) gelewer met spektra eienskappe (KMR, SD en massa) identies met dié van 'n outentieke monster.<sup>27,40</sup>

-----ooOoo-----

HOOFSTUK 3

3 Suurgekataliseerde kondensasie van  $(2R:3S)$ -*2,3-trans-3,3',4,4',5,7-heksahidroksiflavaan* [(+)-Leukosianidin] en floroglusinol

(+)-Taksifolin (1 g : 0,0035 mol) is in etanol (200 ml) opgelos en  $\text{NaBH}_4$  (500 mg) stadicoor 'n tydperk van 1 uur bygevoeg. Floroglusinol (3,5 g : 0,027 mol) en 0,1M HCl (400 ml) is daarna bygevoeg.

Die reaksiemengsel is na 30 minute met water (2:1) verdun en met etielasetaat ( $4 \times 200$  ml) geëkstraheer. Na droging ( $\text{Na}_2\text{SO}_4$ ) is die etielasetaat onder verminderde druk by  $50^\circ\text{C}$  tot 10 ml gekonsentreer waarna skeiding op bereidende skaal DLC [benseen/asetoon/metanol (6:3:1)] 'n enkele produk,  $R_f$  0,34, as 'n amorf vaste stof (400 mg) lewer.

Diasometaanmetilering van die  $R_f$  0,34 fraksie gevvolg deur DLC skeiding [benseen/asetoon (9:1)] het 3 produkte,  $R_f$  0,53, 0,40 en 0,32 gelewer.

3.1  $(2R:3S:4S)$ -*2,3-trans-3,4-trans-3,3',4',5,7-pentametoksi-4-[2,4,6-trimetoksifeniel]-flavaan* (35a)

Die oktametieleter,  $R_f$  0,53, is as 'n kleurlose vaste stof (32 mg) verkry met spektra eienskappe (KMR, SD en massa) identies met dié van 'n outentiese monster<sup>40</sup>.

3.2  $(2R:3S:4R)$ -*2,3-trans-3,4-cis-3-hidroksi-3',4',5,7-tetrametoksi-4-[2,4,6-trimetoksifeniel]-flavaan* (73b)

Die heptametieleter,  $R_f$  0,40, is as 'n kleurlose vaste stof

(17,6 mg) verkry.

3.2.1 ( $2R:3S:4R$ )-2,3-trans-3,4-cis-3-asetoksi-  
 $3',4',5,7$ -tetrametoksi-4-[2,4,6-trimetoksi=  
*feniël*]-flavaan (73c)

Asetilering van die 3-hidroksi-4-arielflavaan (17,6 mg) gevold deur DLC skeiding [benseen/asetoon (19:1) ( $\times 4$ )] het die monoasetaat,  $R_f$  0,49, as 'n kleurlose vaste stof (8,7 mg) gelewer.

KMR : Plate 4a ( $31^{\circ}\text{C}$ ), 4b ( $100^{\circ}\text{C}$ ).  $\delta\text{CDCl}_3$  (Plaat 4b).  
 $6,72(\text{dd}, J_{2,6} 2,5 : J_{5,6} 8,75, \text{H(B)-6})$ ,  $6,72(\text{d}, J_{2,6} 2,5, \text{H(B)-2})$ ,  $6,58(\text{d}, J_{5,6} 8,75, \text{H(B)-5})$ , 5,83 en 6,00(d,  
 $6\&8 \text{ H}_A$ ); 5,97(s,  $\text{H(D)-3\&5}$ ); 5,30(dd,  $J_{2,3} 9,5 : J_{3,4} 6,0, \text{H(C)-3}$ ); 5,03(d,  $J_{2,3} 9,5, \text{H(C)-2}$ ); 4,91(d,  $J_{3,4} 6,0, \text{H(C)-4}$ ); 3,62-3,69 (5x $\text{OMe}$ ); 3,41(s, verbr. 2&6  $\text{OMe D}$ ),  
1,59(s,  $\text{OAc-3}$ ).

Massa : Skema 1, - tabel 8

$\text{M}^+$  m/e 554(28,5%), 494(57,2), 357(5), 332(-), 327(13,9),  
301(100), 222(0,91), 180(9,9), 167(10,4), 151(34,4),  
137(3,2)

$\text{SD}^{\text{MeOH}}$  : Plaat 20

Analise.  $\text{C}_{30}\text{H}_{34}$  benodig C 64,97% en H 6,18%  
gevind C 65,27 en H 6,38%

3.3 ( $2R:3S:4S$ )-2,3-trans-3,4-trans-3-asetoksi- $3',4',5,7$ -tetrametoksi-4-[2,4,6-trimetoksifeniël]-flavaan (35c)

Asetilering van die  $R_f$  0,32 fraksie (70 mg) het die monoase=

taat as 'n kleurlose vastestof (79,8 mg) gelewer met spektra eienskappe (KMR, SD en massa) identies aan dié van 'n bekende monster<sup>40</sup>.

-----ooOoo-----

HOOFSTUK 4

4 Suurgekataliseerde kondensasie van  $(2R:3S:4R)$ -2,3-trans-3,4-trans-3,4-dihidroksi-3',4',7-trimetoksiflavaan en  $(2R:3S)$ -2,3-trans-3,3',4',5,7-pentahidroksi-3'-flavaan [ $(+)$ -katesjien]

Die reaksie tussen katesjien [1 g (2,46 m mol)] en tri-O-metielmollisacacidin [332 mg (1,1 m mol)] in 0,1N HCl (300 ml) verloop baie stadig. Na tien dae is die reaksiemengsel verdun ( $1\frac{1}{2}$  l) en met etielasetaat (4 x 150 ml) geëkstraheer oor natriumsulfaat gedroog en by  $50^{\circ}\text{C}$  onder verminderde druk ingedamp om 'n ligbruin vastestof (1,2 g) te lewer. DLC skeiding [benseen/asetoon (7:3) (2x)] het 2 bande,  $R_f$  0,14 en 0,05, gelewer.

4.1  $(2R:3S:4R)$ -2,3-trans-3,4-cis-3-hidroksi-3',4',7-trimetoksi-4-[ $(2R:3S)$ -2,3-trans-3,3',4',5,7-penta-hidroksi-flavaniel-8]-flavaan (23b)

Die  $R_f$  0,14 fraksie het die 4-flavanielflavaan (23b) as 'n kleurlose vaste stof (116 mg) gelewer.

4.1.1  $(2R:3S:4R)$ -2,3-trans-3,4-cis-3-asetoksi-3',4',7-trimetoksi-4-[ $(2R:3S)$ -2,3-trans-3-asetoksi-3',4',5,7-tetrametoksiflavaniel-8]-flavaan (23c)

Diasometaanmetilering van die  $R_f$  0,14 fraksie (60 mg) gevvolg deur asetilering en DLC skeiding [dichlooretaan/asetoon (19:1)] lewer die diasetaat,  $R_f$  0,49, as 'n kleurlose vaste stof (32 mg) met spektra eienskappe (KMR, SD en massa) iden-

ties met dié van 'n outentieke monster<sup>28, 40</sup>.

4.2 ( $2R:3S:4S$ )-2,3-trans-3,4-trans-3-hidroksi-3',4',7-trimetoksi-4-[ $(2R:3S)$ -2,3-trans-3,3',4',5,7-pentahidroksiflavaniel-8]-flavaan (22b)

Die  $R_f$  0,05 band het die alles-trans-4-flavanielflavaan (22b) as 'n kleurlose vaste stof (163 mg) gelewer.

4.2.1 ( $2R:3S:4S$ )-2,3-trans-3,4-trans-3-asetoksi-3',4',7-trimetoksi-4-[ $(2R:3S)$ -2,3-trans-3,3',4',5,7-pentametoksiflavaniel-8]-flavaan (22c)

Diasometaanmetilering van die  $R_f$  0,05 band (101 mg) gevvolg deur asetilering en DLC skeiding [dichlooretaan/asetoon (19:1)] het die diasetaat ( $R_f$  0,46) as 'n kleurlose vaste stof (54 mg) gelewer, met spektra eienskappe (KMR, SD en massa) identies met dié van 'n outentieke monster<sup>28, 40</sup>.

## HOOFSTUK 5

### 5 ISOLASIE VAN NATUURLIKE BI-, TRI- EN TETRAFLAVANOÏEDE UIT *Acacia mearnsii*

Vars kernhout boorsels (65 kg) is met behulp van 'n Soxhlet proses (asetoon as oplosmiddel) geëkstraheer. Nadat die asetoon ingedamp is, is die donkerbruin ru-ekstrak (832 g) porsiegewys (80 g) in metanol (400 ml) opgelos en met heksaan (4 x 300 ml) geëkstraheer om van die vette en wasse ontslae te raak. Die ontvette ekstrak (620 g) is porsiegewys (20 g) op 4,5 x 135 cm sellulose kolomme (250 g 'Solka Floc' - Brown Co., Berlin, New Hampshire, U.S.A.) geskei met water as elueermiddel. Fraksies (100 ml) word opgevang sodra 'n blou band (gallosuur-ysterkompleks in 'Solka Floc' teenwoordig) te voorskyn kom. Fraksies 1-5 bevat hoofsaaklik (+)-mollisacidin (50 g in totaal na kristallisasię). Die oorblywende fraksies (6-30) is gekombineer en met etielasetaat (4 x 200 ml) geëkstraheer, gedroog oor natriumsulfaat en ingedamp om 'n bruin amorfe stof (32 g in totaal) te lewer. DLC skeiding van hierdie mengsel [benseen/asetoon/metanol (6:3:1)] (100 mg per plaat) lewer 3 bande,  $R_f$  0,31 (6,1 g), 0,24 (9,8 g) en 0,13 (5,5 g).

#### 5.1 Isomere van 3,3',4,4',7-pentahidroksi-6-[3,3',4',7-tetrahidroksiflavan-4-iel]-flavane

Diasometaanmetilering van die  $R_f$  0,31 fraksie (1,1 g) gevvolg deur DLC skeiding [metieletielketoon/tolueen (6:4)] het drie produkte,  $R_f$  0,70 (200 mg), 0,63 (150 mg) en 0,56 (82 mg) gelewer.

5.1.1 (*2R:3S:4R*)*-2,3-trans-3,4-trans-6-[ (2R:3S:4S)-2,3-trans-3,4-cis-3-asetoksi-3',4',7-trimetoksiflavan-4-iel]-3,4-diasetoksi-3',4',7-trimetoksiflavaan (11c)*

Asetilering van die heksametieleter (52 mg) en DLC skeiding [dichlooretaan/asetoon (19:1)] het die triasetaat,  $R_f$  0,55, as 'n kleurlose vaste stof (15 mg) gelewer met spektra eienskappe (KMR en massa) identies met dié wat voorheen verkry is<sup>9</sup>.

#### KMR Plaat 6

6,17-6,7(m, arom.prot); 6,05(d,  $J_{3,4}$  7,5, H(F)-4); 5,41(dd,  $J_{2,3}$  7 :  $J_{3,4}$  5, H(C)-3); 5,38(dd,  $J_{2,3}$  10 :  $J_{3,4}$  7,5, H(F)-3); 4,97(d,  $J_{2,3}$  7, H(C)-2); 4,86(d,  $J_{2,3}$  10, H(F)-2); 4,62(d,  $J_{3,4}$  5, H(C)-4); 3,61-3,76(s, 6 x OMe), 1,78 : 1,76 en 1,74 (3 x OAc)

#### Massa Skema 3, tabel 10

$M^+$  m/e 772(47,1); 712(73,9), 652(39,1); 593(41,2); 550(2,75); 490(37,3); 448(40,8); 431(50,8); 417(51,3); 415(14,7); 403(18,5); 357(22,4); 355(15,6); 311(36,9); 297(40,2); 296(54,5); 222(47,9); 180(100); 151(3,4); 137(47,5)

#### $SD^{MeOH}$ - Plaat 22

5.1.2 Die  $R_f$  0,63 band bevat 'n mengsel van die heksa-O-metieleters van 2,3-trans-3,4-cis : 2',3'-trans-3',4'-cis (12) en 2,3-trans-3,4-trans; 2',3'-trans-3',4'-cis (74) biflavanoïede. Asetilering (81 mg) en DLC skeiding [1,2-dichlooretaan/asetoon (19:1) (2x)] het twee produkte,  $R_f$  0,46 en 0,41, gelewer.

6,16-6,84(arom.prot); 5,91(d,  $\int_{3,4}$  3,3, H(F)-4); 5,58(tr,  
 $\int_{3,4:2,3}$  8,75, H(C)-3); 5,31(dd,  $\int_{2,3}$  10 :  $\int_{3,4}$  3,3,  
H(F)-3); 5,00(d,  $\int_{2,3}$  10, H(F)-2); 4,83(d,  $\int_{2,3}$  8,75,  
H(C)-2); 4,31(d, verb,  $\int_{3,4}$  8,75, H(C)-4); 3,56-3,70(6 x  
OMe); 1,95; 1,74 en 1,61(3 x OAc)

Massa - skema 3 - tabel 10

$M^+$  m/e 772(34,7%); 712(60,6); 653(35,5); 652(-); 594(9,3);  
593(11,0); 550(-); 519(8); 460(8,9); 415(4,7); 401(14,4);  
357(4,8); 355(3,6); 328(3,1); 297(57,4); 222(32,0);  
180(66); 151(62,2)

Gevind : C 65,41%; H 5,90%  $C_{42}H_{44}O_{14}$  vereis C 65,28; H 5,74%

SD MeOH : Plaat 22

5.1.3 (2R:3S:4R)-2,3-trans-3,4-trans-6-[ (2R:3S:  
4R)-2,3-trans-3,4-trans-3-asetoksi-3',4',7-  
trimetoksiflavan-4-iel]-3,4-diasetoksi-3',4',  
7-trimetoksiflavaan (13c)

Asetilering van die heksametieleter ( $R_f$  0,56) (52 mg) en DLC  
skeiding [dichlooretaan/asetoon (19:1)] het die triasetaat ( $R_f$   
0,55) as 'n kleurlose vaste stof (15 mg) gelewer met spektra  
eienskappe (KMR en massa) identies met die wat voorheen verkry is .  
<sup>9</sup>

KMR : Plaat 9

6,16-6,88(arom.prot); 6,08(d,  $\int_{3,4}$  7,5, H(F)-4); 5,66(tr,  
 $\int_{2,3:3,4}$  9,5, H(C)-3); 5,43(dd,  $\int_{2,3}$  9,8 :  $\int_{3,4}$  7,5,  
H(F)-3); 4,88(d,  $\int_{2,3}$  9,8, H(F)-2); 4,86(d,  $\int_{2,3}$  9,5,  
H(C)-2); 4,46(d, verb,  $\int_{3,4}$  9,5, H(C)-4); 3,63-3,81(6 x OMe);  
1,59 : 1,77 en 2,03(3 x OAc)

5.1.2.1 ( $2R:3S:4S$ )-2,3-trans-3,4-cis-6-[  
 (2R:3S:4S)-2,3-trans-3,4-cis-3-asetoksi-3',4',7-trimetoksiflavan-4-iel]-  
 3,4-diasetoksi-3',4',7-trimetoksiflavaan (12c)

Die triasetaat ( $R_f$  0,46) is as 'n kleurlose vaste stof (59 mg) gekry, met spektra eienskappe (KMR en massa) identies met die wat voorheen verkry is.

KMR : Plaat 7  $\delta\text{CDCl}_3$

6,22-6,86(arom.prot); 5,87(d,  $J_{3,4}$  3,25, H(F)-4); 5,37(dd,  $J_{2,3}$  5,75 :  $J_{3,4}$  4,5, H(C)-3); 5,33(dd,  $J_{3,4}$  3,25 :  $J_{2,3}$  10,25, H(F)-3); 5,06(d, verb,  $J_{2,3}$  5,75, H(C)-2); 5,03(d,  $J_{2,3}$  3,25, H(F)-2); 4,46(d, verb,  $J_{3,4}$  4,5, H(C)-4); 3,60-3,77(s, 6 x OMe); 2,03 en 1,75(3 x OAc)

Massa - Skema 3 - tabel 10

$M^+$  m/e 771(17,3%); 712(53,1); 652(3,07); 593(5,55); 550(-); 519(41,9); 490(5,1); 459(10,7); 448(12,1); 419(3,4); 415(1,33); 357(2,65); 355(2,2); 222(14,7); 180(100); 151(70,2)

SD<sup>MeOH</sup> - Plaat 21

5.1.2.2 ( $2R:3S:4S$ )-2,3-trans-3,4-cis-6-[ $(2R:$   
 $3S:4R)$ -2,3-trans-3,4-trans-3-asetoksi-3',4',7-trimetoksiflavan-4-iel]-  
 3,4-diasetoksi-3',4',7-trimetoksiflavaan (74c)

Die triasetaat ( $R_f$  0,41) is as 'n kleurlose vaste stof verkry.

KMR : Plaat 8  $\delta\text{CDCl}_3$

## Massa - Skema 3 - tabel 10

772(-); 712(70,4); 653(16,7); 652(12,6); 594(26,1);  
 593(43); 550(-); 519(8,0); 460(2,7); 415(2,8);  
 401(7,1); 357(4,1); 355(13); 328(-); 297(53,8);  
 222(9,8); 180(58,5); 151(59,8)

SD<sup>MeOH</sup> : Plaat 21

5.2 Diasometaanmetilering van die  $R_f$  0,13 fraksie (5,5 g) {vanaf sellulose kolom deurloop wat op DLC geskei is} gevolg deur DLC skeiding het vyf bande  $R_f$  0,46(A); 0,42(B); 0,37(C); 0,31(D) en 0,23(E) gelewer.

5.2.1  $(2R:3S)-2,3\text{-trans-}3\text{-asetoksi-}6[(2R:3S:4S)-2,3\text{-trans-}3,4\text{-trans-}3\text{-asetoksi-}3',4'\text{-}7\text{-trimetoksi=flavan-4-iel}]-8-[ (2R:3S:4R)-2,3\text{-trans-}3,4\text{-cis-}3\text{-asetoksi-}3',4'\text{-}7\text{-trimetoksiflavan-4-iel}]-3',4',5,7\text{-tetrametoksiflavaan}$  (75c)

Die dekametieleter ( $R_f$  0,46; fraksie A) is as 'n geel vaste amorfie stof (203 mg) verkry en geasetileer. Die triasetaat is na agtereenvolgende DLC skeiding met benseen/metieleterketoon (8:2) ( $R_f$  0,24) en heksaan/asetoon/etielasetaat (60:25:15) ( $R_f$  0,33) as 'n kleurlose vaste stof verkry.

KMR : Plaat 12 :  $^1H$  80MHZ  $\delta$ DMSO  $170^{\circ}\text{C}$

6,06-6,83(arom.prot); 5,78(tr,  $J_{2,3:3,4}$  9,25, H(I)-3);  
 5,35(dd,  $J_{2,3}$  6,95 :  $J_{3,4}$  7,25, H(C)-3); 5,05(d, verb,  
 $J_{2,3}$  6,95, H(C)-2); 4,78(d,  $J_{2,3}$  9,25, H(I)-2); 4,58(d, verb,  
 H(C)-4); 4,54(d, verb, H(F)-2); 4,30(d, verb,  
 H(C)-4); 3,14-3,66(10 x OMe); 2,7-2,9( $-\text{CH}_2$ ); 1,74 :

1,59 en 1,54 (3 x OAc)

Massa : Skema 5, Tabel 11

$M^+$  m/e 1100(7,6%); 1040(13,4); 980(9,1); 920(4,3);  
 878(3,5); 847(14,2); 818(7,5); 683(29,7); 656(-);  
 625(11,6); 623(5,0); 596(-); 565(11,6); 521(7,11);  
 490(-); 461(8,8); 434(-); 430(-); 403(4,6); 386(3,4);  
 357(6,2); 326(3,8); 297(35,8); 222(19,7); 180(87,5);  
 151(100);

Analise :  $C_{61}H_{64}O_{19}$  benodig C 60,54% en H 5,86% :

Gevind : C 60,56%; H 5,89%

SD<sup>MeOH</sup> - Plaat 23

5.2.2 Die genoemde fraksie B,  $R_f$  0,42, (742 mg), bevat 'n mengsel van die alles *trans*, 6-(3,4-*cis*)-8-(3,4-*trans*) sowel as 'n tetraflavanoïed. DLC-skeiding [benseen/asetoon (7:3)] het twee bande,  $R_f$  0,42 en 0,38, gelewer.

Asetilering van die  $R_f$  0,42 fraksie (187 mg) en DLC skeiding [benseen/metieletielketoon (85:15) (2x)] het 2 bande  $R_f$  0,55 en 0,45 gelewer.

5.2.2.1 (2*R*:3*S*)-2,*3*-*trans*-3-asetoksi-6-[ (2*R*:3*S*:4*R*)-2,*3*-*trans*-3,*4*-*cis*-3-asetoksi-3',4',7-trimetoksiflavan-4-iel]-8-[ (2*R*:3*S*:4*S*)-2,*3*-*trans*-3,*4*-*trans*-3-asetoksi-3',4',7-trimetoksi-flavan-4-iel]-3',4',5,7-tetrametoksi-flavan (76c)

DLC skeiding [heksaan/asetoon/etielasetaat (60:25:15) (2x)]

van die  $R_f$  0,55 band (30 mg) het die triasetaat ( $R_f$  0,26) as 'n kleurlose vaste stof (25 mg) gelewer met spektra eien-skappe (KMR, SD en massa) identies aan dié wat voorheen verkry is.<sup>40</sup>

KMR Plaat 13,  $\delta$ DMSO - 170°C

6,09-6,71(arom.prot); 5,88(tr,  $J_{2,3}$  9,1 :  $J_{3,4}$  9,1, H(C)-3); 5,35(dd,  $J_{2,3}$  7,95 :  $J_{3,4}$  6,0, H(I)-3); 5,15(d,  $J_{2,3}$  7,95, H(I)-2); 4,80(d, verb,  $J_{2,3}$  9,1, H(C)-2), 4,71(d, verb,  $J_{3,4}$  9,1, H(C)-4); 4,48(d, verb,  $J_{3,4}$  6,0, H(I)-4); 3,28-3,66(10 x OMe); 2,64-2,84(-CH<sub>2</sub>-); 1,79 : 1,56 en 1,48(3 x OAc)

Massa - skema 5, tabel 11

$M^+$  m/e 1100(9,4%); 1040(93,3); 980(51,4); 920(13,5); 878(2,2); 847(10,6); 818(16,9); 683(27,3); 656(-); 625(15,8); 623(10,5); 596(4,7); 565(10,8); 521(4,3); 490(8,7); 461(12,6); 434(4,3); 430(5,7); 403(18,6); 386(4,1); 357(13,3); 326(5,2); 297(47,8); 222(14,9); 180(86,6); 151(100)

SD<sup>MeOH</sup> Plaat 23

5.2.2.2 (2R:3S)-2,3-trans-3-asetoksi-6,8-bis-[(2R:3S:4S)-2,3-trans-3,4-trans-3-asetoksi-3',4',7-trimetoksiflavan-4-iel]-3',4',5,7-tetrametoksiflavan (77c)

DLC skeiding [heksaan/asetoon/etielasetaat (60:25:15) (3x)] van die  $R_f$  0,45 band (44 mg) het die triasetaat ( $R_f$  0,35) as 'n kleurlose vaste stof (19 mg) gelewer met spektra eien-

skappe (KMR, SD en massa) identies aan dié van 'n bekende monster.

KMR Plaat 14 δDMSO - 160°C

6,09-6,89(arom.prot), 5,74 en 5,77(2 x tr, H(I)-3 en H(C)-3); 4,46-4,89 (ander heterosikliese prot); 3,27-3,73(10 x OMe); 1,55 : 1,58 en 1,76 (3 x OAc)

Massa - skema 5 - tabel 11

$M^+$  m/e 1100(2,1%); 1040(24,4); 980(16,1); 920(7,2); 878(-); 847(8,0); 818(4,5); 683(57,0); 656(2,5); 625(10,9); 623(11,8); 596(4,4); 565(5,3); 521(2,6); 490(2,3); 461(6,3); 434(2,7); 430(4,5); 403(5,8); 386(2,5); 357(17,8); 326(4,1); 297(79,9); 222(78,7); 180(100); 151(11,0)

SD - Plaat 23

5.2.2.3 Asetilering van die  $R_f$  0,38 band (191 mg) gevolg deur DLC skeiding [benseen/metieletielketoen (85:15) ( $R_f$  0,27) en heksaan/asetoon/etielasetaat (60:25:15) (2x) ( $R_f$  0,14)] het die tetraflavanoïedmetieltertetra-asetaat (tetra A) as 'n kleurlose vaste stof (52,7 mg) gelewer.

KMR Plaat 15 δDMSO - 170°C

Massa - Tabel 6 :

$M^+$  m/e 1456(2,5%); 1397(2,5); 1396(7,3); 1365(5,4); 1338(4,6); 1337(9,7); 1336(6,0); 1305(4,4); 1278(2,4); 1277(3,6); 1276(2,4); 1216(-); 1099(2,9); 1069(-); 1040(9,1); 1039(15,0); 1009(-); 979(7,4); 743(3,3);

713(2,1); 683(9,4); 653(5,5); 623(-); 593(4,1); 433(4,5);  
 387(3,2); 386(-); 357(4,0); 327(6,9); 222(52,4); 180(100);  
 151(8,1)

SD<sup>MeOH</sup> : Plaat 24

5.2.3 Asetilering van fraksie C,  $R_f$  0,37, (566 mg) en  
 preparatiewe TLC skeiding met benseen/asetoon (9:1) ( $R_f$  0,24)  
 en dichloormetaan/asetoon (9:1) (3x),  $R_f$  0,38, onderskeidelik  
 as eluëermiddels, het die tetra-asetaat, tetra B, as 'n  
*kleurlose vaste stof* (68 mg) gelewer.

KMR	Plaat 16a	$\delta$ CDCl <sub>3</sub>	31°C
	16b	"	80°C
	16c	$\delta$ DMSO	31°C
	16d	"	140°C
	16e	"	160°C

Massa Tabel 6

$M^+$  m/e 1456(1457)(3,8%); 1397(5,3); 1396(7,4); 1365(6,7);  
 1338(4,5); 1337(7,8); 1336(4,7); 1305(4,9); 1278(3,3);  
 1277(3,9); 1276(-); 1216(-); 1099(2,5); 1069(2,5);  
 1040(11,4); 1039(14,1); 1009(-); 979(7,3); 743(-);  
 713(3,8); 683(12,1); 653(4,3); 623(5,0); 593(4,4);  
 568(2,4); 433(-); 387(5,6); 386(2,8); 357(7,8);  
 327(4,3); 222(41,6); 180(100); 151(96,3)

SD<sup>MeOH</sup> : Plaat 25

5.2.4 Asetilering van fraksie D,  $R_f$  0,31, (537 mg)  
 en TLC skeiding met agtereenvolgens benseen/asetoon (9:1)  
 (2x,  $R_f$  0,21) en dichlooretaan/asetoon (93:7) (3x;  $R_f$  0,34)

het die tetra-asetaat as 'n kleurlose vaste stof, (tetra C) (12 mg) gelewer.

KMR : Plaat 17       $\delta$ CDCl<sub>3</sub>      31°C

Massa - tabel 6

$M^+$  m/e 1456(1457)(3,4%); 1397(2,9); 1396(2,9); 1040(4,7); 1009(2,7); 979(-); 743(5,6); 713(6,8); 683(6,8); 653(4,1); 623(4;3); 593(3,0); 568(3,4); 433(7,8); 387(6,3); 386(15,3); 357(13,0); 327(2,5); 222(3,1); 180(100); 151(18,0)

SD<sup>MeOH</sup> : Plaat 26

5.2.5 (2R:3S:4R)-2,3-trans-3,4-trans-3-asetoksi-6-[ (2R:3S:4S)-2,3-trans-3,4-cis-3-asetoksi-3',4',7-trimetoksiflavan-4-iel]-4-[ (2R:3S:4R)-2,3-trans-3,4-trans-3,4-diasetoksi-3',4',7-trimetoksiflavan-6-iel]-3',4',7-trimetoksiflavaan (77c)

Asetillering van fraksie E, R<sub>f</sub> 0,23, (605 mg) gevvolg deur DLC skeiding agtereenvolgens in benseen/asetoon (9:1) en benseen/asetoon (95:5), R<sub>f</sub> 0,33 en 0,16 onderskeidelik, het die tetra-asetaat as 'n kleurlose vaste stof (37 mg) gelewer.

KMR : Plaat 18b - 500 MHZ -  $\delta$ DMSO      100°C  
(Sien ook 18a 80 MHZ -  $\delta$ CDCl<sub>3</sub>      31°C)

7,04-7,06 (H(H)-2); 7,05(d,  $J_{2,6}$  1,75 H(E)-2); 7,00(dd,  $J_{2,6}$  1,75;  $J_{5,6}$  8,0, H(E)-6); 7,98-7,99 (H(H)5&6); 6,95(d,  $J_{5,6}$  8,6, H(B)-5); 6,94(d,  $J_{5,6}$  8,0, H(E)-5); 6,90(d,

$\int_{2,6}$  2,30; H(B)-2); 6,86(dd,  $\int_{2,6}$  2,30;  $\int_{5,6}$  8,5, H(B)-6);  
 6,74(s, verb, H(G)-5); 6,53(s, H(D)-8); 6,47(dd,  $\int_{5,6}$  8,5;  
 $\int_{4,5}$  1,0; H(A)-5); 6,46(d,  $\int_{6,8}$  2,5, H(A)-8); 6,42(s, verb,  
H(D)-5); 6,05(d,  $\int_{3,4}$  7,3, H(I)-4); 5,63(tr,  $\int_{2,3:3,4}$  9,5,  
H(F)-3); 5,40(dd,  $\int_{2,3}$  6,5;  $\int_{3,4}$  4,75, H(C)-3); 5,34(dd,  
 $\int_{2,3}$  9,6;  $\int_{3,4}$  7,3, H(I)-3); 5,15(d,  $\int_{2,3}$  9,5, H(F)-2);  
5,08(d,  $\int_{2,3}$  6,5, H(C)-2); 5,04(d,  $\int_{2,3}$  9,6, H(I)-2);  
4,60(d, verb,  $\int_{3,4}$  9,5 (H(F)-4); 4,57(d,  $\int_{3,4}$  4,75, H(C)-4);  
3,81; 3,803; 3,80(x2); 3,78; 3,75; 3,72; 3,71; 3,68(s,  
9 x OMe); 1,96; 1,80; 1,75; 1,60(s, 4 x OAc)

Massa - skema 6 - tabel 6

m/e 1009( $M^+$  -59, -60, 3,7%), 1008( $M^+$  -2 x 60, 12),  
949(4,0); 906(-); 875(6,6); 846(2,7); 815(7,3); 780(4,1);  
771(5,81); 713(2,5); 711(6,0); 684(3,4); 653(5,3);  
624(3,8); 593(4,5); 549(2,9); 518(3,6); 490(4,1);  
462(6,1); 458(3,4); 431(9,2); 415(3,4); 398(8,4);  
357(3,7); 355(6,0); 327(5,3); 315(7,3); 297(33); 296(7,4);  
222(17,1); 180(73); 151(100)

Analise -  $C_{62}H_{64}O_{20}$  benodig C 65,95, H 5,71% :

Gevind C 65,76%; H 5,70%

SD<sup>MeOH</sup> - Plaat 27

-----oo0oo-----

## HOOFSTUK 6

### 6 SINTESE VAN BI- EN TRIFLAVANOÏEDE UIT *A. mearnsii*

(+)-Mollisacacidin [7 x 2 g porsies] is in 800 ml 0,1N HCl opgelos en tot 40°C verhit. Na 18 uur is die reaksiemengsel na 2 liter verdun en met etielasetaat (4 x 200 ml) geëkstraheer, oor natriumsulfaat gedroog en by 50°C onder verminderde druk ingedamp. Die gekombineerde fraksies (12 g) is op DLC geskei [benseen/asetoon/metanol (6:3:1) (100 mg per plaat)] en het drie produkte,  $R_f$  0,32; 0,26 en 0,14 gelewer.

Diasometaanmetilering (99 mg) en DLC skeiding [metielietielketoon/tolueen (6:4)] het twee produkte,  $R_f$  0,70 en 0,63 as kleurlose vaste stowwe (37,5 en 29,4 mg onderskeidelik) gelewer.

6.1 ( $2R:3S:4R$ )-2,3-trans-3,4-trans-6-[ $(2R:3S:4S)$ -2,3-trans-3,4-cis-3-asetoksi-3',4',7-trimetoksi-flavan-4-iel]-3,4-diasetoksi-3',4',7-trimetoksi-flavaan (11c)

Asetilering van die heksametieleter (37,5 mg),  $R_f$  0,70, gevolg deur DLC skeiding [heksaan/asetoon/etielasetaat (60:25:15)(x2)] het die triasetaat as 'n kleurlose vaste stof (26,8 mg) gelewer met spektra eienskappe (KMR, SD en massa) identies aan dié van die natuurprodukte onder 5.1.1 beskryf.

6.2 ( $2R:3S:4S$ )-2,3-trans-3,4-cis-6-[ $(2R:3S:4S)$ -2,3-trans-3,4-cis-3-asetoksi-3',4',7-trimetoksiflavan-4-iel]-3,4-diasetoksi-3',4'-7-trimetoksiflavaan (12c)

Asetilering van die  $R_f$  0,63 fraksie (29,4 mg) gevolg deur DLC skeiding [heksaan/asetoon/etielasetaat (60:25:15)]

het die triasetaat,  $R_f$  0,28, as 'n kleurlose vaste stof (24,3 mg) gelewer met spektra eienskappe (KMR, SD en massa) identies aan dié van die natuurlike produk onder 5.1.2.1 beskryf.

6.3  $(2R:3S:4R)$ -2,3-trans-3,4-trans-3-asetoksi-6-[ $(2R:3S:4S)$ -2,3-trans-3,4-cis-3-asetoksi-3',4'-7-trimetoksiflavan-4-iel]-4-[ $(2R:3S:4R)$ -2,3-trans-3,4-trans-3,4-diasetoksi-3',4',7-trimetoksiflavan-6-iel]-3',4',7-trimetoksiflavaan (79c)

Diasometaanmetilering (93 mg), DLC skeiding [metieletielketoon/tolueen (6:4)] ( $R_f$  0,45), asetilering (21 mg) en DLC skeiding [heksaan/asetoon/etielasetaat (60:25:15)(4x)] het die tetra-asetaat ( $R_f$  0,34) as 'n kleurlose vaste stof (4,1 mg) gelewer met spektra eienskappe (KMR, SD en massa) identies aan dié van die natuurproduk onder 5.2.5 beskryf.

6.4 'n Outentieke monster van die  $(2R:3S:4R)$ -2,3-trans-3,4-trans-3,3',4',7-tetrahidroksi-4-[2,4-dihidroksifeni<sup>40</sup>l]-flavaan (40a) derivaat, het by  $40^{\circ}\text{C}$  in 0,1N HCl vir 18 uur geen tekens van epimerisasie (volgens DLC) na die 3,4-cis isomeer (41c) getoon nie.

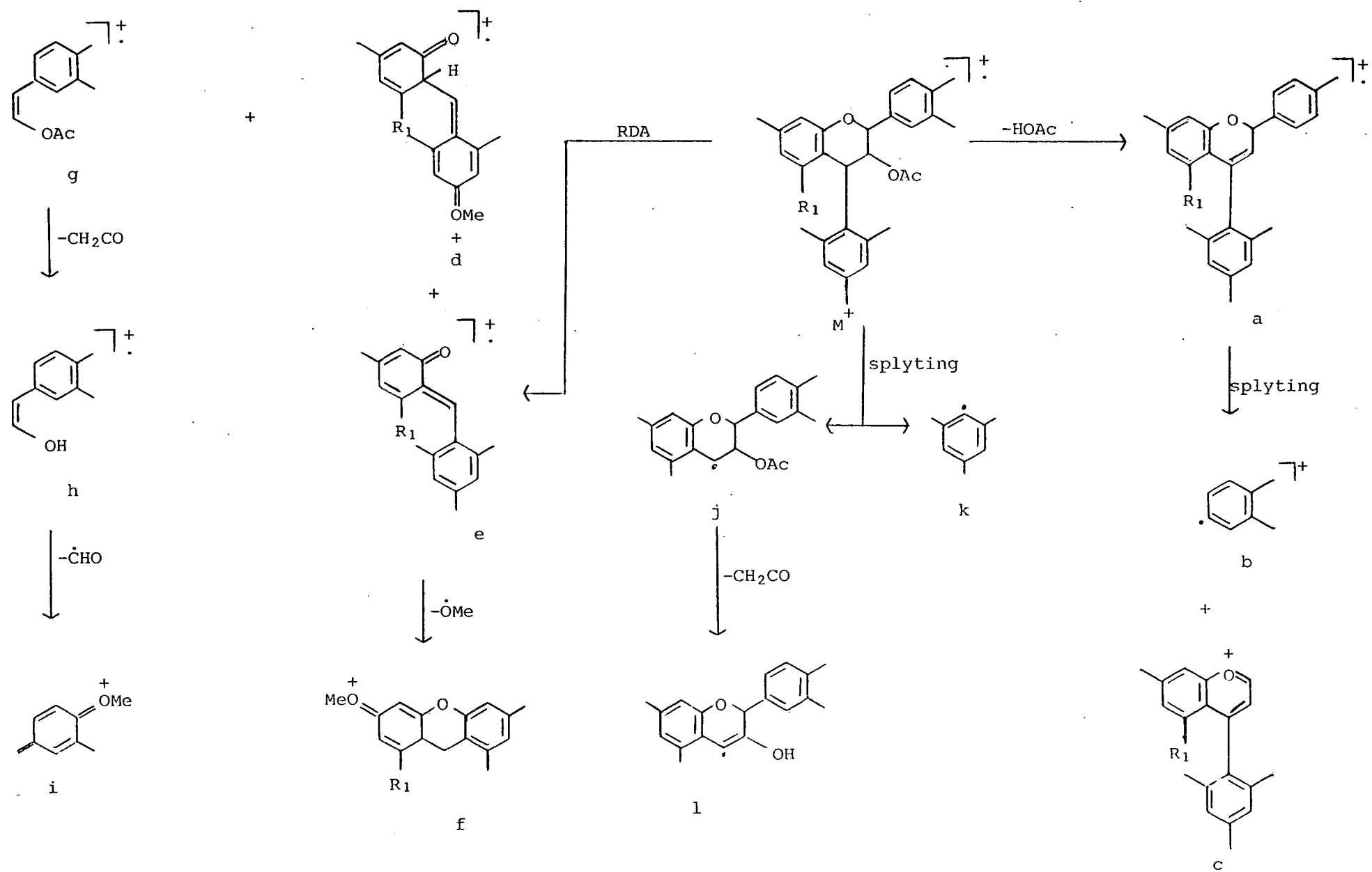
-----ooOoo-----

Tabel 8

M/e waardes en relatiewe intensiteite van die fenoliese metieleters-3-asetate van 4-ariel flavanoïede

fragment	38c tt ( $R_1=H$ )	72c tc ( $R_1=H$ )	35c tt ( $R_1=Ome$ )	73c tc ( $R_1=OMe$ )
M <sup>+</sup>	524(2,4)	524(46)	554(-)	554(28,5)
a	464(100)	464(54,6)	494(100)	494(57,2)
b	137(8,3)	137(36,1)	137(1,6)	137(3,3)
c	327(8,6)	327(28,7)	357(3,6)	357(5,1)
d	303(2,1)	303(26,6)	333(-)	333(2,2)
e	302(-)	302(4,1)	332(-)	332(-)
f	271(64)	271(100)	301(29,2)	301(100)
g	222(-)	222(12,4)	222(-)	222(0,9)
h	180(16,9)	180(42,4)	180(3,9)	180(19,9)
i	151(39,7)	151(49,6)	151(13,4)	151(34,4)
j	357(-)	357(2,2)	387(-)	387(10,7)
k	167(6,8)	167(34,1)	167(6,4)	167(10,4)
l	315(18,9)	315(47,1)	345(4,7)	345(42,4)

Skema 1 : Algemene fragmentasie van 3-asetoksi-4-arielflavaanderivate

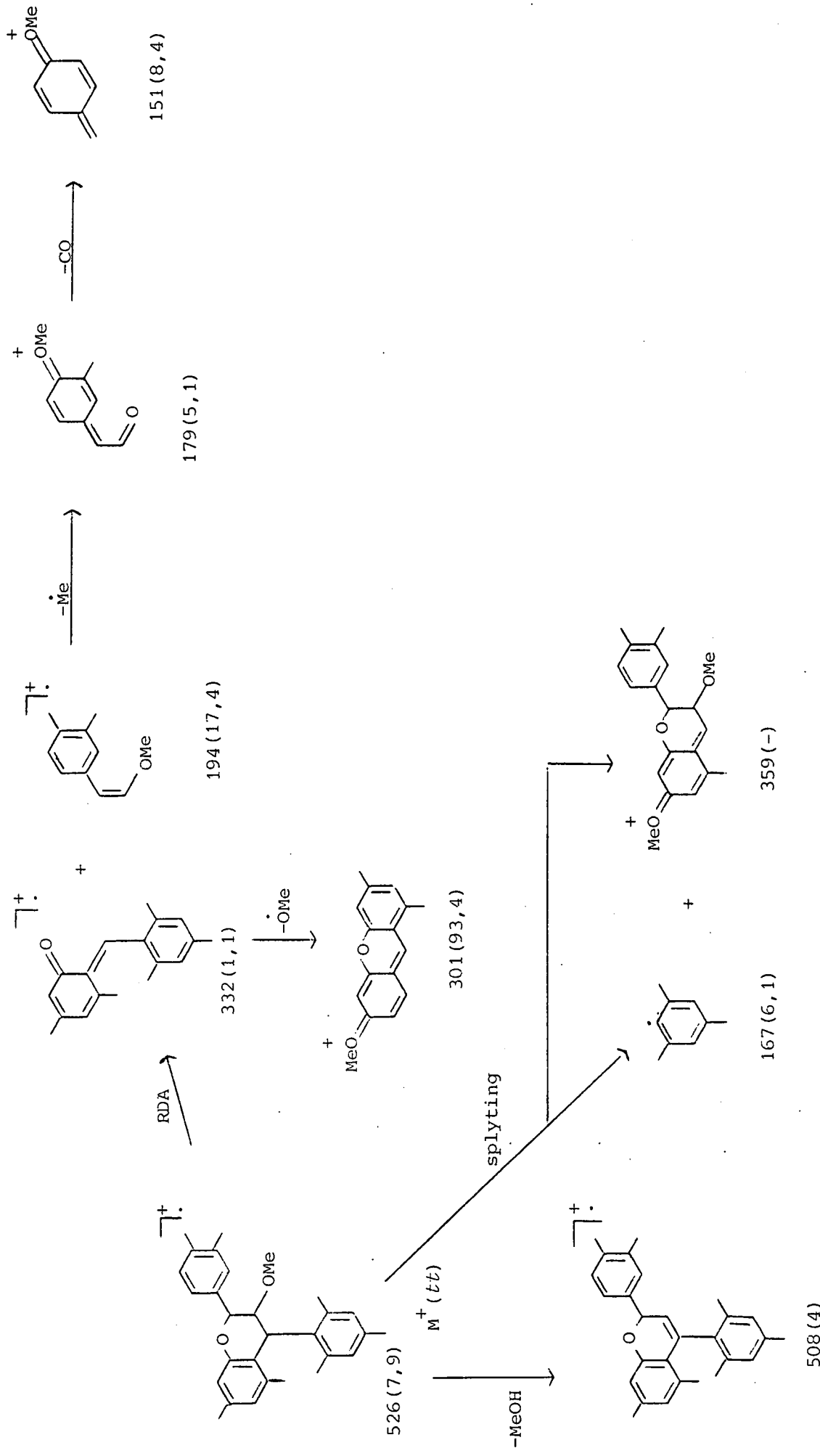


Tabel 9

"Appearance potensial" van 35d

fragment	Intensiteit
.526	61,6
508	9,8
359	2,5
332	-
301	100
194	5
179	-
151	-
167	-

Skema 2 : Algemene fragmentaties van 3-metoks-4-arielleukosianidien

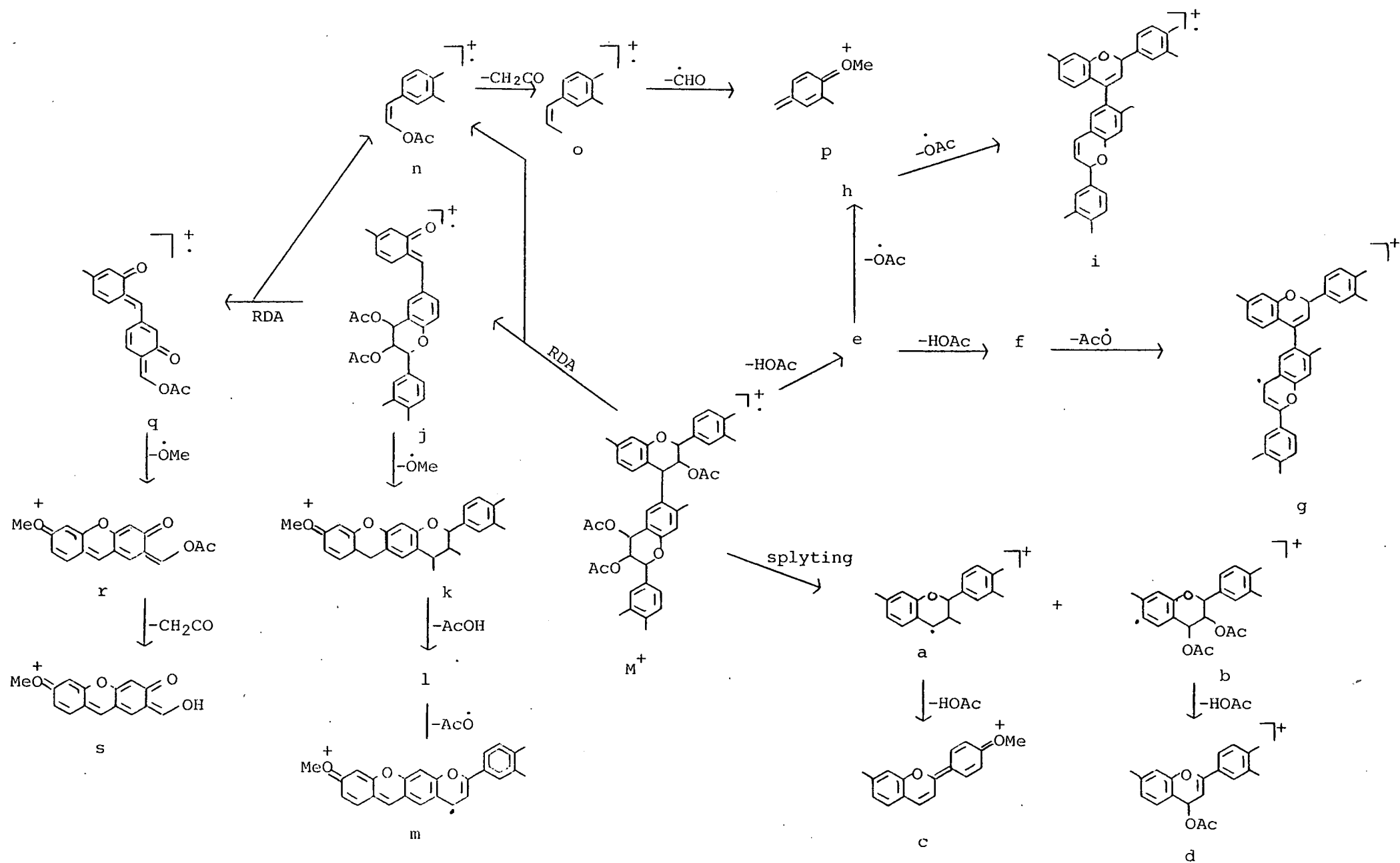


Tabel 10

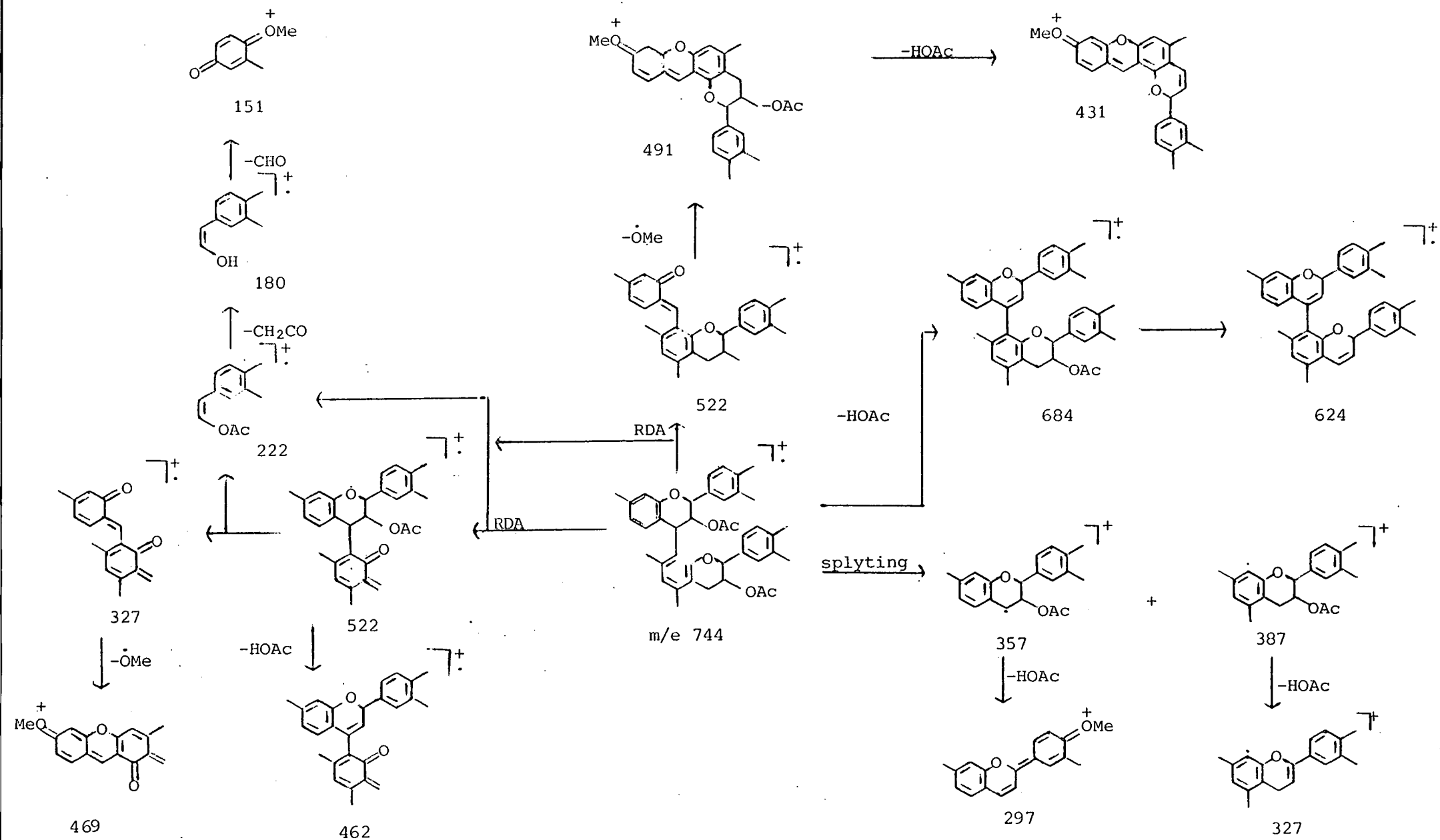
M/e-waardes en relatiewe intensiteite van die fenoliese metieleter triasetoksi-derivate van terminale 3,4-diol biflavanoiede

fragment	m/e	11c tc:tt	12c tc:tc	74c tt:tc	13c tt:tt
M <sup>+</sup>	772	-	10,1	34,7	-
a	357	1,2	1,9	4,8	4,1
b	415	1,3	1,4	4,7	2,8
c	297	28,7	27,6	57,4	53,8
d	355	1,3	2,9	3,6	3,0
e	712	43,7	41,7	60,6	70,4
f	652	11,38	-	-	12,6
g	593	16,3	5,4	11,04	43
h	653	2,14	10,5	35,5	16,7
i	594	9,0	5,3	9,3	26,1
j	550	-	-	-	-
k	519	2,7	39,0	57,6	8,0
l	460	1,1	5,8	8,9	2,7
m	401	4,1	21,2	14,4	7,1
n	222	5,3	16,1	32,0	9,8
o	180	100	100	66,0	58,5
p	151	98,2	81,9	62,2	59,8
q	328	0,99	1,9	3,1	-
r	297	28,7	27,6	57,4	53,8
s	255	1,2	1,9	4,8	4,1

Skema 3 : Algemene fragmentasie van triasetoksi derivate van terminale 3,4-diol-biflavanoïede



Skema 4 : Algemene fragmentasie van [4,8]-gekoppelde fisetinidol-katesjien biflavanoïede

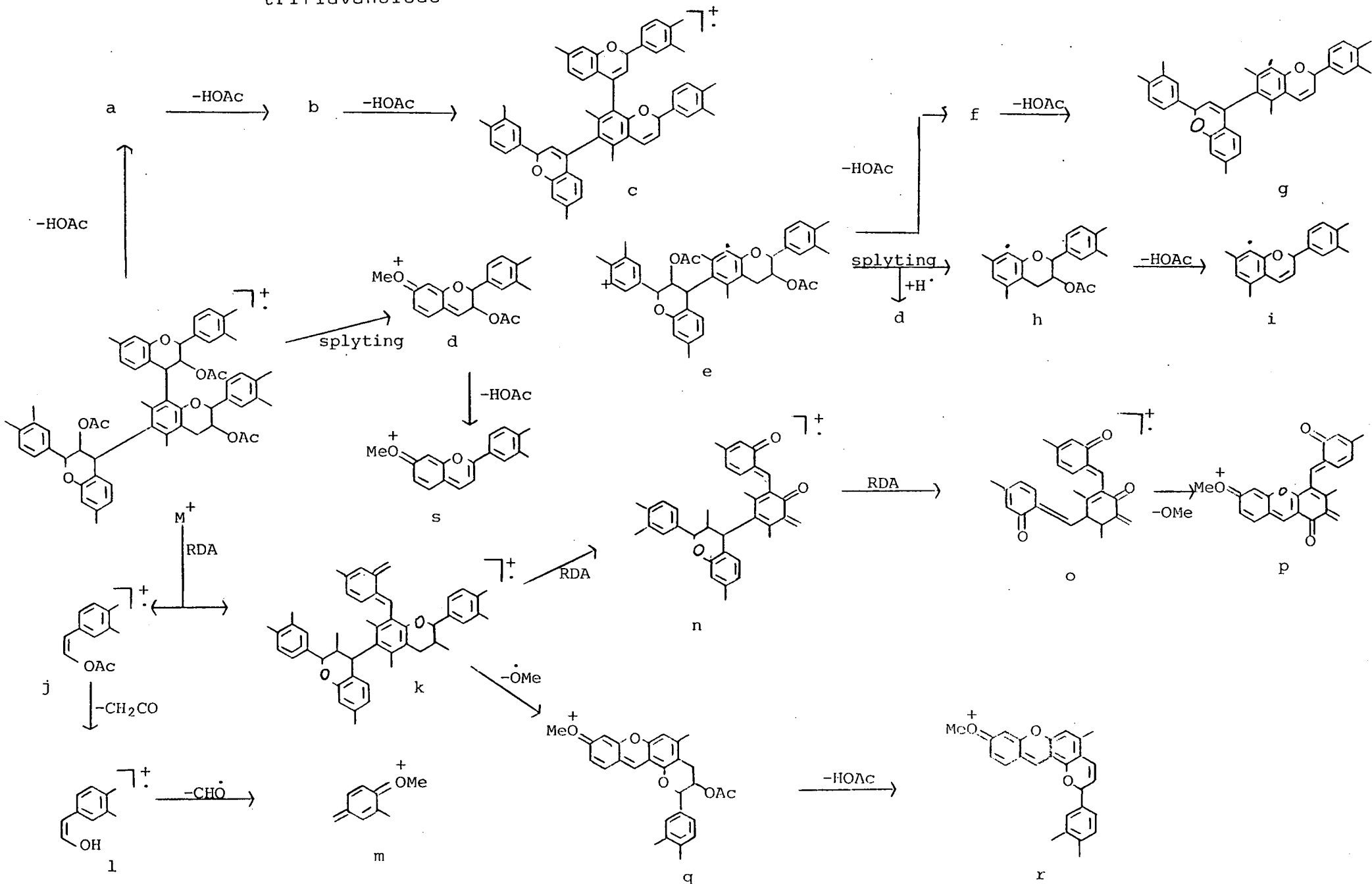


Tabel 11

M/e waardes en relatiewe intensiteite van die fenoliese metieleter-triasetokside-derivate van bifisitininidol-katesjien triflavanoïede

Fragment	m/e	75c tc:t:tt	76c tt:t:tc	77c tt:t:tt
M <sup>+</sup>	1100	7,6	9,4	2,1
a	1040	13,4	93,3	27,4
b	980	9,1	51,4	16,1
c	920	4,3	13,5	7,2
d	357	6,2	13,3	17,8
e	743	15,2	9,0	6,6
f	683	29,7	27,3	57,0
g	623	5,0	10,5	11,8
h	386	3,4	4,1	2,5
i	326	3,8	5,2	4,1
j	222	19,7	14,9	78,7
k	878	3,5	2,2	-
l	180	87,5	86,6	100
m	151	100	100	11
n	656	--	-	2,5
o	434	-	4,3	2,7
p	403	4,6	18,6	5,8
q	847	14,2	10,6	8,0
r	787	7,5	14,5	11,7
s	297	35,8	47,8	79,9

Skema 5 : Algemene massafragmentasie van metieleter-asetate van bifisitinidol-katesjien triflavanoïede

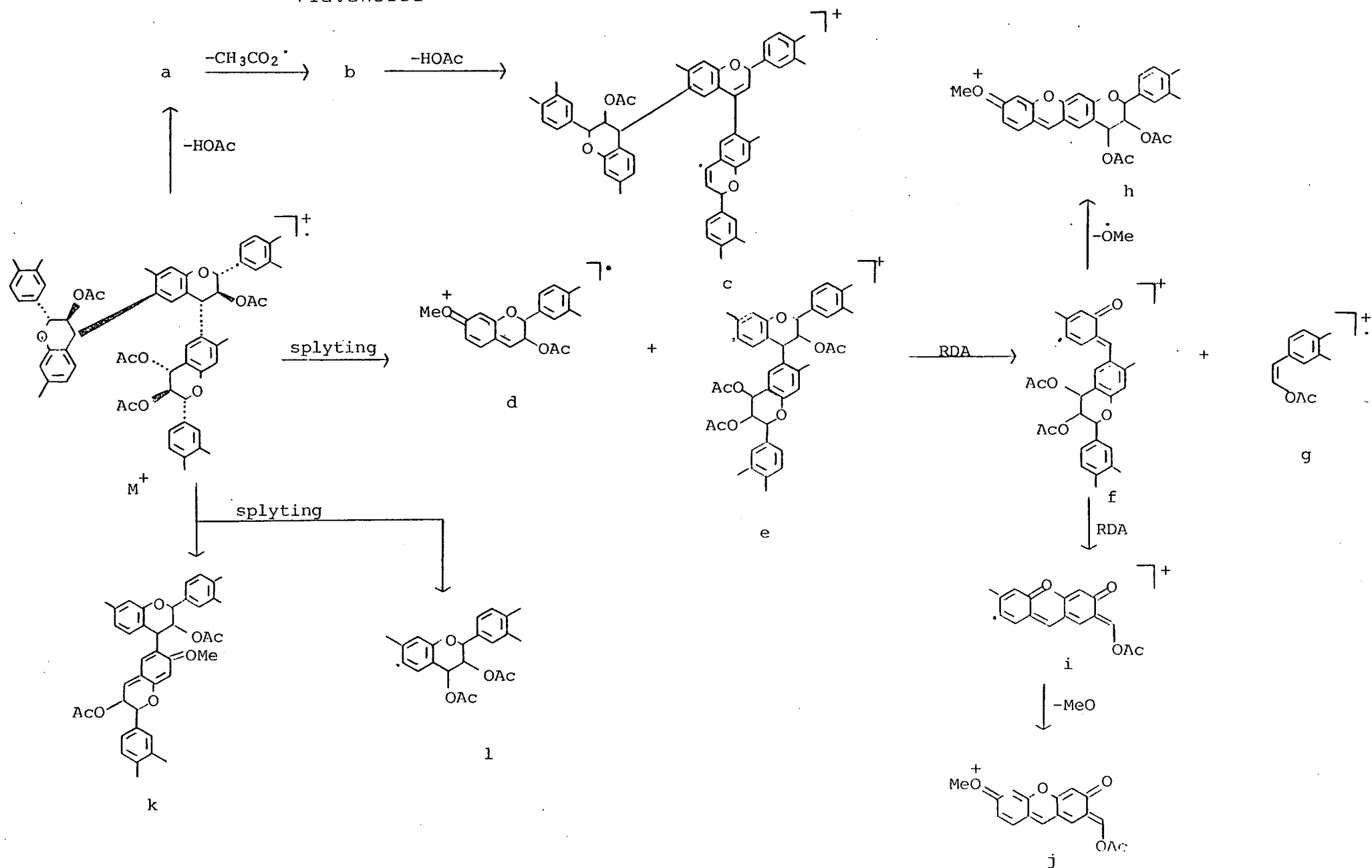


Tabel 12

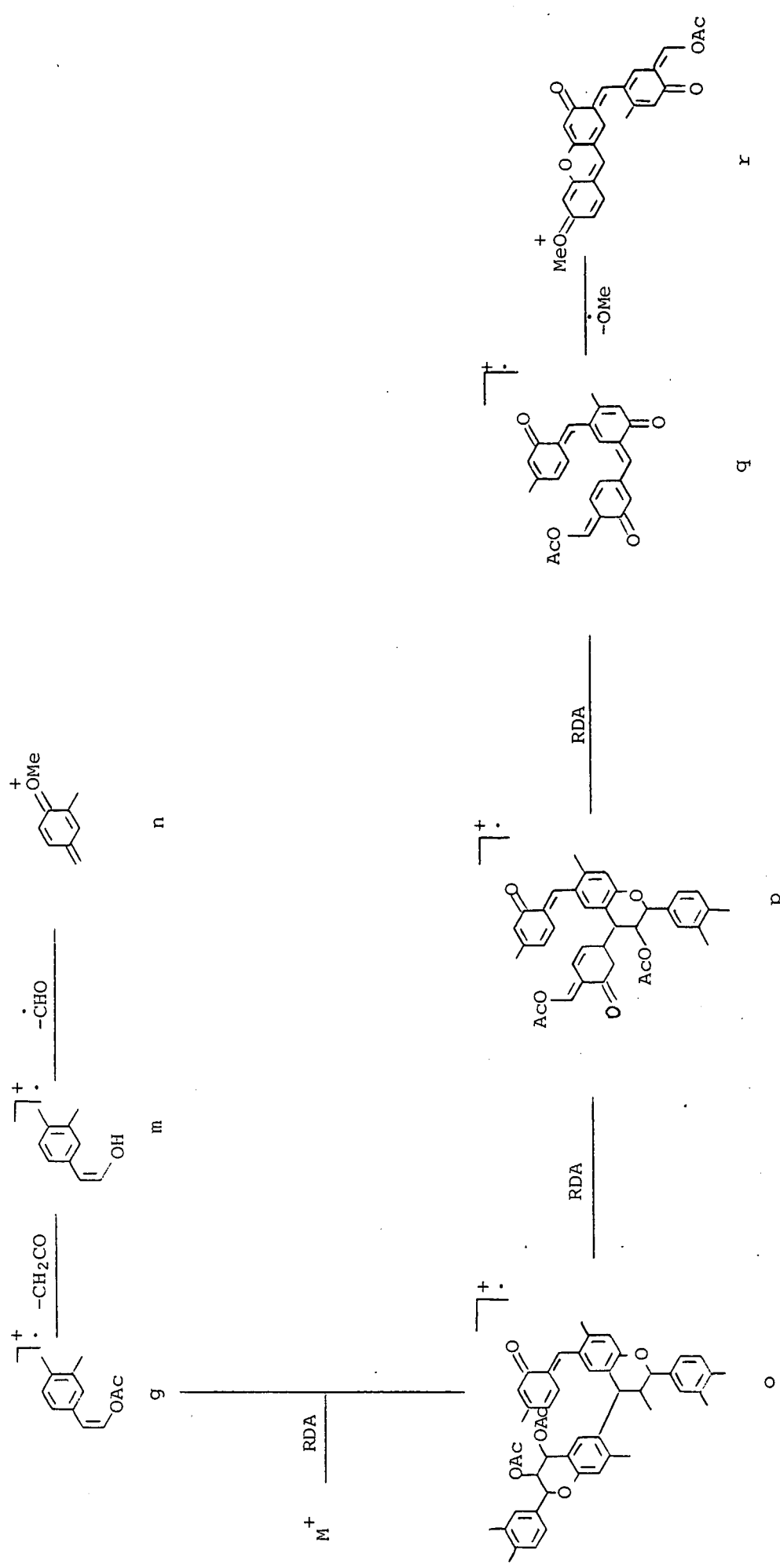
M/e waardes en relatiewe intensiteite van die fenoliese metiel-tetrasetoksiderivate van die bifisitnidol-mollisacacidin lineêre triflavanoïed (79c)

fragment	m/e	Intensiteit
M <sup>+</sup>	1128	-
a	1068	12,1
b	1009	3,7
c	949	4
d	357	3,7
e	771	5,8
f	549	2,9
g	222	17,1
h	518	3,6
i	327	5,3
j	296	7,4
k	713	2,5
l	415	3,4
m	180	73
n	151	100
o	906	-
p	684	3,4
q	462	6,1
r	431	9,2

Skema 6 : Massafragmentasie van die tetraasetaat van die terminolediol lineêre tri-flavanoid

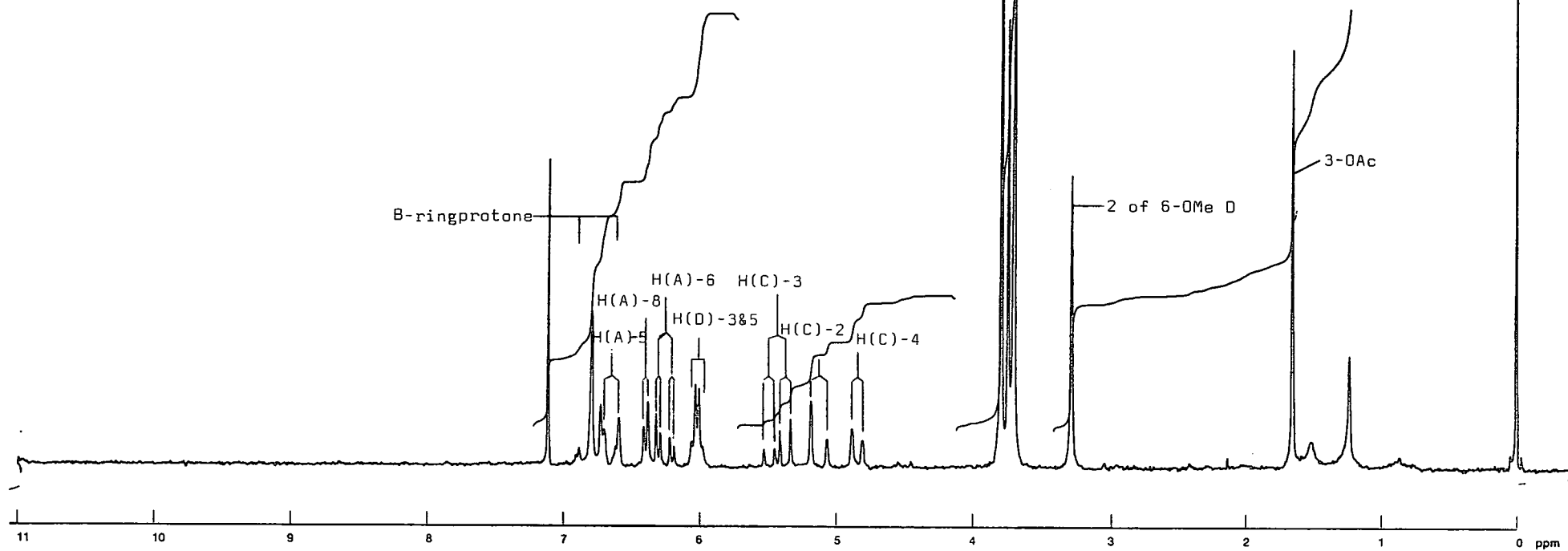
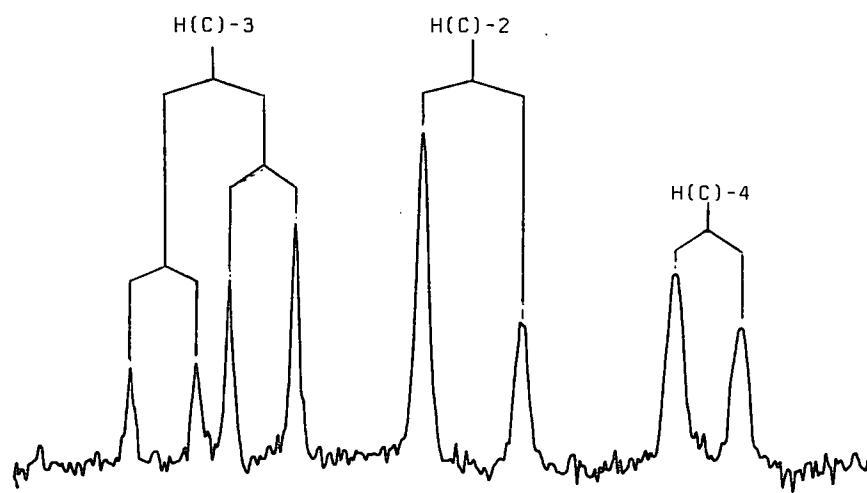


Skema 6 : (vervullg)

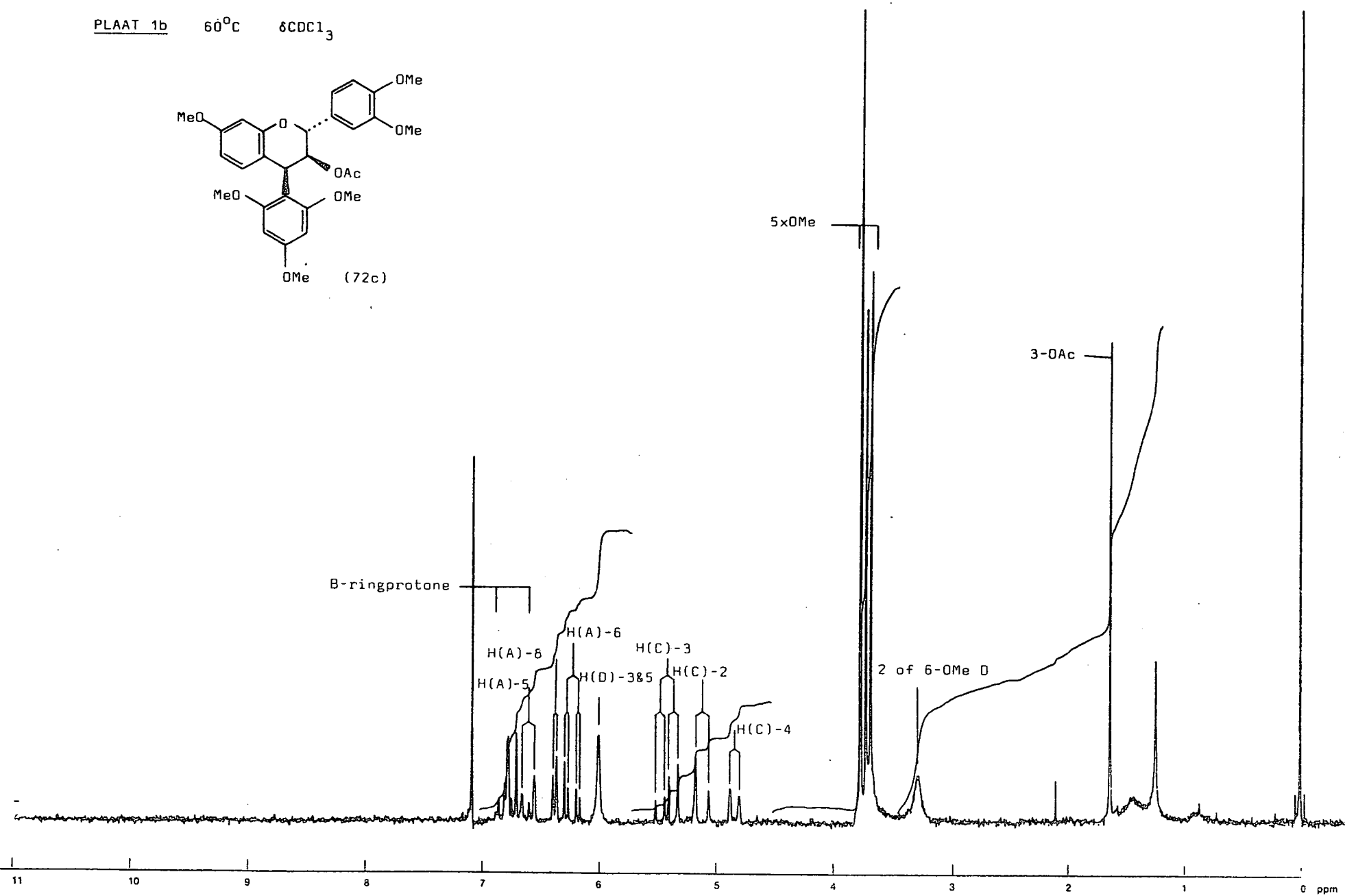
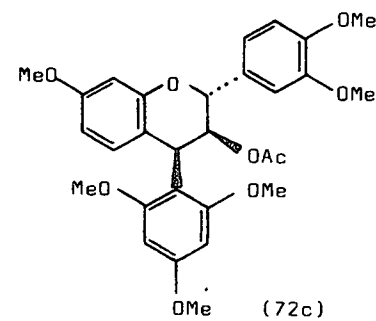


PLAAT\_1a

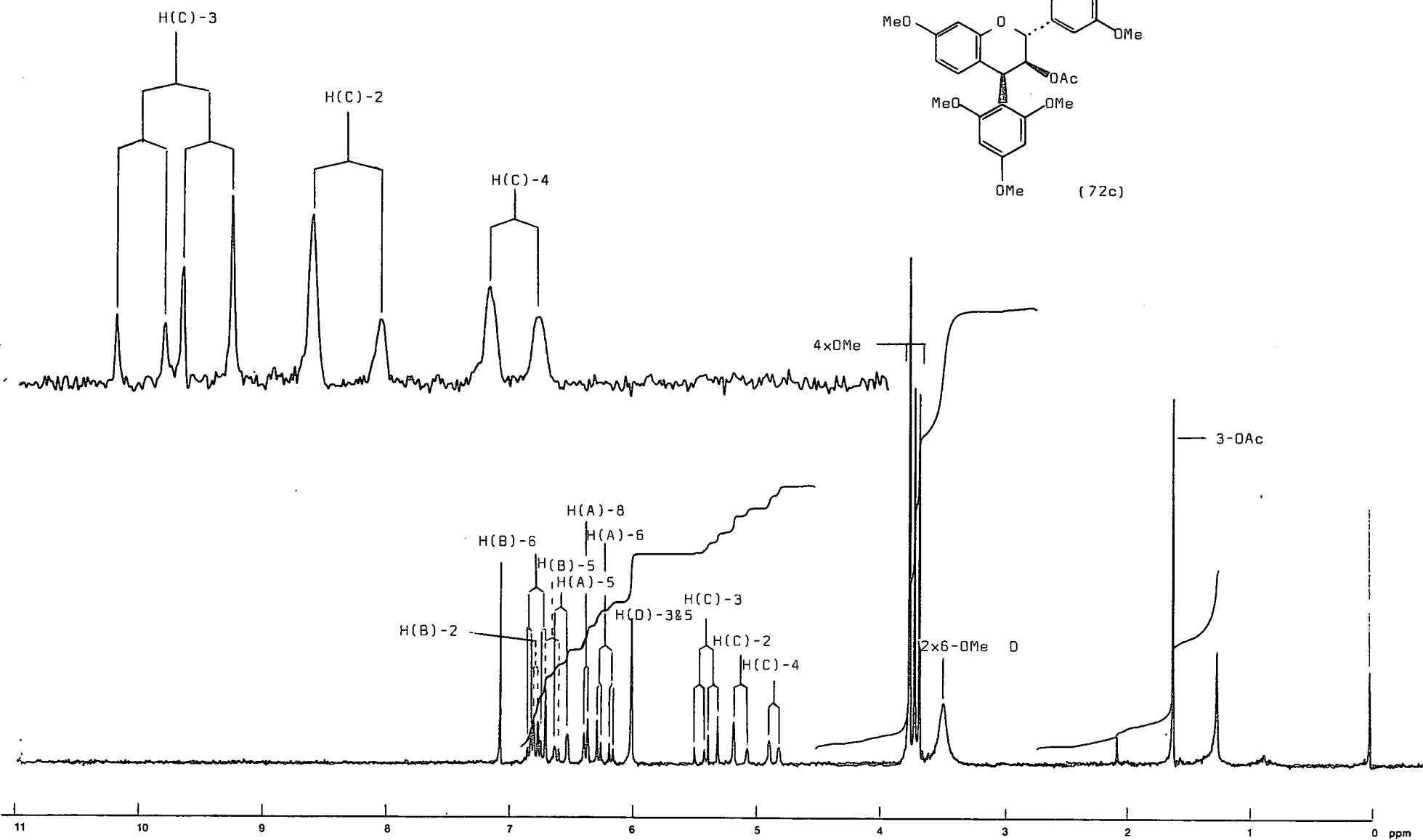
$^{31}\text{C}$   $\delta\text{CDCl}_3$

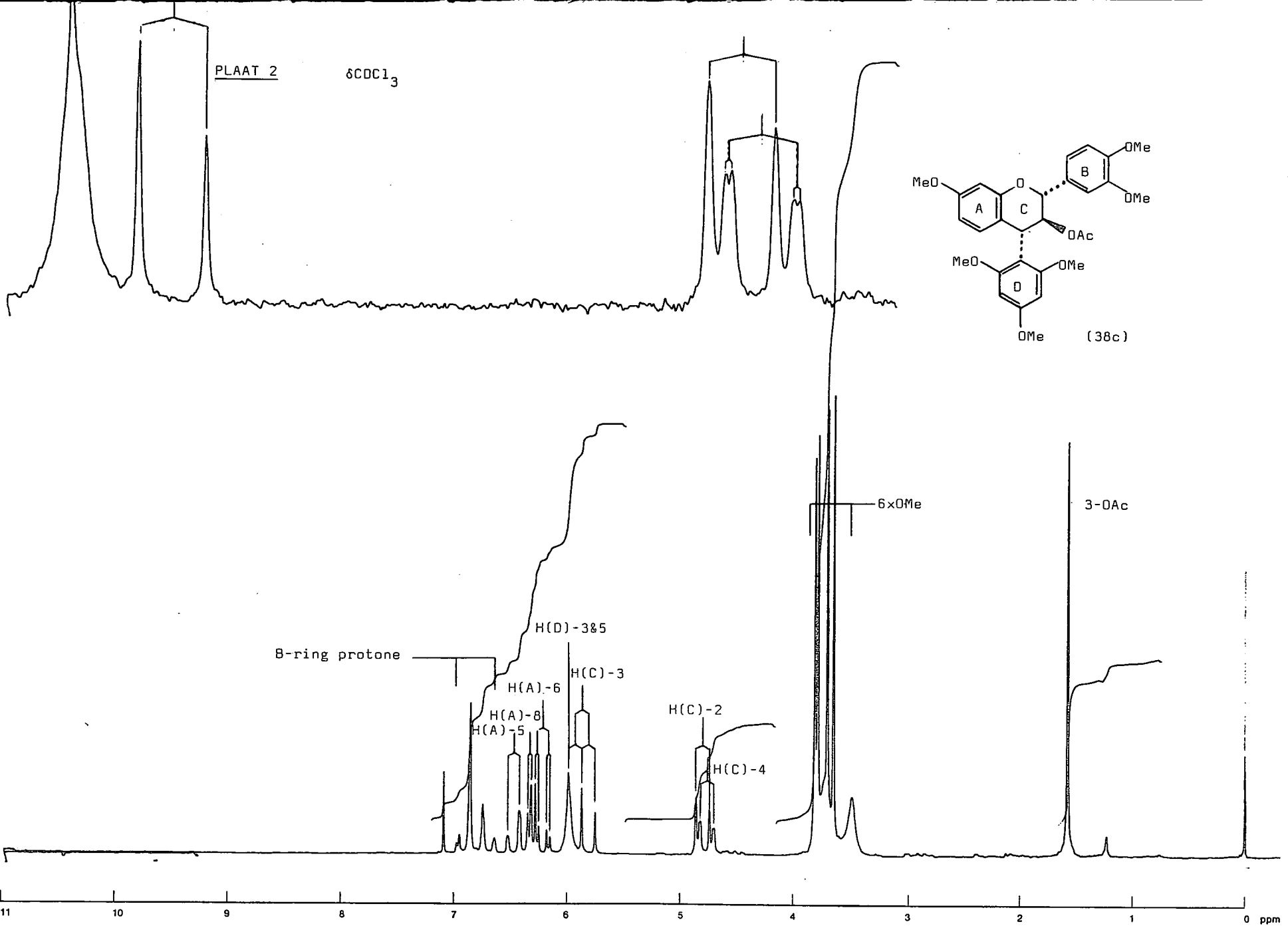


PLAAT 1b     $60^{\circ}\text{C}$      $\delta\text{CDCl}_3$

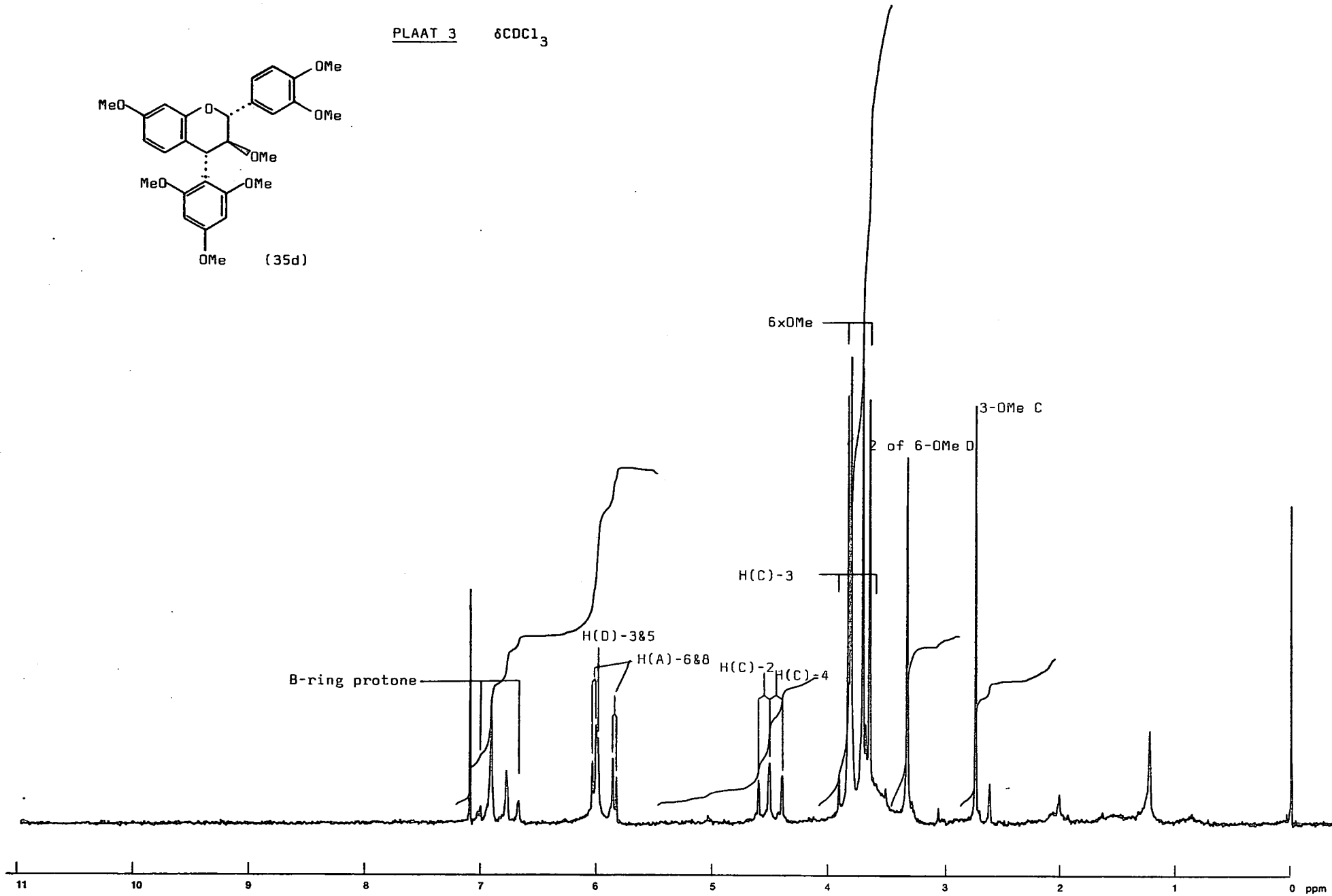
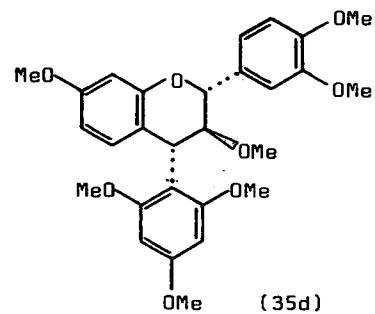


PLAAT 1c    100°C     $\delta$ CDCl<sub>3</sub>

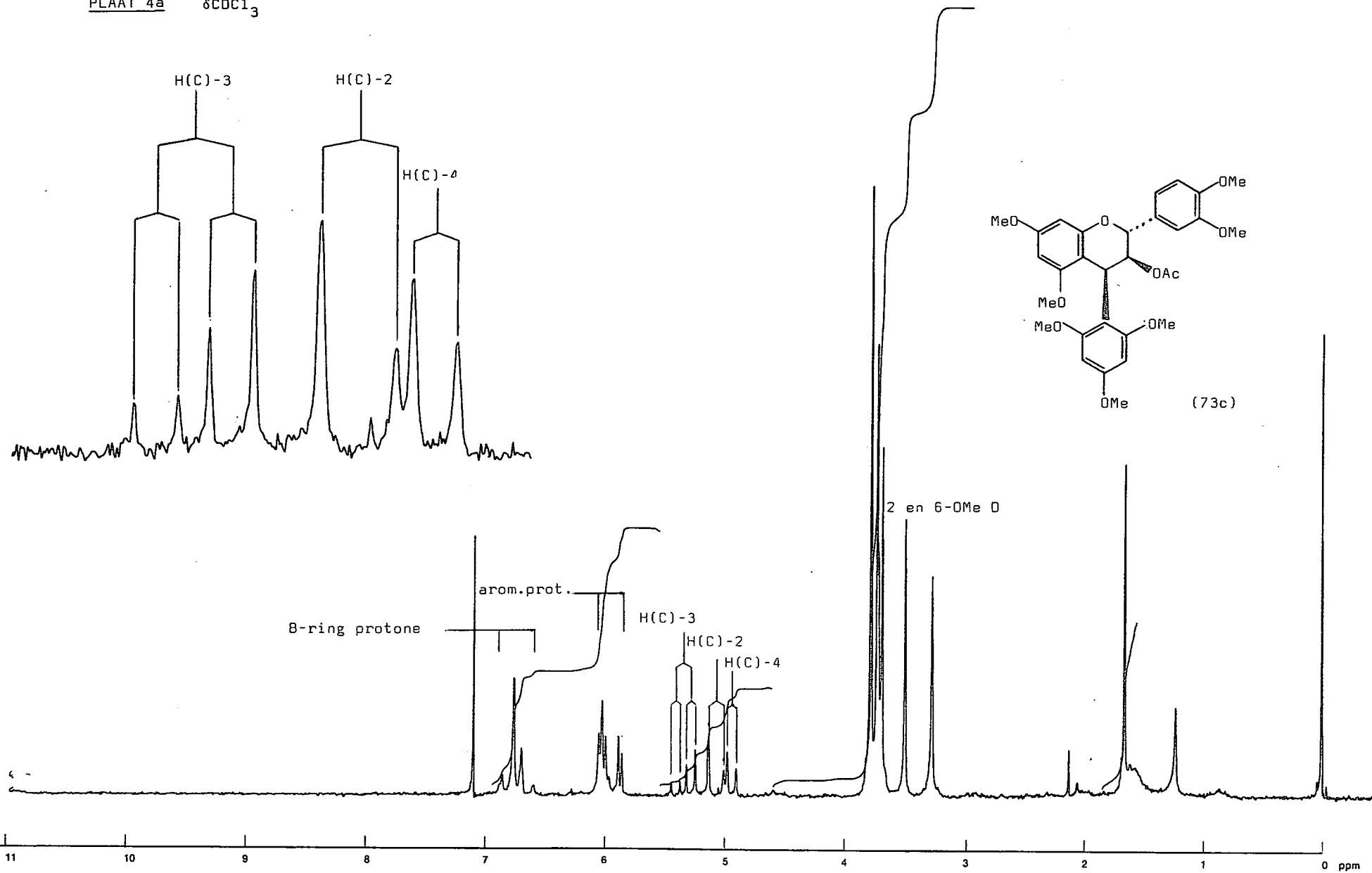




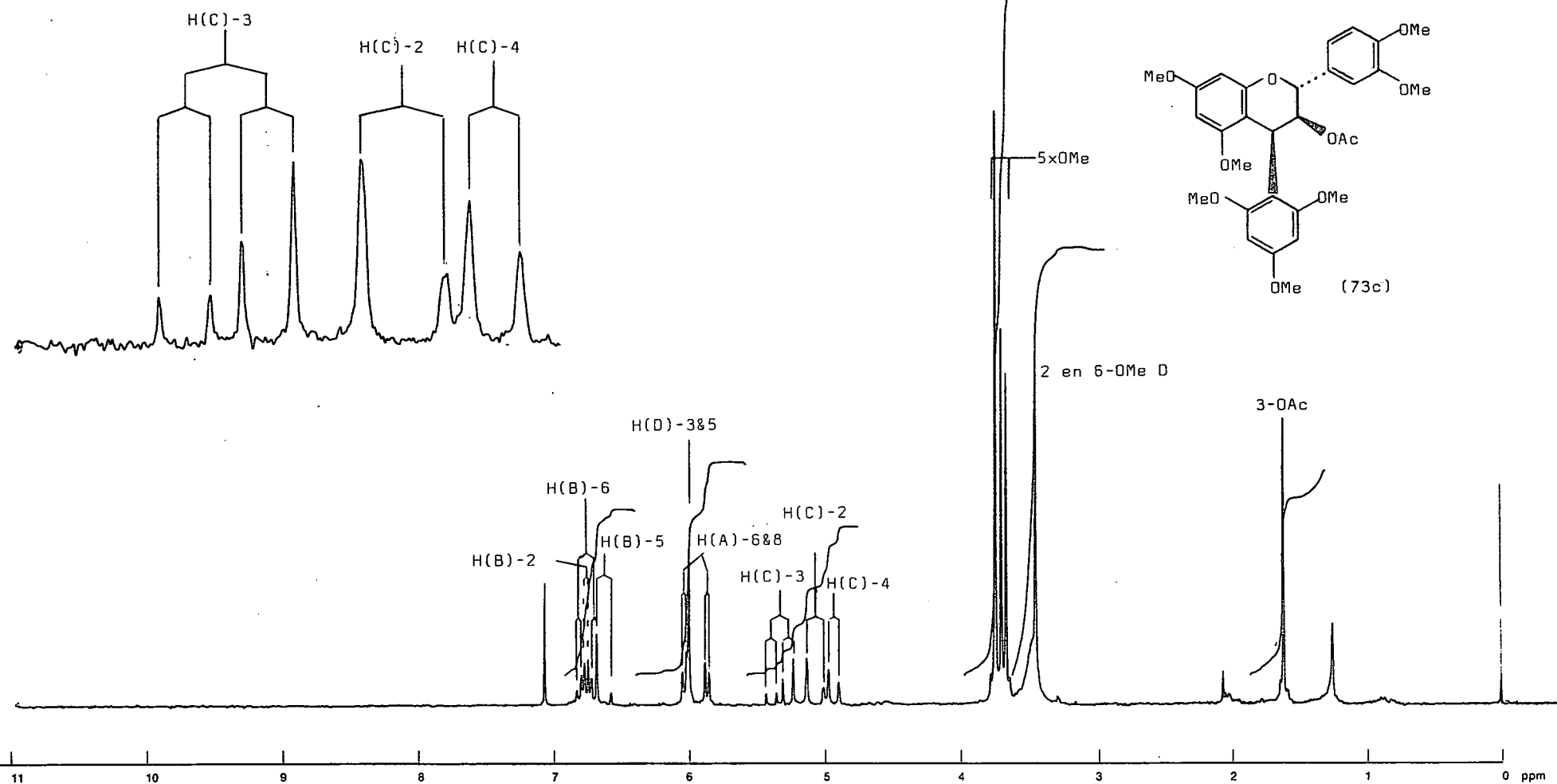
PLAAT 3       $\delta_{\text{CDCl}_3}$



PLAAT 4a       $\delta \text{CDCl}_3$

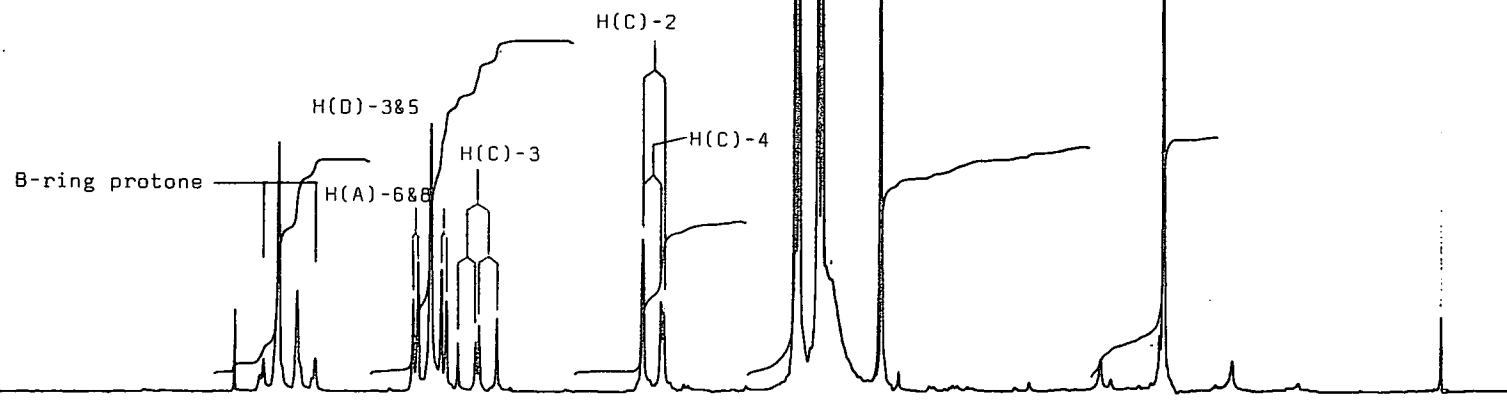
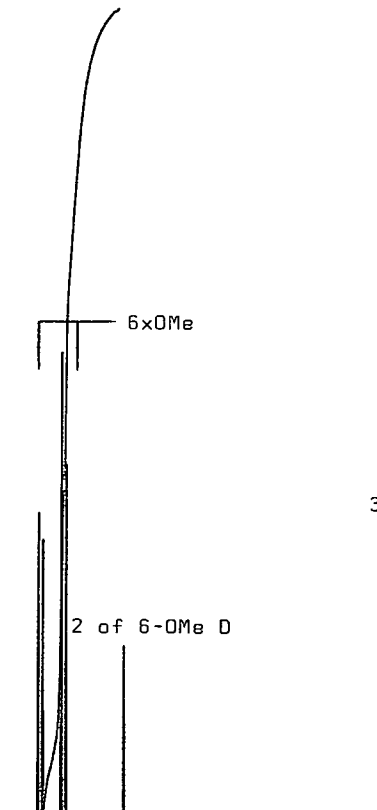
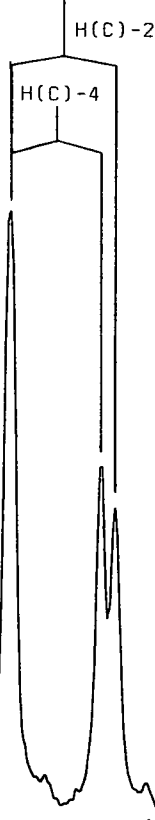
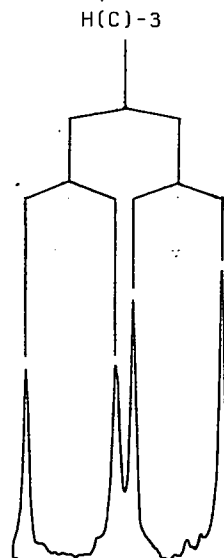
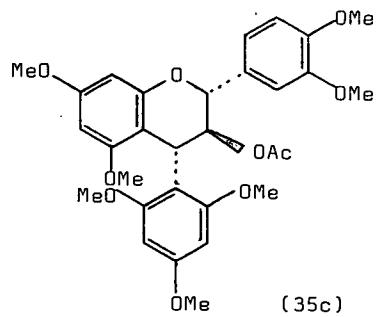


PLAAT 4b    100°C     $\delta$ CDCl<sub>3</sub>



PLAAT 5

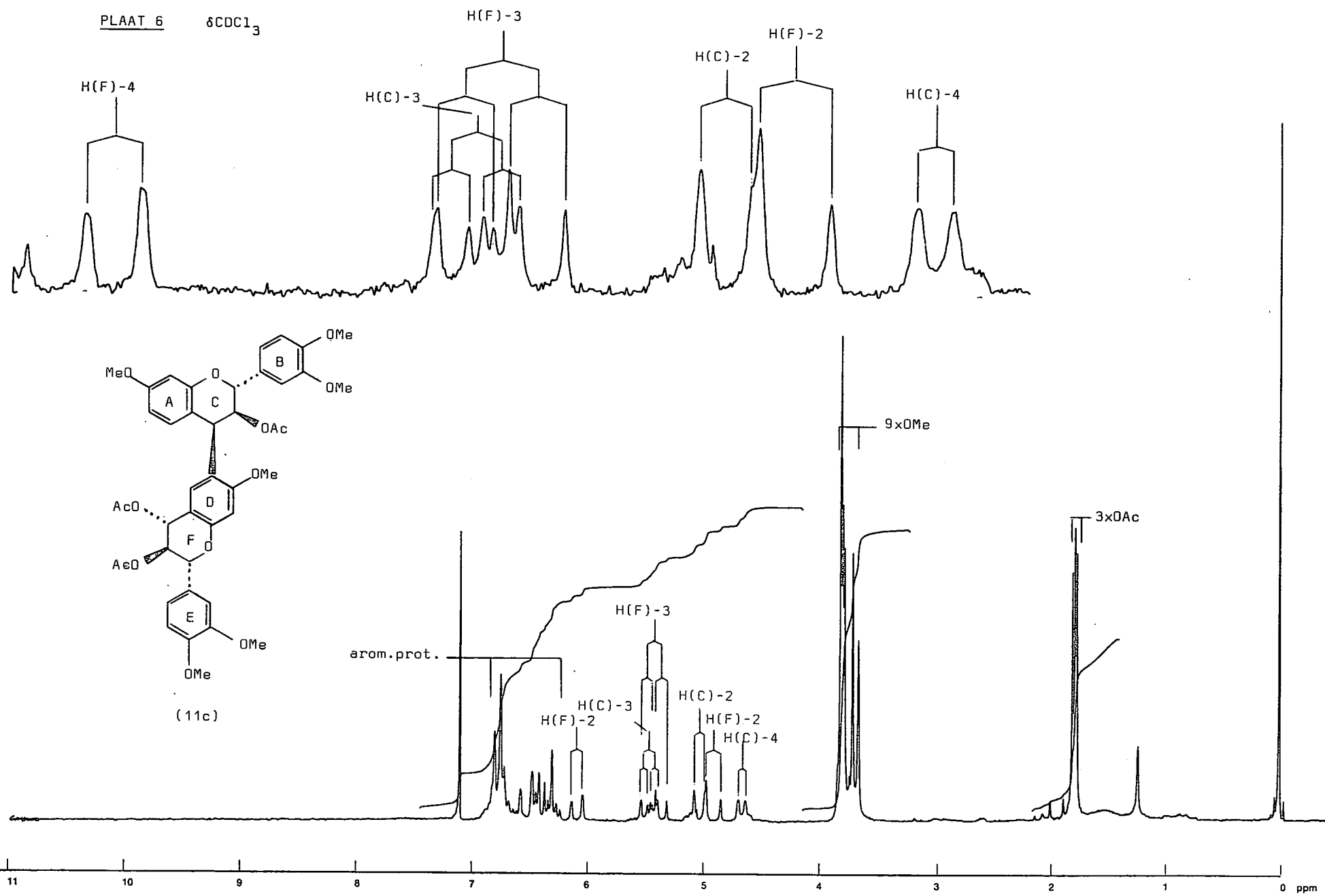
$\delta$ CDCl<sub>3</sub>



11 10 9 8 7 6 5 4 3 2 1 0 ppm

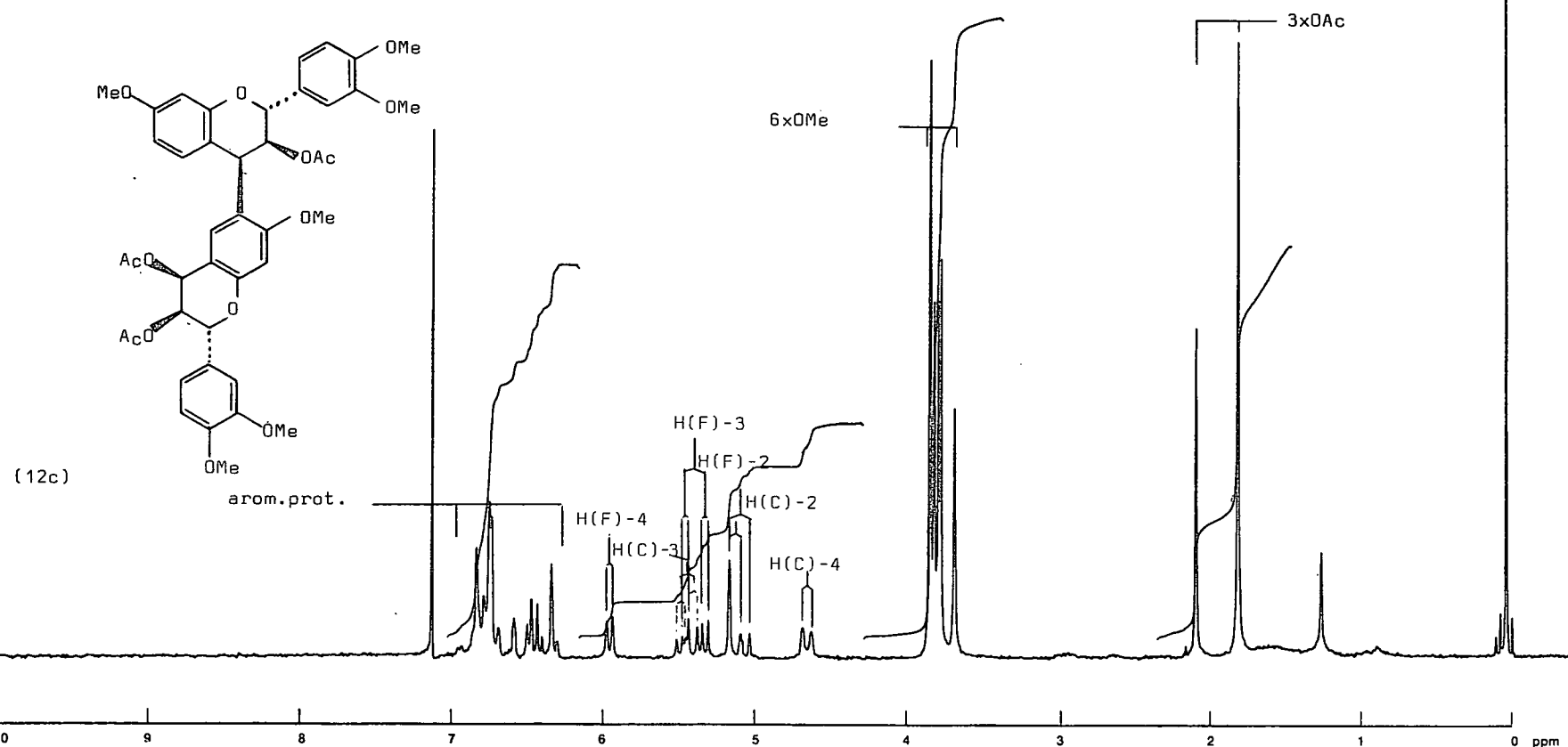
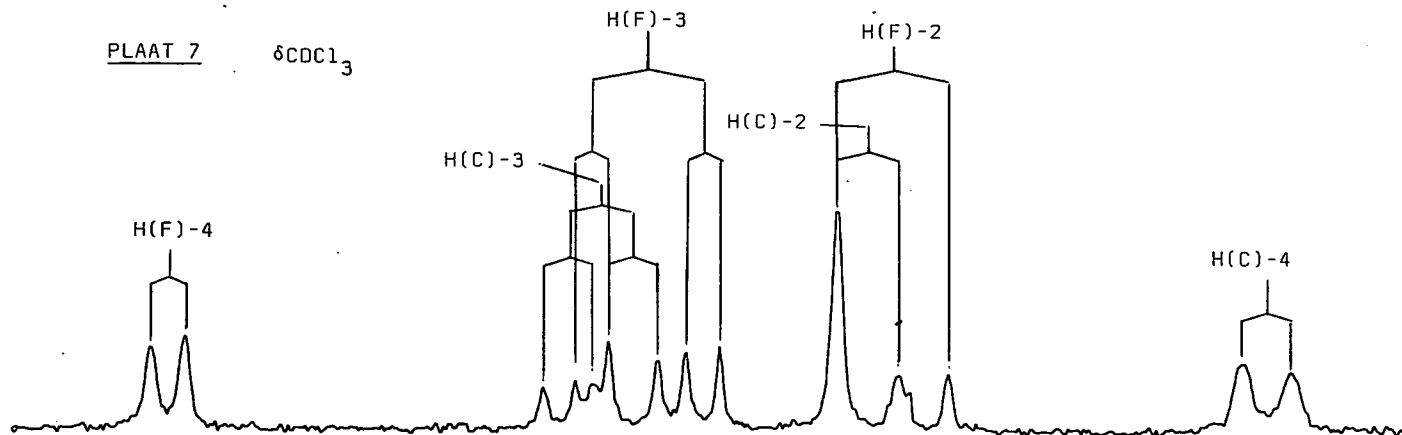
PLAAT 6

$\delta_{\text{CDCl}_3}$

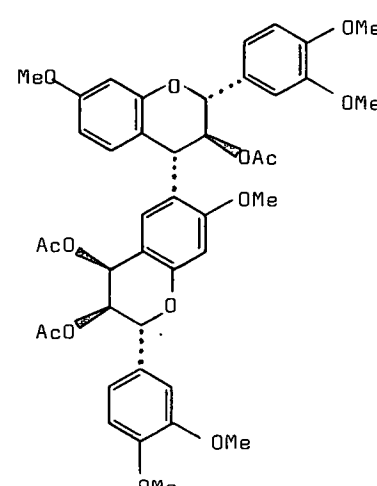


PLAAT 7

$\delta_{\text{CDCl}_3}$

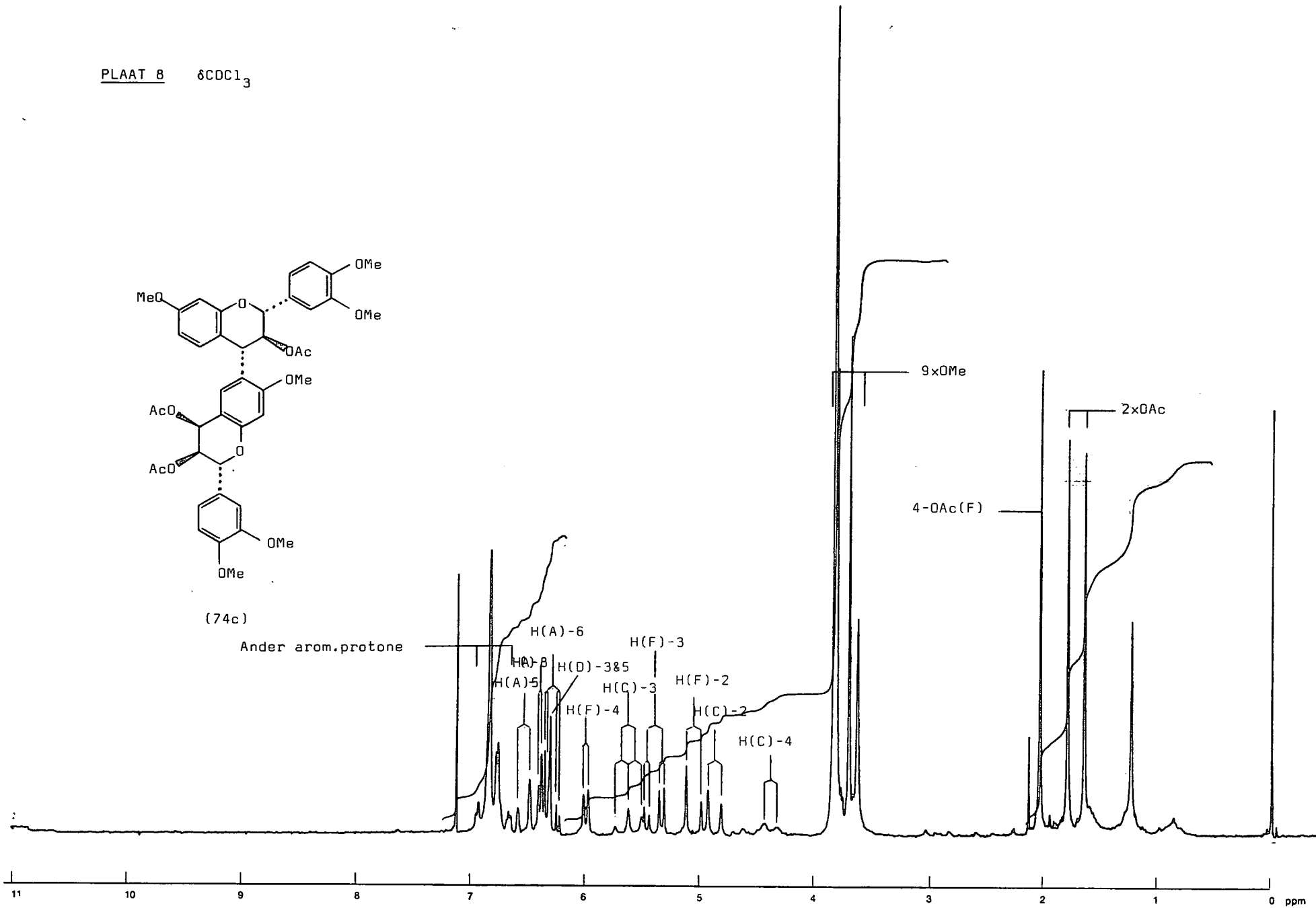


PLAAT 8  $\delta_{\text{CDCl}_3}$

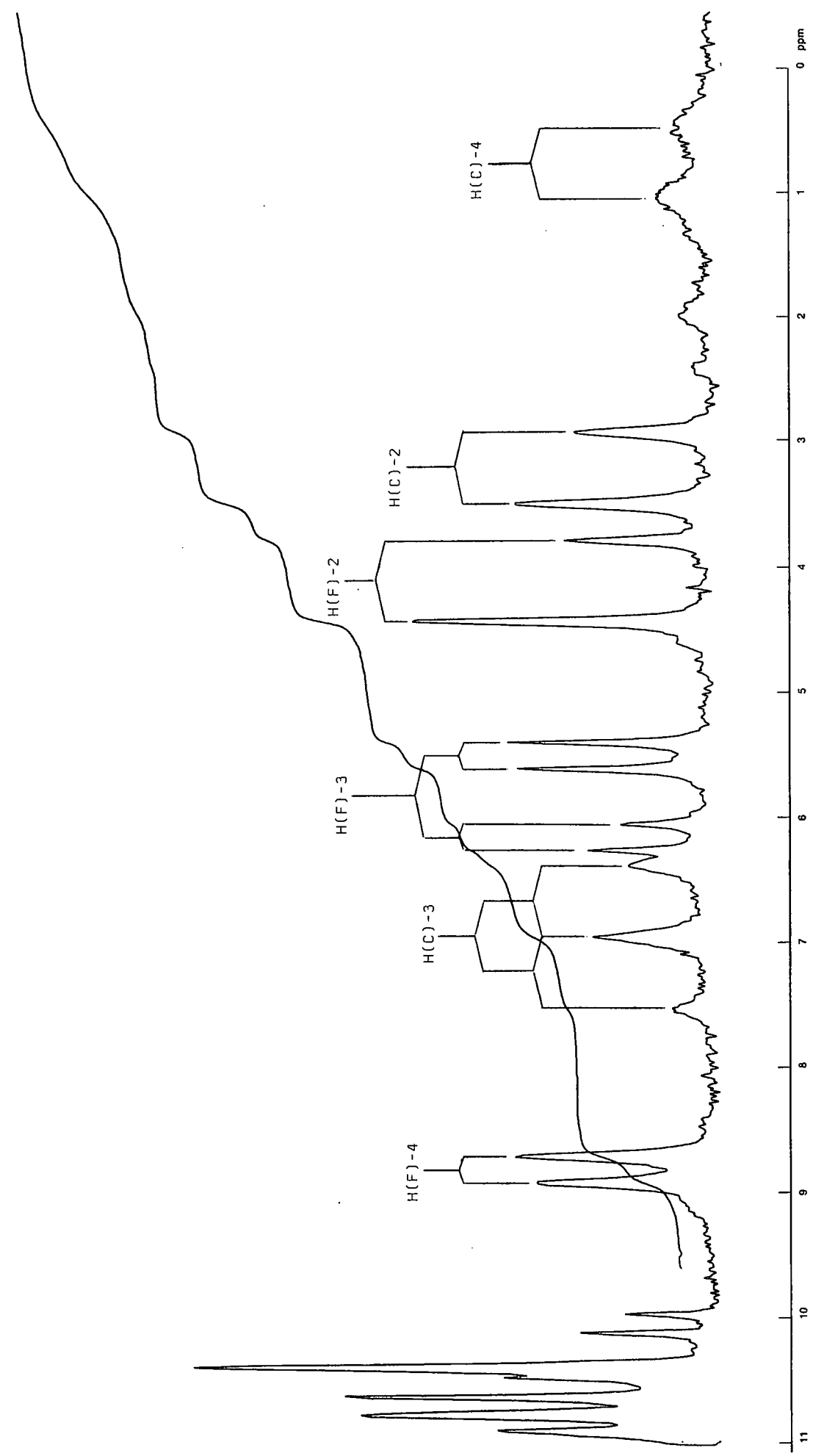


(74c)

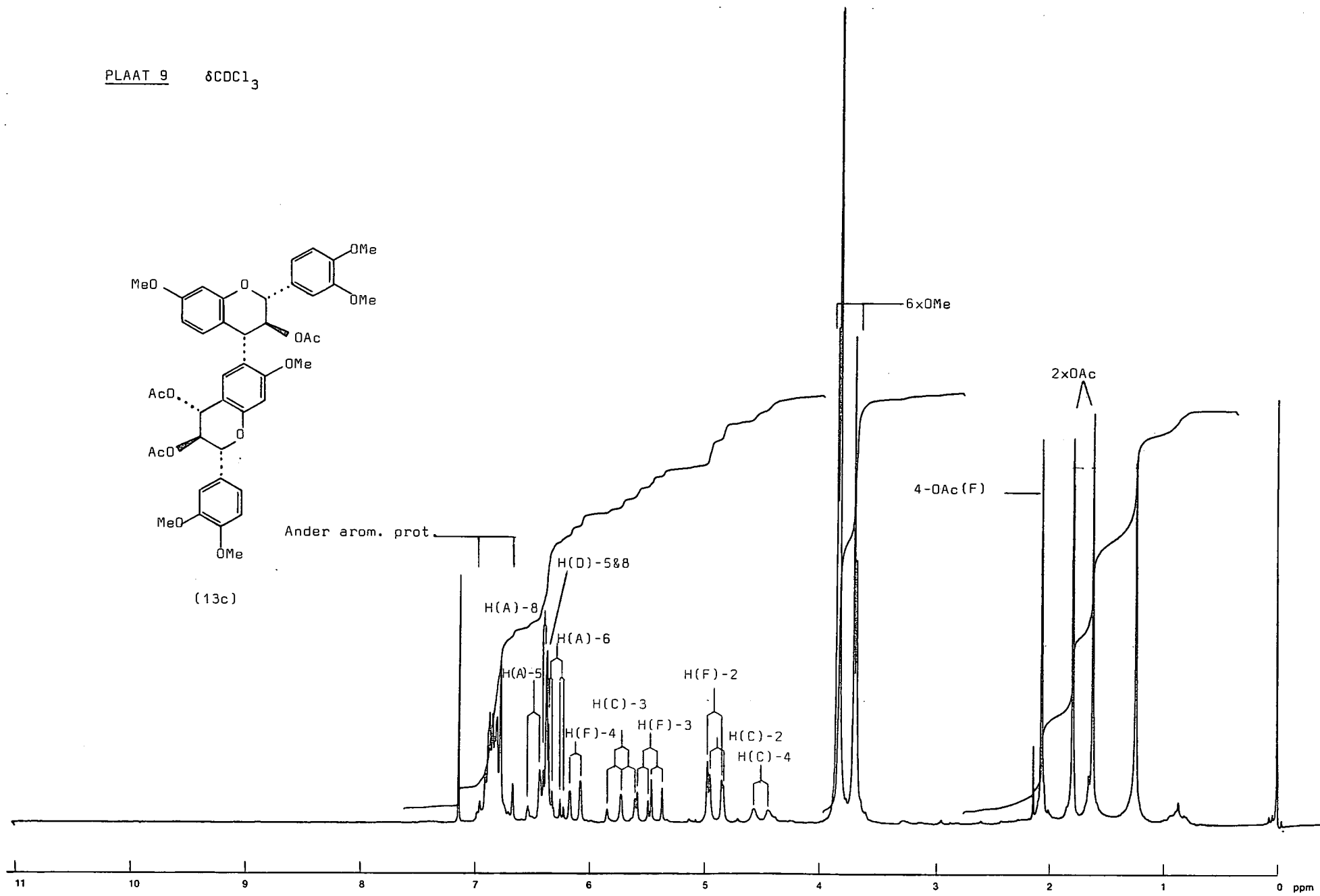
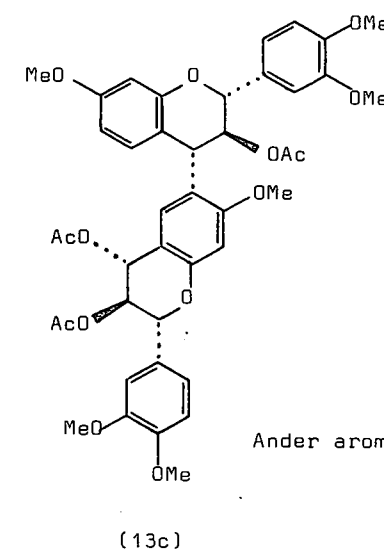
Ander arom.protone

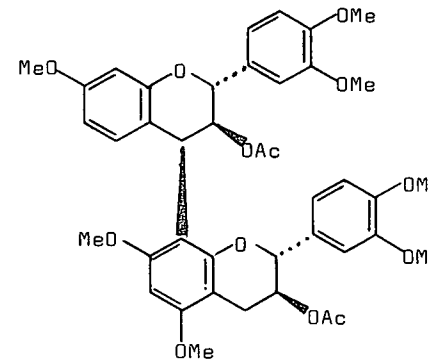
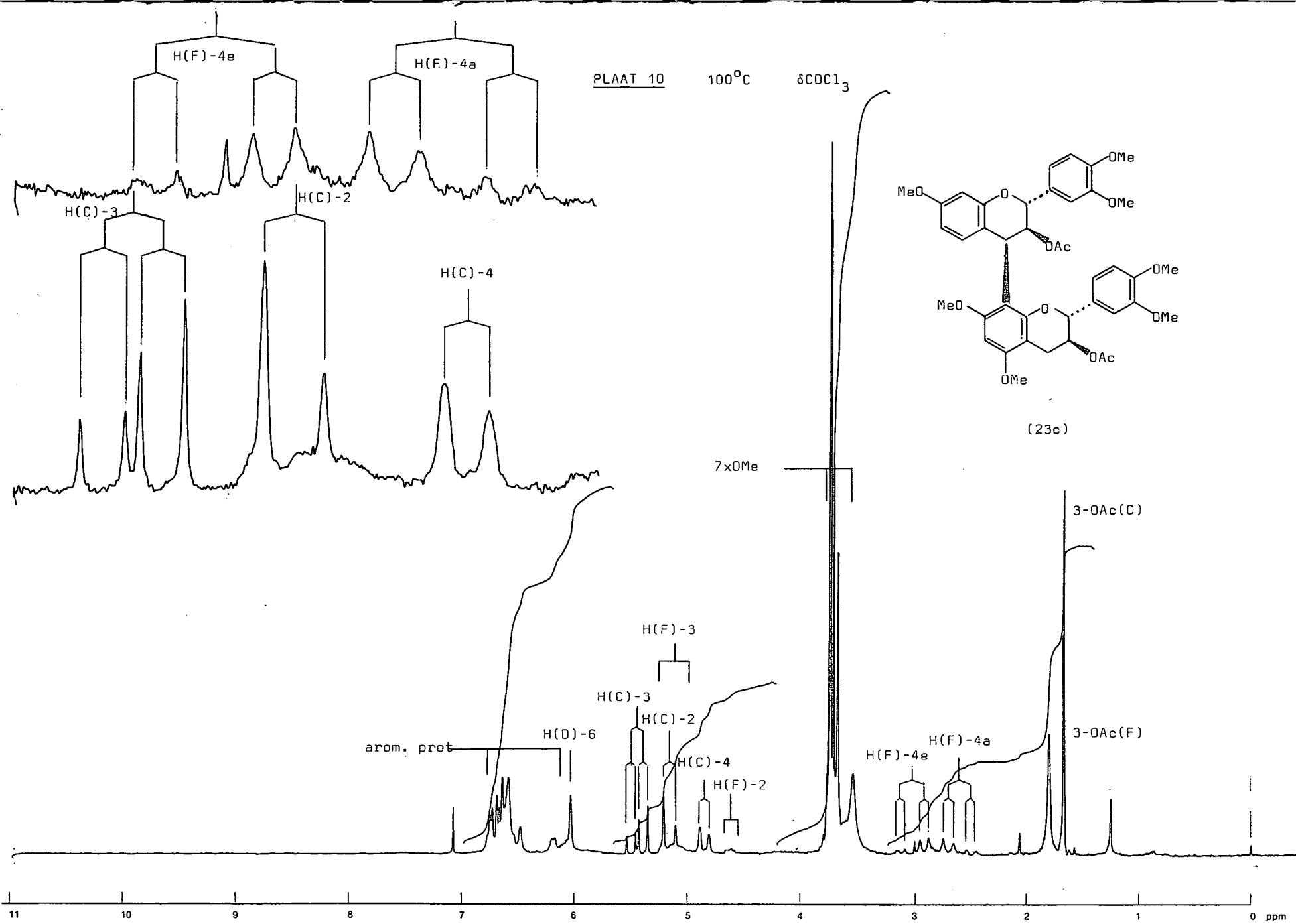


PLAAT 8 (vervolg)



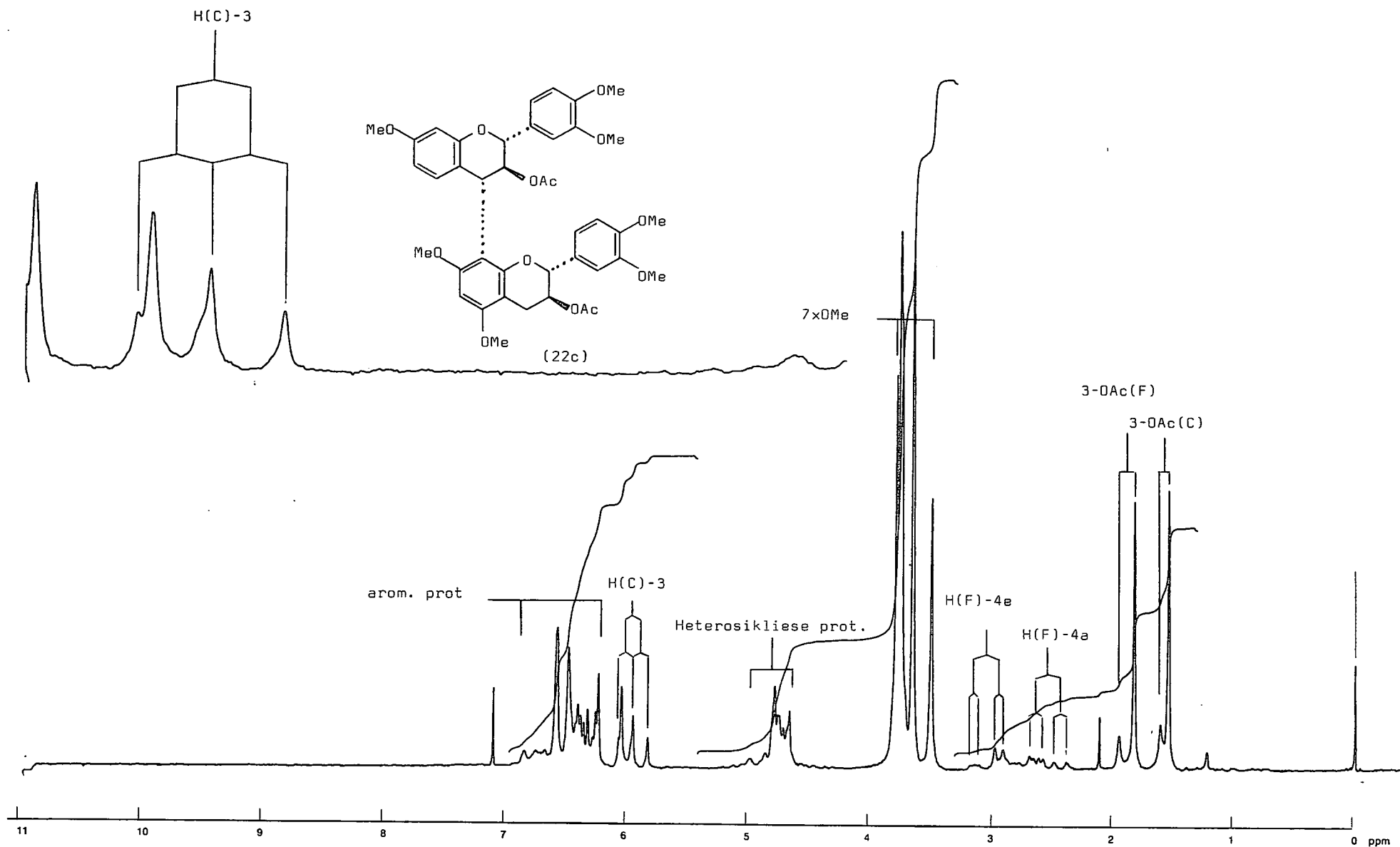
PLAAT 9       $\delta$ CDCl<sub>3</sub>





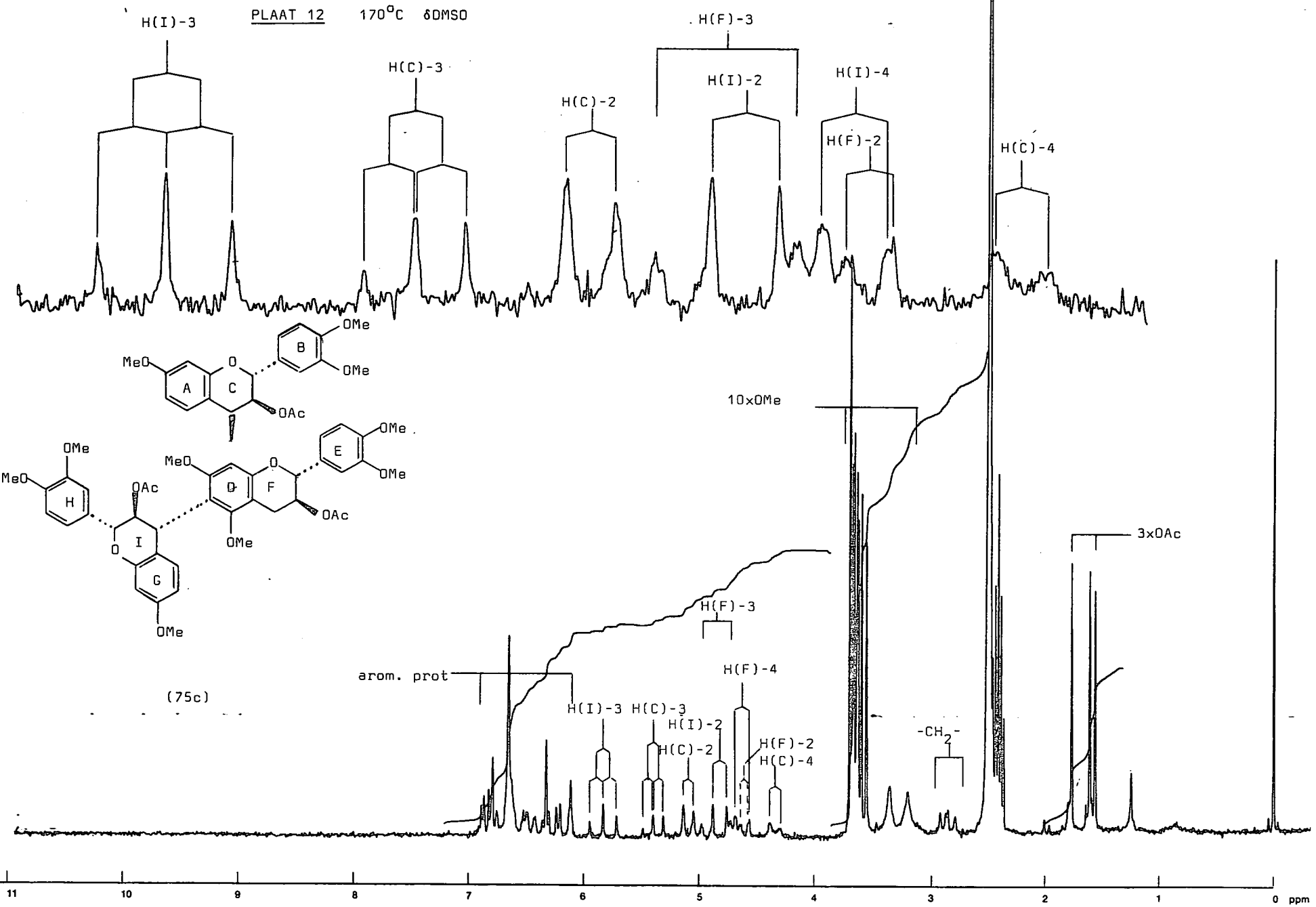
(23c)

PLAAT 11  $\delta$ CDCl<sub>3</sub>

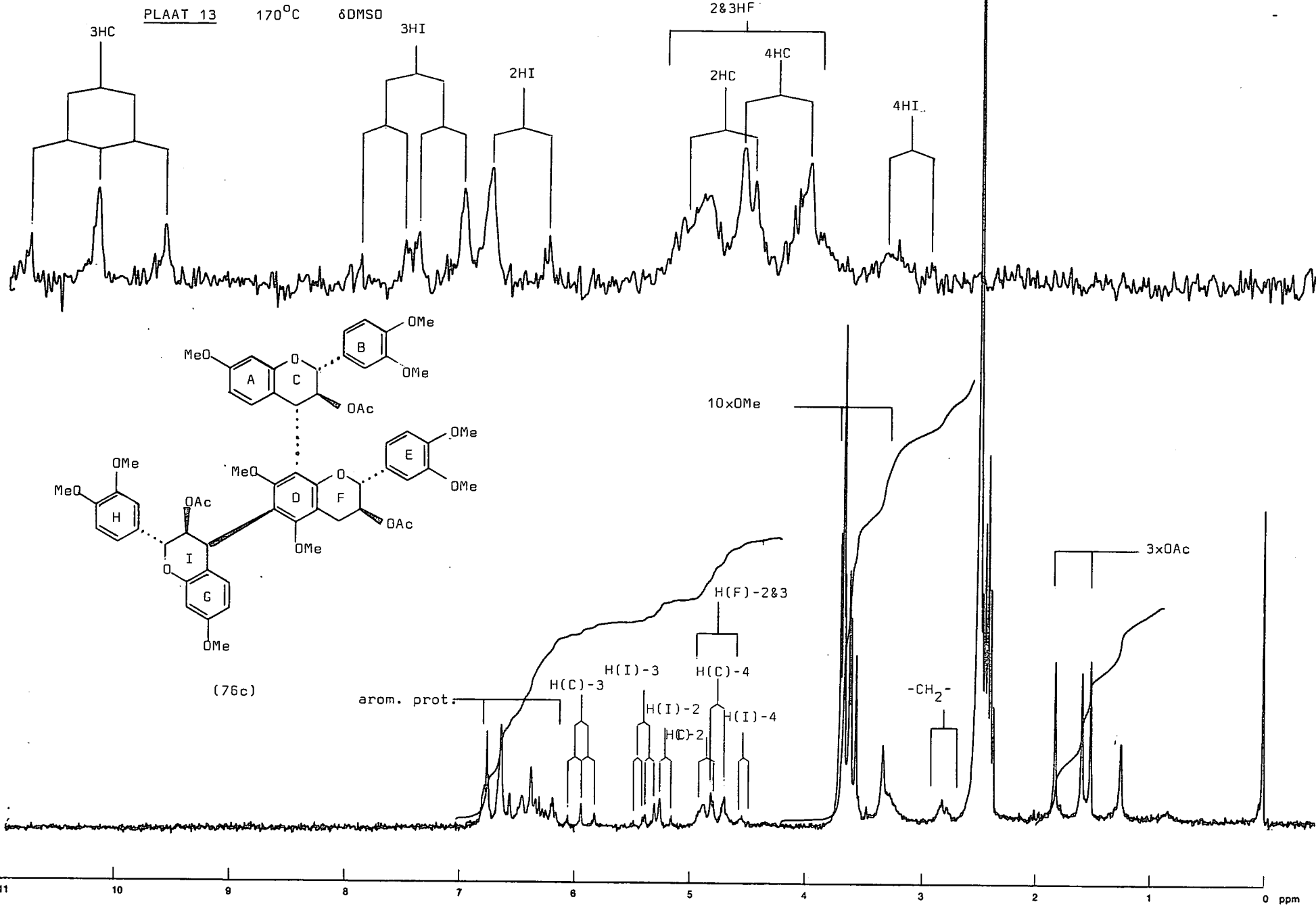


PLAAT 12

170°C δDMSO



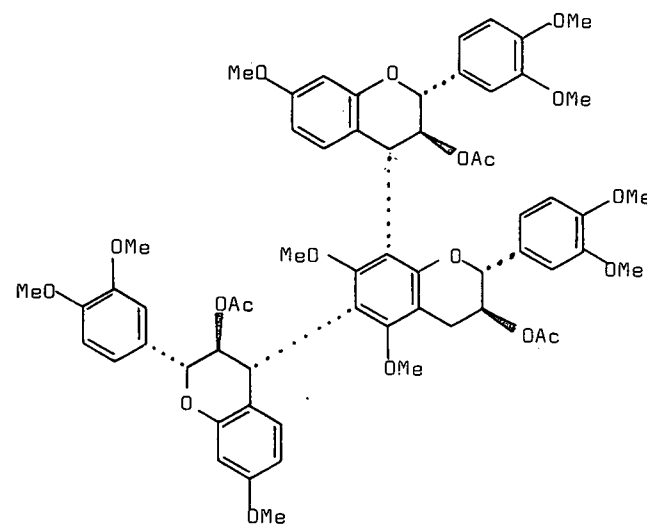
PLAAT 13

 $170^{\circ}\text{C}$  $\delta\text{DMSO}$ 

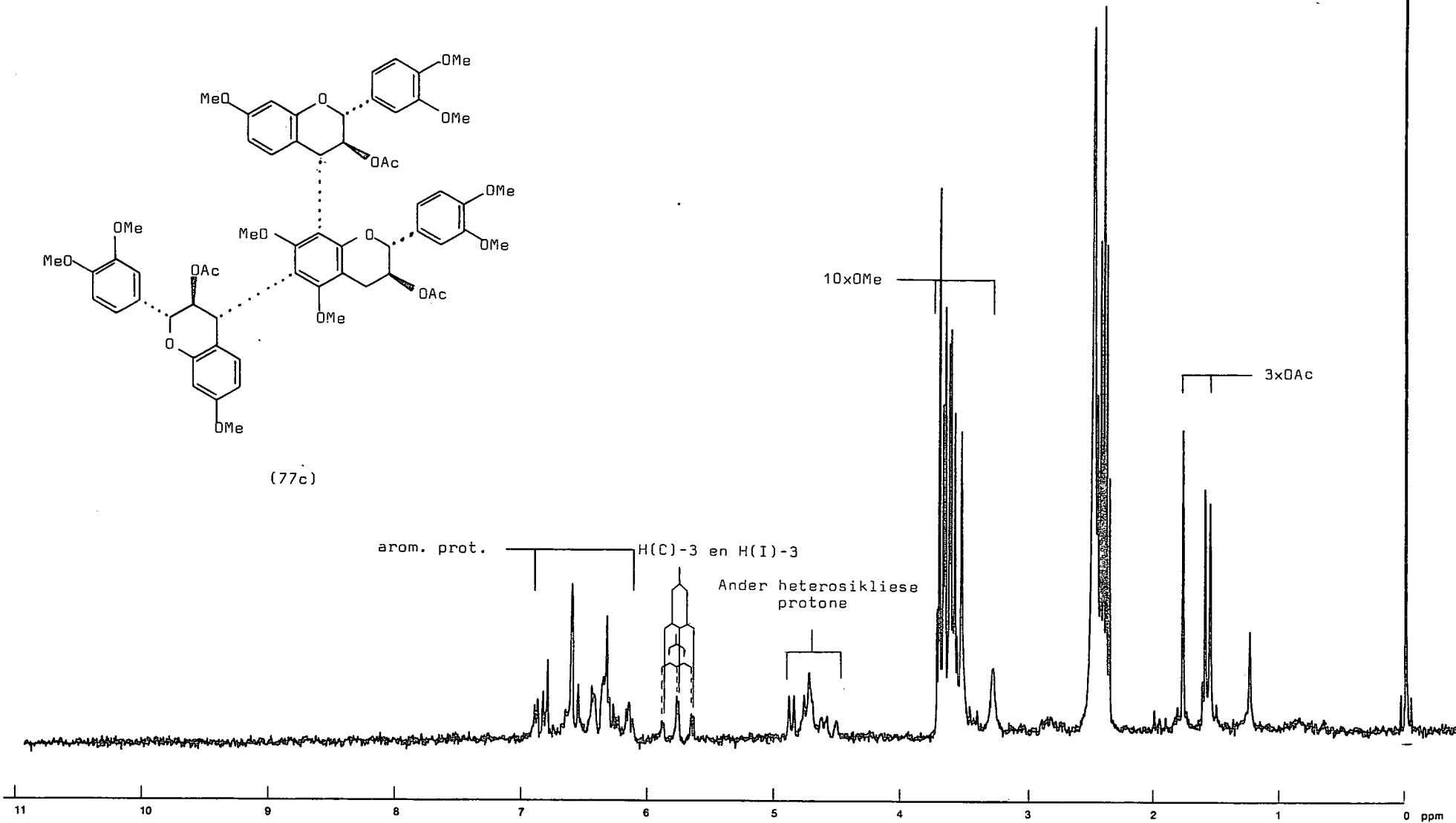
PLAAT 14

170°C

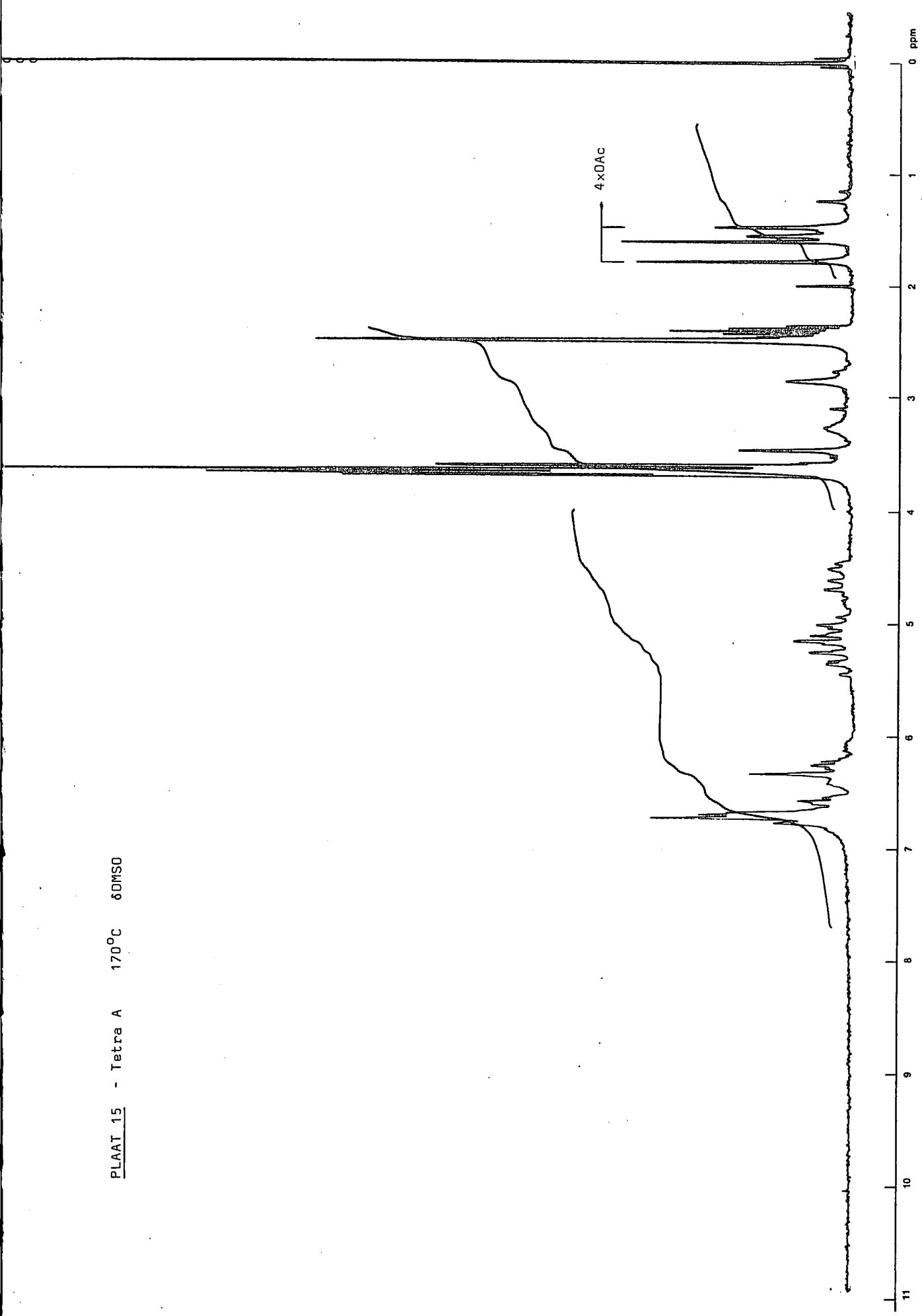
$\delta$ DMSO



(77c)

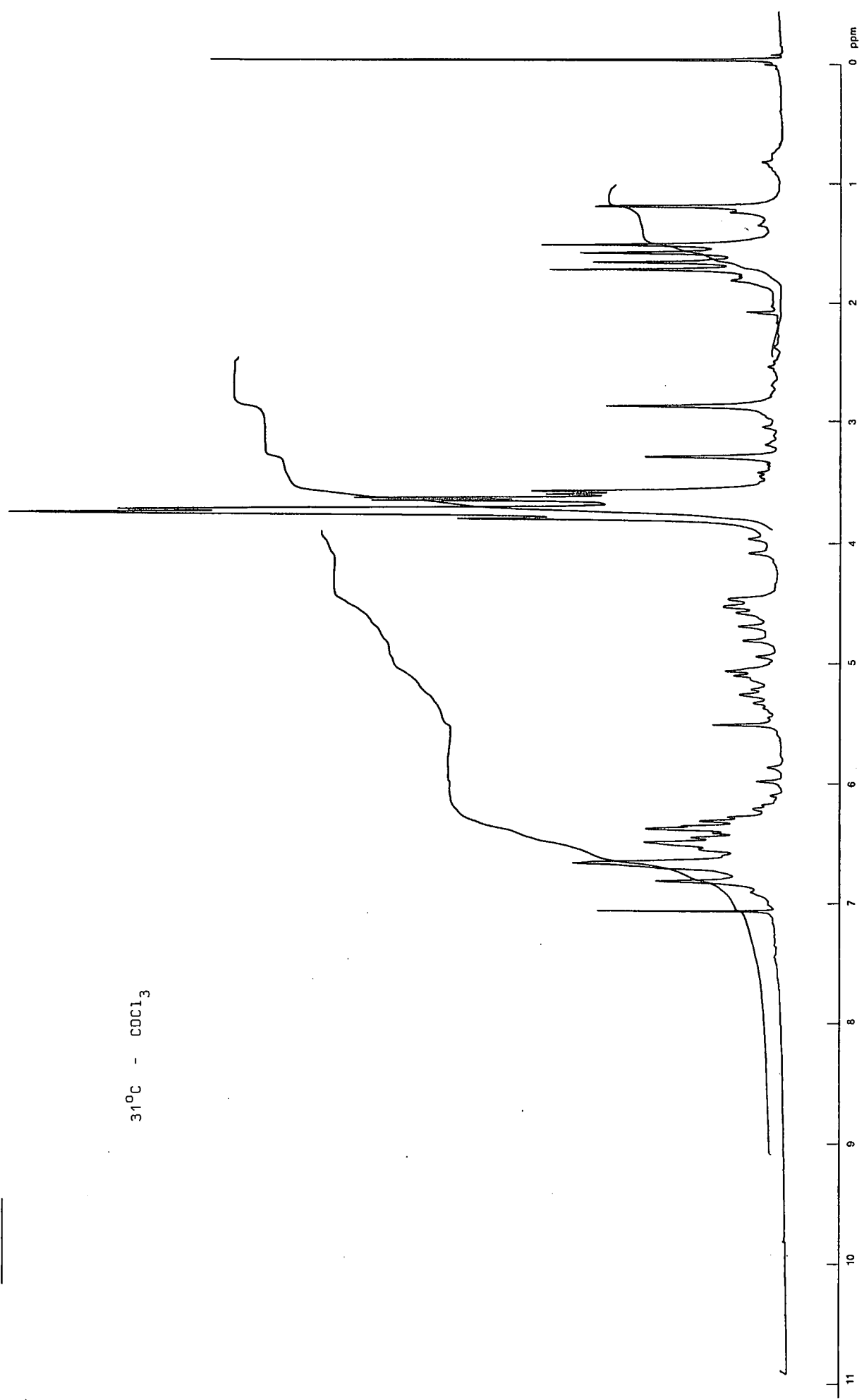


PLAAT 15 - Tetra A 170°C  $\delta$ DMSO



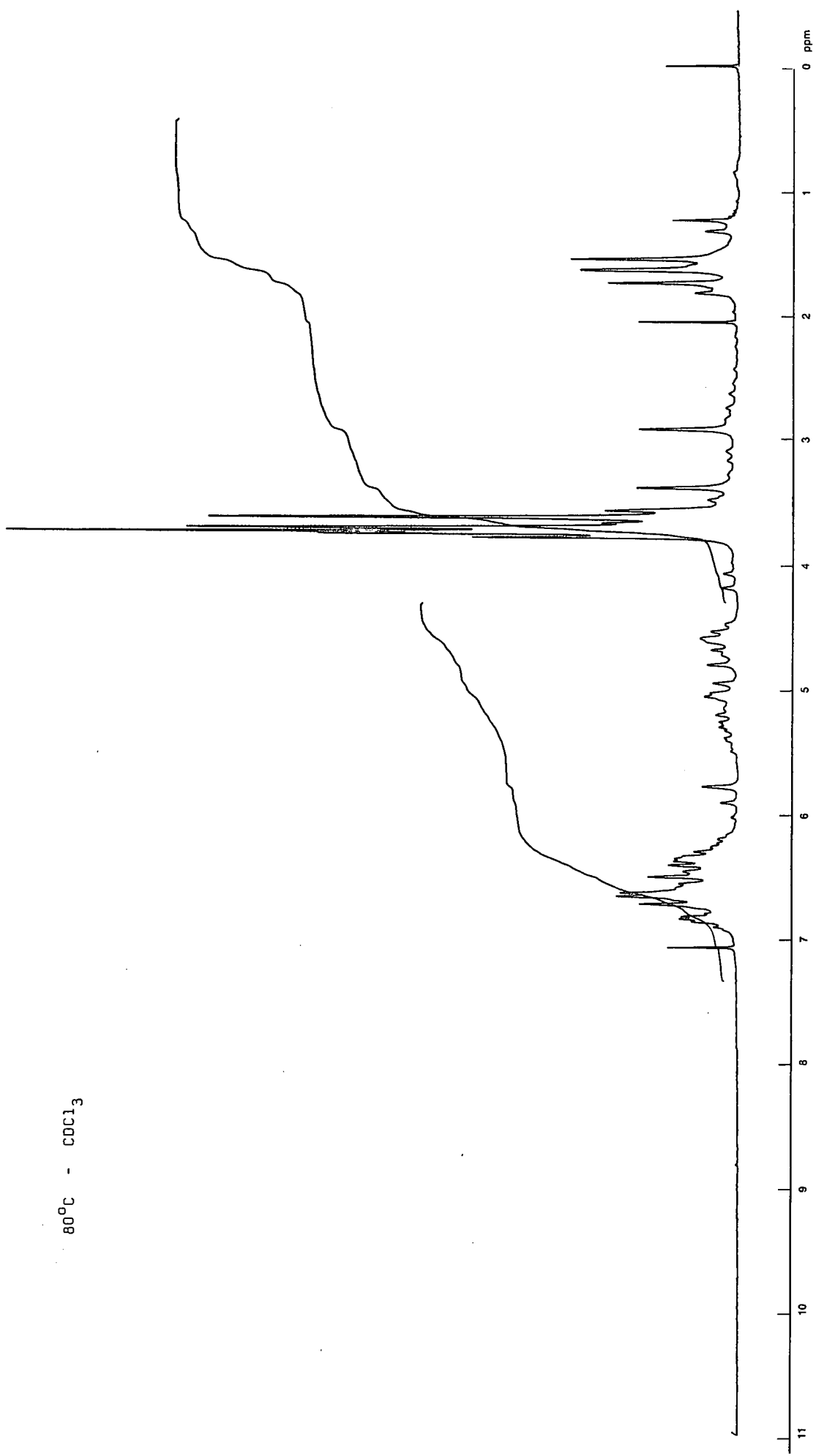
PLAAT 16a - Tetra B

$31^{\circ}\text{C}$  -  $\text{COCl}_3$



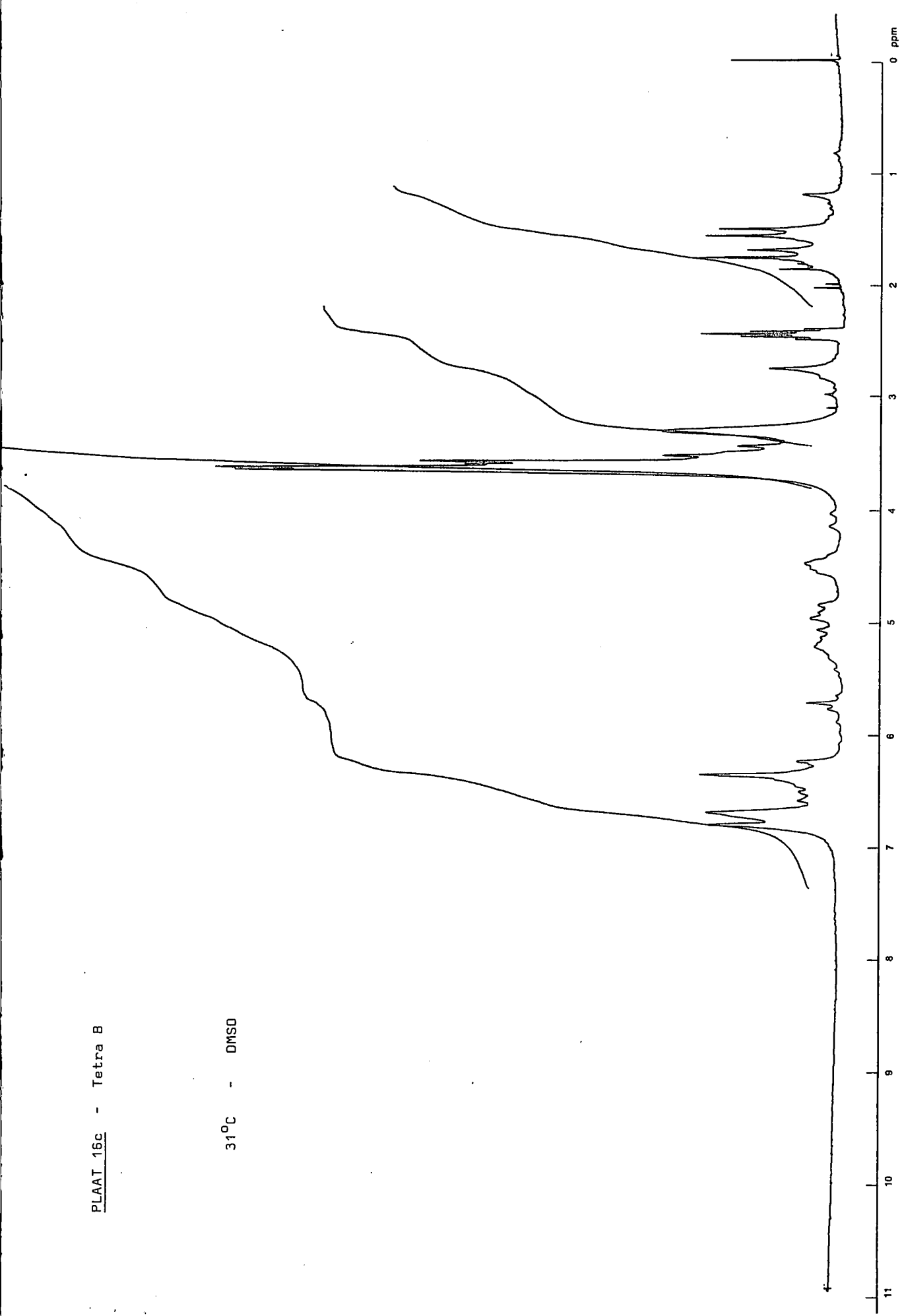
PLAAT 16b

80°C -  $\text{CDCl}_3$



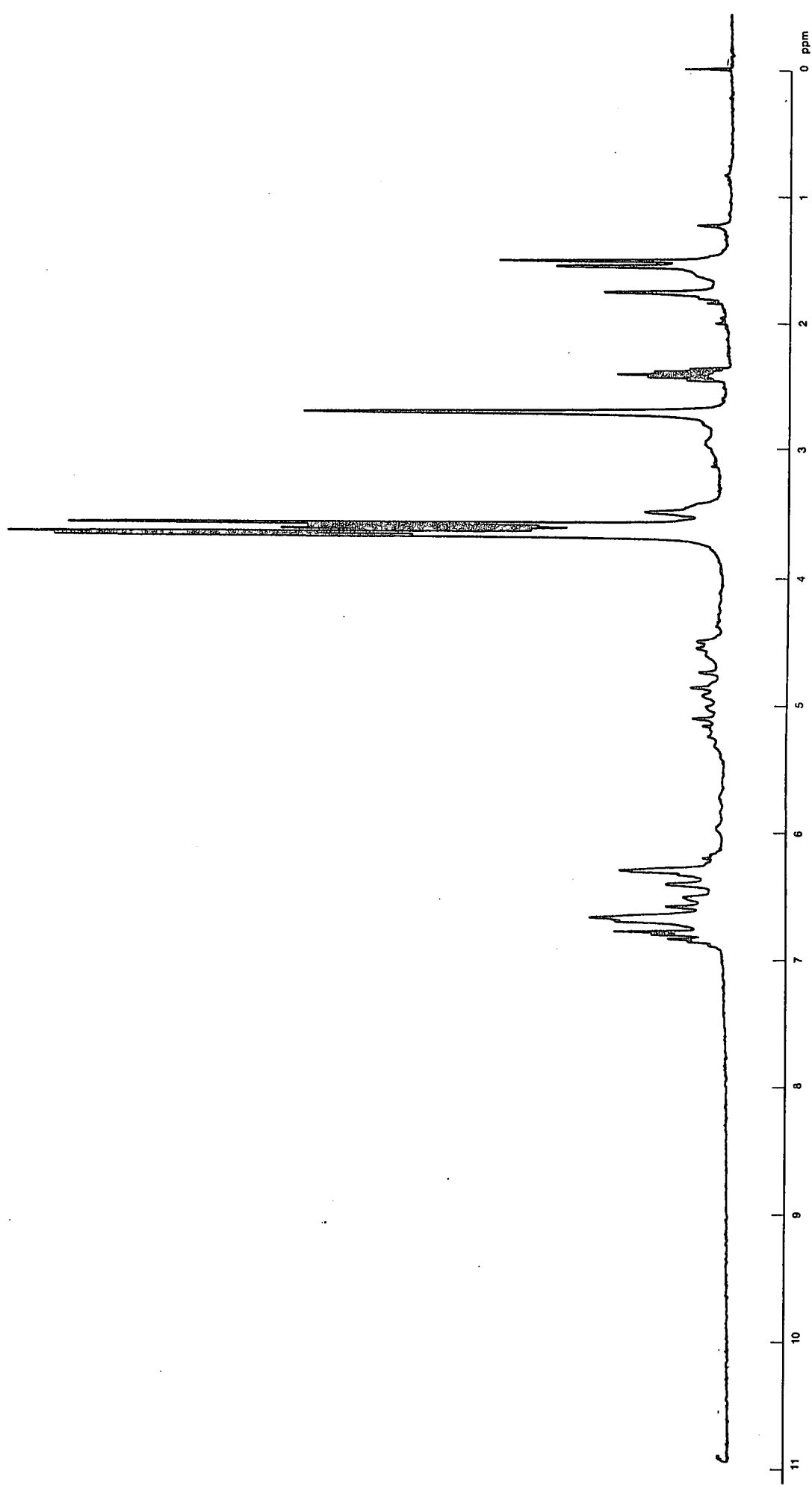
PLAAT 16c - Tetra B

31°C - DMSO



PLAAT 16d - Tetra B

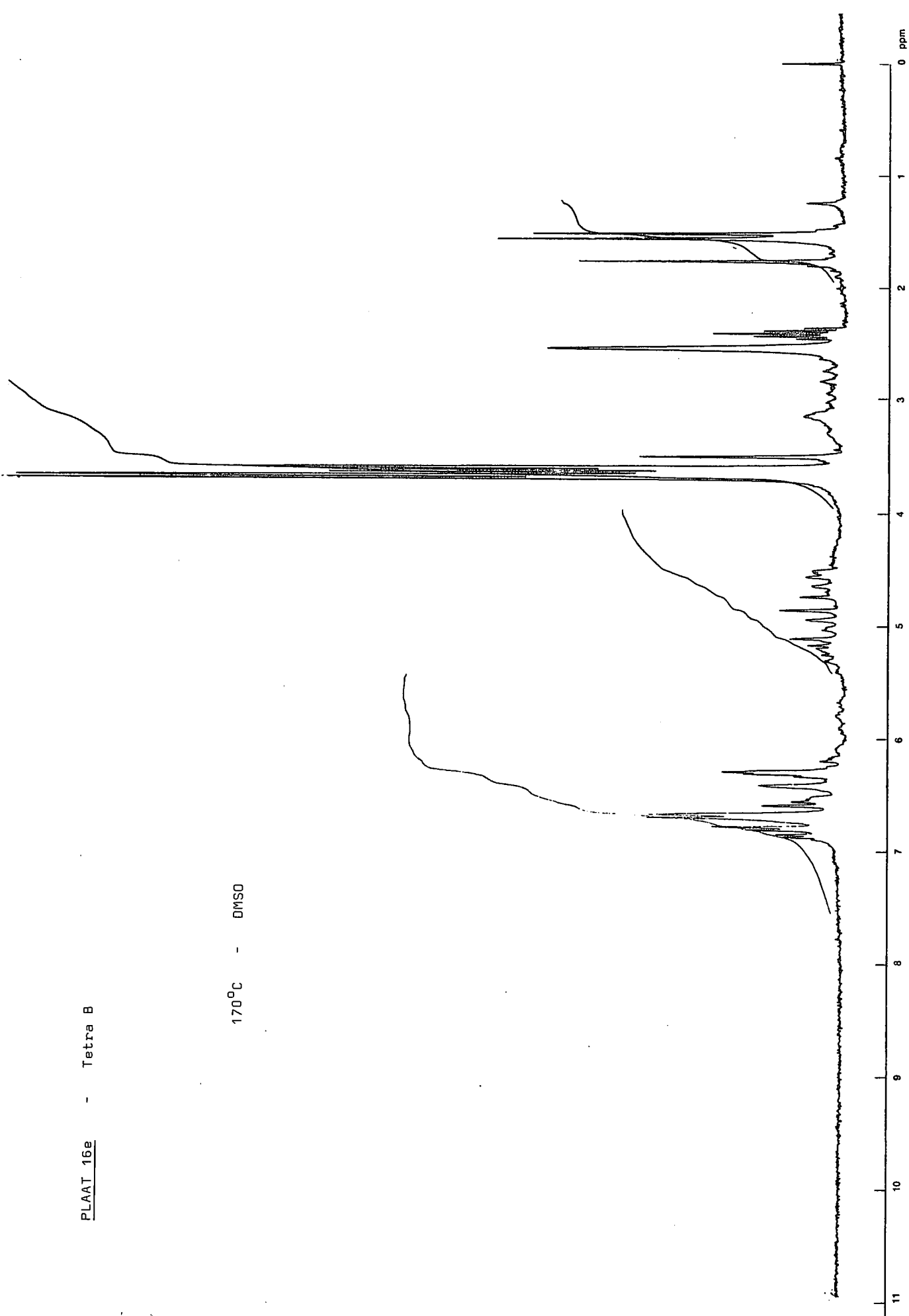
140°C - DMSO



PLAAT 16e

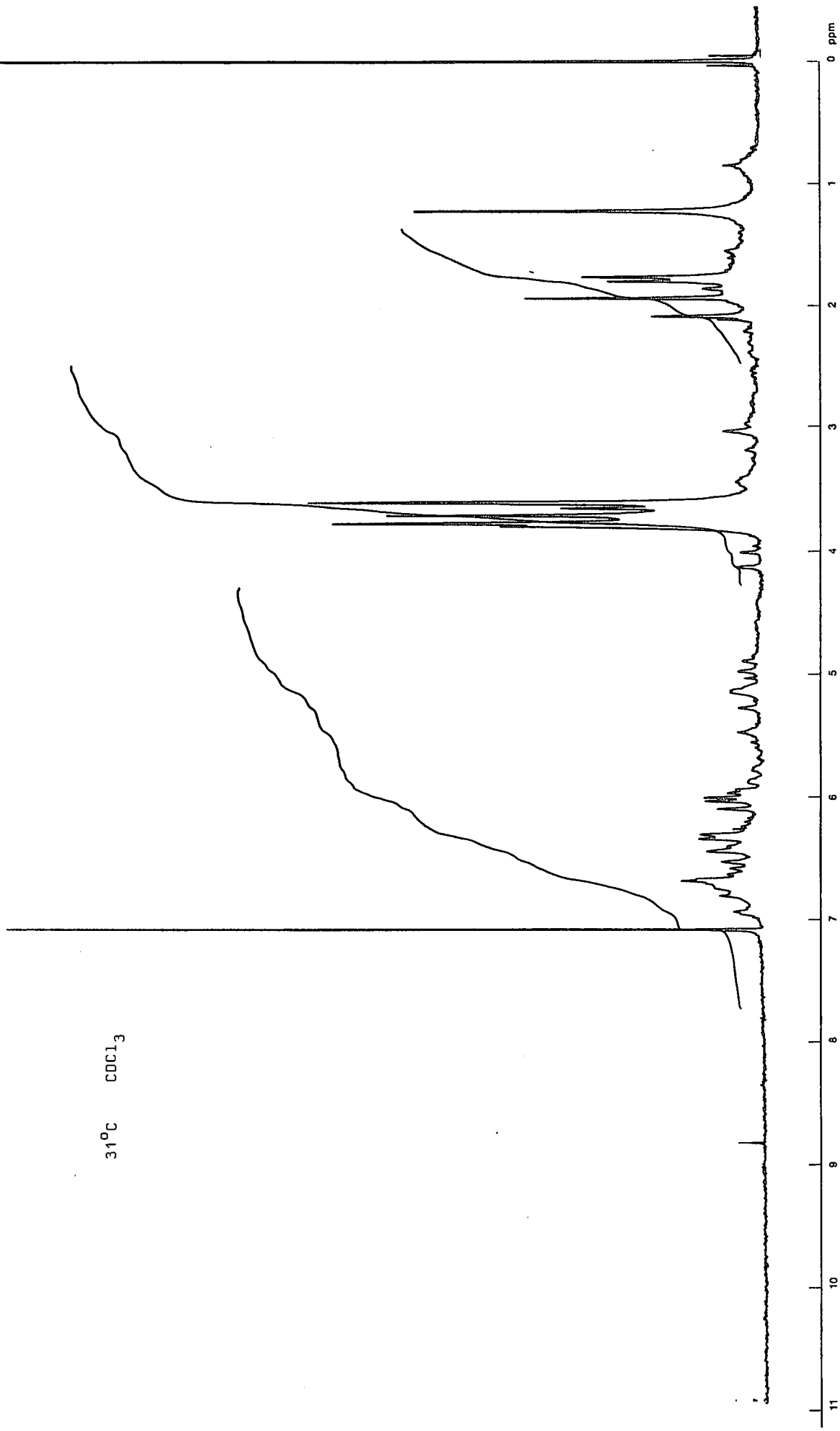
- Tetra B

170 °C - DMSO

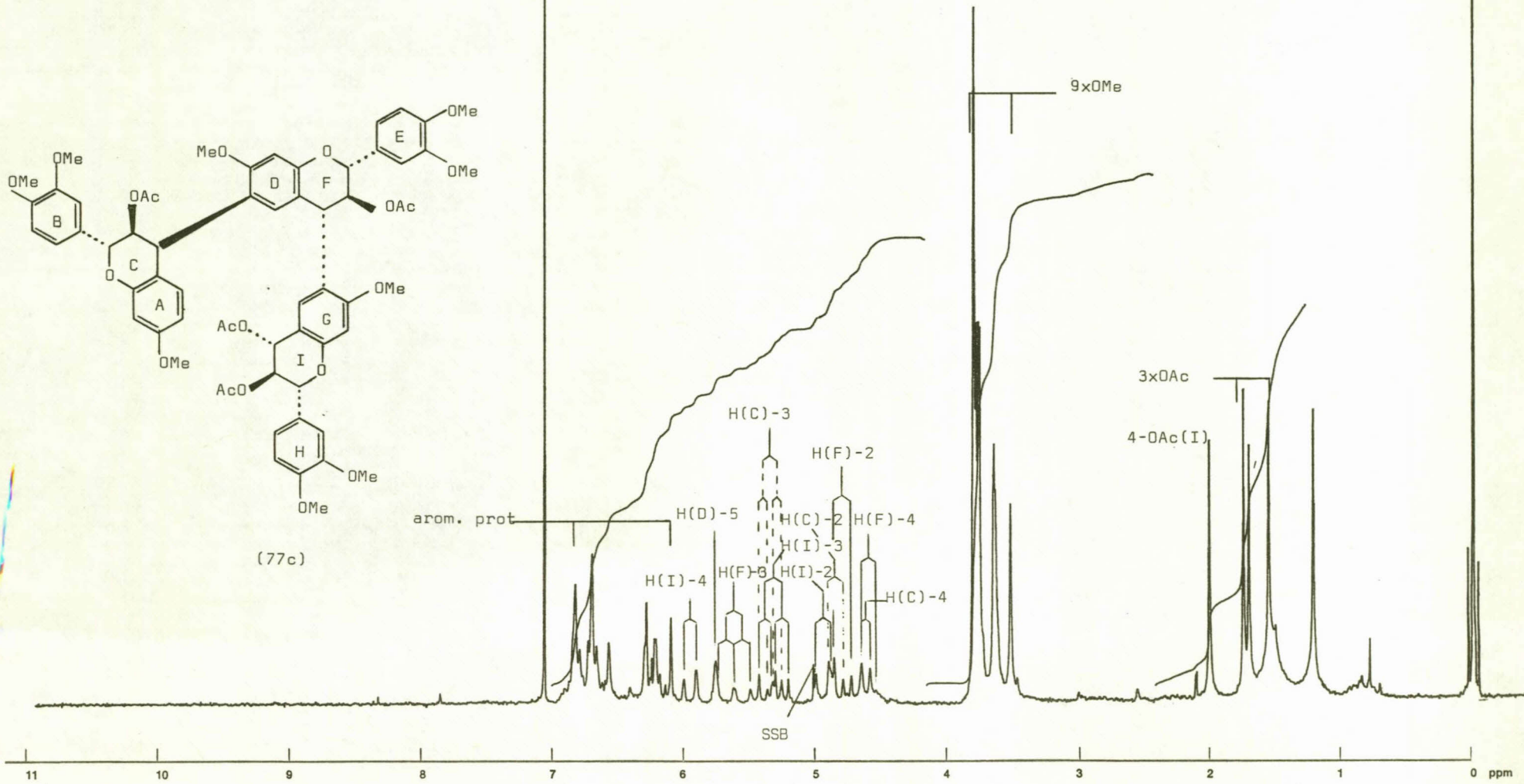
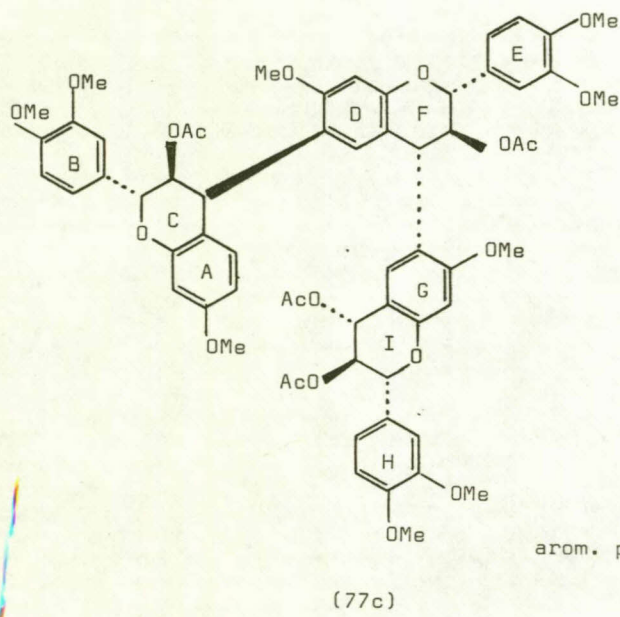


PLAAT 17 - Tetra C

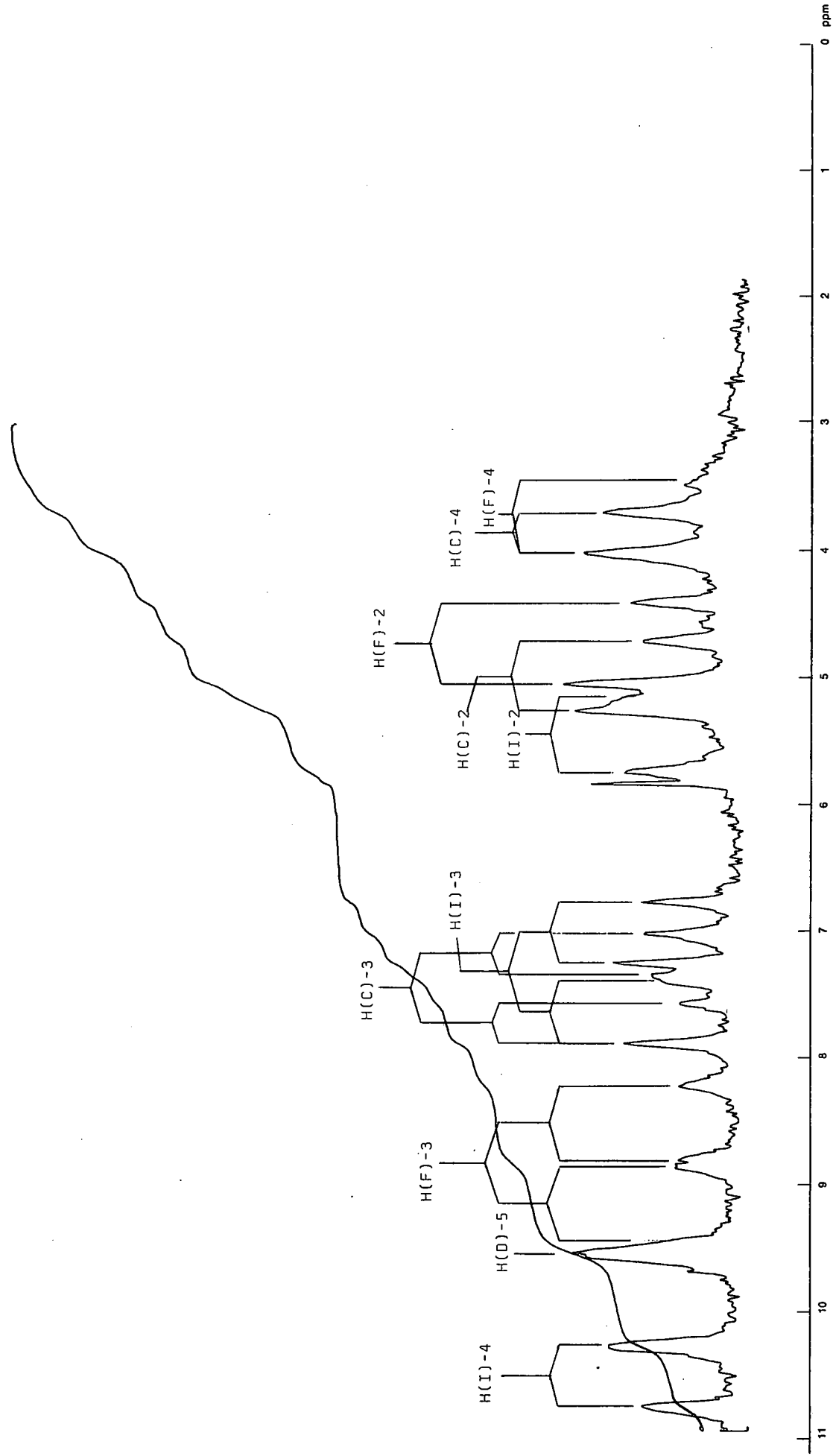
31°C       $\text{CDCl}_3$

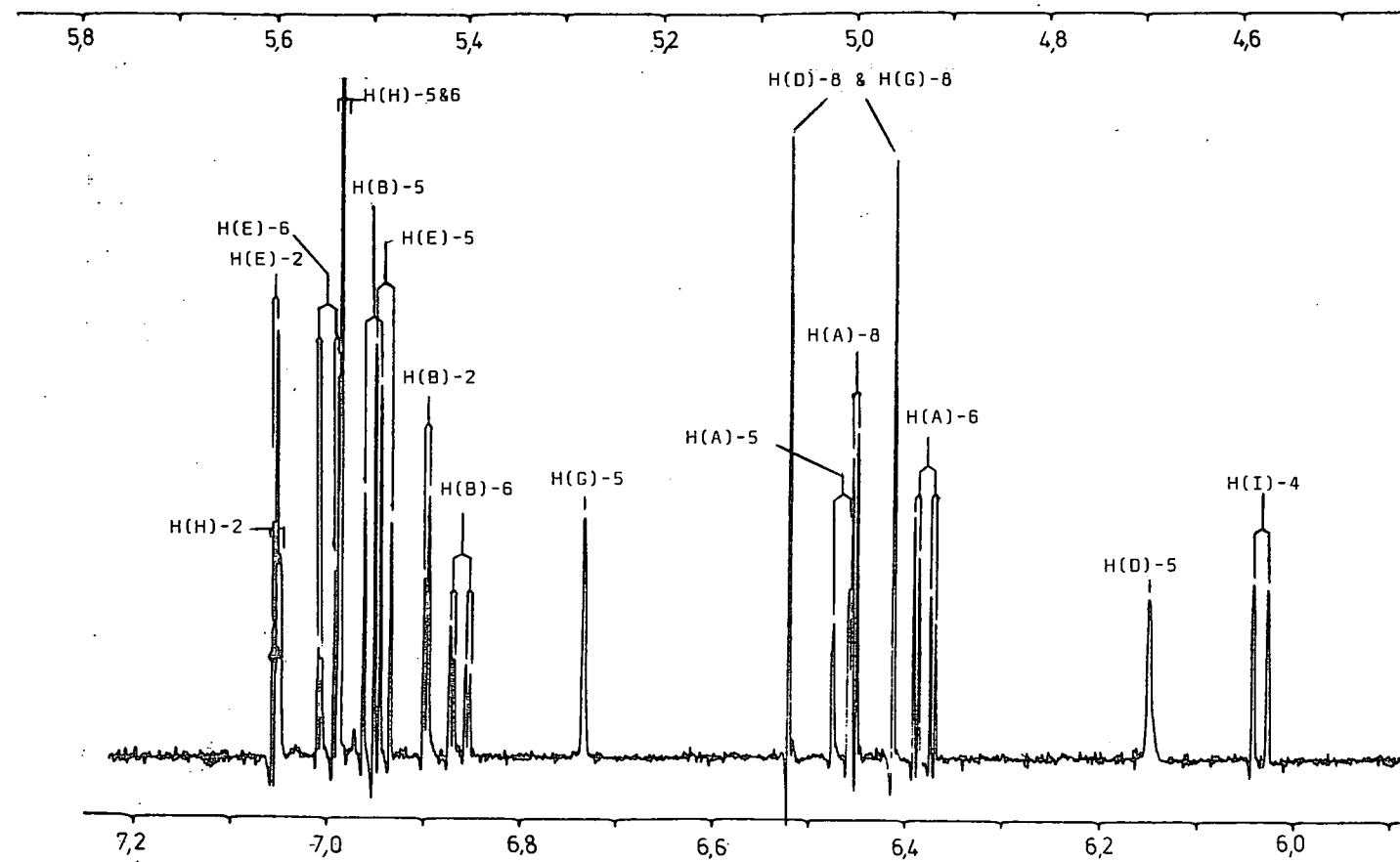
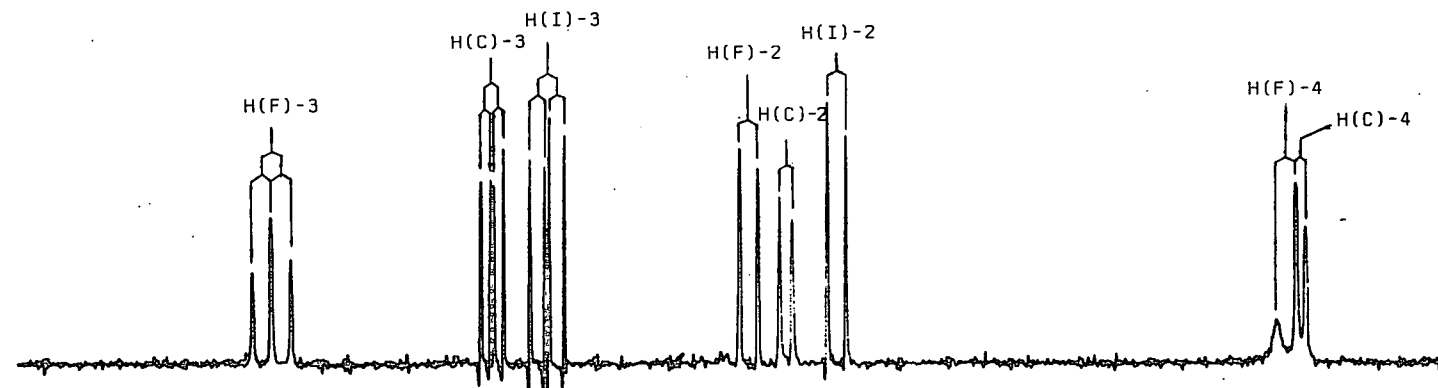


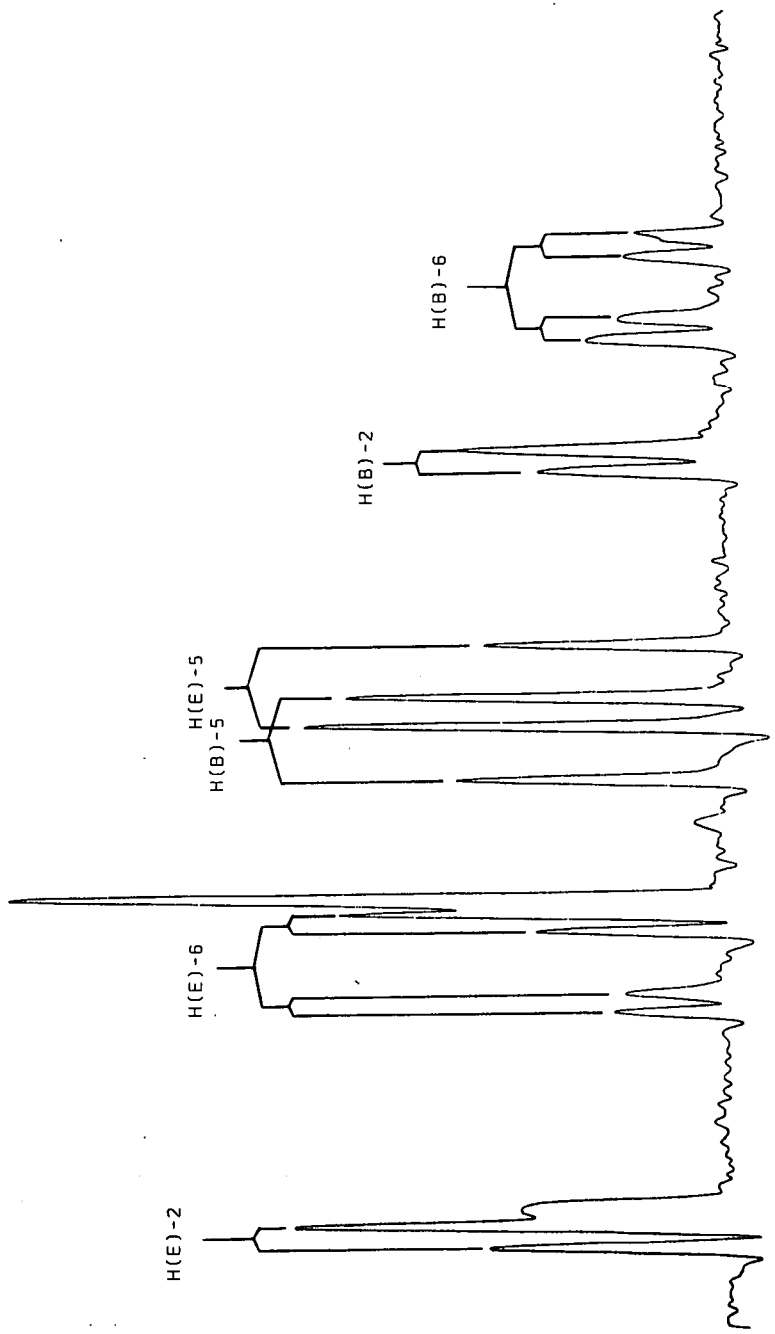
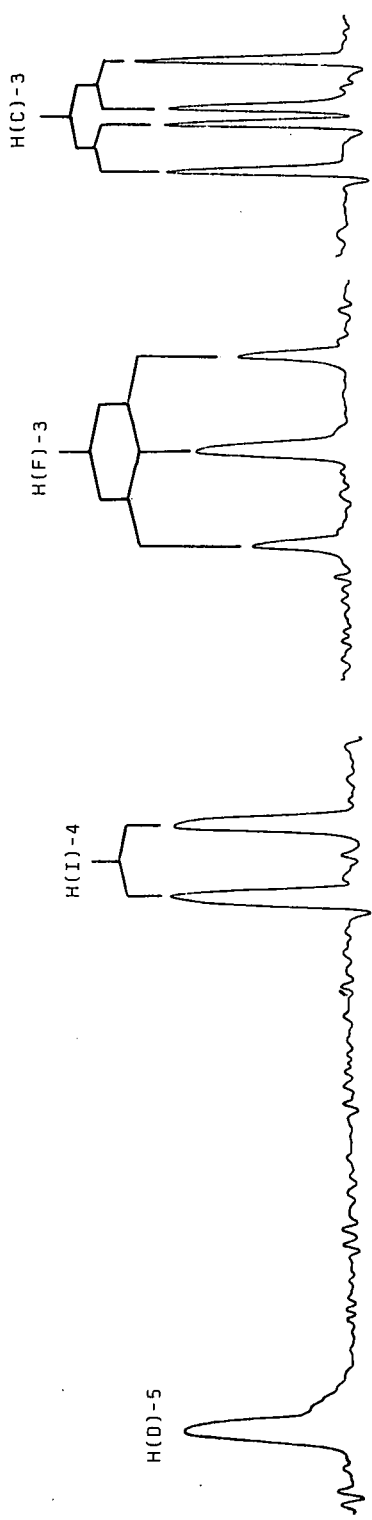
PLAAT 18a  $\delta$ CDCl<sub>3</sub>

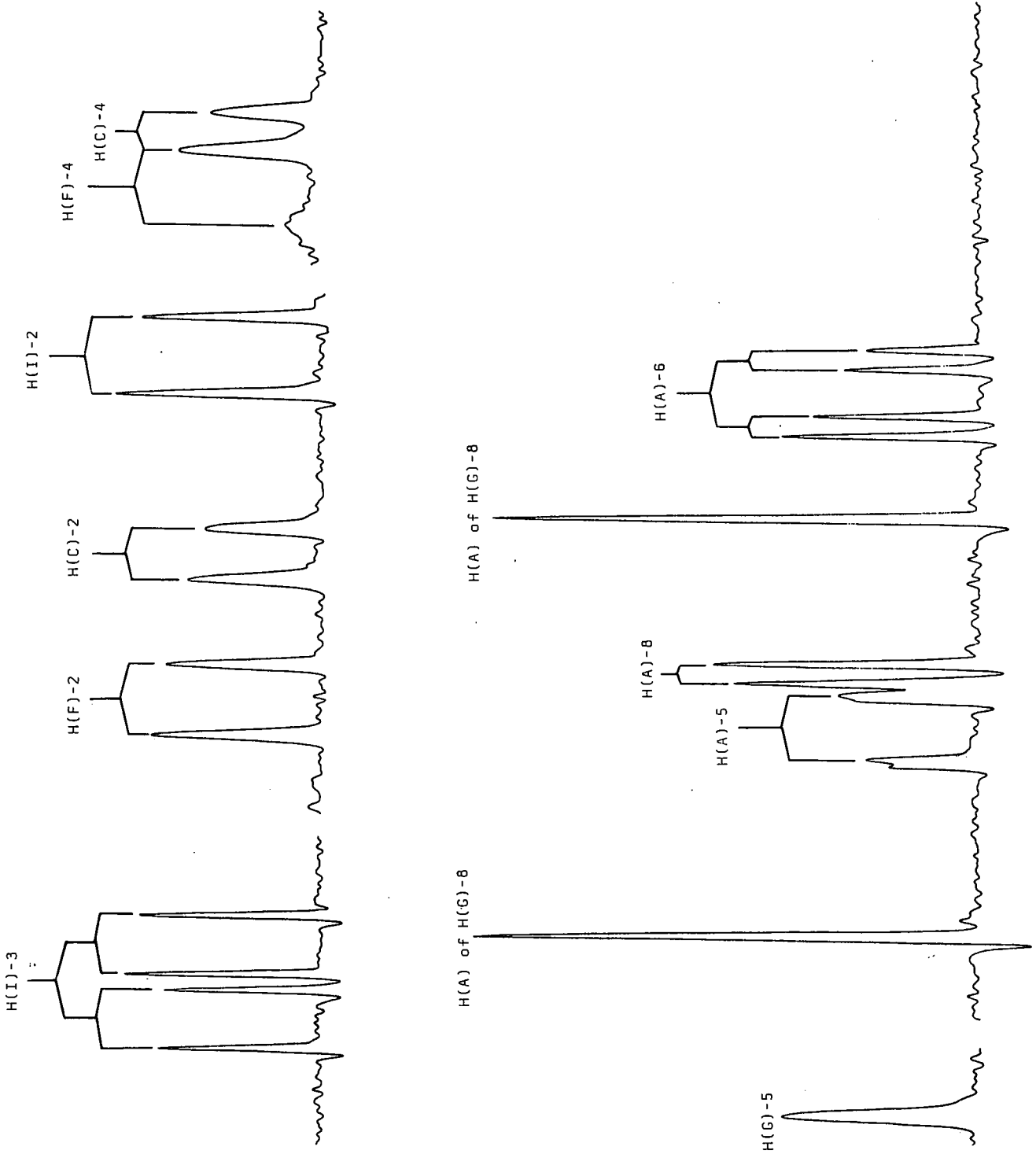


PLAAT 18a (vervolg)

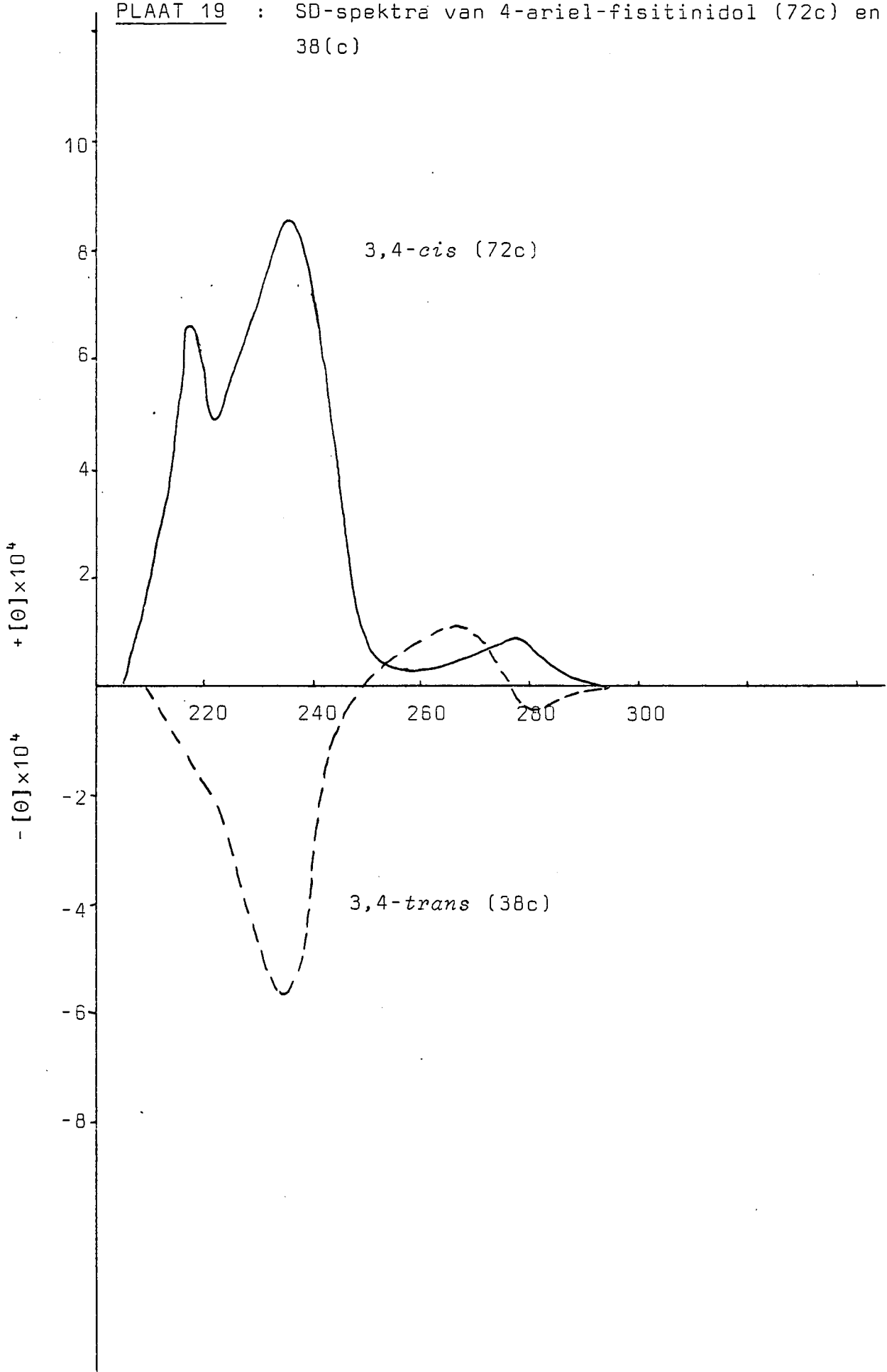




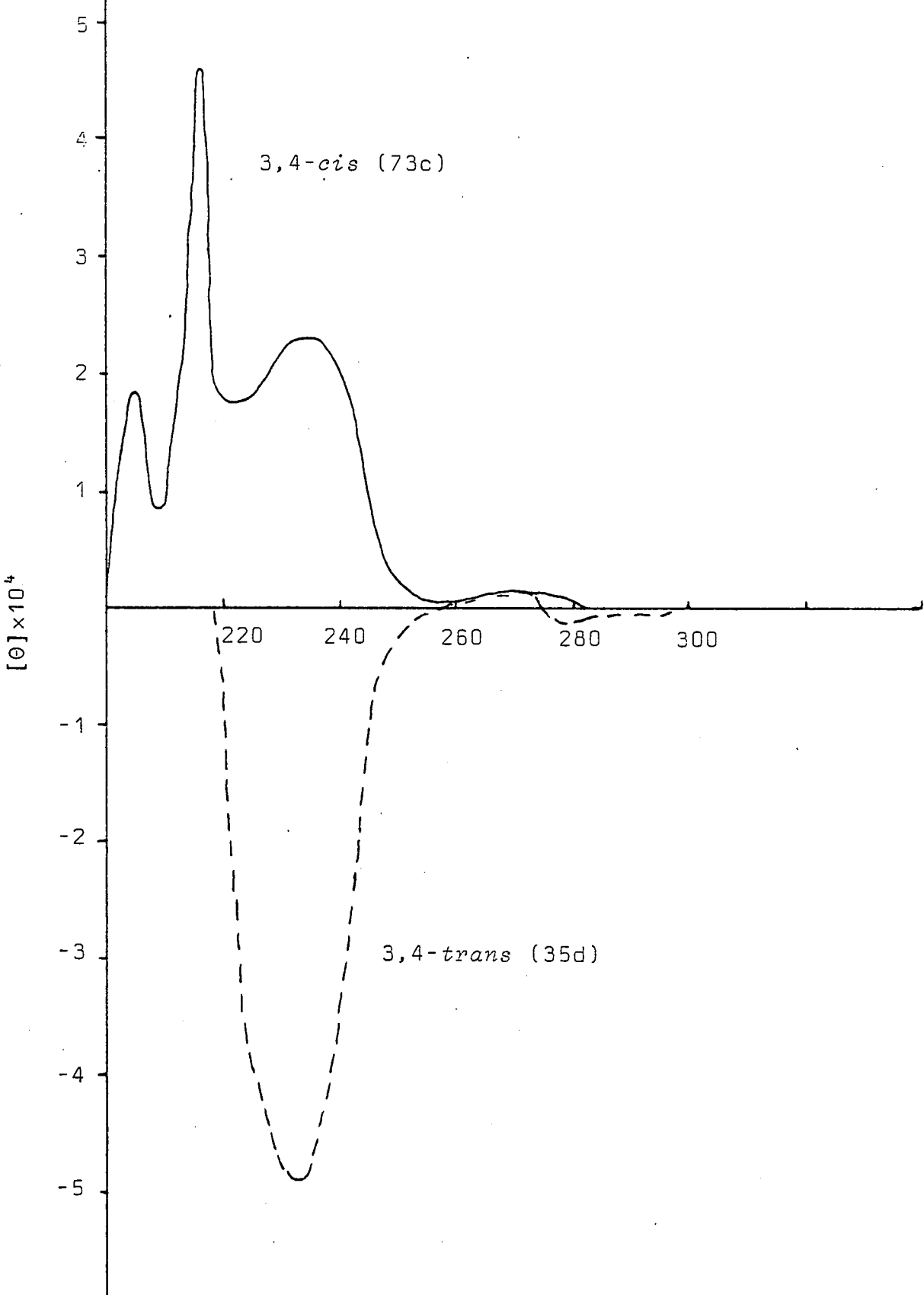




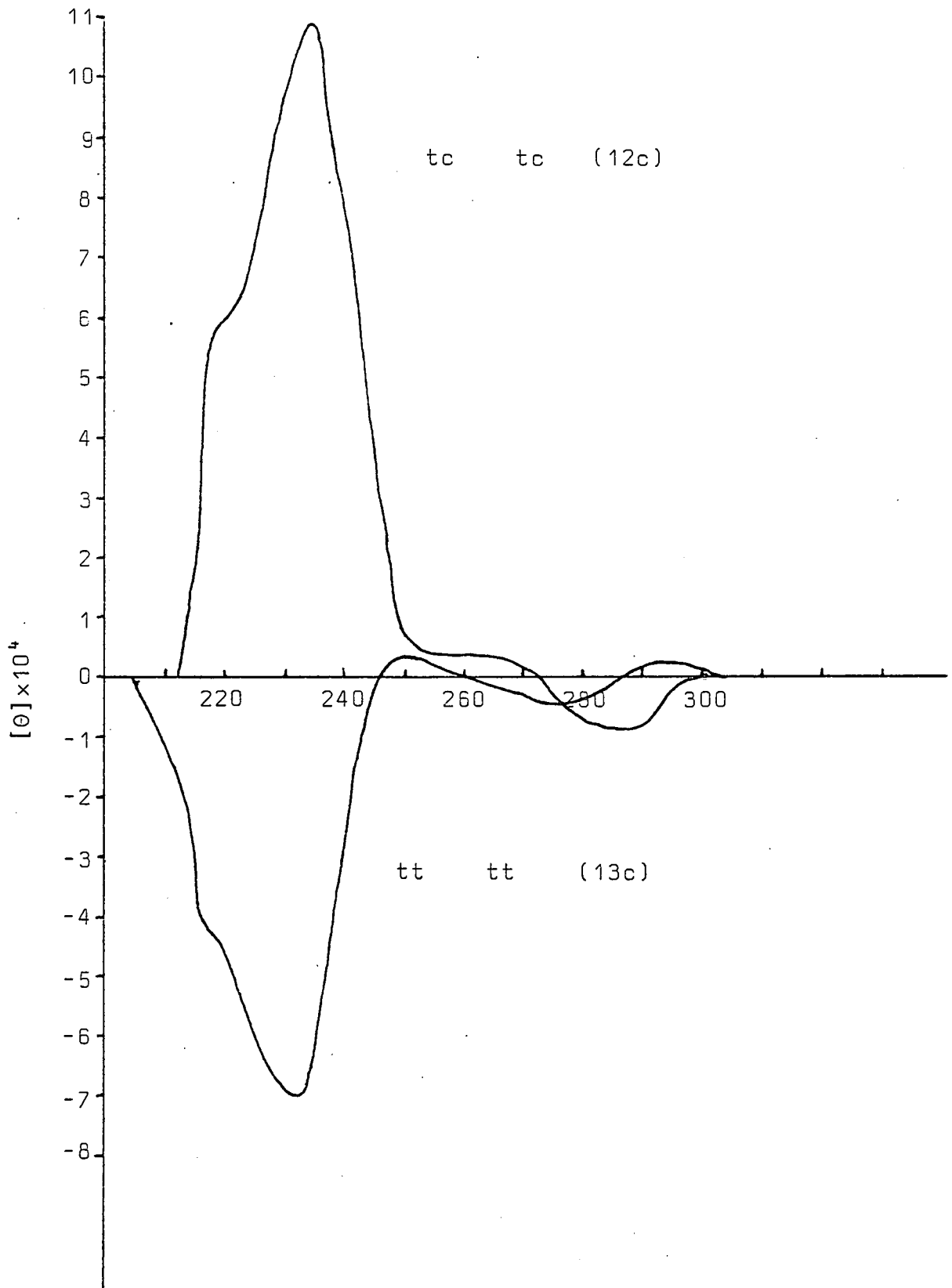
PLAAT 19 : SD-spektra van 4-ariel-fisitinidol (72c) en  
38(c)



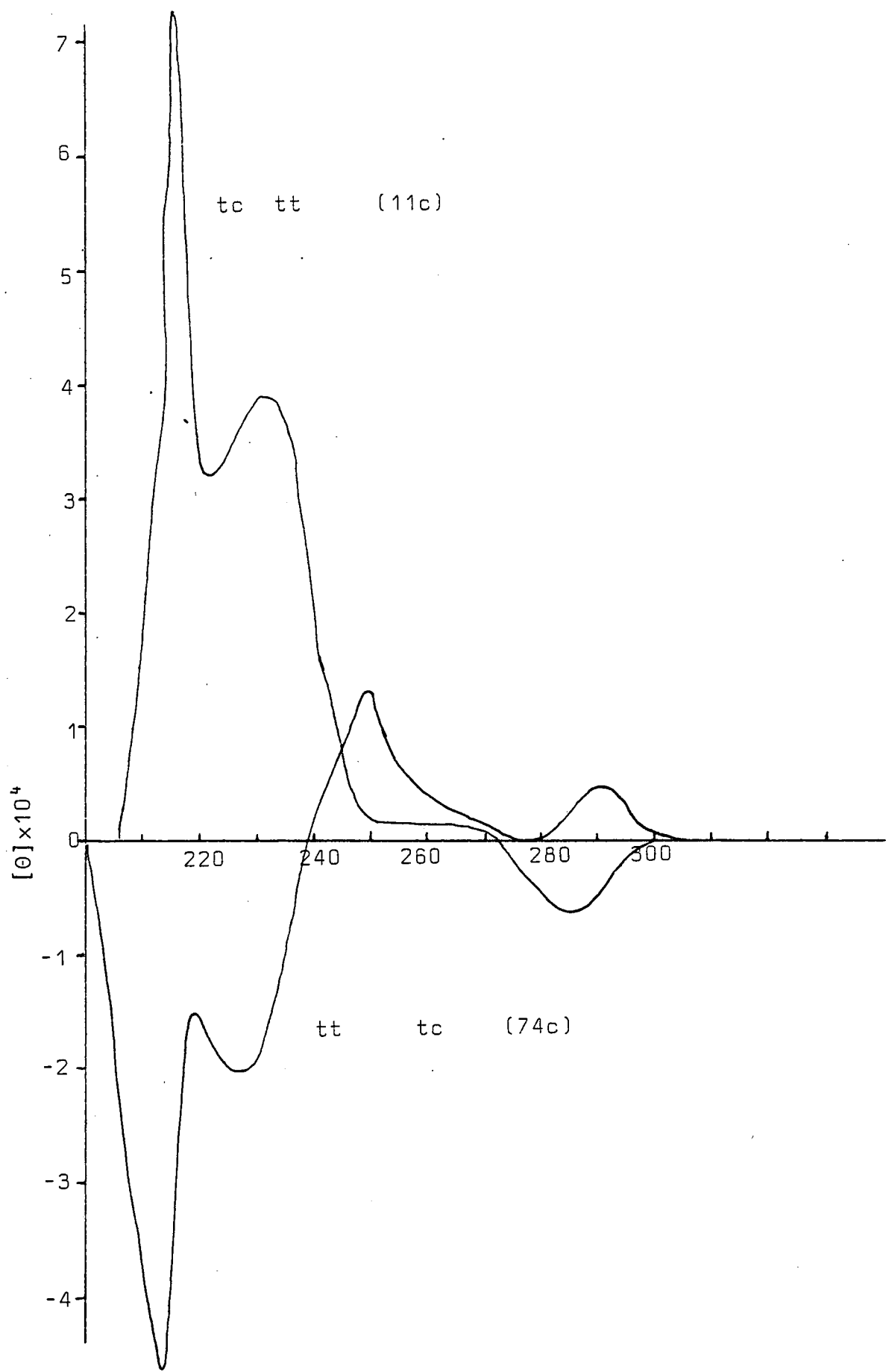
PLAAT 20 : SD-spektra van 4-arielleukosianidiene 35d  
en 73c



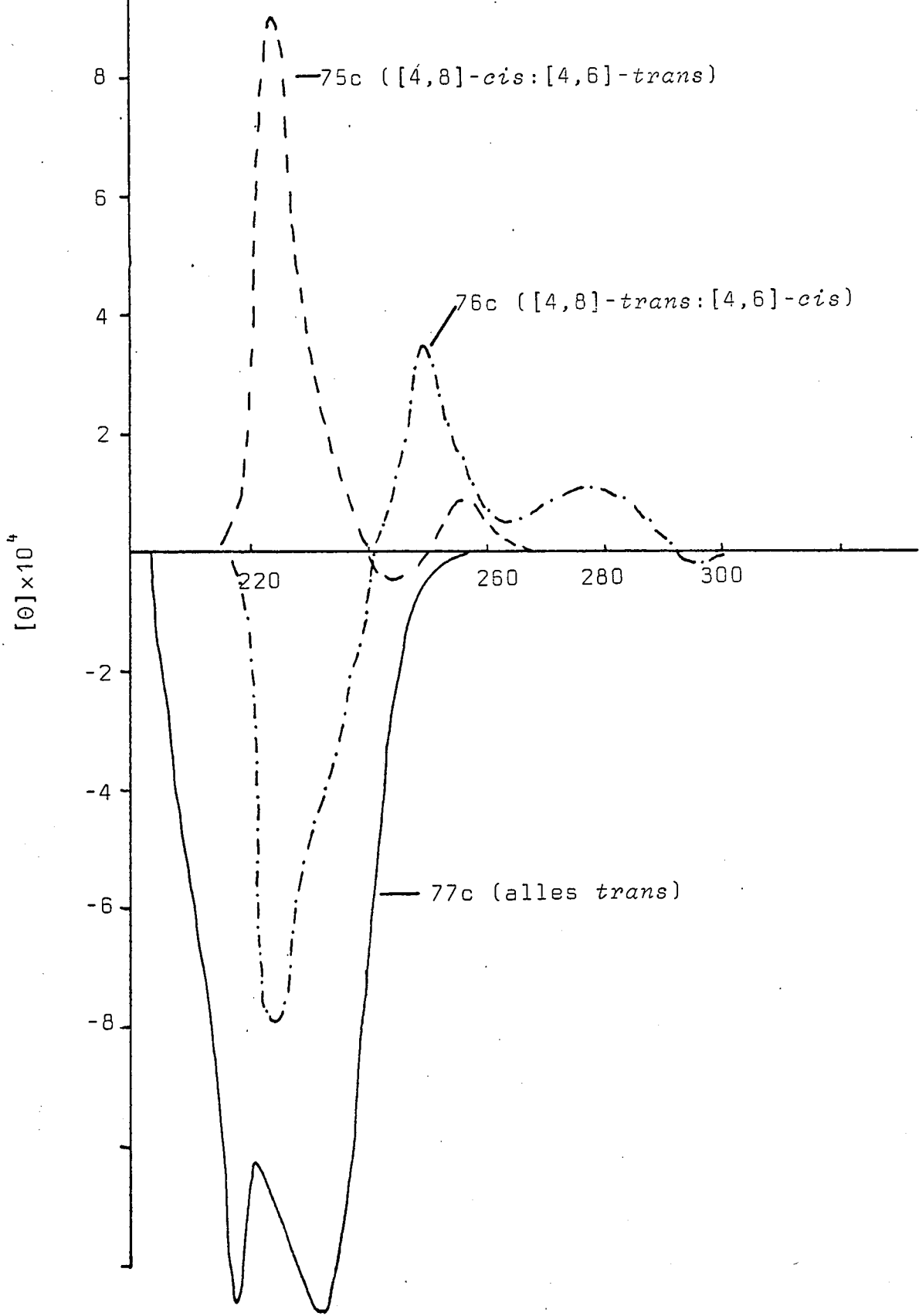
PLAAT 21 : SD-spektra van (-)-fisetinidol-(+)  
mollisacacidin biflavanoïede 12c en  
13c



PLAAT 22 : SD spektra van (-)fisetinidol-(+)mollisacacidin biflavanoïede 11c en 74c



PLAAT 23 : SD spektra van bifisetinidol-(+)-katesjien triflavanoïede 75c, 76c en 77c



16

PLAAT 24 : SD spektra van tetra A

14

12

10

8

6

4

2

 $+ [\theta] \times 10^4$ 

200

240

300

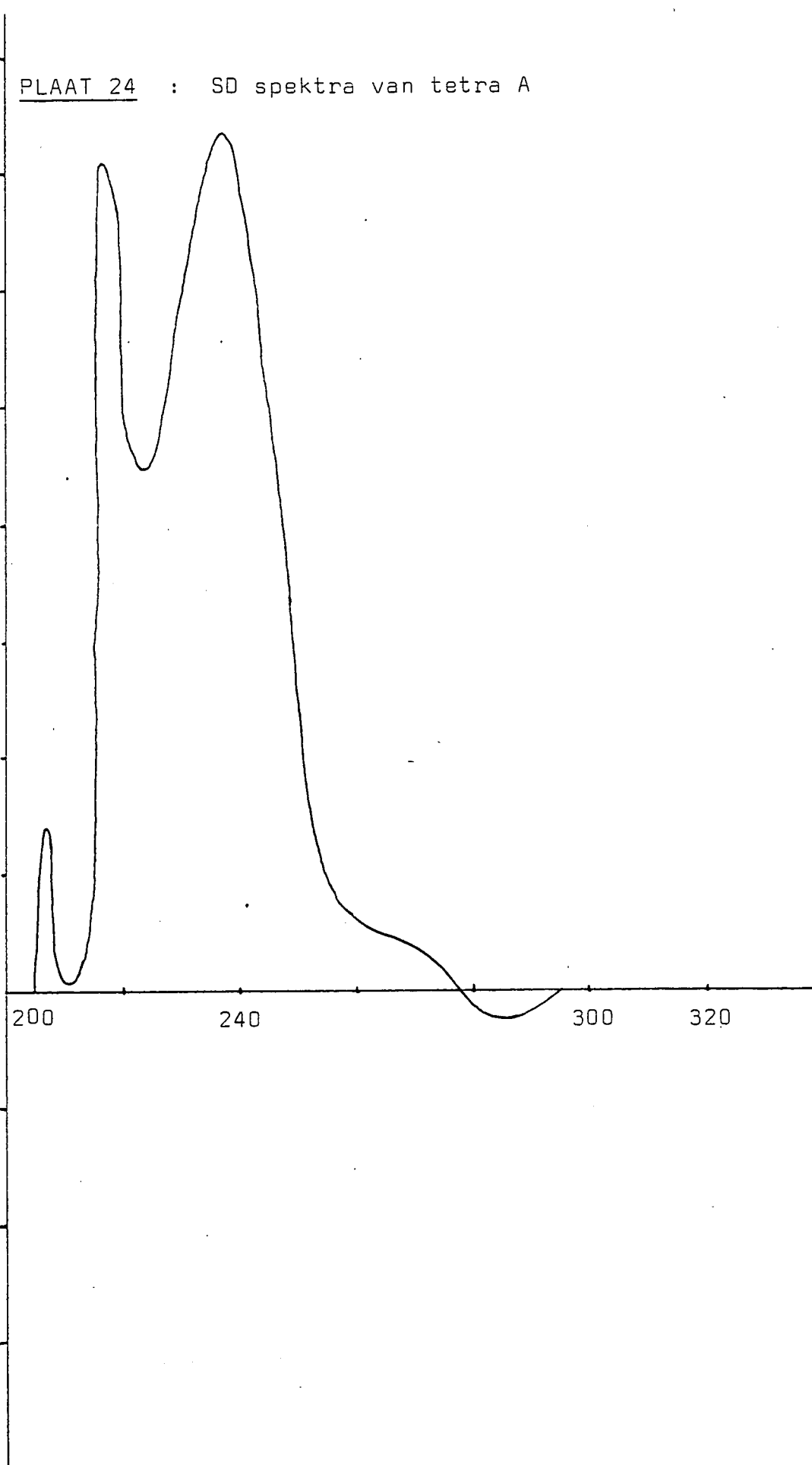
320

 $- [\theta] \times 10^4$ 

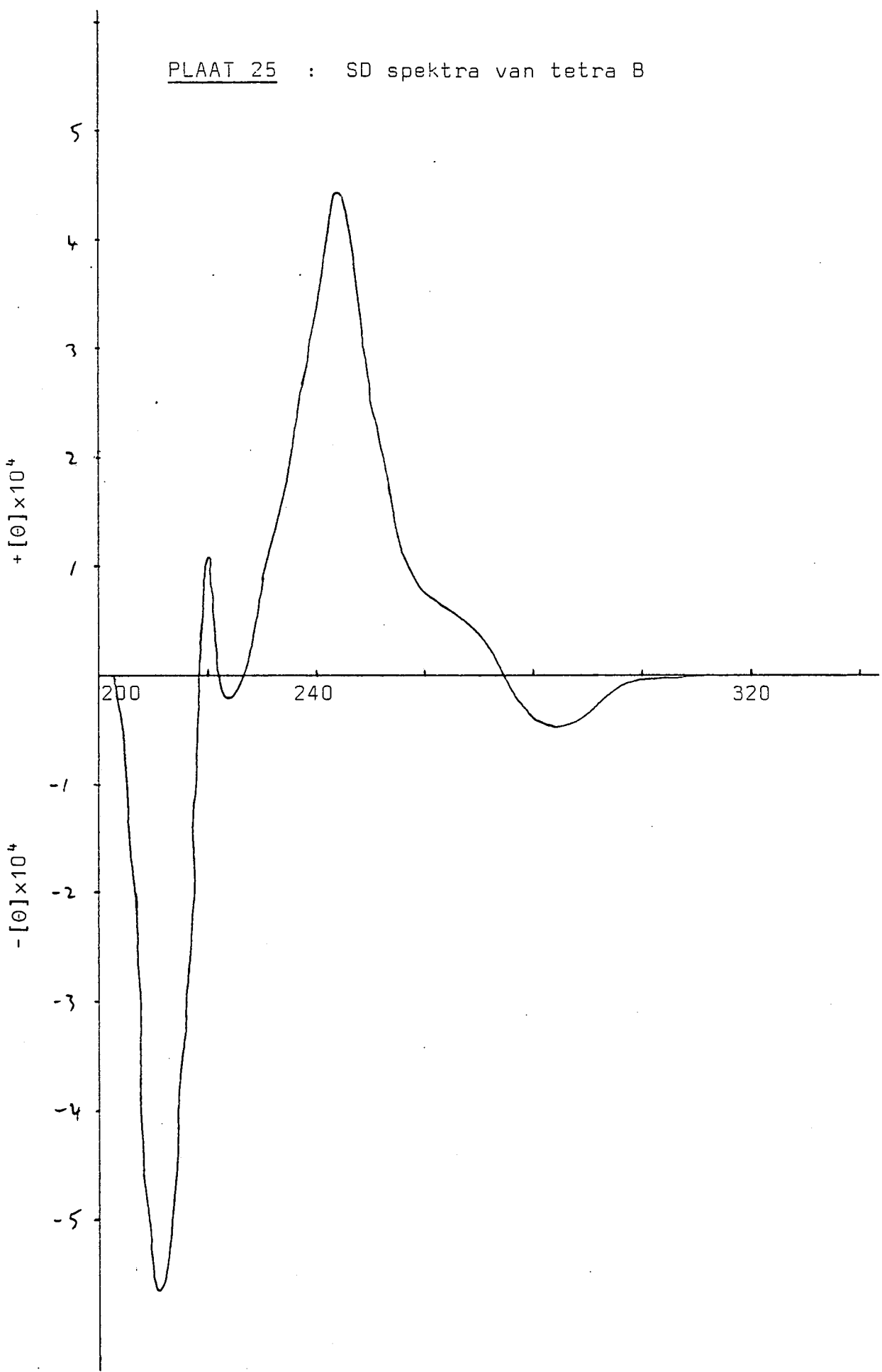
-2

-4

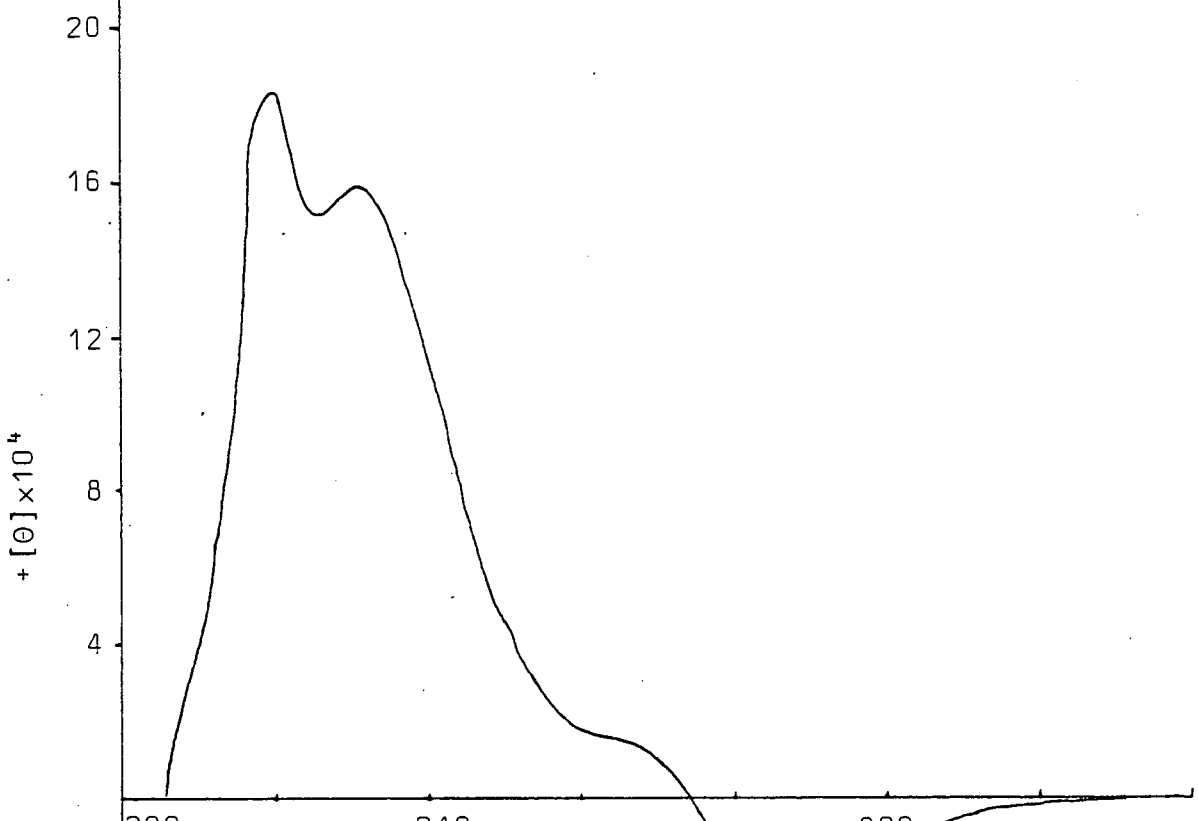
-6



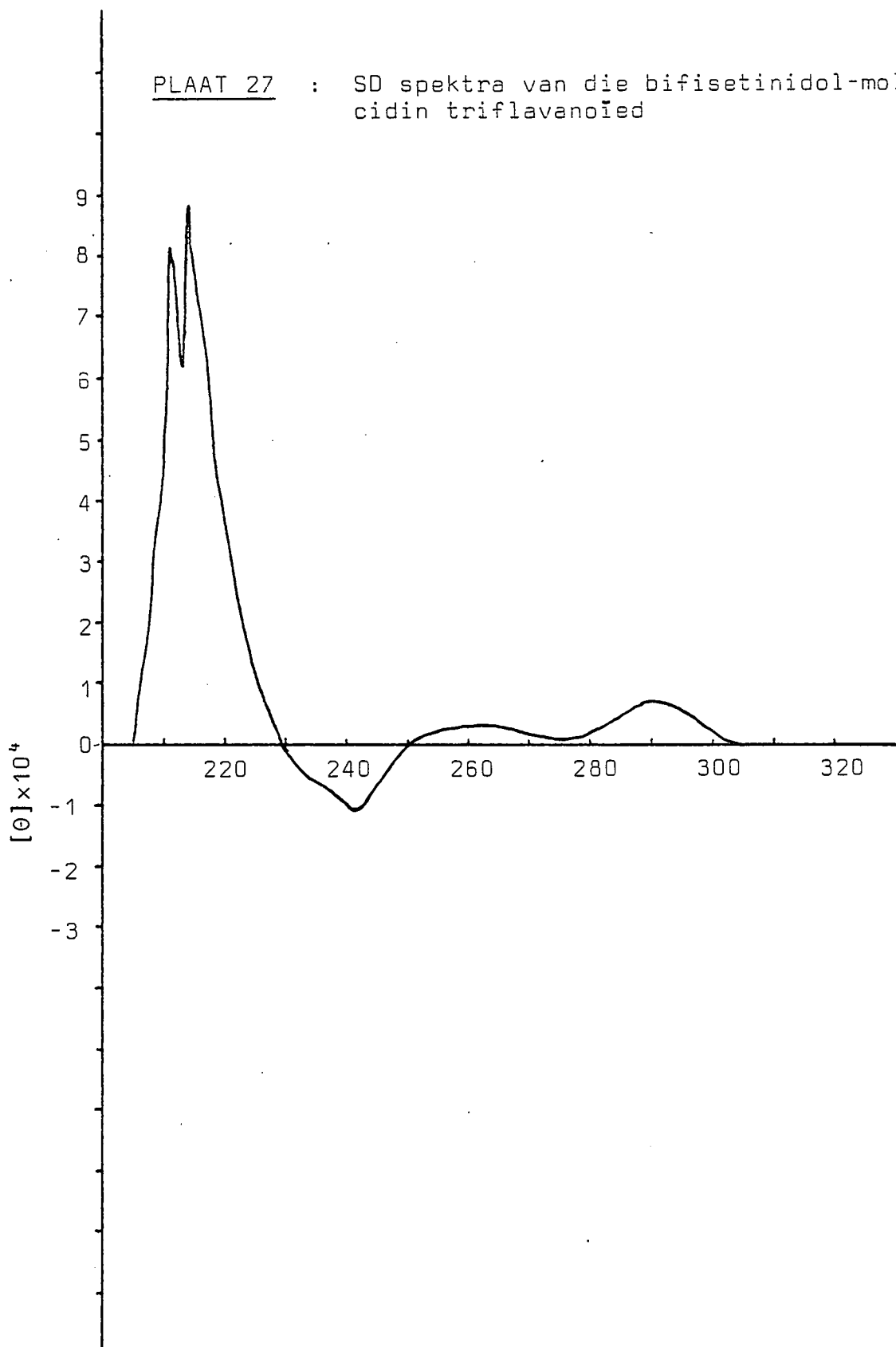
PLAAT 25 : SD spektra van tetra B



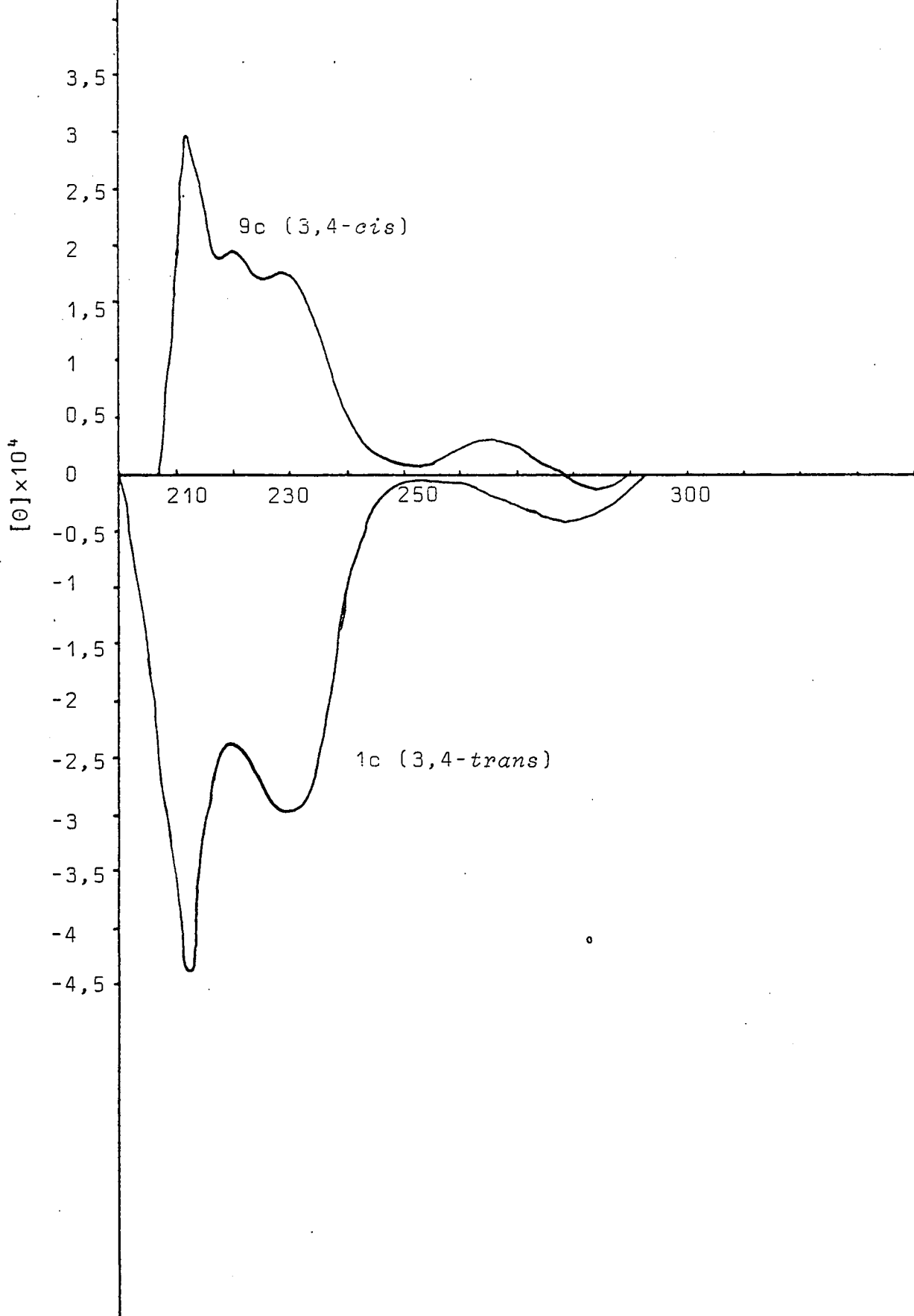
PLAAT 26 : SD spektra van tetra C



PLAAT 27 : SD spektra van die bifisetinidol-mollisacacidin triflavanoïed



PLAAT 28 : SD spektra van die metieleterasetate van  
flavan-3,4-diole 1c en 9c



## BIBLIOGRAFIE

---

- 1 H. Keppler, *J. Chem. Soc.* (1957) 2721
- 2 D.G. Roux & E. Paulus, *Biochem. J.*, (1960) 77, 315
- 3 D.G. Roux & E. Paulus, *Biochem. J.*, (1961) 78, 120
- 4 *Ibid* . (1961) 80, 62
- 5 S.E. Drewes, A.H. Ilsley, *Chem. Commun.* (1968) 20, 1246
- 6 A.M. MacKenzie, *Tetrahedron Lett.*, (1967) 2519
- 7 F.C.J. Zeilemaker & A.M. Mackenzie, *Wattle Res. Inst. Univ. Natal, S. Afr. Rep.* 19 57 (1965-1966)
- 8 S.F. Drewes & A.H. Ilsley, *Phytochem.*, 1969, 8, 1039.
- 9 S.E. Drewes, D.G. Roux, S.H. Eggers & J. Feeney, *J. Chem. Soc. (C)*, 1967, 1217
- 10 F.R. van Heerden - Ph.D.-thesis, U.O.V.S., 1980
- 11 S.E. Drewes & A.H. Ilsley, *J. Chem. Soc. (C)* (1960) 897
- 12 S.E. Drewes, D.G. Roux, S.H. Eggers & J. Feeney, *J. Chem. Soc. (C)*, 1967, 1302
- 13 J.J. Botha, D. Ferreira & D.G. Roux, *J. Chem. Soc. Chem. Commun.* 1978, 700
- 14 H.K.L. Hundt & D.G. Roux, *ibid*, 696
- 15 D.G. Roux & E. Paulus, *Biochem. J.*, (1961) 80, 476
- 16 D.G. Roux & E. Paulus, *ibid* (1962) 82, 320
- 17 S.E. Drewes & D.G. Roux, *Chem. Commun.* (1968) 1
- 18 K. Weinges, W. Kaltenhauser, H.D. Marx, E. Nader, J. Perner & D. Seiler, *Annalen*, (1968), 711, 184
- 19 R.S. Thompson, D. Jacques, E. Haslam & R.J.N. Tanner, *J.C.S. Perkin I* 1972, 1387
- 20 M.J. Betts, B.R. Brown & M.R. Shaw, *J. Chem. Soc. (C)*,

- 1969, 1178
- 21 J.W. Clark-Lewis & L.R. Williams, *Austral. J. Chem.*,  
1967, 20, 2151
- 22 I.C. du Preez, D. Ferreira & D.G. Roux, *J. Chem. Soc.*  
(C) 1971, 336
- 23 A.C. Fletcher, L.J. Porter, E. Haslam & R.J. Gupta,  
*J.C.S. Perkin 1*, 1977, 1628
- 24 J.D. Roberts, F.J. Weigert, J. Kroschowitz & H.J. Reich,  
*J. Amer. Chem. Soc.*, 1970, 92, 1338
- 25 J.R. Stothers, 'Carbon-13NMR Spectroscopy', Academic  
Press, London and New York, 1972
- 26 F.L. Etiel, W.F. Bailey *et al.* *J. Amer. Chem. Soc.*,  
1975, 97, 322
- 27 J.J. Botha, D. Ferreira & D.G. Roux, *J.C.S. Chem. Comm.*,  
1978, 698
- 28 J.J. Botha, D. Ferreira & D.G. Roux, *ibid*, 1978, 700
- 29 J.J. Botha, D. Ferreira & D.G. Roux *ibid*, 1979, 510
- 30 J.J. Botha, D.G. Young, D. Ferreira & D.G. Roux,  
*J.C.S. Perkin 1* (Submitted - Part 1)
- 31 M.I. Baig, J.W. Clark-Lewis & M.J. Thompson, *Austral.  
J. Chem.*, 1969, 22, 2645
- 32 J.H. van der Westhuizen, D. Ferreira & D.G. Roux,  
*J.C.S. Perkin 1* (Voorgelê vir Publikasie - Deel 2)
- 33 K. Weinges, H.D. Marx & K. Göritz, *Chem. Ber.*, 1970,  
103, 2336
- 34 L. Jurd & R. Lundin, *Tetrahedron*, 1968, 24, 2652
- 35 I.C. du Preez, A.C. Rowan, D.G. Roux & J. Feeney,  
*Chem. Comm.*, 1971, 315
- 36 T.A. Geissman & N.N. Yoshimura, *Tetrahedron Letters*,  
1966, 2669

- D.G. Roux & S.E. Drewes, *Biochem. J.*, 1964, 90, 343;  
1964, 92, 555; 1965, 94, 982; 1966, 98, 493
- 27 J.W. Clark-Lewis, *Rev. Pure Appl. Chem. (Australia)*,  
1962, 12, 96
- 38 S.E. Drewes & D.G. Roux, *Biochem. J.*, 1964, 90, 343
- 39 M. Karplus, *J. Americ. Chem. Soc.*, 1963, 85, 2870;  
*J. Chem. Phys.*, 1959, 30, 11
- 40 J.J. Botha, Ph.D.-Tesis, U.O.V.S., 1978
- 41 D. Ferreira, H.K.L. Hundt & D.G. Roux, *J.C.S. Chem. Comm.*, 1257 (1971)
- 42 G.S. Hammond, *J. Americ. Chem. Soc.*, 1955, 77, 334
- 43 D. Bethell & V. Gold, *Carbonium Ions - an introduction*, Academic Press, London & New York, 1967
- 44 W.E. Doering & H.H. Zeiss, *J. Americ. Chem. Soc.*, 1953,  
75, 4733  
A. Streitweiser, *Chem. Rev.*, 1956, 571
- 45 J.E. Leffler & E. Grunwald, "Rates and Equilibria of Organic Reactions", Wiley, New York, 1963
- 46 S.F. Mayson, *J. Chem. Soc.*, 808, 1958
- 47 A.G. Evans & S.D. Hamman, *Trans. Faradag Soc.*, 1951,  
47, 25
- 48 S. Winstein & A.H. Fainberg, *J. Amer. Chem. Soc.*,  
(1957), 79, 5937
- 49 C.K. Ingold, "Structure and Mechanism in Organic Chemistry", Cornell Univ. Press, Ithaca, N.Y. and Bell, London, 1953.
- 50 W.A. Cowdrey, E.D. Hughes, E.D. Ingold, C.K. Masterman,  
A.D. en S. Scott, *J. Chem. Soc.*, 1961, 1252
- 51 T.W.C. Solomons, *Organic Chemistry*, John Wiley & Sons,

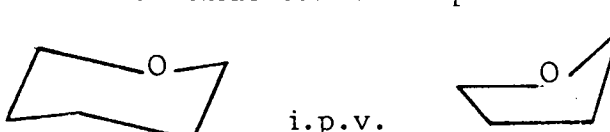
Inc, New York, London, Sydney and Toronto, 1976

Pg 469

- 52 J.J. Botha, P.M. Viviers, I.C. du Preez, D. Ferreira,  
D.G. Roux, *J.C.S. Perkin I* - voorgelê vir publikasie
- 53 P. Pretorius, M.Sc.-verhandeling, U.O.V.S., 1980
- 54 S.M. Partridge, *Biochem. J.*, 42, 238 (1948)
- 55 D.G. Roux & H.M. Saayman, *Biochem. J.*, 96, 36 (1965)
- 56 I.A. Vogel, *A Textbook of Practical Organic Chemistry*  
Longmans, London, p 971 (1954)
- 57 F.E. King & W. Bottomley, *Chem. and Ind.*, 1368,  
(1953)
- 58 A. Pelter, P.I. Amenechi, R. Warren & S.H. Harper,  
*J. Chem. Soc., C*, 2572 (1969)
- 59 J.H. van der Westhuizen, Ph.D.-thesis, U.O.V.S., 1979

-----oo0oo-----

ERRATA

- p. iii lyn 1 : 'chirale sentrum' i.p.v. 'chirale sentra.'
- p. 3 laaste reël : 'epimerisasie' i.p.v. 'rasermerisering'.
- p. 5 lyn 8 af lees : 'n halfstoelkonformasie vir die C-ring en 'n halfstoel of vyfpunktoplanaire konformasie vir die F-ring van verbindings 11 en 13 besit'.
- p. 7 lyn 1 : Drewes en Roux i.p.v. Roux' en Paulus.  
 lyn 7 : vir 'flavan-3,4-diol' lees 'antosianidien'.  
 2 op : 'B-5-8 [vermoedelik (24)-(27)]' i.p.v. B-5-8 [(24)-(27)].
- p. 8 : B-4 vermis in 5-OH.  
 B-4 3,4 trans i.p.v. cis.  
 B-3 verander (33) na (22).
- p. 10 lyn 6 af : 3,3', 4', 5,7-pentaol .. i.p.v. ..3',3',4',5-pentaol  
 lyn 3 op : verander <sup>24-26</sup> Etiel et al. <sub>25</sub> na Roberts et al.<sup>24</sup>,  
 Stothers <sub>26</sub> en Eliel et al. <sup>26</sup>.
- p. 15 lyn 10 af : '2,3-trans-3,4-trans' i.p.v. '2,3-cis-3,4-cis.'
- p. 22 lyn 5 op : 'solving' i.p.v. 'solovering'.
- p. 24 Boonste skema : Ruil X en S by pyle om.
- p. 35 lyn 3 op : 220 MHz i.p.v. 200 MHz.
- p. 37 lyn 12 af : '..invloed van O-metilering op die elektrofiel'  
 i.p.v. '..invloed van metiel substituente op die elektrofiel ..'  
 lyn 7 op : 2R:3S i.p.v. 2,3-trans.
- p. 38 lyn 4 op : 'Rhus lancea' i.p.v. 'Rhus lancia'.
- p. 43
 
 i.p.v.
   
 lyn 5 op : 'dihedriese' i.p.v. 'dihidriese'.
- p. 48 lyn 8 af en 4 op : 74c i.p.v. 74a.  
 lyn 9 af : C<sub>42</sub>H<sub>44</sub>O<sub>14</sub> i.p.v. C<sub>42</sub>O<sub>14</sub>H<sub>44</sub>.  
 lyn 2 & 3 op en deurgaans verder : Hz i.p.v. HZ.
- p. 51 lyn 17 af : '..3,4-cis (F-ring)' i.p.v. 3,4-trans'.
- p. 54 lyn 3 af : [949 (4%) c], i.p.v. [948 (4%) c].
- p. 55 : 'bestraal word' i.p.v. 'ontkoppel word'.
- p. 57 Par 1 lyn 4 af : '2,3-trans-3,4-trans..' i.p.v. '2,3-trans-3,4-cis..'

- p. 58 lyn 5 op : 'sentrum' i.p.v. 'sentra'.
- p. 69 KMR spektra by 170°C in DMSO-d<sub>6</sub> afgeneem.
- p. 76 lyn 8 af : 'afsonderlike' i.p.v. 'spesifieke'.
- p. 99 lyn 8 af : Diasometaanmetilering (99mg) van die R<sub>f</sub> 0,32 fraksie en ... i.p.v. 'Diasometaanmetilering (99mg) en ...'
- p. 100 lyn 11 af : 'Diasometaanmetilering (93mg) van die R<sub>f</sub> 0,26 fraksie, DLC ...' i.p.v. 'Diasometaanmetilering (193mg), DLC...'

#### VERWYSINGS

- p. 7 F.C.J. Zijlemaker i.p.v. F.C.J. Zeilemoker.
- p. 12 Voeg by H.M. Saayman.
- p. 22 I.C. du Preez, A.C. Rowan, D.G. Roux, J.C.S. Chem.Comm. 315 (1971) i.p.v. I.C. du Preez, D. Ferreira, D.G. Roux, J. Chem. Soc. (C) 1971, 336.
- p. 26 F.L. Eliel i.p.v. F.L. Etiel.
- p. 30 D.A. Young i.p.v. D.G. Young.
- p. 39 & 42 J. Amer. Chem. Soc. i.p.v. J. Americ. Chem. Soc.
- p. 51 T.W.G. Solomons i.p.v. T.W.C. Solomons.
- p. 56 A.I. Vogel i.p.v. I.A. Vogel.

